

### UNIVERSIDAD EUROPEA DE MADRID

ESCUELA DE ARQUITECTURA, INGENIERÍA Y DISEÑO ÁREA INGENIERÍA INDUSTRIAL

### INGENIERÍA EN SISTEMAS INDUSTRIALES

### TRABAJO FIN DE GRADO

Soluciones Innovadoras para la Movilidad: Asiento de Copiloto Adaptado para Personas con Movilidad Reducida

Alumno: D. ALONSO PARRA FERNÁNDEZ

**Director: D. JUAN JOSÉ BERTOL LORENZO** 

**JUNIO 2025** 



**TÍTULO**: SOLUCIONES INNOVADORAS PARA LA MOVILIDAD: ASIENTO DE COPILOTO ADAPTADO PARA PERSONAS CON MOVILIDAD REDUCIDA

**AUTOR**: ALONSO PARRA FERNÁNDEZ

**DIRECTOR DEL PROYECTO**: JUAN JOSÉ BERTOL LORENZO

FECHA: 8 de junio de 2025



### **RESUMEN**

Este trabajo de final de grado tiene como finalidad la creación de un mecanismo que mejore la integración de las personas con movilidad reducida en el mundo actual. Basándose en una necesidad social, este trabajo abarca desde el diseño hasta el proceso de fabricación de la pieza, incluyendo además un estudio de mercado que aportará una perspectiva al estudio acerca de la viabilidad de este proyecto en el mundo real.

El cometido final de este proyecto es la realización de un informe detallado que recoja el proceso al completo de la creación del mecanismo. Se verá en detalle todo el proceso de diseño pieza por pieza en software 3D. Este diseño estará sujeto a una mejora continua pues, a medida que se va desarrollando el proyecto, se irán encontrando fallos a corregir para poder presentar una solución viable y que cumpla con los requisitos exigidos en ensayos y normas. En el proceso de fabricación se abordarán las máquinas y los métodos utilizados para conformar cada pieza, mientras que en el estudio de mercado se analizarán los costes, los ingresos en distintos escenarios de venta, y se creará una cuenta de pérdidas y ganancias para otorgarle un mayor realismo al proyecto. Además, serán de vital importancia anexos como los planos de la pieza o especificaciones de los materiales a utilizar en el proceso, así como cualquier documento adicional que complemente al estudio de mercado u otros puntos del proyecto.

Palabras clave: movilidad, accesibilidad, diseño mecánico, análisis, simulación

### **ABSTRACT**

This bachellor's degree final project has as its main purpose the creation of a mechanism that improves the integration of people with reduced mobility in today's world. Based on a social need, this project covers everything from the design to the part manufacturing process, including a market study which will provide perspective on the viability of this project in the real world.

This project's ultimate purpose is to produce a detailed report that encompasses the complete process of creating the mechanism. The entire design process will be detailed piece by piece using 3D software. This design will be under constant review because, as the project develops, flaws will be detected and rectified in order to present a viable solution that meets the requirements stated by laws and simulations. The manufacturing process will address the machines and methods used to form each part, while the market study will analyze costs and revenues in different sales scenarios, as well as creating a profit and loss account which will give the project greater realism. Additionally, annexes such as the piece's plans, specifications of the materials to be used in the process, as well as any additional documentation that complements the market study or other project sections will be of vital importance

**Key words:** mobility, accesibility, mechanical design, analysis, simulation



## Índice

RESUM	IEN		3
ABSTR	ACT.		3
Capítul	o 1.	INTRODUCCIÓN	11
1.1	Jus	tificación	11
1.2	Obj	etivos	12
1.3	Alca	ance	12
1.3.	1	Ámbito de estudio	12
1.3.	2	Limitaciones	12
1.4	Cro	nograma	14
Capítul	o 2.	MARCO TEÓRICO	15
2.1	La	discapacidad en España	15
2.1.	1	Estudios de personas con valoración de discapacidad según I 16	NE
2.1.	2	Encuestas de discapacidad	20
Capítul	o 3.	MARCO NORMATIVO	23
3.1	Cor	nsideraciones iniciales	23
3.1.	1	Solicitud de homologación	24
3.1.	2	Requisitos generales	24
3.2	Ens	ayos	25
3.2. regu		Ensayo de resistencia del anclaje del asiento y los sistemas ón, enclavamiento y desplazamiento	
3.2.	2	Ensayo de resistencia estructural frente a cargas estáticas	26
Capítul	o 4.	DISEÑO DEL ENSAMBLAJE	27
4.1	Asp	ectos del diseño	27
4.1.	1	Funciones	27
4.1.	2	Requerimientos y restricciones	28
4.2	Tipo	ología del mecanismo	28
4.2.	1	Ensamblaje mecánico-eléctrico:	29



4.2	2	Ensamblaje mecánico	. 29
4.3	Prod	ceso de diseño 3D	. 30
4.4	Mate	eriales utilizados	40
4.4	.1	Aceros	40
4.4	.2	Aluminio y aleaciones ligeras	.42
4.4	.3	Polímeros técnicos	43
4.5	Des	cripción general del diseño preliminar	. 44
4.6	Dise	eño de tornillería	45
4.6	.1	Tornillos conectores suelo-raíl	45
4.6	.2	Tornillos conectores raíl-base inferior	46
4.6	.3	Tornillos conectores raíl-base superior	46
4.7	Dise	eño de muelles	. 47
4.7	.1	Muelle de la base inferior	47
4.7	.2	Muelle de ajuste del botón superior	48
4.8	Dise	eño de rodamientos	48
4.8	.1	Jaula de rodillos seleccionada	50
4.8	.2	Rodamientos de los raíles inferiores	50
4.8	.3	Rodamientos de los raíles superiores	52
4.9	Sim	ulación y ensayos	.52
4.9 sist	-	Resultados del ensayo de resistencia del anclaje del asiento y de regulación, enclavamiento y desplazamiento	
	.2 áticas	Resultados del ensayo de resistencia estructural frente a carç	gas
4.10	Des	cripción general del diseño final	. 61
Capítul	o 5.	PROCESO DE FABRICACIÓN	62
5.1	Des	glose pieza por pieza	62
5.1.	.1	Guías y raíles	62
5.1.	2	Enclavamientos inferiores	63
5.1.	.3	Enclavamiento superior	63
5.1.	.4	Barra de ajuste y barra de unión	.64
5.1.	.5	Bases o plataformas	65
5.1	.6	Piezas 3D	65
5.2	Mét	odo de ensamblaje	66
Capítul	o 6.	ESTUDIO DE MERCADO	. 74



6.1 Análisis de competencia
6.1.1 Fabricantes del sector74
6.2 Análisis DAFO75
6.3 Delimitación del mercado y análisis de la demanda76
6.3.1 Estimaciones de venta
6.4 Costes del proyecto82
6.4.1 Costes iniciales82
6.4.2 Costes estructurales
6.4.3 Costes variables
6.4.4 Amortizaciones
6.4.5 Flujos de caja e indicadores VAN y TIR
<b>ANEXOS</b>
BIBLIOGRAFÍA



## Índice de Figuras

ilustración 1 - Grafico de personas valoradas segun G.D	16
Ilustración 2 - Detalle de valorados con G.D.>33% por rangos de edad	17
Ilustración 3 - Evolución en los últimos años de valorados con G.D.>33%	17
Ilustración 4 - Personas con discapacidad valorada por rango de edad	18
Ilustración 5 - Dsitribución porcentual de personas valoradas por tipo	de
deficiencia	18
Ilustración 6 - Detalle de división por rangos de edad de cada tipo de deficien	cia
	19
Ilustración 7 – Resultados de la encuesta sesgados por edad y género	21
Ilustración 8 - Dificultades en acceso y desplazamientos en el transporte seg	gún
grupo de edad y sexo	21
Ilustración 9 - Ajuste longitudinal	27
Ilustración 10 - Giro del asiento	28
Ilustración 11 - Agujeros para sujeción por tornillos M10	31
Ilustración 12 - Superficie dentada del raíl inferior	32
Ilustración 13 - Raíl superior del ajuste longitudinal	32
Ilustración 14 - Diseño preliminar del mecanismo de cerrojo	33
Ilustración 15 - Mecanismo del ajuste longitudinal	33
Ilustración 16 - Base para el giro	34
Ilustración 17 - Barra conectora entre mecanismos y base superior	34
Ilustración 18 - Rodamiento acoplado a la base	35
Ilustración 19 - Acople de la base giratoria al rodamiento	35
Ilustración 20 - Ensamblaje de la plataforma giratoria	36
Ilustración 21 - Diseño del mecanismo de restricción al giro	36
Ilustración 22 - Anilla del cerrojo	37
Ilustración 23 - Pieza de fijación	38
Ilustración 24 - Mecanismo del botón	38
Ilustración 25 - Fijación del despliegue exterior a su base	39
Ilustración 26 - Ensamblaje final	39
Ilustración 27 – Simulación de posición del muelle de los raíles inferiores	47
Ilustración 28 - Muelle en el mecanismo del botón	48
Ilustración 29 - Jaula plana de rodillos utilizada	49
Ilustración 30 - Esquema de posición de rodamientos en raíles inferiores	51
Ilustración 31 - Corte para el alojamiento de rodamientos	51
Ilustración 32 - Esquema de posición de rodamientos en raíles superiores	52
Ilustración 33 - Deformación total en ensayo de impacto frontal con asiento	en
posición un grado más atrasado de la máxima posible	54
Ilustración 34 - Tensión en ensayo de impacto frontal con asiento en posición	un
grado más atrasado de la máxima posible	54



Ilustración 35 - Factor de seguridad en ensayo de impacto frontal con asiento posición un grado más atrasado de la máxima posible	
Ilustración 36 - Cambios aplicados en la parte superior del ensamblaje	
Ilustración 37 - Implementación del raíl central	
Ilustración 38 - Deformaciones en ensayo de carga axial con asiento recog	
Ilustración 39 - Deformaciones 200x en ensayo de carga axial con asie	
recogido	
llustración 40 - Tensiones en ensayo de carga axial con asiento recogido	
Ilustración 41 - Coeficiente de seguridad en ensayo de carga axial con asie	
recogido	
Ilustración 42 - Deformaciones en ensayo de carga axial con asiento extend	
meet delen 12 Belei meet en en en ea get dat de en delente extent	
Ilustración 43 - Tensión en ensayo de carga axial con asiento extendido	
Ilustración 44 - Coeficiente de seguridad en ensayo de carga axial con asie	
extendido	
Ilustración 45 - Esquema de colores final	
Ilustración 46 - Esquema de colores final II	
Ilustración 47 – Ejemplo de raíl superior	
Ilustración 48 – Ajuste inferior del lado derecho	
Ilustración 49 - Botón con el mecanismo de ajuste	
Ilustración 50 - Barra de ajuste longitudinal	
Ilustración 51 – Barra conectora entre mecanismos y base	
Ilustración 52 - Bases principales del ensamblaje	
Ilustración 53 - Cilindro, pasador y carcasa de ABS	
Ilustración 54 - Pasos 1 y 2 del ensamblaje	
Ilustración 55 - Paso 3 del ensamblaje	
Ilustración 56 - Paso 4 del ensamblaje	
Ilustración 57 - Paso 5 del ensamblaje	
Ilustración 58 - Paso 6 del ensamblaje	
Ilustración 59 - Paso 7 del ensamblaje	
Ilustración 60 - Pasos 8, 9 y 10 del ensamblaje	
·	
Ilustración 61 - Paso 11 del ensamblaje	
Ilustración 62 - Paso 12 del ensamblaje	
Ilustración 63 - Paso 13 del ensamblaje	
Ilustración 64 - Paso 14 del ensamblaje	
Ilustración 65 - Paso 15 del ensamblaje	
Ilustración 66 - Paso 16 del ensamblaje	
Ilustración 67 - Pasos 17, 18 y 19 del ensamblaje	
Ilustración 68 - Paso 20 del ensamblaje	
Ilustración 69 - Benchmark de la competencia	
Ilustración 70 - Análisis DAFO	. /6



Ilustración 71 - Distribución por grupos de la población española con movilidad
reducida77
Ilustración 72 - Porcentaje de personas mayores de 65 años en España basado
en las Proyecciones de Población del INE77
Ilustración 73 - Problemas de accesibilidad debidos a la discapacidad por tipo de
discapacidad (EDAD 2020)
Ilustración 74 - Porcentaje de personas con G:D. entre el 33% y el 100% sobre
la población
Ilustración 75 - Gráfico de % de personas mayores de 65 años por provincia en
España (2024)
Ilustración 76 - Proyección de la demanda anual de asientos fundamentada en
el Escenario base80
Ilustración 77 - Proyección de la demanda anual de asientos fundamentada en
el Escenario de alto rendimiento81



# Índice de Tablas

Tabla 1 - Cronograma del proyecto	14
Tabla 2 - Mediciones del espacio disponible	30
Tabla 3 - Propiedades Acero AISI 1045	41
Tabla 4 - Propiedades Acero AISI 6150 (50CrV4)	41
Tabla 5 - Propiedades Aluminio 6061-T6	42
Tabla 6 - Propiedades Acrilonitrilo butadieno estireno	44
Tabla 7 - Especificaciones del mecanismo preliminar	44
Tabla 8 - Guía de colores	44
Tabla 9 - Esquema de colores I	44
Tabla 10 - Esquema de colores II	45
Tabla 11 - Especificaciones del mecanismo final	61
Tabla 12 - Guía de colores	61
Tabla 13 - Escenario base	80
Tabla 14 - Escenario de alto rendimiento	81
Tabla 15 - Costes iniciales	82
Tabla 16 - Costes estructurales	83
Tabla 17 - Coste en consumibles por ensamblaje	83
Tabla 18 - Coste de materiales por ensamblaje	83
Tabla 19 - Costes de comercialización por ensamblaje	84
Tabla 20 - Coste variable total	84
Tabla 21 - Gastos de amortizaciones	84
Tabla 22 - Flujo de caja en escenario estándar	85
Tabla 23 - Flujo de caja en escenario de alto rendimiento	



### Capítulo 1. INTRODUCCIÓN

Para afrontar este trabajo de fin de grado de ingeniería industrial especializada en mecánica y automoción se va a remontar hasta los orígenes de la ingeniería como disciplina. Por definición la ingeniería se basa en aplicar diversos conocimientos, ya sean científicos, matemáticos o de cualquier índole para dar solución a un problema dado.

Debido a que ya entrado el siglo XXI los problemas a los que no se les ha dado una respuesta son escasos, la ingeniería ha entrado en una etapa de búsqueda continua de mejoras y de nuevas oportunidades. En ese proceso de búsqueda continua de mejoras es fácil identificar que no todas las personas tienen las mismas capacidades y, por tanto, el mundo puede no estar adaptado a ellos de la forma en la que está pensado.

El tiempo transcurre sin dejar a nadie atrás, y en el proceso de ver envejecer a la gente que te rodea es fácil identificar sus problemas diarios y sus limitaciones. Fue de esta forma cómo surgió la idea de este trabajo de fin de grado.

Se identificaron en personas de la tercera edad bastantes dificultades para acceder a los asientos de copiloto de un vehículo, y se propuso dar una solución a este problema. La realización de giros de cadera, agacharse y el movimiento con las piernas para entrar al vehículo suponen todo un reto para la mayoría de las personas de avanzada edad, y ver cómo necesitan realizar ese esfuerzo para una acción que el resto de las personas dan por sentada en su día a día hace pensar que seguramente existirán más colectivos con esta problemática. Desde este punto de partida se plantea una investigación acerca de quién se ve beneficiado por este proyecto, así como empieza la búsqueda y planteamiento de alternativas que den una solución a este problema.

### 1.1 Justificación

La inclusión de las personas más vulnerables es un objetivo por el que la sociedad pelea cada día con más fuerza. Dentro de este grupo de personas se encuentran, entre muchos otros colectivos, personas con diferentes enfermedades y/o discapacidades ya sean físicas o mentales. En este proyecto se abarcarán todas aquellas personas cuya condición les impida realizar su movimiento corporal de forma natural. Esta afirmación hace referencia a personas con dificultades para agacharse, girar, o cualquier otra acción que pueda limitar la entrada y/o salida del individuo del vehículo. Algunos de los grupos más extendidos que sufren estas limitaciones pueden ser ancianos,



personas con problemas de espalda como el lumbago, víctimas de accidentes (concentrándose la mayoría de los casos en accidentes de tráfico o laborales) o personas con discapacidad.

### 1.2 Objetivos

Este trabajo nace con el propósito de mejorar la vida de personas de las que los diseñadores de automóviles, el medio de transporte más extendido a nivel mundial, se han olvidado. En una época en la que la inclusión está a la orden del día, sigue habiendo minorías que de una forma u otra ven cómo sus condiciones psicomotrices les aíslan del resto del mundo. Una vez ya definido el objetivo general, se han propuesto una serie de pasos a seguir, que, una vez cumplidos, darán como resultado un proyecto muy completo. Los objetivos específicos del proyecto serán los siguientes:

- Estudio de las diferentes normativas que limitan el proyecto
- Análisis de los precedentes que motivan y dan sentido al trabajo
- Diseño y modelado en tres dimensiones del mecanismo adaptable
- Descripción en detalle del proceso de fabricación de la pieza
- Estudio de mercado acerca de la viabilidad de la pieza como solución comercial
- Análisis de los resultados obtenidos y redacción de conclusiones

### 1.3 Alcance

Todo proyecto de grandes dimensiones como puede ser un trabajo de final de grado debe quedar acotado por unos límites bien establecidos acerca de qué debe y qué no debe abarcar el estudio.

### 1.3.1 Ámbito de estudio

Serán objeto de estudio y por tanto contenido del proyecto las siguientes cuestiones:

- Diseño de un ensamblaje de accionamiento mecánico con 2 grados de libertad (movimiento hacia delante-detrás y giro)
- Realización de pruebas al ensamblaje a través de entornos simulados
- Descripción detallada del proceso de fabricación incluyendo la selección de material/es, máquinas a utilizar y operaciones del conformado
- Estudio de mercado basado en los datos proporcionados por el INE

### 1.3.2 Limitaciones

Para que el proyecto sea plausible hay que conocer y definir las cuestiones que lo limitan, dividiendo las mismas en diferentes categorías:



### 1.3.2.1 Técnicas

- Si bien se diseñará el mecanismo acorde a la reglamentación vigente, no se incluirán en el proyecto los documentos necesarios para su inspección técnica como pueden ser certificados de calidad o manuales de funcionamiento
- Si bien se puede realizar un asiento de esta índole con motores eléctricos, la intención de este proyecto es realizar un asiento únicamente mecánico, lo que puede suponer una mayor complejidad en el diseño
- La solución adoptada intentará facilitar el acceso al mayor número posible de personas, pero al haber tantas casuísticas posibles, puede que algunos ejemplos sigan experimentando esa dificultad a la hora de sentarse

#### 1.3.2.2 Económicas

- Dado que la fabricación del ensamblaje constituiría un gasto económico inasequible ahora mismo por el autor, no se fabricará a tamaño real la solución adoptada. Por otro lado, no se descarta la fabricación de una maqueta a menor escala como modelo.
- En el momento de calcular el coste de producción de la pieza se calculará una aproximación al dato y no el dato exacto debido

### 1.3.2.3 Temporales

 El alcance de este trabajo debe estar en todo caso alineado con el tiempo designado a la realización del proyecto, pudiendo ser este un factor limitante a la hora de profundizar en ciertos contenidos del trabajo

### 1.3.2.4 Pruebas prácticas

- El proyecto no abarcará la instalación de la solución en un vehículo real
- No se dispondrá de una muestra del ensamblaje por lo que no se podrán realizar las pruebas de validación necesarias en entornos reales.

#### **1.3.2.5** *Normativas*

 Se dispondrá del máximo material posible en cuanto a legislaciones vigentes para diseñar el ensamblaje, sin embargo, las normas están sujetas a cambios lo que podría dejar al ensamblaje fuera del marco legal en un futuro hipotético



### 1.4 Cronograma

TAREAS	FEBI	RERO	,	MA	RZO		АВ	RIL		MA	YO		JUI	NIO	
Definición de alcance y objetivos del proyecto															
Búsqueda de información acerca del contexto y los precedentes que justifican el proyecto															
Creación del cronograma para la distribución de tareas y tiempo															
Diseño y modelado 3d de la pieza															
Descripción y estudio del proceso de fabricación															
Redacción y análisis del estudio de mercado															
Conclusiones finales															
Revisión final de contenido y formato															
Entrega del proyecto definitivo y documentos adicionales															
Preparación de las diapositivas															
Entrega y presentación de las diapositivas															

Tabla 1 - Cronograma del proyecto



### Capítulo 2. MARCO TEÓRICO

Todo proyecto debe estar fundamentado en una fuerte base teórica, que en este caso se apoyará en los datos proporcionados por el Instituto Nacional de Estadística (INE) acerca de las personas con discapacidad, y basándose en otras fuentes como encuestas estatales para realizar una estimación acerca de toda la población que pueda verse afectada por el problema propuesto.

Se comenzará haciendo una exposición sobre las personas con discapacidad y su situación en España, en concreto, sobre aquellas personas con movilidad reducida de forma que se vea una aplicación real al asiento adaptado, para posteriormente profundizar en datos de la demografía española que justifiquen este proyecto.

Cabe destacar un cambio en el formato de presentación de los datos del INE a partir de los últimos registros, los del año 2023, por lo que la continuidad en las categorías de discapacidad y demás distinciones que se hacen en los años 2021 y 2022 pueden no tener continuidad en la base de datos del año 2023. Esto puede suponer cierta fluctuación en los datos obtenidos ya que no existe la certeza acerca de qué se ha considerado para cada categoría. Por otra parte, a pesar de no estar publicados en el INE de forma pública, se cuenta también con algunos datos específicos de la cifra del año 2024 obtenidos a partir del Plan de Salud de la Consejería de Sanidad de Castilla-La Mancha

### 2.1 La discapacidad en España

Con una población cada vez más envejecida y que disminuye cada año, la cifra de discapacitados en España se ha mantenido en los últimos años en valores ciertamente similares. Este dato, si bien representa ahora mismo un porcentaje en torno a un 6-7% de la población total española, es muy probable que experimente un gran aumento en los próximos años debido a la llegada de la generación del fenómeno demográfico del "Baby Boom" a las etapas más avanzadas de su vida. Como se estudiará en profundidad más adelante, las personas de mayor edad son más propensas a sufrir cualquier tipo de discapacidad (en especial trastornos de la movilidad), lo que las convierte en uno de los principales grupos de estudio de este trabajo.

Si bien a efectos prácticos de este estudio todos los casos serán un conjunto más de estudio, a la hora de hacer referencia a los datos disponibles se debe hacer una clara distinción entre aquellas personas que presentan una limitación, aquellas personas que presentan cierto grado de discapacidad (ya sea por encima o por debajo del 33%) sin reconocer o sin valorar, y aquellas personas



que presentan una discapacidad y que sí que poseen una valoración acerca de su grado.

### 2.1.1 Estudios de personas con valoración de discapacidad según INE

Estos estudios hacen referencia a todas aquellas personas que, siendo poseedoras de cierto grado de discapacidad, han sido sujetos de una valoración.

Personas valoradas por G.D. reconocido

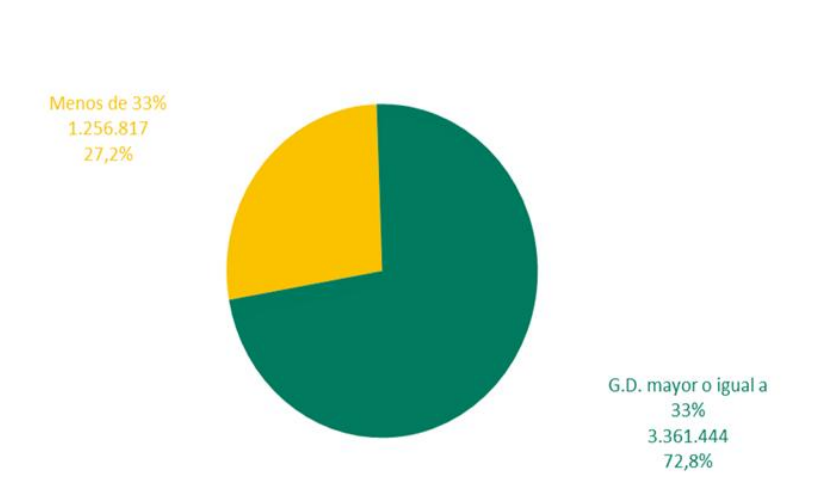


Ilustración 1 - Gráfico de personas valoradas según G.D.

En la valoración del año 2023 se dataron 4.618.261 personas, lo que supone un descenso de un 2,5% de personas encuestadas que sólo se ha acabado traduciendo en una disminución en torno al 1% de personas con G.D. mayor al 33%. Destaca también que, prácticamente en todos los boletines del INE que se han revisado, el reparto entre géneros de personas con un grado mayor al 33% es prácticamente un 50%-50%.

Es importante recalcar que el grupo de población hacia el que va encaminado este tipo de estudios es hacia las personas con un grado de discapacidad mayor a 33%, a partir del cual se empieza a considerar una discapacidad moderada.

En los últimos 3 años, la cifra se ha mantenido con variaciones en torno al ±3%, lo que replica una ralentización en el aumento del número total de discapacitados valorados que se venía produciendo en los últimos años, hablando de un incremento de 500.000 personas entre 2008 y 2020. Esta deceleración puede achacarse al COVID-19, virus que entre 2020 y 2021 provocó una pandemia mundial y que fue letal, sobre todo, para adultos y personas de avanzada edad.



En una gráfica como la siguiente se puede apreciar la distribución de la discapacidad valorada en España entre 2021 y 2023



Ilustración 2 - Detalle de valorados con G.D.>33% por rangos de edad



Ilustración 3 - Evolución en los últimos años de valorados con G.D.>33%

En ella se puede vislumbrar la evolución que deberían haber seguido los grupos de población mayores a 35 años de no ser por la pandemia. En los tres arcos de menor edad (<7. 7-17, 18-34) la cifra de personas valoradas sigue aumentando y debería ser ciertamente representativa de la evolución real que debería haber seguido la población.



De igual manera, se debe tener en consideración que estos datos no representan la cifra total de discapacitados residentes en España, sino de todos aquellos que presentan una valoración de su discapacidad, por lo que estos datos son representativos más sobre la evolución de la cifra de la discapacidad, que de la naturaleza de esta.

Personas con discapaciad por edad

### De 18 a 34 años 235.324 7,0% De 35 a 64 años 40,9% De 7 a 17 años 156.176 4,6% Menos de 7 años 46.908 1,4% De 65 a 79 años 947.767 28,2% De 80 años o más 599.204 17,8%

Ilustración 4 - Personas con discapacidad valorada por rango de edad

Aunque ya visto anteriormente en la ilustración número 1, el desglose del ciclo 2023 revela que cerca del 96% de las personas que sufren algún tipo de discapacidad ya podrían sentarse en el asiento de copiloto de un vehículo cualquiera (se resta un 1,4% de menores de 7 años y se considera que la mitad del grupo entre los 7 y 17 años ya dispondrán de la estatura necesaria para poder ocupar ese asiento dentro del vehículo).

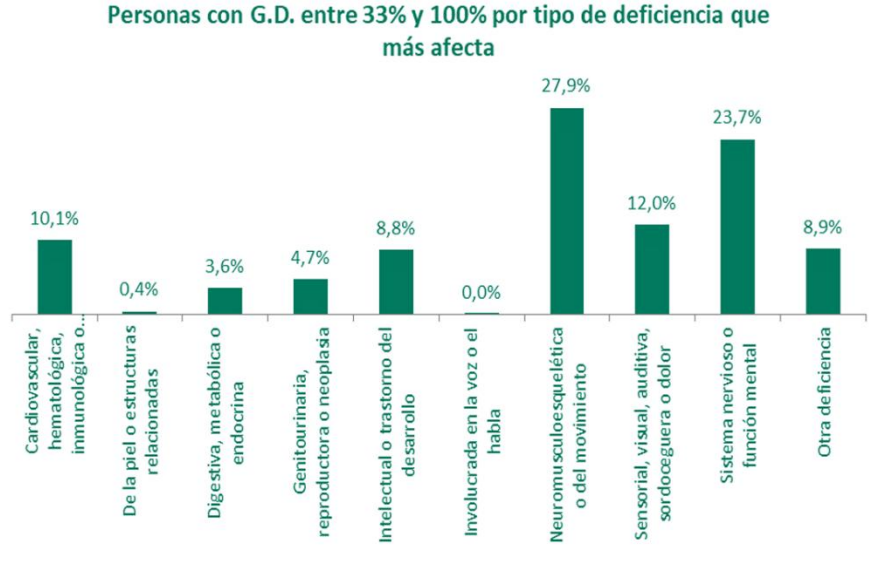


Ilustración 5 - Dsitribución porcentual de personas valoradas por tipo de deficiencia



Si se tienen en cuenta los dos gráficos inmediatamente superiores se puede llegar a conclusiones muy interesantes. Por definición del problema propuesto, porcentaje de personas afectadas por discapacidad se busca el neuromusculoesquelética o del movimiento, que ya de por sí representa el grupo más grande y que corresponde a alrededor de 940.000 personas, pero si se mira con una lente más amplia existen también muchas otras discapacidades que pueden agrandar el rango del estudio. Dentro del grupo "sistema nervioso y función mental" se pueden encontrar enfermedades cognitivas que resultan muy limitantes para el individuo a la hora de realizar movimientos. Este grupo constituye el segundo mayor conjunto con 795.015 personas, lo que puede otorgar una nueva dimensión al proyecto, viendo más allá de la simple limitación motora. Se encuentran ejemplos como el Parkinson, que puede ser un factor limitante para cualquier gesto o desplazamiento por el temblor que provoca, pero principalmente por la rigidez y las dificultades que genera al usuario. También se puede investigar dentro de la demencia, donde enfermedades como el Alzheimer en fases avanzadas y la demencia con cuerpos de Lewy pueden generar también rigidez en el individuo, lo que puede suponer todo un reto a la hora de poder sentarse en su vehículo (se presupone que su condición les inhabilita para la conducción, si bien se pueden estudiar vías de adaptabilidad del asiento para conductores).

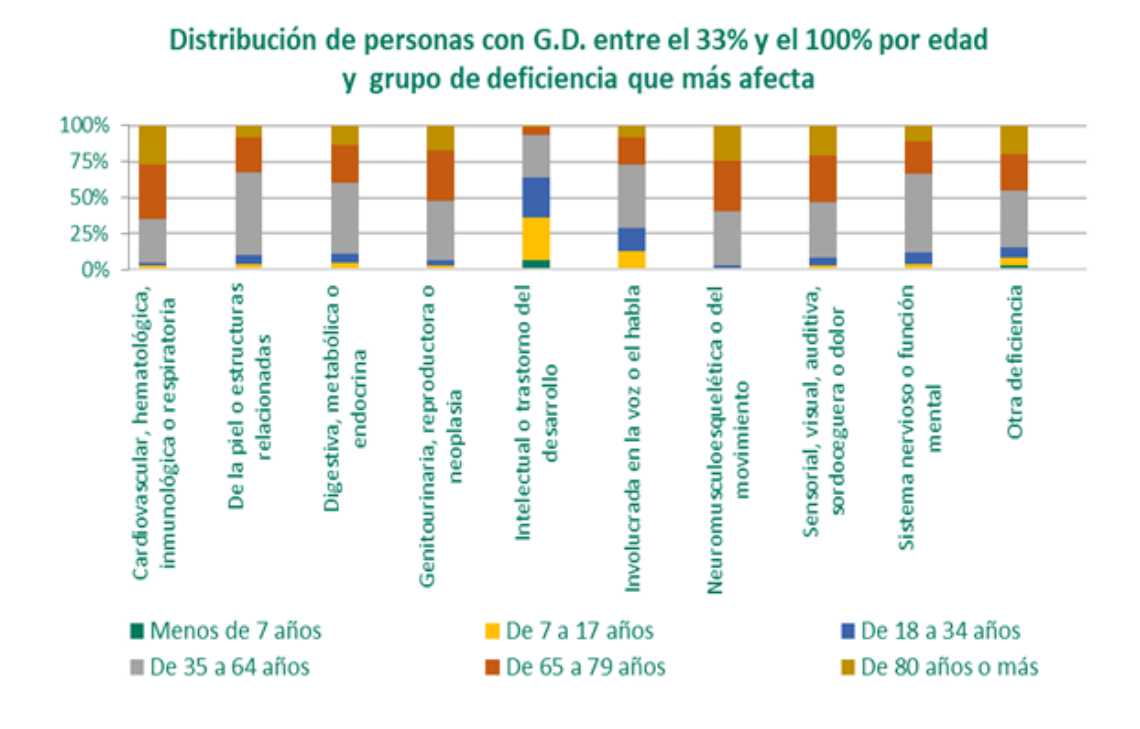


Ilustración 6 - Detalle de división por rangos de edad de cada tipo de deficiencia

Desglosados los datos por rangos de edad se podría concluir en que prácticamente la totalidad de las personas que sufren las condiciones anteriormente explicadas podrían verse beneficiados por este estudio, teniendo como objetivo las 938.091 personas que sufren de condiciones



neuromusculoesqueléticas, pero sin dejar atrás a todos aquellos individuos que sufren cualquiera de las otras condiciones y que pueden ver en este proyecto una mejora en su día a día.

### 2.1.2 Encuestas de discapacidad

Frente a un innegable aumento de las cifras de discapacitados en España, el INE junto con otras asociaciones como la Organización Nacional de Ciegos Españoles (ONCE) decidió empezar a realizar una encuesta para monitorizar la situación en los hogares del país. Esta encuesta es la conocida como Encuesta de Discapacidad, Autonomía personal y situaciones de Dependencia (EDAD). Este estudio abarca más población que los anteriormente desglosados ya que incluye, además de las personas con una discapacidad valorada, aquellas que presentan una discapacidad sin valorar y aquellas que simplemente sufren una limitación.

Estas encuestas se realizan cada cierto tiempo y con distintas poblaciones. Las que se usarán, la de 2008 y la de 2020 se ha realizado en hogares mientras que existen versiones más recientes realizadas en residencias, centros de menores, y en general, cualquier tipo de centro asistencial al que tiene acceso el estado y cuyos resultados se han descartado al no ser considerados representativos para este estudio.

Los datos son más esclarecedores en este caso, ya que se puede ver con claridad cómo la cifra va creciendo con el paso del tiempo. Frente a las 3.847.900 personas que afirmaron tener algún tipo de discapacidad o limitación en el año 2008, la cifra aumentó para llegar a los 4.380.000. Expresados de otra manera, se ha aumentado la cifra en un 14% con respecto al año 2008 y a la fecha de publicación de la encuesta prácticamente 95 de cada mil habitantes sufrían algún tipo de discapacidad o limitación en España.

La brecha de género se hace notar en estas condiciones, donde 112 de cada mil mujeres sufren alguna limitación frente al dato de los hombres, con 81,2 de cada mil. Destaca también que en los hombres es hasta los 34 años donde las tasas de discapacidad son superiores, mientras que a partir de los 35 años es la tasa de las mujeres la que toma la delantera.

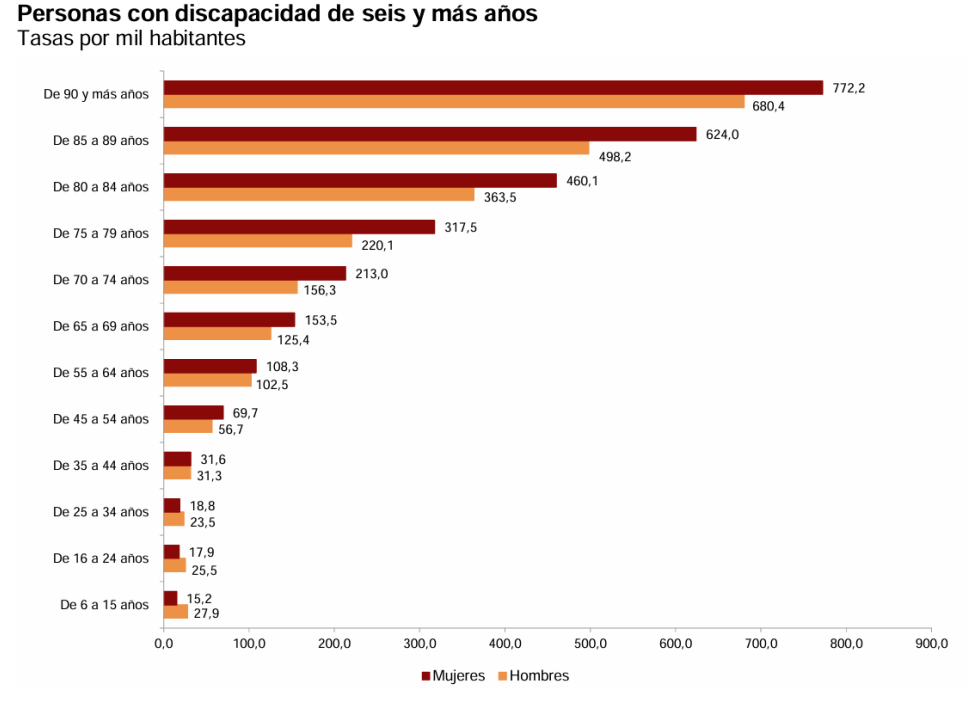


Ilustración 7 – Resultados de la encuesta sesgados por edad y género

### 2.1.2.1 La movilidad como principal reto

En ambas encuestas se sitúa la movilidad como el primer tipo de discapacidad, si bien se utilizarán los datos de la encuesta del año 2020 al ser los mas recientemente obtenidos. La tasa se sitúa en 54 de cada mil habitantes, lo que supone un 55,7% del total de personas con alguna condición.

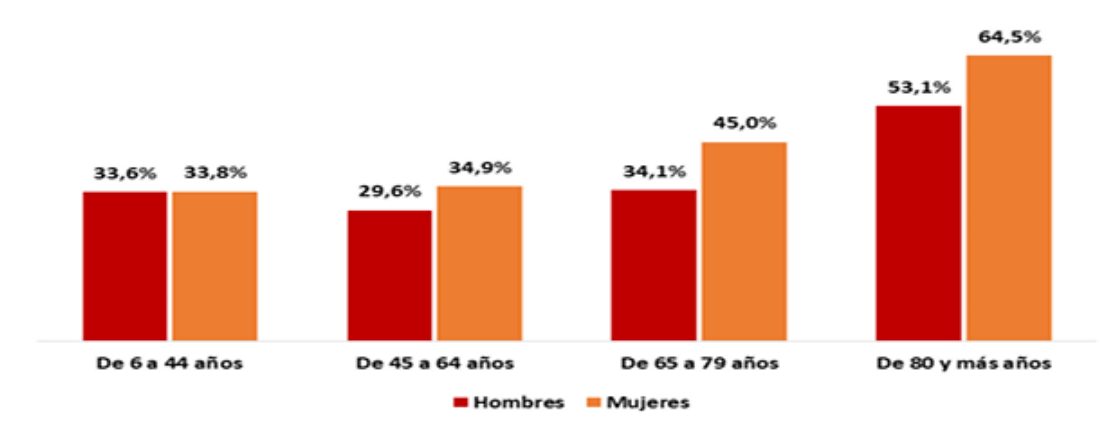


Ilustración 8 - Dificultades en acceso y desplazamientos en el transporte según grupo de edad y sexo

Se vislumbra en el gráfico superior el porcentaje de personas que presentan problemas en su día a día en lo que concierne al transporte, sobre todo haciendo hincapié en el acceso a los vehículos y al propio hecho del desplazamiento en sí. Si se habla de cifras, alrededor de 1,8 millones de personas indicó tener alguna dificultad a la hora de desplazarse en transporte, dato que lideran las personas mayores de 80 años con un 60,8% del total. En cuanto a naturaleza del medio de transporte, el 40% del total de las personas que participaron en la

Soluciones Innovadoras para la Movilidad: Asiento de Copiloto Adaptado para Personas con Movilidad Reducida Alonso Parra Fernández



encuesta encontraban dificultades para desenvolverse en el transporte público, mientras que fueron un 21,4% del total aquellas personas que encontraron dificultades con el vehículo particular. Se cuenta en este caso con cerca de 2 millones de afectados de una población de 47.4 millones de personas a fecha de realización del estudio mencionado, por lo que este problema afecta a un 4,2% de la población aproximadamente. Extrapolando este porcentaje a la UE (Unión Europea), región donde se homologaría y comercializaría el diseño, la cifra de afectados alcanzaría valores cercanos a los 22 millones de personas.



### Capítulo 3. MARCO NORMATIVO

Si bien un trabajo de esta magnitud se puede realizar desde la imaginación y la total libertad creativa, para poder llevar a cabo un proyecto comercializable y aplicable al mundo real es necesario seguir los estándares tanto de calidad como normativos establecidos por los organismos correspondientes. Regulando aspectos técnicos, legales y operativos, se busca que las soluciones adoptadas para cada modificación realizada al vehículo sean seguras para sus ocupantes.

Al proceso que certifica que las normas correspondientes se cumplen se le denomina como "homologación". En Europa existe una directiva general que establece un sistema común para la homologación de vehículos adaptados para personas con movilidad reducida. Se trata de la Directiva 2007/46/CE, que, si bien establece una normativa común para los países del Espacio Económico Europeo, pero no eximiéndolos de tener sus propias normativas, como es, en el caso de España, el Real Decreto 2822/1998 (Reglamento General de Vehículos) o el Real Decreto 818/2009.

La actualización más reciente de la norma que aplica a este estudio entró en vigor en el año 2021 y se trata del Reglamento n.º 17 de las Naciones Unidas (2023/406) y abarca todo lo relacionado con la homologación de vehículos en lo que concierne a asientos, anclajes y apoyacabezas.

Los asientos giratorios y desplazables son una solución común para facilitar el acceso al vehículo de las personas con movilidad reducida, sin embargo, para poder circular legalmente con el vehículo modificado, es necesario tanto que la instalación cumpla con los estándares técnicos como con las inspecciones periódicas que se le realizan al vehículo para garantizar su seguridad y legalidad (en el caso de España, la "ITV" o "Inspección Técnica de Vehículos").

### 3.1 Consideraciones iniciales

Antes de profundizar en la norma y en los ensayos que debe pasar con éxito el prototipo, es necesario tener en cuenta las restricciones, límites y recomendaciones que dicta. En este contexto, se profundizará en las disposiciones más generales del reglamento, así como en todo lo que concierne a los requisitos principales que debe cumplir el mecanismo para su homologación. Este procedimiento se basa en verificar que el diseño, la estructura y la funcionalidad de este aseguran su correcto funcionamiento durante la circulación del vehículo y, sobre todo, en situaciones de emergencia. Las exigencias acerca del reposacabezas y del respaldo establecidas en el reglamento quedan fuera del alcance del proyecto y se enfocará, por tanto, a que



los mecanismos de movimiento y anclaje sean lo suficientemente resistentes para, tanto soportar las cargas correspondientes a accidentes, como para garantizar un buen funcionamiento, su comodidad, y, sobre todo, su accesibilidad.

### 3.1.1 Solicitud de homologación

Debe ser presentada por el fabricante del vehículo o por un representante acreditado, es decir, un profesional con potestad para actuar en este campo. Será también de necesaria obligación la entrega por triplicado de lo siguientes documentos:

- Descripción detallada del tipo de vehículo en cuanto al diseño de sus asientos y anclajes, incluyendo sistemas de regulación, enclavamiento y desplazamiento.
- Dibujos a escala y detallados de los asientos y sus anclajes, incluyendo los sistemas mencionados anteriormente.

Al diseñar únicamente el sistema de movimiento y no el asiento en su totalidad hay ciertas partes de la solicitud que no hace falta cumplimentar. Será el futuro fabricante el que, anclando su asiento al sistema diseñado, deba revisar que las pruebas correspondientes a sus competencias se cumplan.

### 3.1.2 Requisitos generales

Este apartado de la norma indica las especificaciones principales que todos los asientos deben cumplir. Dada la gran esquematización de la norma, se desglosará la misma por apartados:

- Los sistemas de regulación y desplazamiento instalados deben incorporar un sistema de enclavamiento automático (en este caso será mediante palancas)
- El sistema de desbloqueo de cualquiera de las partes del asiento debe situarse en la parte exterior del asiento y cercano a la puerta.
- Las partes posteriores del asiento deberán superar los ensayos de disipación de energía expuestos en el siguiente punto. Se considerará que el mecanismo pasa exitosamente el ensayo si tras su realización no quedan o aparecen aristas peligrosas
- No deberá producirse ningún fallo en anclaje o estructura del asiento, en sistemas de regulación y desplazamiento, ni en sus respectivos dispositivos de enclavamiento durante o después de los ensayos 6.2 y 6.3 de la norma (expuestos en el siguiente punto). En este caso se admiten deformaciones plásticas incluyendo la ruptura, siempre y cuando el mecanismo pueda seguir soportando las cargas sin suponer esto un aumento para el riesgo de lesión.
- Tras la realización de los ensayos, cualquier sistema de desplazamiento destinado a permitir y/o facilitar el acceso de los ocupantes al vehículo



deberá seguir en perfecto funcionamiento. Con esto se refiere a poder desbloquearse al menos una vez con el fin de desbloquear al menos una vez el grado de libertad que restringe.

- El resto de los sistemas de desplazamiento no orientados a lo expuesto en el punto anterior no tienen la obligación de permanecer funcionales.
- Los asientos deben estar fijados al vehículo permitiendo enclavarse en todas las posiciones ofrecidas

### 3.2 Ensayos

Se trata de las pruebas que deben realizarse a los distintos ensamblajes, en este caso, del mecanismo del asiento, para asegurar su total legalidad y funcionalidad. Debido a que dependiendo de los resultados obtenidos en estos ensayos se podrá comercializar o no el proyecto, es de vital importancia asegurar las capacitaciones de este mediante varios ensayos de distinta índole.

### 3.2.1 Ensayo de resistencia del anclaje del asiento y los sistemas de regulación, enclavamiento y desplazamiento

Con el objetivo de simular un choque frontal se aplicarán una serie de cargas al global del vehículo, que en este caso será únicamente al mecanismo del asiento. De esta forma se comprobará de manera más eficiente los puntos débiles del ensamblaje y se podrá garantizar una mayor seguridad del conjunto.

### 3.2.1.1 Especificaciones

- Se verificará para todas las posiciones del asiento el cumplimiento de los requisitos del ensayo que sean necesarias
- Para considerar el ensayo como exitoso, el asiento debe superar la prueba quedando enclavado en una de las siguientes posiciones:
  - Longitudinalmente, un grado, o en su defecto, 10 mm hacia atrás de la posición normal de uso más avanzada.
  - Longitudinalmente, un grado, o en su defecto, 10 mm hacia delante de la posición normal de uso más retrasada.
- En el caso de existir una configuración longitudinal menos favorable para el sistema se deberá realizar el ensayo en esa misma posición.

#### 3.2.1.2 Cargas

El ensayo consiste en aplicar una carga frontal o en su defecto, trasera, que constará de una fuerza aplicada de 20 g durante 30 milisegundos.

$$20g = 20 \, Kg \cdot 9.81 \, {m/_{S^2}} = 196.2 \, {m/_{S^2}}$$

Esta aceleración será aplicada a la masa final del diseño para obtener la fuerza aplicada en la realización de este ensayo



### 3.2.2 Ensayo de resistencia estructural frente a cargas estáticas

La finalidad de este ensayo será la de comprobar que el ensamblaje está capacitado para soportar el peso de un pasajero, así como de funcionar en sus distintas posiciones de forma correcta

### 3.2.2.1 Especificaciones

 Se verificará en la posición estándar del asiento, es decir, a mitad de carrera del recorrido total que ofrezcan los raíles del movimiento en el caso de los raíles inferiores, y en dos posiciones en caso de los raíles superiores: tanto en la posición de marcha del vehículo (enclavamiento en la primera posición que permite el diseño) como en la posición que deja al asiento totalmente extendido (última posición de enclavamiento de estos raíles)

### 3.2.2.2 Cargas

El ensayo consta de aplicar una carga axial de 1000 N, lo que equivaldría a una persona de 90 kg teniendo en cuenta unos 10 kg de peso del asiento proporcionado por el fabricante.

$$100 \ kg \cdot 9.81 \ {m/_{S^2}} \approx 1000 \ N$$



## Capítulo 4. DISEÑO DEL ENSAMBLAJE

Una vez aplicado cierto contexto teórico y normativo llega el momento de comenzar con el diseño. Se trata de la parte más relevante del proceso de creación. Esta se trata de una fase bidireccional, que debe mirar hacia atrás para cumplir con los requisitos normativos, pero también debe estar en continua revisión para adaptarse a los resultados obtenidos en las simulaciones. El primer paso para poder diseñar el ensamblaje es exponer claramente las necesidades de este. Esto supone establecer qué se espera del ensamblaje una vez esté finalizado, así como algunos parámetros más para tener en cuenta.

### 4.1 Aspectos del diseño

### 4.1.1 Funciones

Para este trabajo se pretende la creación de un mecanismo que realice las siguientes funciones:

 Permitir el deslizamiento hacia delante y hacia detrás (de ahora en adelante "ajuste longitudinal") del asiento de copiloto, con un rango hacia delante mayor del común. Esto último tendrá como fin situar el asiento en una posición óptima para poder realizar el resto de los giros y/o desplazamientos con holgura.



Ilustración 9 - Ajuste longitudinal

 Permitir el giro sobre el eje vertical (de ahora en adelante "rotación del asiento"), de tal modo que el asiento quede prácticamente paralelo a la puerta del vehículo.





Ilustración 10 - Giro del asiento

 Permitir el deslizamiento sobre la base (de ahora en adelante "despliegue exterior") para que, saliendo del marco de la carrocería del vehículo, el ocupante encuentre mayor facilidad para acceder al asiento.

### 4.1.2 Requerimientos y restricciones

Desarrollar un modelo homologable y funcional implica tener en cuenta múltiples factores. Además de los requisitos expuestos por la norma, existen ciertos parámetros que, si bien no se exigen, son más que recomendables. Tomando en cuenta ambas casuísticas, se cuentan con los siguientes requisitos y restricciones:

- Los tres movimientos deben contar con mecanismos de bloqueo:
  - En el caso del ajuste longitudinal, como en cualquier otro vehículo, se deben contar con varias posiciones bloqueables para garantizar así la comodidad del ocupante.
  - La rotación del asiento debería contar como mínimo con dos posiciones restringidas, de tal forma que pueda enclavarse tanto en la posición natural del asiento como en la posición rotada 90º (en dirección hacia la puerta) con respecto a esta.
  - El despliegue exterior, al igual que la rotación del asiento, deberá poderse enclavar en al menos dos posiciones, tanto la más atrasada, es decir, la posición natural del asiento, como la más avanzada, que permitirá al asiento salirse del cuadro de la carrocería del vehículo para facilitar su acceso.
- El modelo deberá superar con éxito el ensayo 3.2.1 conforme con la normative europea, además de con el ensayo 3.2.2 propuesto para garantizar una mayor seguridad del conjunto
- Al realizar un ensamblaje universal, las medidas de la base no pueden establecerse al azar. Deberán pues haber sido justificadas basándose en un breve estudio, que bien puede ser la medición del espacio disponible en varios vehículos para obtener una serie de resultados.

### 4.2 Tipología del mecanismo

Para llevar a cabo un proyecto de cualquier índole se deben tener en cuenta varias posibilidades, se deben estudiar varias hipótesis, y se deben



investigar varias vías de resolver un mismo problema. Dada la complejidad y las especificaciones que requieren cada uno de los tipos de ensamblaje, se analizarán las distintas propuestas, su método o métodos más generales de aplicación, y se estudiarán las limitaciones que presenta cada uno de ellos. Para esta casuística se han propuesto las siguientes soluciones:

### 4.2.1 Ensamblaje mecánico-eléctrico:

Los distintos movimientos del asiento estarán controlados por una serie de motores eléctricos. Según el origen de la fuente de alimentación de los motores se pueden clasificar dentro de los siguientes tipos:

#### **4.2.1.1** *Vehicular*

En este caso la batería que proporciona la energía necesaria a los motores del asiento será la propia batería del vehículo. Las limitaciones en este caso son varias: habría que realizar una nueva instalación eléctrica a lo largo de la carrocería, y, además, sería conveniente calcular el consumo energético del ensamblaje para poder redimensionar/ajustar la batería del vehículo a este nuevo gasto. Se necesitarán los siguientes documentos:

- Mediciones generales
- Planos del ensamblaje
- Plano del cableado general de cada vehículo
- Plano del cableado de la instalación
- Esquema del funcionamiento de cada motor

### 4.2.1.2 Externo

Será una batería independiente la que proporcione la energía necesaria a los motores. Para este modelo las limitaciones en cuanto al diseño se encontrarán a la hora de acoplar esta batería externa al conjunto, teniendo en cuenta que se cuenta con un espacio relativamente limitado. Serán necesarios los siguientes documentos:

- Mediciones generales
- Planos del ensamblaie
- Plano del cableado de la instalación
- Esquema del funcionamiento de cada motor

#### 4.2.2 Ensamblaje mecánico

Los movimientos del asiento se producirán mediante diferentes métodos mecánicos. Podrán ser movimientos mediante palancas, ruedas, ejes, deslizaderas y otros elementos, pero no contarán con ningún tipo de apoyo eléctrico/electrónico. Es un modelo más restrictivo, pues la ausencia de motores lo hacen más complejo de diseñar. Esta complejidad se palia con la ausencia de cableado, que ahorra tiempo y costes. Se necesitarán los siguientes documentos:



- Mediciones generales
- Planos del ensamblaje
- Esquema del funcionamiento de cada mecanismo

### 4.3 Proceso de diseño 3D

Para este proyecto se va a utilizar la herramienta de SolidWorks, software de diseño en tres dimensiones que permite gran libertad a la hora de diseñar, así como una gran compatibilidad con otros softwares para realizar los ensayos de verificación.

Es necesario realizar ciertas mediciones previas para conocer de cuánto espacio se dispone. Analizando varios vehículos se obtiene la siguiente tabla de mediciones:

Modelo	Altura (cm)	Anchura (cm)	Profundidad (cm)			
Mercedes SLK	12	38	50			
Volkswagen Polo	20	43	53			
Lexus UX	18	43	48			
Opel Corsa	21	38	50			
Alfa Romeo Giulietta	18	38	50			

Tabla 2 - Mediciones del espacio disponible

### Siendo:

- Altura: distancia entre el suelo y el final del mecanismo del asiento
- Anchura: distancia entre los extremos interiores de los raíles del asiento
- Profundidad: Longitud de los raíles del asiento

Se llega así a la conclusión de que el mecanismo no deberá superar los 20 centímetros de altura mientras que la distancia entre los extremos interiores de los raíles será de 38 cm. En cuanto a la longitud de los raíles, al necesitar que el asiento avance más para que pueda sobresalir por la puerta del vehículo, se propone una longitud de 70 cm, que corresponden a un 140% de la longitud de un raíl normal.

Las primeras piezas por realizar serán los raíles para el desplazamiento longitudinal, con una longitud de 70 centímetros. Es importante tener en cuenta que los raíles constituyen el punto de anclaje del asiento con el resto del vehículo por lo que hay que tenerlo en cuenta a la hora de su diseño. Por norma general



se suelen unir raíles y vehículo mediante tornillos M10 de paso grueso con cabeza hexagonal, con un par de apriete entre los 50 y los 80 Nm En cuanto a la longitud, esta suele estar entre los 20 y los 40 milímetros. Este dato tendrá en cuenta a la hora de diseñar la base que soportará el ensamblaje entero.



Ilustración 11 - Agujeros para sujeción por tornillos M10

El raíl inferior en sí consta de un lado cerrado mientras que en el lado opuesto se encuentra una superficie dentada sobre la que se podrá enclavar el asiento para ajustar la longitud. El lado abierto con los dientes será el lado inferior, de tal forma que se han creado dos raíles simétricos para realizar el ensamblaje. En la base del raíl y entre los tornillos se hará un vaciado en el que se encontrarán los rodamientos que permitirán un desplazamiento suave. Esto se hará mediante jaulas planas de aguja, un tipo de rodamientos basado en una serie de rodillos sobre los que deslizará, en este caso, el raíl superior. En lo que respecta al modelado 3D aplicable a los ensayos, se estaría hablando de una superficie plana más por lo que los rodamientos entrarán en el diseño a partir del proceso de fabricación de la pieza. Además, como se estudiará más tarde estos rodamientos tienen unas propiedades bastante superiores a las del acero utilizado en cuanto a soportar cargas tanto estáticas como dinámicas, por lo que se esperaría que la estructura en general obtuviese un mejor rendimiento en la vida real que en las simulaciones.

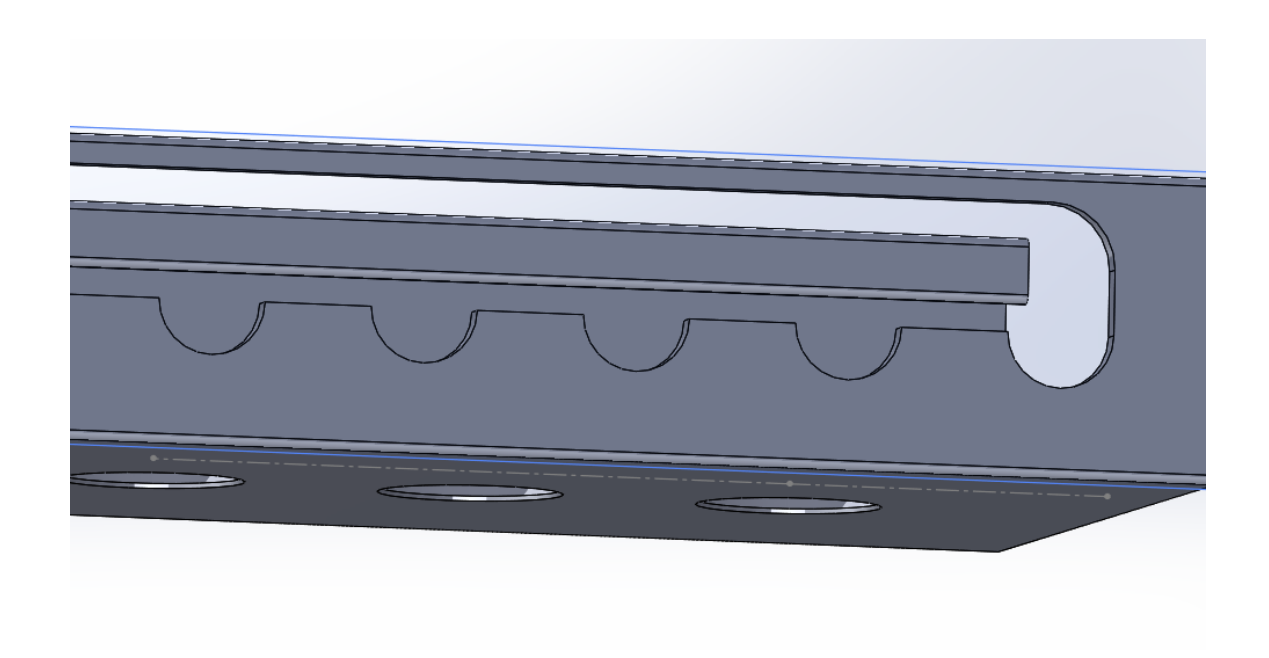


Ilustración 12 - Superficie dentada del raíl inferior

En cuanto al raíl superior se crea una forma que encaje con el raíl inferior y que permita cierto grado de movimiento para que el mecanismo de enclavamiento funcione a la perfección. También se debe tener en cuenta que este raíl debe ser considerablemente más corto que el inferior, pues sobre este se apoyará el asiento.

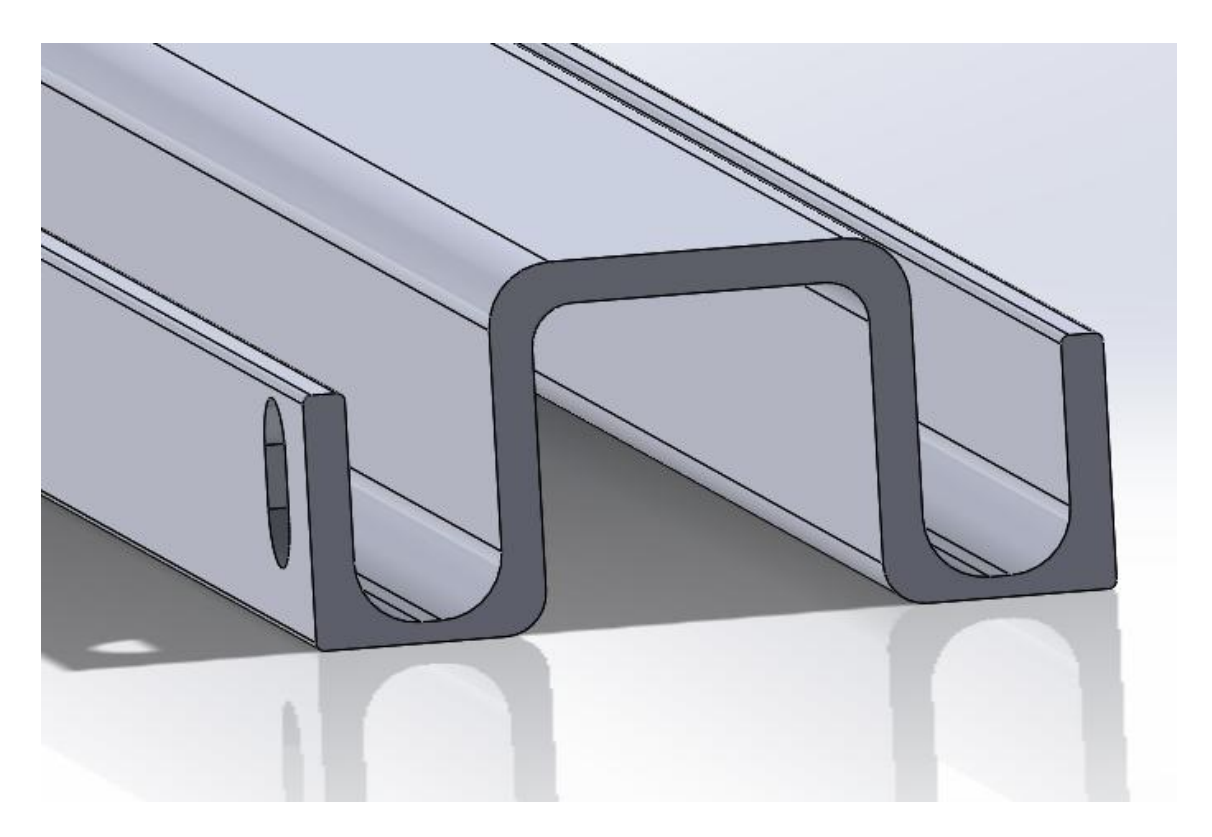


Ilustración 13 - Raíl superior del ajuste longitudinal



La siguiente pieza por realizar será el cerrojo que se utilizará para bloquear la posición del raíl. Se añadirá un agujero en la parte trasera de la misma para facilitar el montaje tanto en el software 3D como en la vida real. A él irá soldada una barra cilíndrica que unirá el mecanismo de cerrojo con su base superior. El cilindro más grueso será el encargado de cerrar la posición del raíl.

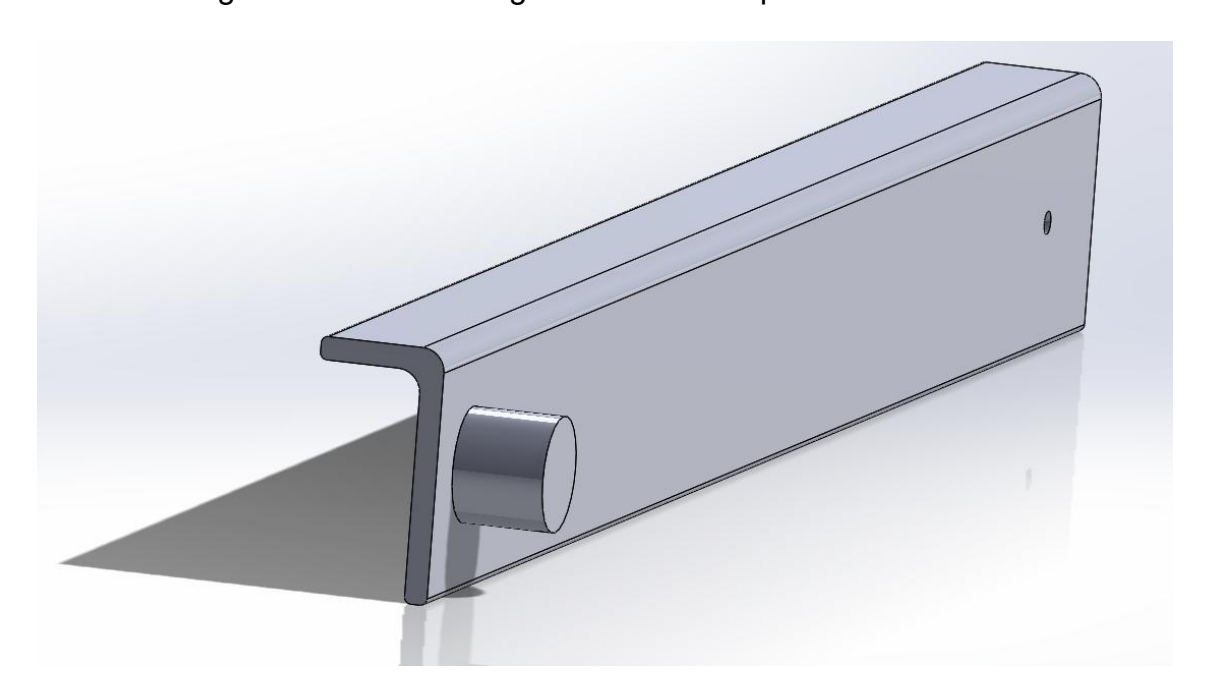


Ilustración 14 - Diseño preliminar del mecanismo de cerrojo

Partiendo del diseño inicial anterior, se añade un cilindro hueco cuya función será acoplar la varilla que actúa de palanca en el sistema de enclavamiento de este ajuste longitudinal. En la siguiente imagen se puede encontrar también el diseño de la varilla ensamblado junto con el resto del primer mecanismo.

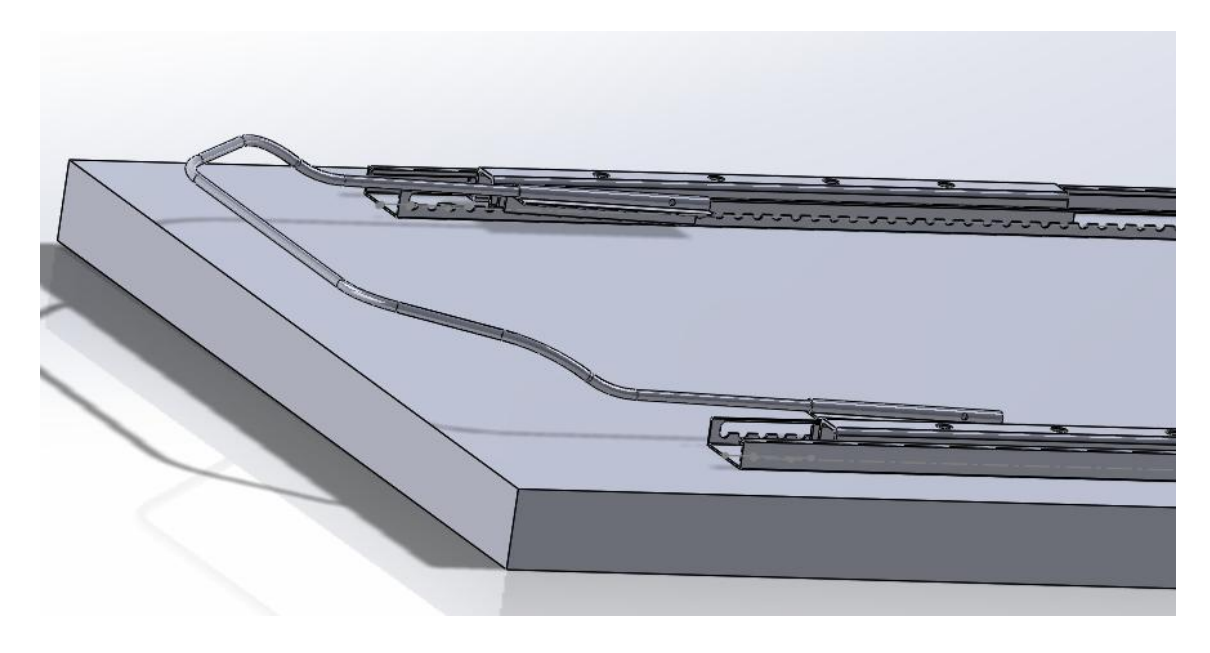


Ilustración 15 - Mecanismo del ajuste longitudinal



Se han añadido en esta etapa del diseño varias roscas para tornillos M8 para construir el siguiente mecanismo, que es la rotación del asiento, sobre los raíles. Para este diseño se comenzará creando una placa base acorde a las medidas marcadas por el anterior ajuste. A esta placa irán unidos tanto la barra cilíndrica que une base y mecanismo como dos muelles de compresión, uno a cada lado, que servirán para fijar los raíles. Los muelles, al no suponer cambios en la simulación de los ensayos, serán calculados analíticamente pero no incluidos en el modelo, ya que se buscará utilizar el menor número de recursos posibles en favor de poder realizar unas simulaciones con mayor precisión en el mallado y, por tanto, en los cálculos.

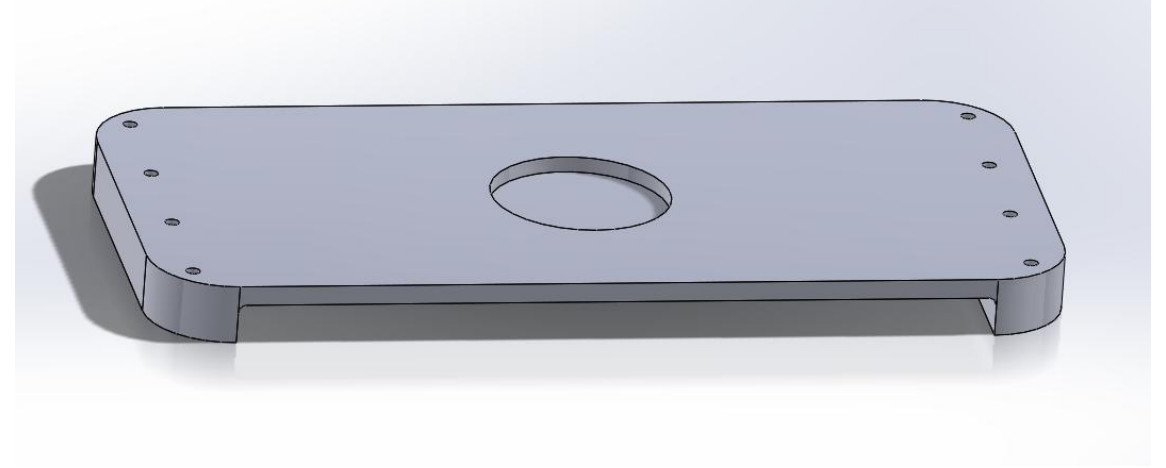


Ilustración 16 - Base para el giro

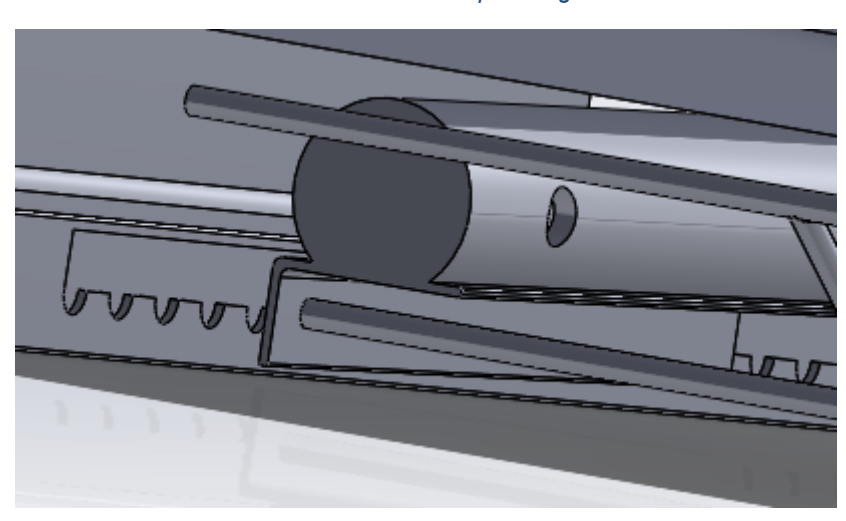


Ilustración 17 - Barra conectora entre mecanismos y base superior

Como se puede apreciar en la siguiente imagen, además de la rosca para los tornillos de M8 que conectan la base a los raíles, se ha realizado un corte cilíndrico para poder acoplar un rodamiento axial de bolas, un tipo de rodamiento idóneo para cargas axiales como la que soportará este ensamblaje.

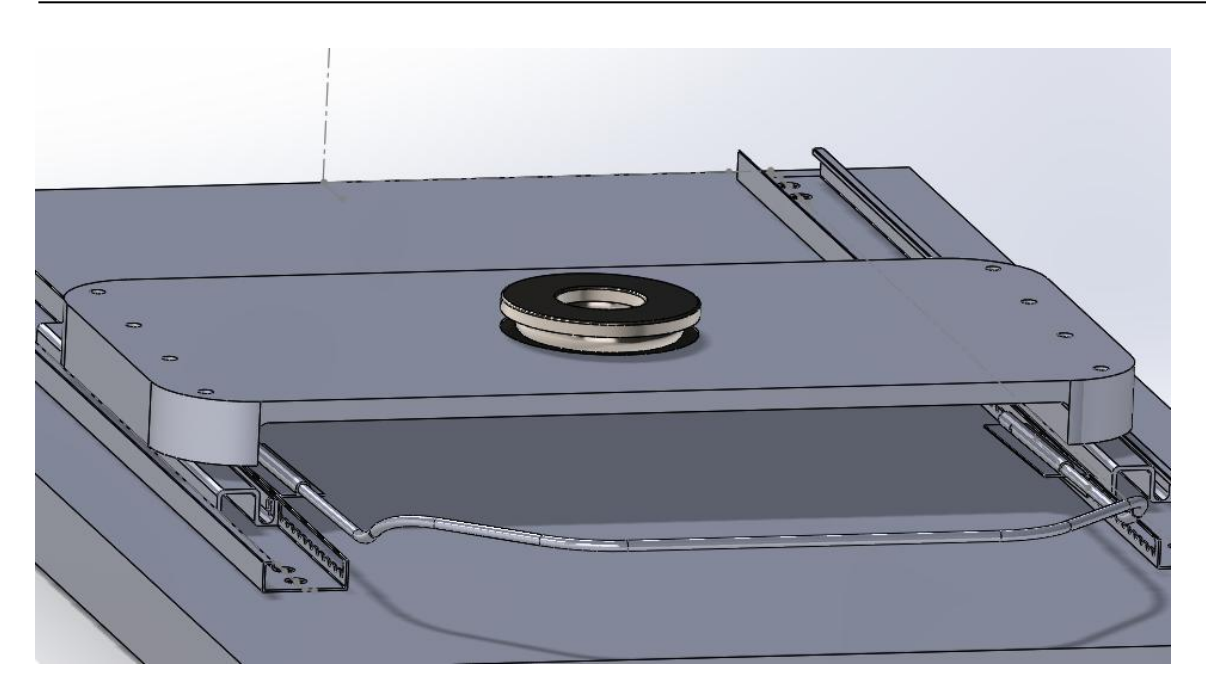


Ilustración 18 - Rodamiento acoplado a la base

El círculo inferior del rodamiento irá soldado a la base anclada a los raíles, mientras que la base que girará irá soldada al anillo superior y encajada con unas tolerancias mínimas con pegamento estructural.

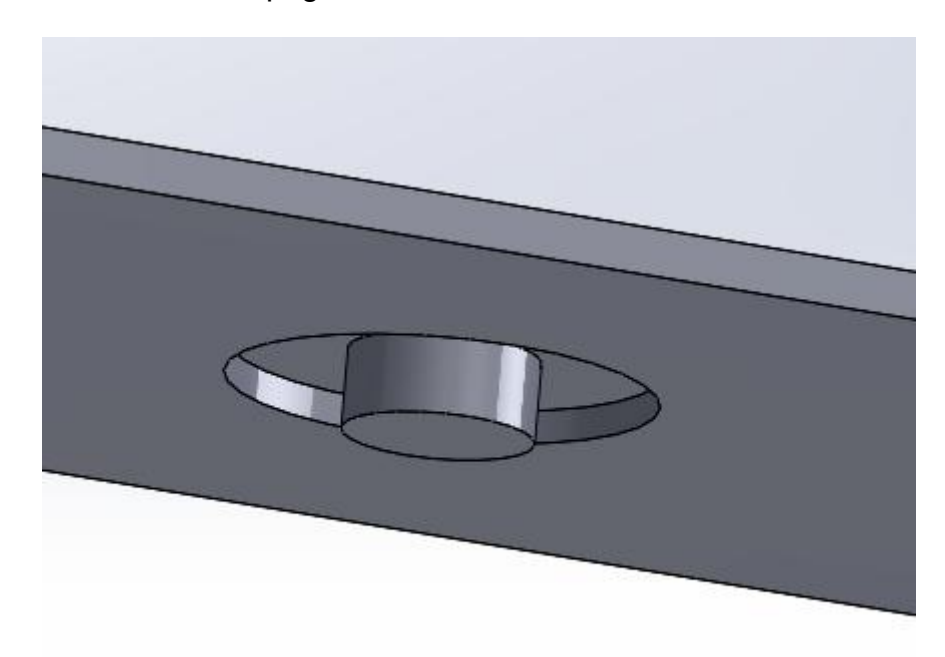


Ilustración 19 - Acople de la base giratoria al rodamiento



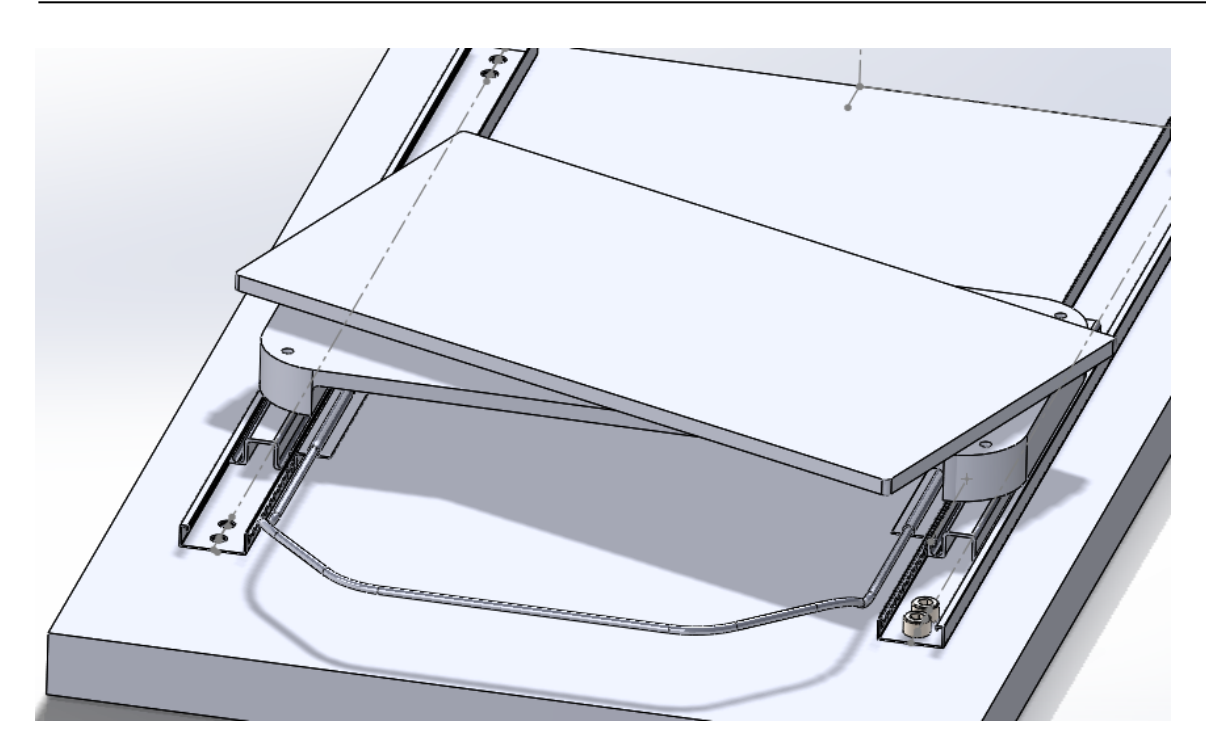


Ilustración 20 - Ensamblaje de la plataforma giratoria

El siguiente paso será crear un mecanismo de enclavamiento para este giro, ya que de no existir se tendría un asiento que giraría sin control cuando el coche esté puesto en marcha. Para crear este mecanismo se ha tomado como referencia los rifles de cerrojo, ya que, contrariamente del ajuste longitudinal del asiento que requiere varias posiciones por la comodidad del usuario, el giro requiere únicamente dos, una recta y otra a 90° que permitan que el asiento salga por la puerta.

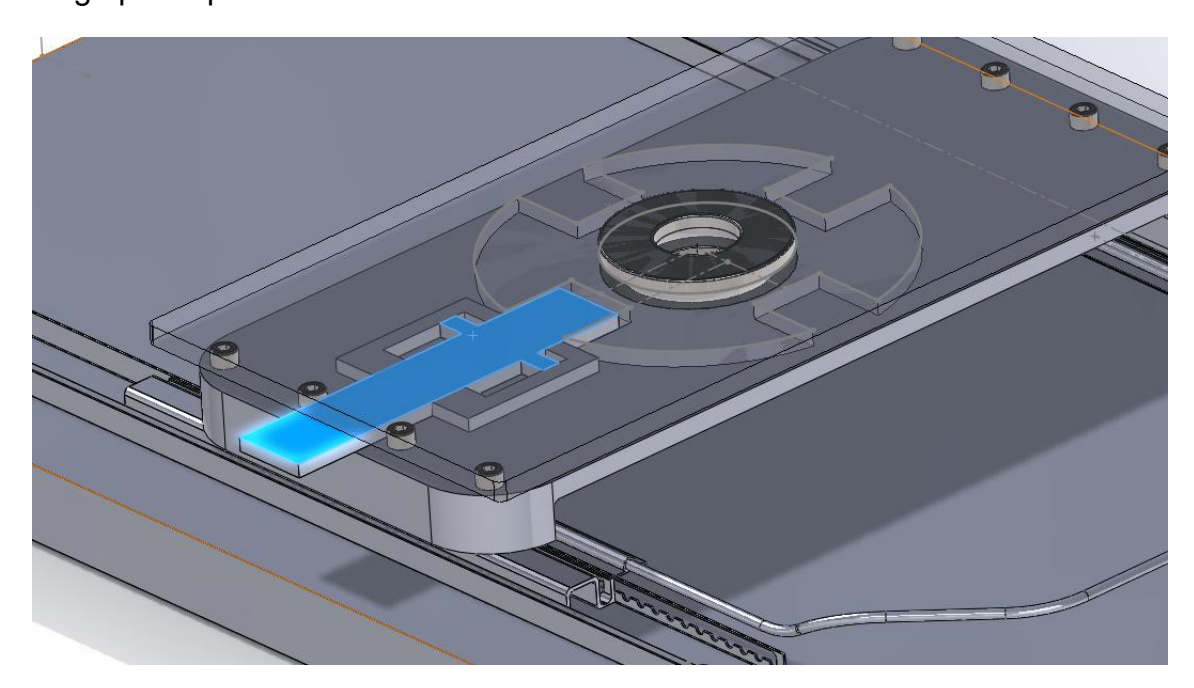


Ilustración 21 - Diseño del mecanismo de restricción al giro



Además, en vistas de un diseño más ergonómico y accesible, se ha creado una anilla en el mismo cerrojo para poder tirar de ella y facilitar el uso del mecanismo.

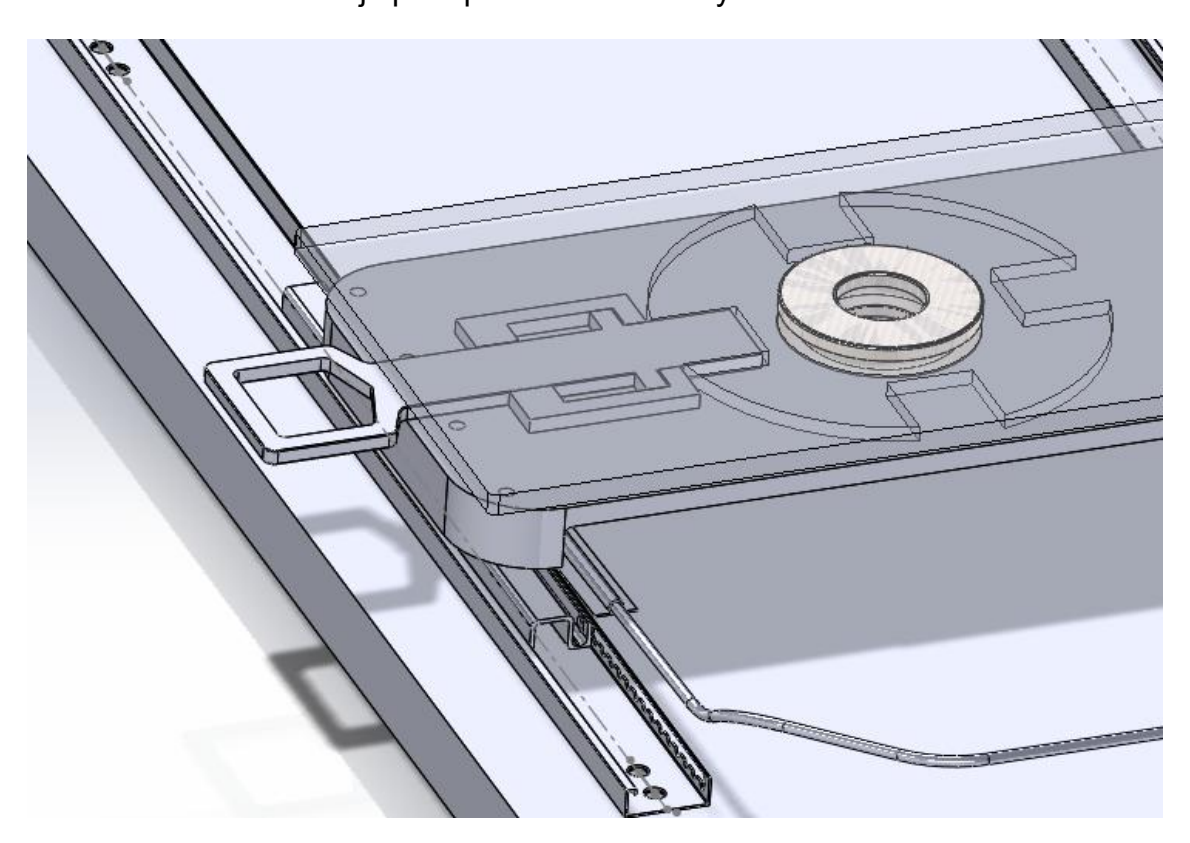


Ilustración 22 - Anilla del cerrojo

Si bien por tolerancias no debería ser necesario diseñar un mecanismo de fijación (la pieza encaja y no permite el movimiento salvo que se haga una fuerza específica en dirección y sentido), por normativa es obligatorio incluirlo. Lejos de disponer del espacio suficiente para incorporar un muelle, se ha optado por la utilización de una pieza roscada de M10. La función de esta pieza será la de hacer de tope para evitar el desplazamiento del cerrojo, y, por tanto, el giro del asiento. Por este motivo la pieza tampoco necesita un par de apriete excesivo, simplemente se necesita que atraviese las dos circunferencias. Se tiene en cuenta que el principal objetivo de esta solución es la accesibilidad y por ello, para facilitar el roscado de la pieza y evitar la necesidad de un destornillador, se ha curvado la pieza tomando forma de una pequeña llave Allen. El asiento está adaptado para personas con movilidad reducida que, en muchos casos, podrán operar con los mecanismos de forma autónoma, pero en la gran mayoría de las casuísticas será el acompañante el que tenga que operar con el asiento, eso sí, con todas las facilidades que ofrece este ensamblaje. Aunque en la siguiente imagen se ha exagerado la rosca para que sea más visual, la idea es que con media revolución la pieza entra y sale de su alojamiento permitiendo el movimiento con un giro de muñeca, similar a cómo funcionan algunas puertas de garaje

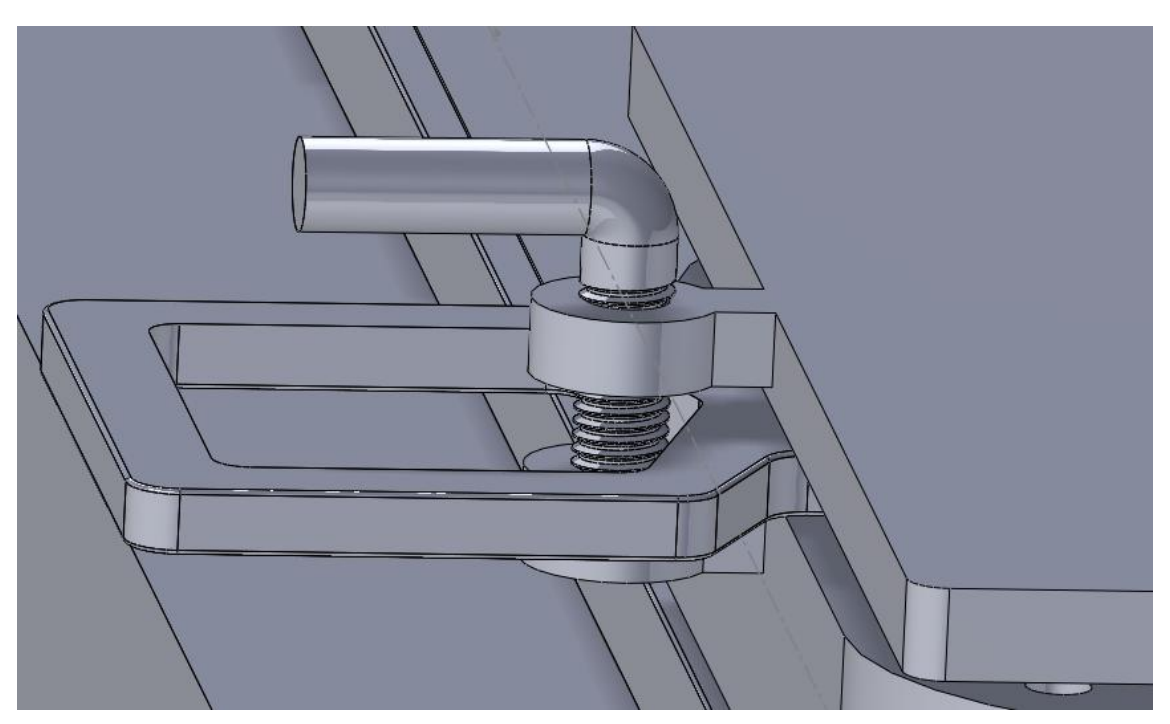


Ilustración 23 - Pieza de fijación

Finalmente habría que instalar los raíles superiores para que el ensamblaje pueda realizar el tercer y último movimiento requerido, el despliegue exterior. Al tener un pasador y una palanca, se plantea un mecanismo de enclavamiento por botón. Dado que los muelles no serán relevantes en la simulación, se ha creado un muelle para la vista previa del ensamblaje. En el siguiente apartado del diseño se estudiarán los parámetros que conciernen a dicho muelle. La función de este será devolver el botón a su estado inicial, evitando que los raíles desplacen sin presionar el pulsador.

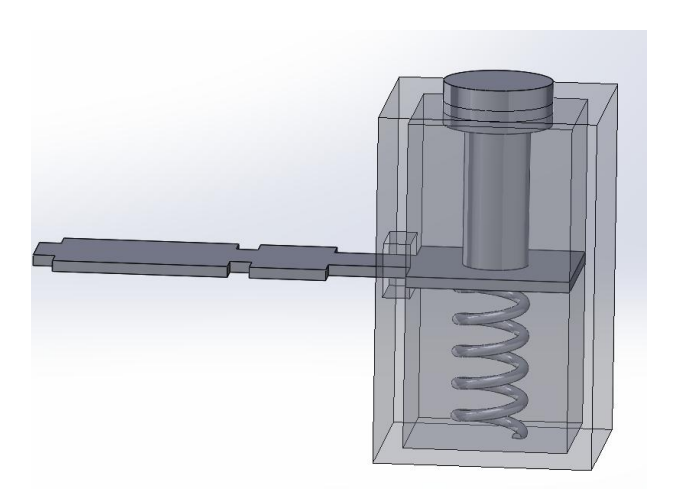


Ilustración 24 - Mecanismo del botón

Para los raíles y su sistema de fijación a la base giratoria se han implementado una serie de cambios con respecto a los raíles inferiores. Dado que el raíl interior avanzará únicamente hacia delante se ha creado en la parte trasera del mismo una muesca que permitirá la creación de un taladrado para tornillos de M6 que



ajustarán este sistema de raíles a la base giratoria. Uno de los principales problemas que puede sufrir este mecanismo es la gran fuerza de flexión a la que estará sometido el sistema en el momento del apoyo del pasajero, por lo que se debe estudiar la manera de ejecutar este ensamblaje de la forma más segura posible.

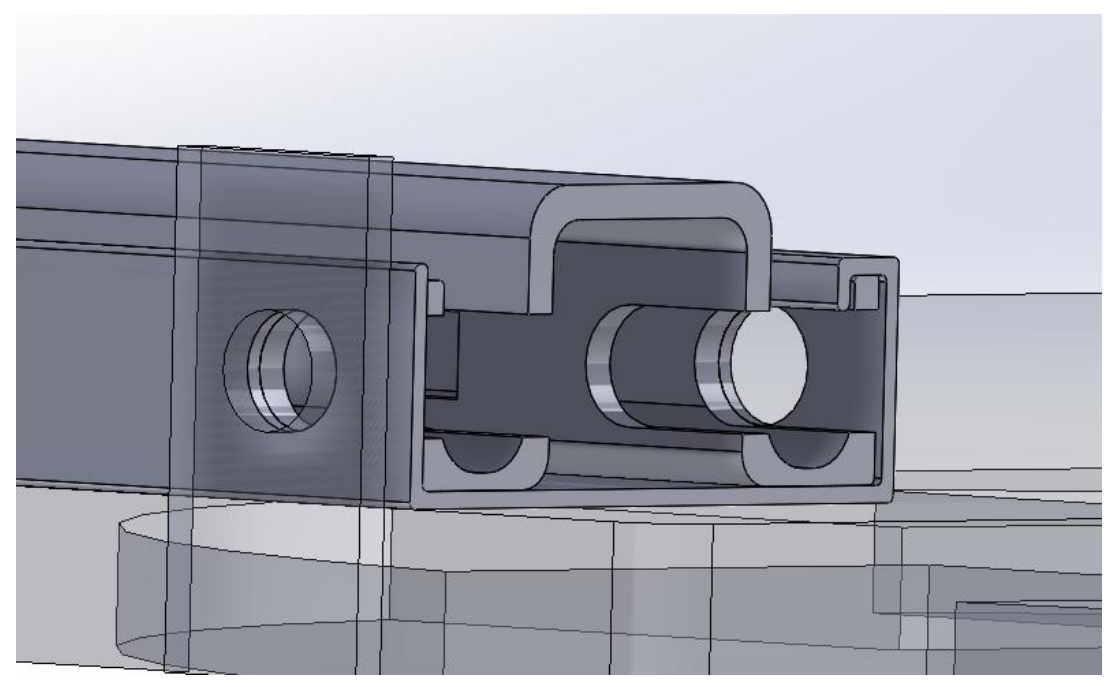


Ilustración 25 - Fijación del despliegue exterior a su base

La parte restante sería crear la plataforma donde se anclará el asiento de cada fabricante, quienes deberán extruir acorde a sus necesidades una plataforma que ya cuenta con los taladros necesarios para ir unida a sus respectivos raíles. Al añadir esta pieza al ensamblaje se da por finalizada la fase inicial del proceso de diseño y se comienzan a realizar los ensayos.

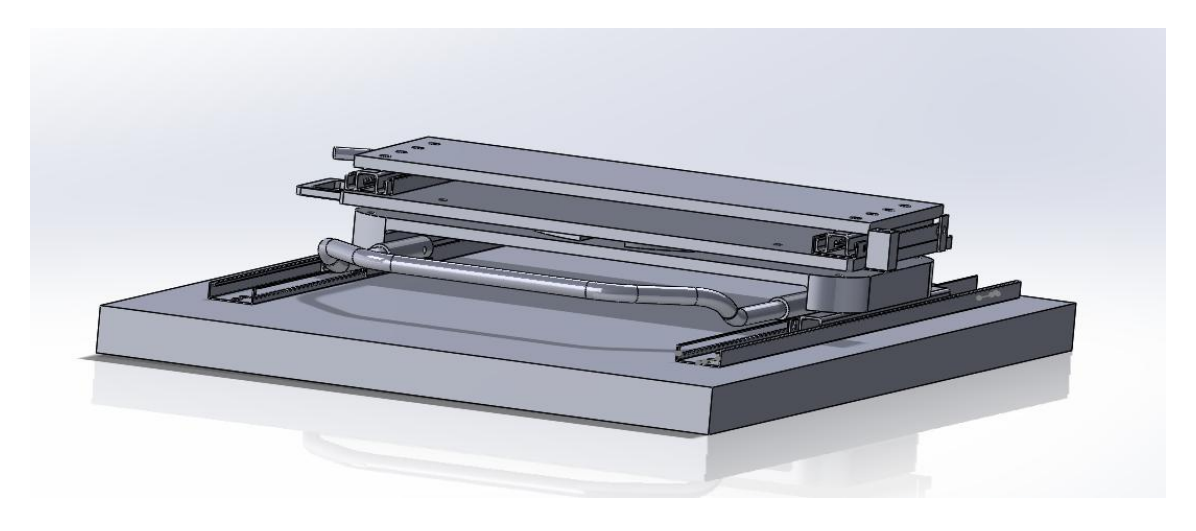


Ilustración 26 - Ensamblaje final



### 4.4 Materiales utilizados

Tras haber diseñado completamente el ensamblaje se deben definir los materiales de los que estará conformado. Se comentarán de manera general los materiales que formará parte del ensamblaje, concretando en qué variante específica del material se utilizará y las partes del mecanismo en las que se podrá encontrar cada material teniendo en cuenta sus propiedades. Es importante tener en cuenta que cada material puede aportar algo distinto al ensamblaje, ya sea en términos de resistencia, peso, o cualquier otro ámbito que pueda afectar al conjunto. Cabe destacar que, dependiendo de la literatura y de los procesos que se le puedan aplicar a cada material los valores de sus propiedades pueden cambiar, por lo que se han buscado datos lo más contrastados posibles y siempre dentro de los rangos establecidos por todos los documentos técnicos encontrados en la web.

### 4.4.1 Aceros

Se trata del componente más importante de la estructura. Aportará la rigidez necesaria al mecanismo para poder soportar las cargas dinámicas, pues es un material con una gran resistencia a tracción y a fatiga. Además de poseer buenas propiedades, es un material fácilmente procesable que puede ser manipulado en diversos procesos de fabricación. Presenta un coste relativamente bajo y es un componente de gran versatilidad, pues puede formar prácticamente todas las piezas del ensamblaje: raíles y guías, ejes, mecanismos de enclavamiento, pernos, tornillos, pasadores y muelles son sólo algunas de las piezas que se pueden formar a partir de este material.

### 4.4.1.1 Acero AISI 1045

El acero AlSI 1045 es un acero al carbono medio con propiedades muy equilibradas y de un uso ampliamente extendido dada su gran versatilidad. Su contenido en carbono va desde el 0,43% hasta el 0,50%, proporcionando un buen equilibrio entre dureza, resistencia y peso.

Se trata de un material que, con respecto al resto de aceros, presenta un nivel medio de tenacidad y de resistencia mecánica, pero siendo bastante más barato que los aceros de baja aleación. Además de ello, es fácilmente soldable y permite su conformado en caliente a temperaturas entre los 980 y los 1230°C. En cuanto a tratamientos superficiales las posibilidades son varias: pueden aplicarse temples, revenidos, recocidos y normalizados entre otros. Con respecto a sus aplicaciones, como ya se ha comentado con anterioridad, son muchas debido a sus grandes características por lo que se podrá encontrar este material en diversas industrias. Desde ejes, engranajes o barras de torsión en la industria automotriz hasta partes de sistemas de propulsión en la industria naval pasando por componentes de maquinaria pesada en la construcción, las aplicaciones de este material también pasan por las industrias mineras, agrícolas y muchas otras.



Densidad	7,85 g/cm <sup>3</sup>
Módulo de Young	206 GPa
Coeficiente de Poisson	0,29
Resistencia a la tracción (estirado en frío)	565 – 700 MPa (600 MPa)
Límite elástico	310 – 379 MPa

Tabla 3 - Propiedades Acero AISI 1045

Este será el material seleccionado para las siguientes piezas:

- Guías
- Raíles

### 4.4.1.2 Acero AISI 6150 (50CrV4)

En este acero al carbono se destaca la presencia del Vanadio y del Cromo con porcentajes de la composición química total del compuesto en torno al 0,18% con respecto al Vanadio y del 1,05% referido al Cromo. Estos compuestos aportan una mejora notable en la resistencia del acero a la tracción y al desgaste. Se trata de un material que presenta gran resistencia mecánica y tenacidad, permitiendo así a este tipo de acero disponer de una buena estabilidad ante esfuerzos prolongados en el tiempo o ante deformaciones bruscas.

Ofreciendo una menor facilidad frente a los procesos de soldadura que la ofrecida por el AISI 1045, se trata de un material que trabaja muy bien al mecanizarse tras un revenido. Es por ello por lo que las geometrías que se conformarán con este material serán más sencillas.

Por norma general este material se usa en muelles, ejes, o elementos de fijación que trabajan a fatiga, y es por este motivo por el que se usará en los muelles del mecanismo, así como en otros componentes en los que se busque una resistencia extra con respecto al acero anterior.

Densidad	7,8 g/cm <sup>3</sup>
Módulo de Young	205 GPa
Coeficiente de Poisson	0,29
Resistencia a la tracción	1145 MPa
Límite elástico	1000 MPa

Tabla 4 - Propiedades Acero AISI 6150 (50CrV4)



### 4.4.2 Aluminio y aleaciones ligeras

Frente al acero, pesado y con grandes propiedades mecánicas, se encuentra el aluminio, que ofrece prestaciones más bajas, pero por un peso mucho menor. Reducir el peso del mecanismo del asiento es crucial para poder superar con éxito los ensayos establecidos por la norma, pues deben cumplirse en base al peso del propio mecanismo. Su coste es inferior al del acero y es mucho más manipulable, por lo que se buscará maximizar el número de piezas formadas a partir de aluminio sin afectar a la seguridad general del ensamblaje.

#### 4.4.2.1 Aluminio 6061-T6

Conocida comúnmente como aluminio estructural, esta aleación de aluminio es de las más extendidas en el mundo de la ingeniería, sobre todo dentro de las industrias automotriz y aeronáutica. Se trata de un compuesto que ofrece un perfecto equilibrio entre prestaciones, precio y manejo.

Se diferencia de la aleación 6061-T4 en que en su proceso de conformado ha sido endurecida mediante un tratamiento térmico y envejecida artificialmente para obtener mejores propiedades mecánicas. Es una aleación compuesta por aluminio, silicio y magnesio, pero también se pueden encontrar de forma minoritaria en su composición química elementos como el magnesio, el zinc, el hierro, el cobre o el titanio entre otros.

Se presenta como un material importante dentro de la estructura del ensamblaje ya que posee una gran resistencia mecánica y una buena maquinabilidad. Además, este material presenta una buena conductividad térmica, es ligero y reciclable. Este hecho puede pasar desapercibido, pero es de gran importancia ya que se puede reutilizar el 100% del aluminio usado en el mecanismo sin que haya perdido sus propiedades. Gracias a todas estas propiedades se usa en la creación, por ejemplo, de mástiles y plataformas en la industria naval, en la fabricación de carrocerías o estructuras del chasis en la industria automotriz o incluso en la fabricación de barandillas y otros elementos exteriores por su capacidad de resistencia a la corrosión.

Densidad	2,7 g/cm <sup>3</sup>
Módulo de Young	69 GPa
Coeficiente de Poisson	0,29
Resistencia a la tracción	310 MPa
Límite elástico	276 MPa

Tabla 5 - Propiedades Aluminio 6061-T6



### 4.4.3 Polímeros técnicos

Los polímeros técnicos son una categoría especial de plásticos que surge para cumplir con unas especificaciones muy concretas dentro del mundo de la ingeniería

En los últimos años los polímeros están viendo como su uso aumenta exponencialmente en aplicaciones ingenieriles, pues, a medida que se van desarrollando y se van consiguiendo unas mejores propiedades, se van erigiendo como una solución igual de válida que los materiales más tradicionales. Se caracterizan principalmente por tener una gran resistencia a altas temperaturas y frente a impactos, así como una gran rigidez y resistencia química entre otras muchas propiedades. Según las necesidades para las que sea creado el compuesto, estos se conforman con unos materiales u otros, con unas geometrías u otras, y mediante unos procesos ingenieriles u otros, todo para cumplir con los estándares establecidos por la norma y con las necesidades del producto.

### 4.4.3.1 Acrilonitrilo butadieno estireno (ABS)

Este material es un termoplástico opaco y amorfo ya extendido en la industria ingenieril. Está compuesto por un 50% de estireno y el otro 50% se reparte entre el butadieno y el acrilonitrilo, aportando cada uno de estos materiales algo distinto al conjunto. El estireno, producto de la deshidratación del etilbenceno, aporta gran rigidez al material, además de facilitar el procesado. Por su lado, el butadieno (derivado del etileno) le aporta tenacidad y resistencia al impacto, mientras que el acrilonitrilo (formado por amoniaco y propileno) genera la resistencia térmica y química necesaria.

Uno de los procesos de conformado es la polimerización por emulsión, en la que mase obtiene un líquido como resultado de la combinación de los tres componentes, mientras que el otro proceso es la polimerización en masa continua, donde se puede obtener ABS a partir de materiales reciclados. El ABS se caracteriza por su robustez y durabilidad, teniendo una gran capacidad para absorber impactos. Además, uno de los factores principales que han propiciado la selección de este material es su resistencia al calor debido a su alta temperatura de transición vítrea, pues otros polímeros no aguantarían la temperatura del habitáculo del coche en las temporadas calurosas. Las piezas de ABS se suelen fabricar por moldeo por inyección y extrusión, pero también se utilizan filamentos de este material para realizar impresiones en 3D.

Densidad	1,05 g/cm <sup>3</sup>
Módulo de Young	2,1 – 2,4 GPa
Coeficiente de Poisson	0,37



Resistencia a la tracción	41 MPa
Límite elástico	32 MPa
T <sup>a</sup> transición vítrea	104 °C

Tabla 6 - Propiedades Acrilonitrilo butadieno estireno

# 4.5 Descripción general del diseño preliminar

Peso	13,33 kg
Ancho (distancia entre guías)	46 cm (38 cm)
Alto	10,5 cm
Largo	70 cm

Tabla 7 - Especificaciones del mecanismo preliminar

Para saber de qué material está hecho cada componente se han pintado las piezas de un color distinto siguiendo la siguiente lógica:

Azul	Aluminio 6061-T6
Verde	Acero AISI 1045
Amarillo	Acero AISI 6150
Rojo	ABS

Tabla 8 - Guía de colores

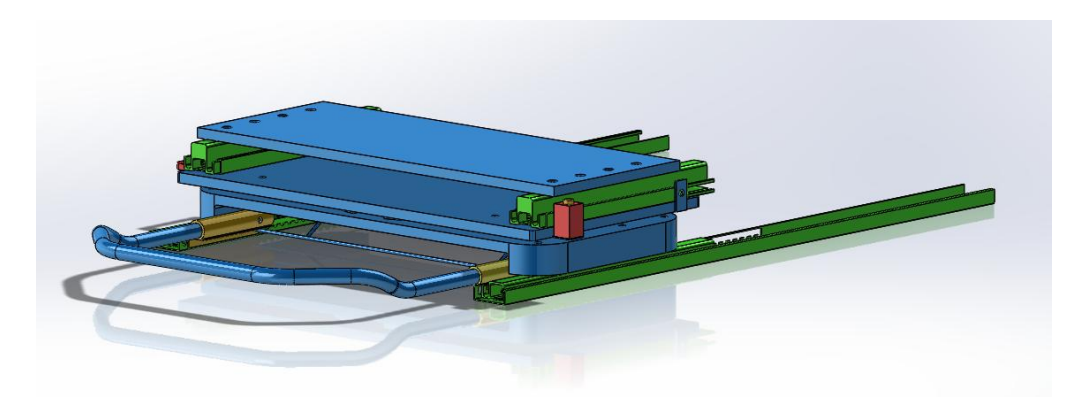


Tabla 9 - Esquema de colores I



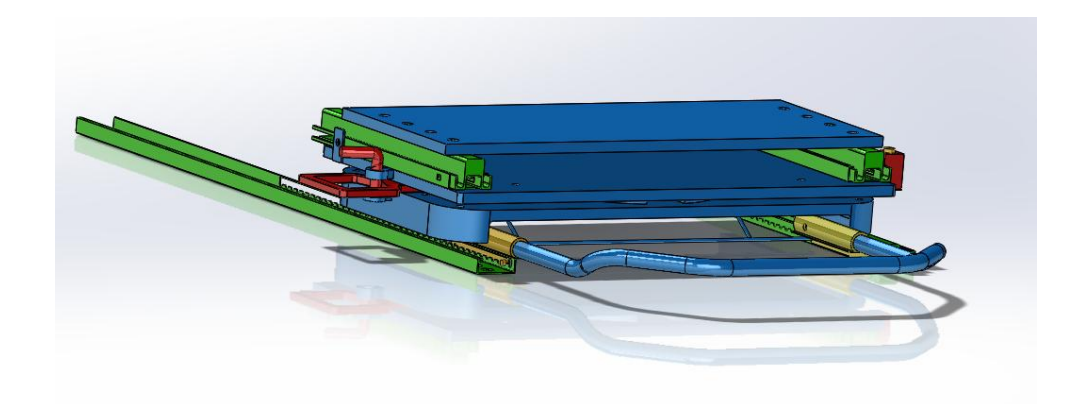


Tabla 10 - Esquema de colores II

### 4.6 Diseño de tornillería

### 4.6.1 Tornillos conectores suelo-raíl

Es importante antes de calcular los esfuerzos que sufren los tornillos y el material del que deben estar hechos conocer la masa del ensamblaje total, puesto que la carga que debe soportar el asiento vendrá determinada por el peso del conjunto.

Se calculará la cortadura en los tornillos de la base inferior, pues serán los que soporten el conjunto del ensamblaje.

Se suponen 20 kg del asiento en total, al que se le sumaran 100 kg de pasajero para realizar esta prueba. Como bien se explicaba en el ensayo frente a impactos frontales, la fuerza será de 20g

$$120 kg \cdot 20 \cdot 9.8 \ m/_{S^2} = 23.520 N$$

Para disipar esta fuerza se dispone de 8 tornillos de M12

$$\frac{23.520 N}{8 \text{ tornillos}} = 2.940 N$$

Teniendo un espesor de placa de 3 mm y siendo un tornillo de M12, el área será de 36 mm²

$$\tau = \frac{F}{A} = \frac{2.940}{36} = 81,6 MPa$$

Disponiendo de la tensión a cortadura de cada tornillo en un caso de un impacto terminal, se define el material del que estarán hechos los tornillos. El material seleccionado será el acero templado y revenido 41Cr4 (clase 10.9) que con una resistencia a la tracción entre 1100 y 1200 MPa puede soportar perfectamente los 82 MPa de cortadura. (Se recuerda que la resistencia a cortadura suele ser el 60% de la resistencia a tracción del material, en torno a unos 660 – 720 MPa >>> 81,6 MPa)



### 4.6.2 Tornillos conectores raíl-base inferior

Se aplicará la misma lógica que con la tornillería anterior, pero eliminando el peso de los raíles pues estos sólo soportan la inercia de aquello que se encuentra por encima suya. De este modo, a los 20 kg propuestos de todo el asiento le restamos 1,6 kg de los raíles tanto inferiores como superiores del ajuste longitudinal.

$$118.4 \ kg \cdot 20 \cdot 9.8 \ m/_{s^2} = 23.206.4 \ N$$

Para disipar esta fuerza se dispone de 8 tornillos de M8

$$\frac{23.206,4 \, N}{8 \, tornillos} = 2.900,8 \, N$$

Teniendo un espesor de placa de 32 mm y siendo un tornillo de M10, el área será de 256 mm<sup>2</sup>

$$\tau = \frac{F}{A} = \frac{2.900,8}{320} = 9,065 \, MPa$$

En este caso, al tener una tensión de cortadura tan baja, se podría ahorrar y seleccionar tornillos con menores especificaciones, pero más baratos, sin embargo, la idea principal es realizar un diseño unificado para facilitar el montaje y el desmontaje en los talleres, y teniendo en cuenta que en la industria automovilística es prácticamente un estándar de calidad utilizar tornillos de clase 10.9, estos serán los seleccionados para el diseño.

### 4.6.3 Tornillos conectores raíl-base superior

De nuevo se procede a eliminar el peso que no corresponde a este ajuste. Al ser la base superior, se tomarán 9 kg como el peso a soportar por esta base (correspondientes al asiento y a la base)

$$109 \ kg \cdot 20 \cdot 9.8 \ \frac{m}{s^2} = 21364 \ N$$

Para disipar esta fuerza se dispone de 12 tornillos de M10

$$\frac{21364 \, N}{12 \, tornillos} = 1780,3 \, N$$

Teniendo un espesor de placa de 25 mm y siendo un tornillo de M10, el área será de 250 mm²

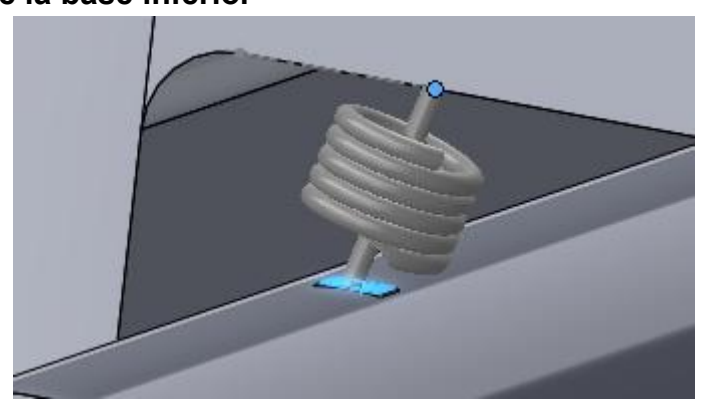
$$\tau = \frac{F}{A} = \frac{1780,3}{250} = 7,12 MPa$$

Para estos últimos tornillos superiores la tensión sigue siendo mínima, por lo que se podría seleccionar prácticamente cualquier clase de tornillo, sin embargo, al igual que en el caso anterior, se utilizarán tornillos clase 10.9



### 4.7 Diseño de muelles

### 4.7.1 Muelle de la base inferior



llustración 27 – Simulación de posición del muelle de los raíles inferiores

Se definirá que para completar el movimiento del mecanismo será necesario aplicar una fuerza de 20 N, el equivalente a 2 kg de peso. Por supuesto, existirán dos muelles uno en cada fijación del mecanismo para dotar al ensamblaje de mayor robustez, por lo que cada muelle recibirá la mitad de la carga, es decir, 10 N

Longitud total = 11 mm 
$$F = k \cdot \Delta x$$
Longitud en mecanismo = 8 mm 
$$k = \frac{F}{\Delta x} \qquad k = \frac{10 \text{ N}}{3 \text{ mm}}$$

$$\Delta x = 3 \text{ mm}$$

$$k = 3.33 \text{ N/mm}$$

Una vez definida la constante del muelle (k), Se definen cuatro de las cinco variables restantes. En este caso, se ha seleccionado material, que será el aluminio debido a su extendido uso en muelles, el número de espiras, el diámetro del alambre y por supuesto la constante elástica definida anteriormente. Al combinar estos datos con la ecuación adecuada se obtendrá el diámetro de la espira del muelle.

$$G = 26.000 \, N/mm^2$$

$$k = \frac{Gd^4}{8D^3n}$$

$$d = 1 \, mm$$

$$D = \sqrt[3]{\frac{Gd^4}{8kn}} \quad D = \sqrt[3]{\frac{26000 \cdot 1^4}{8 \cdot 3,33 \cdot 4}}$$

$$k = 3,33 \, N/mm$$

$$D = 6,25 \, mm$$

$$n = 4$$



### 4.7.2 Muelle de ajuste del botón superior

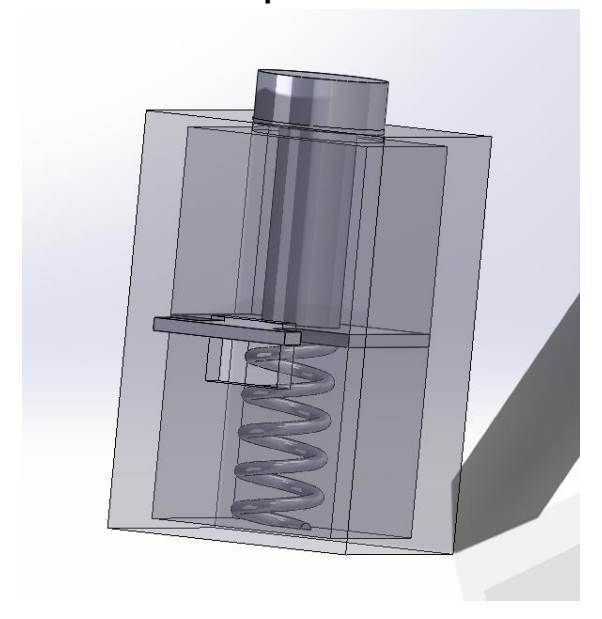


Ilustración 28 - Muelle en el mecanismo del botón

El recorrido del muelle será de 5 mm, mientras que la fuerza de pulsación será de 4 N, por lo que de estos datos se puede obtener la constante elástica

Fuerza aplicada = 4 N 
$$F = k \cdot \Delta x$$
 
$$\Delta x = 5 mm$$
 
$$k = \frac{F}{\Delta x} \qquad k = \frac{4 N}{5 mm}$$
 
$$k = 0.8 N/mm$$

En este caso se ha escogido como material el acero por su alta resistencia y uso generalizado en muelles, así como se han definido diámetro del muelle y número de espiras.

$$G = 80.000 \ N/mm^2$$
  $k = \frac{G d^4}{8D^3 n}$   $d = \sqrt[4]{\frac{8knD^3}{G}} \ d = \sqrt[4]{\frac{8 \cdot 0.8 \cdot 8 \cdot 12^3}{3.33}}$   $k = 0.8 \ N/mm$   $d \approx 1,07 \ mm$   $n = 8$ 

### 4.8 Diseño de rodamientos

A la hora de ofrecer este producto al gran público es de suma importancia la ergonomía del conjunto, y en este caso, asegurar unos movimientos suaves para mejorar la experiencia global del usuario.

Si bien se podrían realizar unos raíles que funcionases exclusivamente por fricción realizando tratamientos superficiales a las partes móviles, tarde o



temprano acabarían perdiendo efectividad y el movimiento no sería todo lo fluido que se requiere.

Es por esto por lo que se ha optado por la inclusión de rodamientos en la parte inferior de los raíles fijos. Por otro lado, cabe destacar que los rodamientos usados en cada raíl tienen mayor capacidad de carga axial que los propios raíles por lo que, al no afectar en la simulación, se ha decidido omitirlos y añadirlos analíticamente. Sus características superan ampliamente las exigencias que se pueden pedir al conjunto, y, por tanto, su comportamiento no será un factor crítico para tener en cuenta durante la simulación estructural.

Los rodamientos elegidos son jaulas planas de rodillos. Estos rodamientos se caracterizan por tener una matriz en la que encontramos varios rodillos que están en contacto tanto con la cara móvil como con la cara fija.



Ilustración 29 - Jaula plana de rodillos utilizada

La velocidad del centro del rodillo deberá ser la mitad de la velocidad que lleve el raíl móvil, de tal forma que los rodillos siempre avanzarán la mitad de lo que avanza la parte en movimiento. Para que exista rodadura sin deslizamiento los puntos del rodillo deben igualar la velocidad de las partes con las que están en contacto. De este modo se plantean las siguientes ecuaciones.

Para el punto de contacto inferior (rodillos con raíl fijo):

$$v_{rodillo} - v_{tangencial} = 0$$

Para el punto de contacto superior (rodillos con raíl fijo):

$$v_{rodillo} + v_{tangencial} = v_{rail\ m\'ovil}$$



De esta forma, al despejar ambas ecuaciones se comprueba lo anteriormente mencionado, que la velocidad del rodillo es la mitad de la velocidad del raíl móvil y, por tanto, se deslazarán las jaulas la mitad que la parte en movimiento.

$$2 v_{rodillo} = v_{rail movil}$$

Debido a las restricciones de espacio libre que existen en mecanismos como unos raíles se ha seleccionado una jaula de rodillos con unas medidas muy concretas. Lo anteriormente simulado y diseñado como una parte inferior del raíl fijo fina (facilitad mallado y procesos de cálculos CFD), en la práctica tendrá un poco más de espesor, pues deberá alojar las filas de jaulas de rodamientos. Se crearán a ambos lados de cada raíl dos carriles con las medidas exactas para alojar los rodamientos.

### 4.8.1 Jaula de rodillos seleccionada

El rodamiento de jaula plana seleccionado será el FF2010-0-2 del fabricante INA. Esta jaula tiene un diámetro de rodillo de 2 mm y una longitud de 32 mm más 2 mm adicionales de encaje con piezas sucesivas. Tiene una anchura de 10 mm y presenta 9 rodillos que pueden soportar casi 62.000 N a carga estática y algo más de 21.000 N a carga dinámica. Para poner en contexto estos datos, cada jaula de rodamientos (habrá varias por cada lado de los raíles) puede soportar sobre 6000 kg. Este es el motivo de haber omitido los rodamientos para las simulaciones, pues los seleccionados poseen unas propiedades absurdas y lo único que se podría haber conseguido es desvirtuar el resto de los resultados. La ficha técnica de los rodillos utilizados se encuentra en el Anexo 6 para cualquier consulta.

### 4.8.2 Rodamientos de los raíles inferiores

En base a la máxima de que el desplazamiento de los rodillos será la mitad de lo que desplace el raíl móvil, el procedimiento para calcular dónde se sitúan los rodillos será el siguiente:

Dado que no se plantea soldar chapa sobre las jaulas para hacer de tope y evitar que se salgan con baches o imperfecciones de la carretera, los rodamientos deberán siempre estar bajo el raíl móvil.



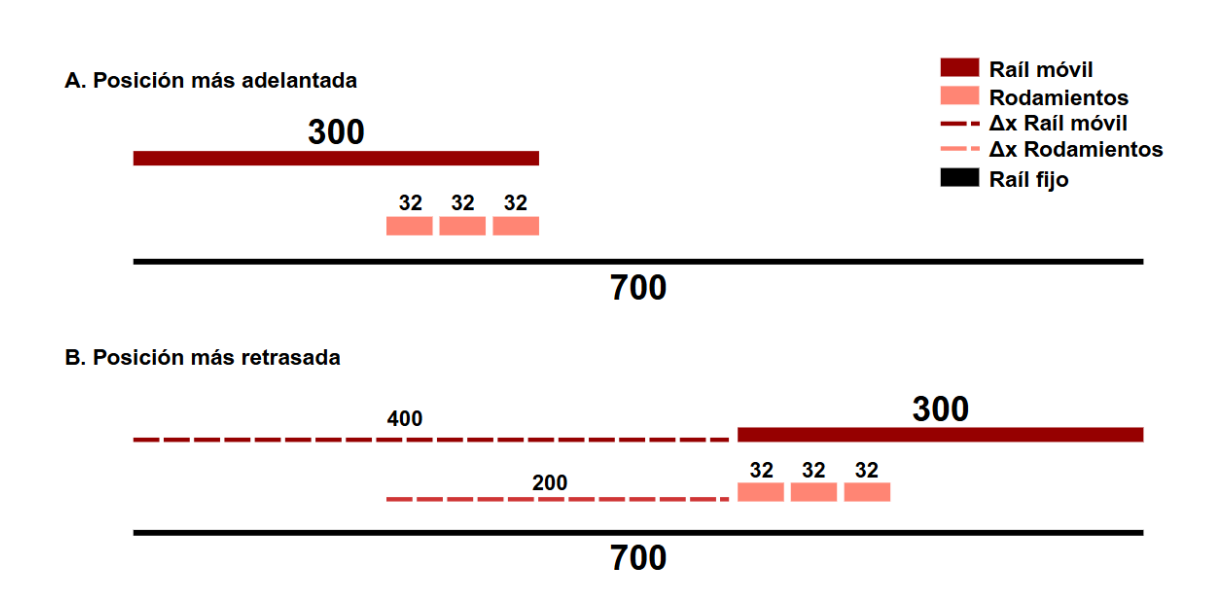


Ilustración 30 - Esquema de posición de rodamientos en raíles inferiores

De esta forma, sabiendo el recorrido que hace el raíl móvil podemos determinar la posición de los rodamientos para que siempre se encuentren bajo este. De esta forma, se extruirá un corte exacto de las dimensiones del recorrido que hacen los rodamientos entre las posiciones dadas.

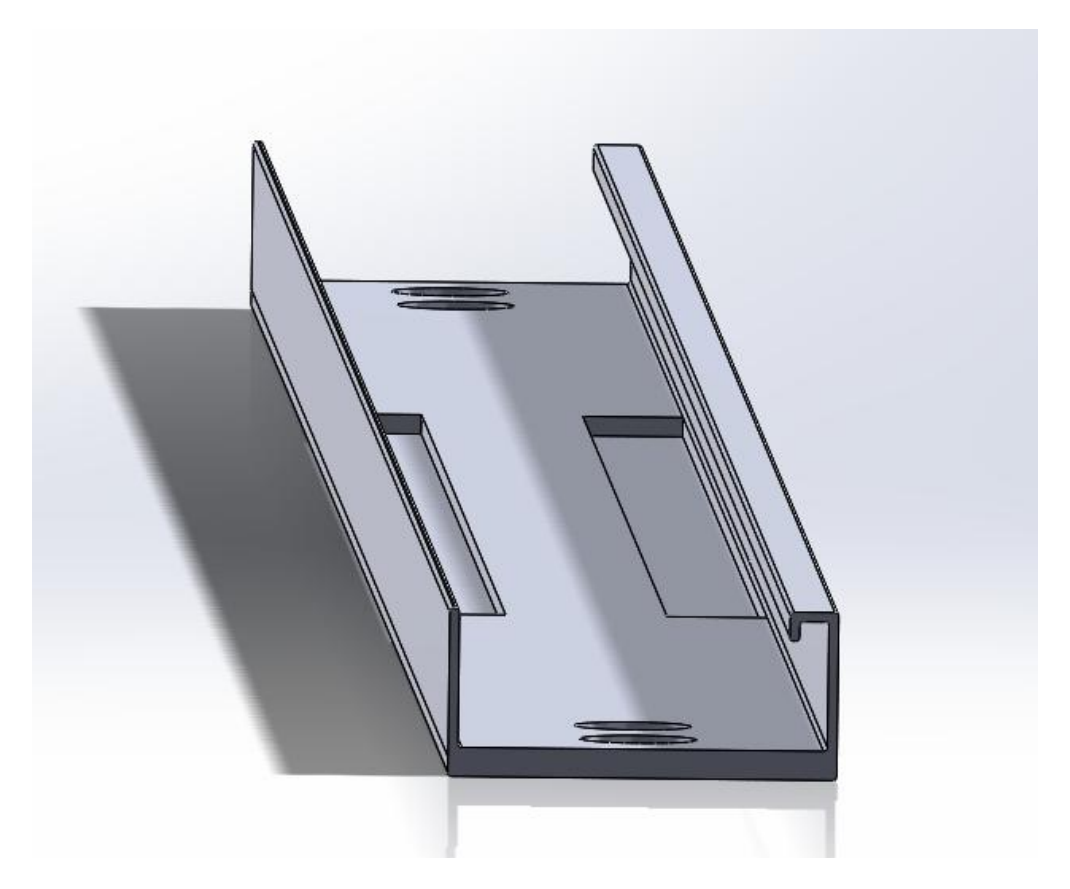


Ilustración 31 - Corte para el alojamiento de rodamientos

El corte se situará a 200 mm del inicio del raíl y se extenderá por 300 mm más. De estos 300 mm estarán 96 mm ocupados por 3 jaulas de rodamientos



consecutivas unidas entre sí usando la geometría de puzle que presentan en los extremos.

### 4.8.3 Rodamientos de los raíles superiores

La colocación de las jaulas de rodillos seguirá la misma lógica que los utilizados en los raíles inferiores. En este caso, al haber más margen de espacio porque el raíl superior es bastante más grande que el inferior, hay más libertad a la hora de colocar los rodamientos. El corte será homólogo al realizado en los raíles inferiores, con dos carriles y continuo para permitir el movimiento de las jaulas. Se situará a 25 mm del inicio del raíl inferior y tendrá una longitud de 150 mm.

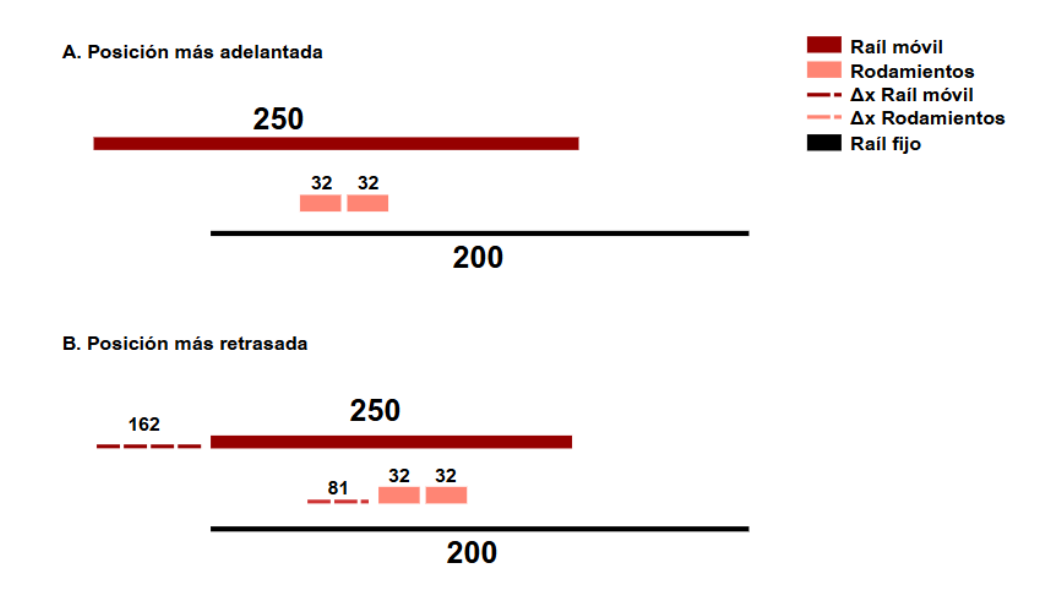


Ilustración 32 - Esquema de posición de rodamientos en raíles superiores

## 4.9 Simulación y ensayos

Para llevar a cabo esta parte del proyecto se introduce la geometría en el software de simulación ANSYS Student. Mediante sus métodos de cálculos por elementos finitos se realizarán distintos ensayos estructurales estáticos que demostrarán cómo se comporta el ensamblaje frente a diversas casuísticas. Estas casuísticas son las estipuladas en el apartado 3.2 de este mismo proyecto. Con respecto a la manera en la que se realiza el estudio, se han creado en la propia biblioteca del software de simulación los materiales descritos en el punto 4.4 para realizar los ensayos con la geometría y los materiales pertinentes.

# 4.9.1 Resultados del ensayo de resistencia del anclaje del asiento y los sistemas de regulación, enclavamiento y desplazamiento

En este ensayo se busca estudiar la respuesta del mecanismo frente a un posible impacto frontal. Es importante destacar que, en el momento del impacto, si bien hay figuras del asiento como el respaldo o el reposacabezas que absorben algo de la fuerza generada por el impacto, no es el caso del mecanismo de anclaje de este, que deberá simplemente soportar su propio peso y evitar que las inercias derivadas del impacto rompan algún elemento. Surge la pregunta



sobre qué o quién absorbe entonces la fuerza generada por el impacto. Como respuesta se obtiene, principalmente, la estructura el vehículo que debe estar diseñada para ello, y en lo que respecta a los pasajeros, son airbag y cinturón quienes deben soportar esas cargas. La función del asiento es la de mantener al pasajero en la posición adecuada para que los sistemas anteriores no pierdan eficacia, así como la de absorber algo de energía (función de reposacabezas y respaldo) como se comentaba anteriormente.

### 4.9.1.1 Cargas

Según la norma se debe aplicar una carga frontal o en su defecto, trasera, que constará de una fuerza aplicada de 20 g durante 30 milisegundos.

$$20g = 20 \cdot 9.81 \, \frac{m}{s^2} = 196.2 \, \frac{m}{s^2}$$

Esta aceleración se debe aplicar a la masa del asiento, que al ser la de la solución 13,457 kg, se supone una masa final del asiento sobre los 20 kg al añadirle partes acolchadas y su estructura (respaldo, reposacabezas, asiento y anclajes).

$$20 kg \cdot 196,2 \frac{m}{s^2} = 3924 N$$

### 4.9.1.2 Caracterización del ensayo

Se carga el ensamblaje dentro del software de simulación y se establecerán las siguientes condiciones:

- Siguiendo la norma, el ensamblaje se situará un grado menos de la posición más avanzada de enclavamiento.
- Se fijan las caras inferiores de los raíles principales para restringir su movimiento simulando la acción de los tornillos anteriormente calculados.
- Se aplican 3924 N a repartir entre los dos mecanismos de enclavamiento, es decir, 1962 N por cada lado del mecanismo. Esta fuerza según la norma puede aplicarse en cualquier sentido si bien se mantenga en la dirección del impacto (frontal o trasero), y se deberá comprobar con el asiento en los extremos de los raíles, es decir, en su posición más y menos adelantada.

### 4.9.1.3 Resultados del ensayo

Dado que al exportar el modelo 3D la geometría experimenta ciertas modificaciones, se realizará el ensayo en el lado del ensamblaje que no se ha visto afectado por el cambio en el tipo de archivo con las cargas estipuladas. El resultado del ensayo es exitoso, pues se obtiene un coeficiente de seguridad muy cercano a 3. Esto significa que el asiento puede soportar casi 3 veces las cargas propuestas en el ensayo. En cuanto a deformaciones, estas son casi inexistentes, pues están en un orden de magnitud de milésimas de milímetro en su valor máximo. El punto de mayor concentración de tensiones se encuentra en



el contacto entre el enclavamiento y el raíl fijo, pues será donde se absorba el impacto en su mayoría. También se pueden observar tensiones en el raíl móvil, pues sería este quien estuviese transfiriendo la fuerza (inercia tras el impacto frontal).

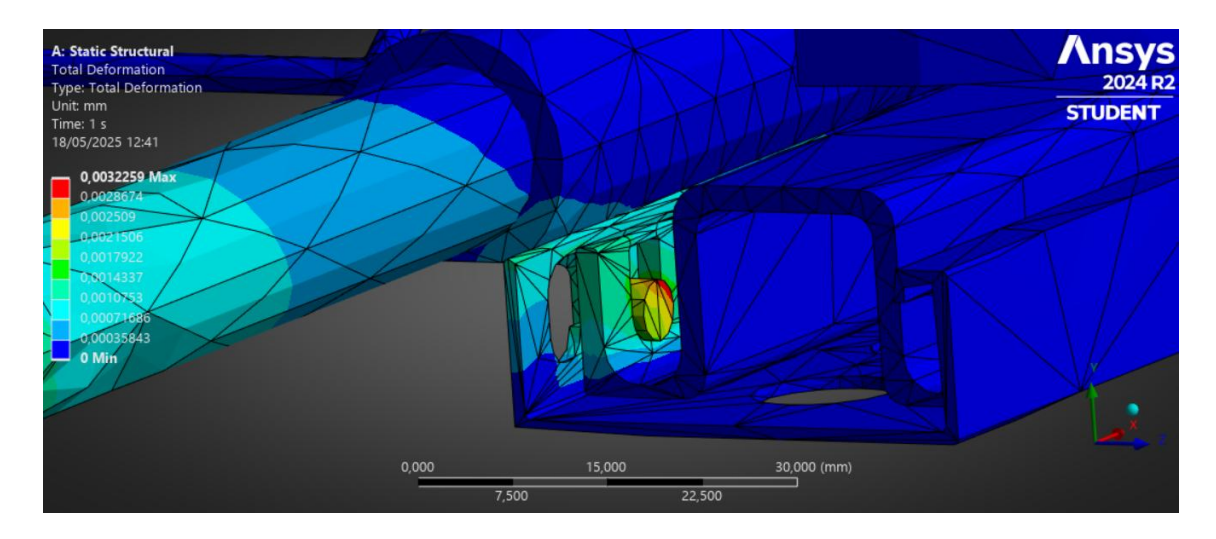


Ilustración 33 - Deformación total en ensayo de impacto frontal con asiento en posición un grado más atrasado de la máxima posible

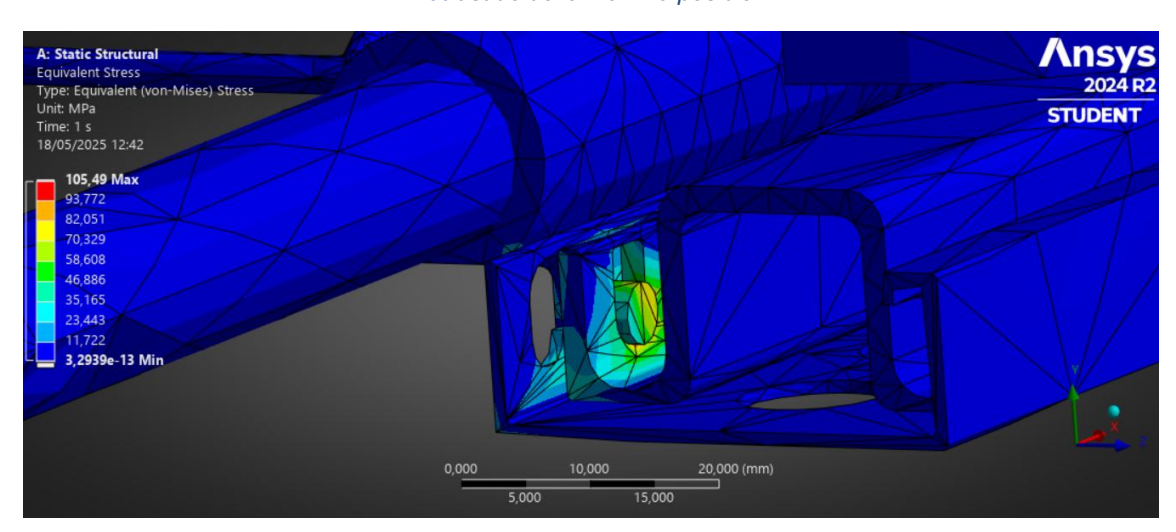


Ilustración 34 - Tensión en ensayo de impacto frontal con asiento en posición un grado más atrasado de la máxima posible

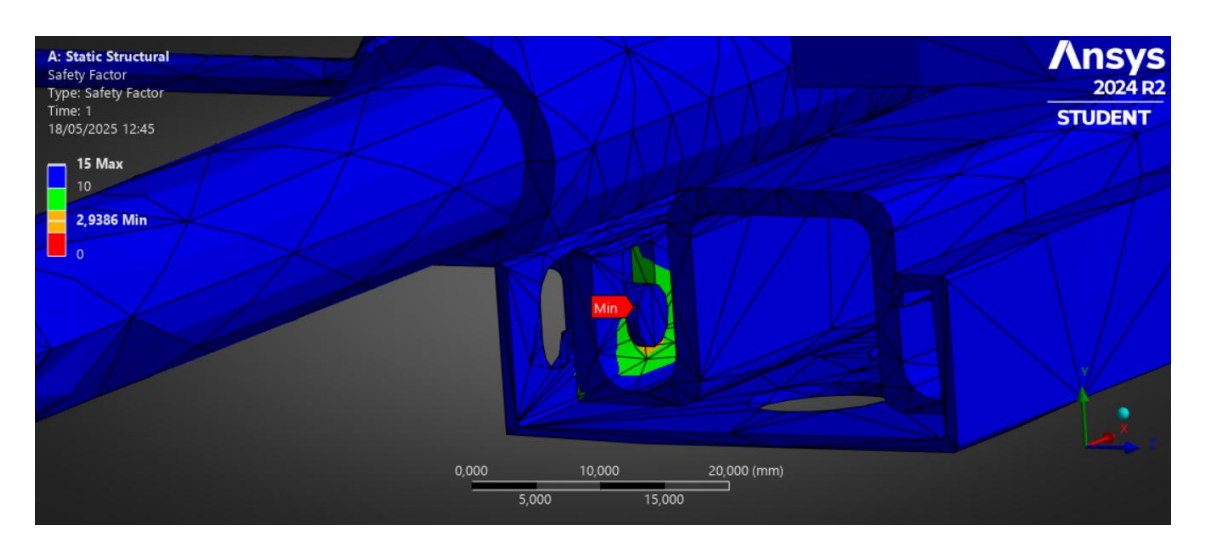


Ilustración 35 - Factor de seguridad en ensayo de impacto frontal con asiento en posición un grado más atrasado de la máxima posible

# 4.9.2 Resultados del ensayo de resistencia estructural frente a cargas estáticas

Con el objetivo de verificar que el diseño es capaz de soportar las cargas derivadas del peso de una persona se propone este ensayo de resistencia frente a una carga axial vertical. Si bien es cierto que las personas que necesitarían de un ensamblaje como el diseñado suelen estar por debajo de la media poblacional en cuanto a peso, se debe verificar para que en los casos más remotos siga funcionando correctamente.

### 4.9.2.1 Cargas

El ensayo consta de aplicar una carga axial de 1000 N, lo que equivaldría a una persona de 90 kg teniendo en cuenta unos 10 kg como máximo de peso del resto del asiento proporcionado por el fabricante (respaldo, reposacabezas, anclajes y tapicería en general).

$$100 \ kg \cdot 9.81 \ m/_{S^2} \approx 1000 \ N$$

### 4.9.2.2 Caracterización del ensayo

Para la realización de este ensayo se verificará en dos posiciones, una con el asiento extendido y otra con el asiento en su posición estándar.

- Se carga en archivos distintos el modelo del ensamblaje con la posición correspondiente a cada ensayo
- En vistas de facilitar el ensayo y por restricciones numéricas en el mallado del software de simulación, ambos estudios se han realizado, ya que, habiendo verificado que el resto de las piezas no intervenían ni sufrían tensiones significativas al aplicar las cargas, su mallado consumía recursos y superaba el límite establecido por la licencia de la que se dispone.



- Se fija la cara inferior de los raíles del ajuste longitudinal (raíles principales), y en el modelo simplificado, de los raíles del despliegue exterior (raíles superiores)
- Se aplica una fuerza de 1000 N sobre la base superior del ensamblaje, que es donde irá el asiento del fabricante anclado.

### 4.9.2.3 Asiento en posición de vehículo en marcha

La posición normal de marcha será con el despliegue exterior completamente recogido, es decir, con esos raíles enclavados en su posición más trasera. Cabe destacar que al realizar este ensayo por primera vez los resultados fueron negativos, es decir, tanto el raíl que soporta la base superior como la propia base sufrieron deformaciones plásticas (las deformaciones plásticas son aquellas deformaciones permanentes, es decir, que el cuerpo que las sufre no recupera su forma inicial.

Como consecuencia de esto el diseño de esta parte del ensamblaje ha cambiado radicalmente, aumentando tanto la altura del raíl como el espesor de la placa para mejorar su trabajo a flexión. Además, dado que el coeficiente de seguridad seguía siendo insuficiente para soportar las cargas estipuladas se ha añadido un tercer raíl central.

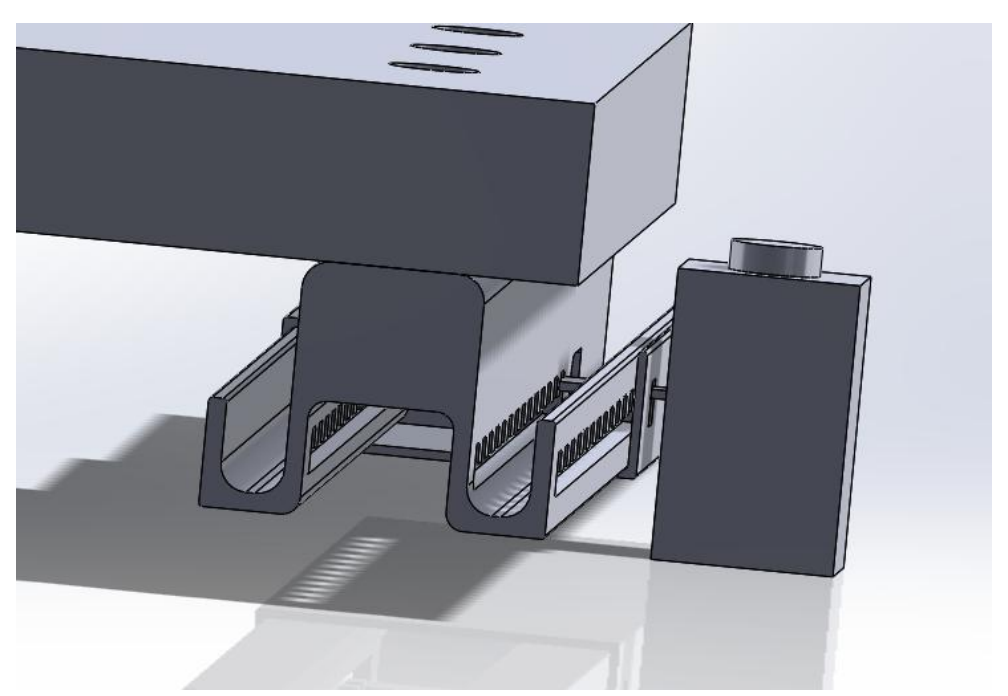


Ilustración 36 - Cambios aplicados en la parte superior del ensamblaje

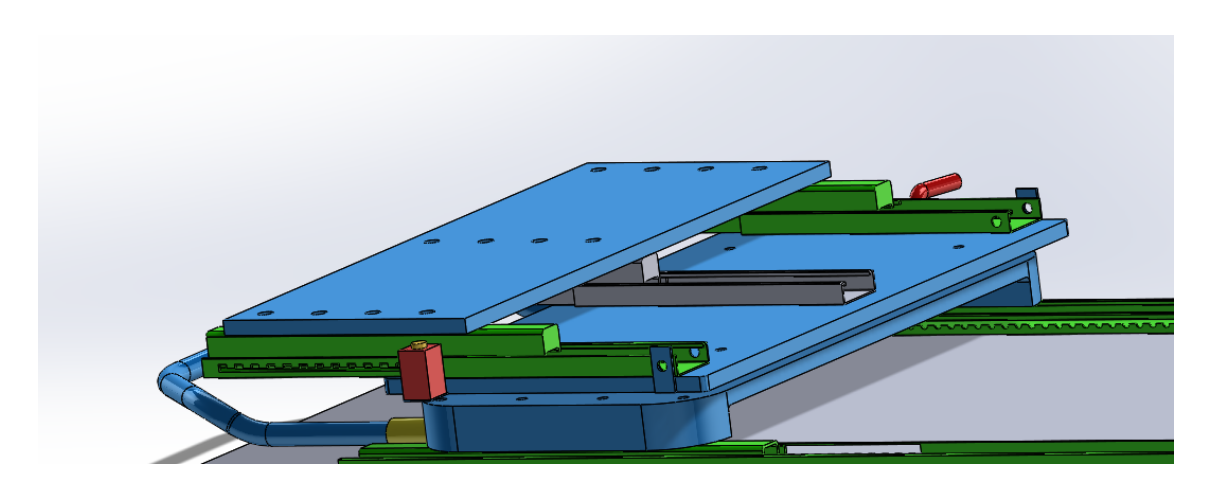


Ilustración 37 - Implementación del raíl central

Ya con una nueva geometría para afrontar el ensayo, esta se carga en el software de simulación. En vistas de entender mejor cómo deforma la pieza, para este ensayo en concreto se ha aumentado la escala de las deformaciones 200 veces. Esta función del software es muy útil para entender lo que está ocurriendo en el ensamblaje cuando los resultados, en este caso, las deformaciones, no se ven a simple vista. Para este ensayo en concreto se ha visto a la pieza deformarse 0,08 mm, lo que es un valor bastante aceptable teniendo en cuenta que se alcanza un coeficiente de seguridad de 4,48 en su valor mínimo. La tensión máxima se alcanza en el centro de la pieza, aunque algo desplazado hacia el lado izquierdo ya que en el lado derecho se encuentran todas las estructuras internas del mecanismo de enclavamiento del giro, dotando al ensamblaje de mayor rigidez estructural.

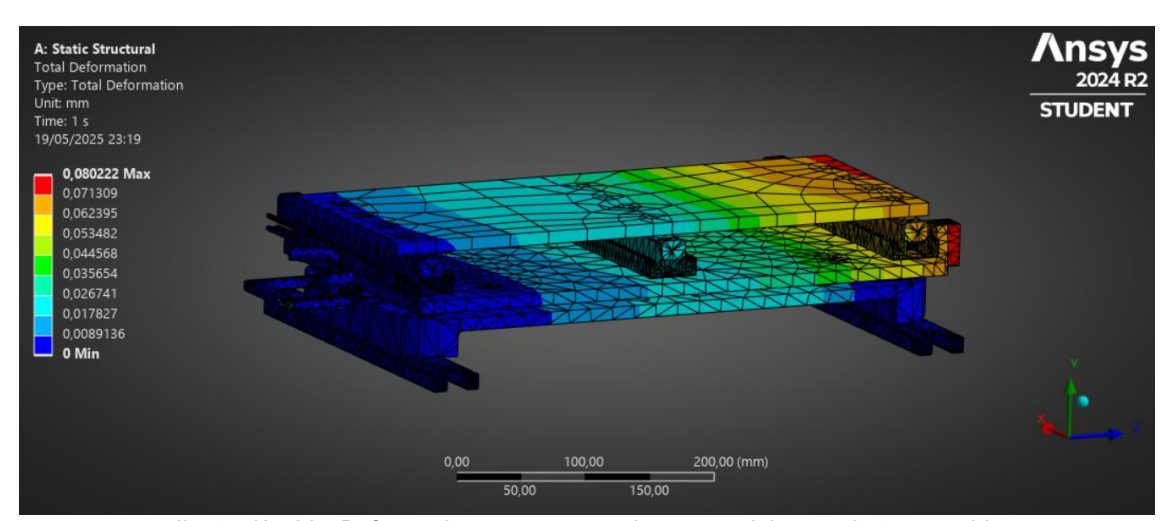


Ilustración 38 - Deformaciones en ensayo de carga axial con asiento recogido

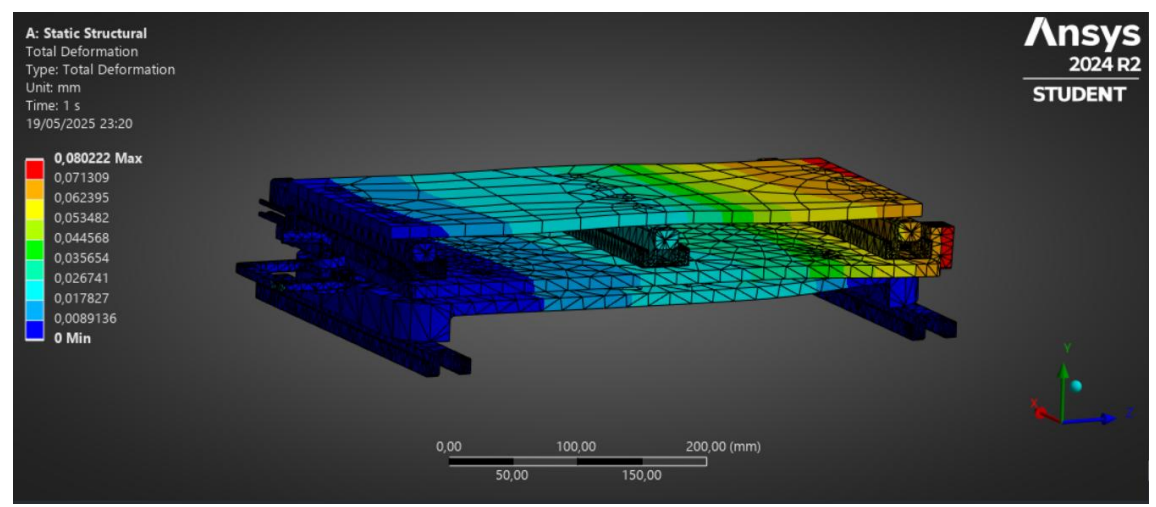


Ilustración 39 - Deformaciones 200x en ensayo de carga axial con asiento recogido

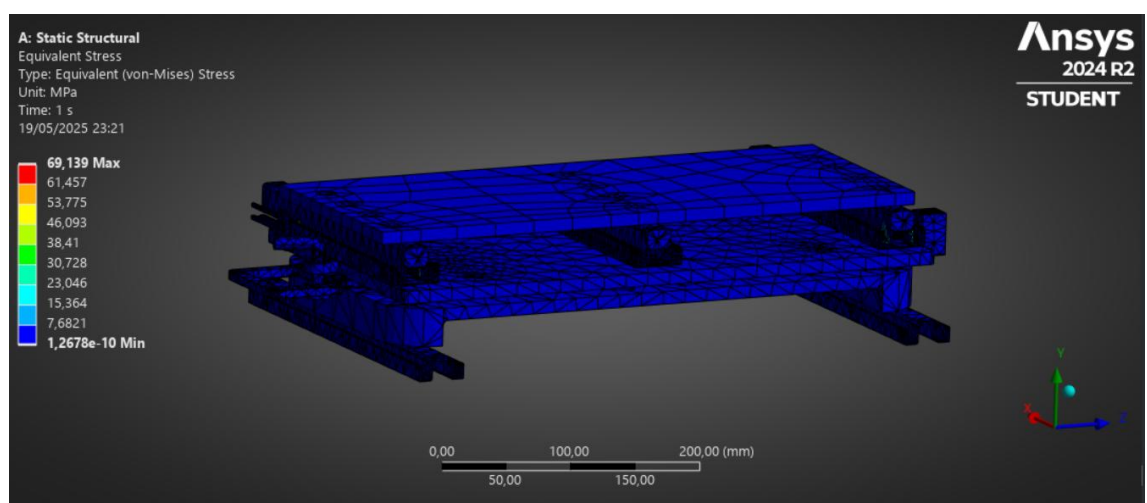
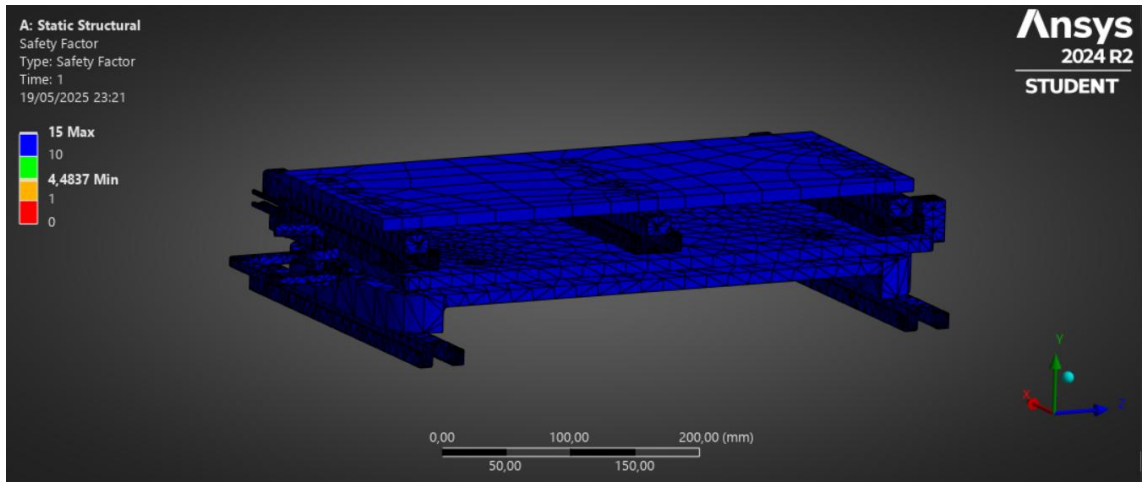


Ilustración 40 - Tensiones en ensayo de carga axial con asiento recogido



llustración 41 - Coeficiente de seguridad en ensayo de carga axial con asiento recogido

### 4.9.2.4 Asiento extendido por completo

En este caso se puede ver cómo la base trabaja a flexión, teniendo su máxima deformación en el lado derecho del ensamblaje (lado izquierdo en la ilustración 37). En cuanto a valores numéricos, con 100 kg la base deforma medio milímetro con un coeficiente de seguridad de 3,45 en su punto mínimo. Esto implica que



su rotura se alcanzaría al soportar masas de alrededor de los 345 kg. Como indican los resultados, se alcanza un valor máximo de tensiones de 89 MPa que, comparado con el límite elástico del Acero AISI 1045 del que está hecho el raíl. no supone un problema al ser bastante superior este último. Los puntos débiles del ensamblaie se encuentran en los raíles inferiores a la altura a la que empiezan a flectar los raíles superiores. Esto es debido a que en ese punto está fija la geometría y es el lugar en el que comienza la flexión de los raíles móviles, pues en el lado contrario está el mecanismo de enclavamiento. Esto se podría paliar haciendo dos mecanismos de ajuste para este movimiento, pero se ha considerado como algo innecesario ya que restaría aún más espacio al ajuste del giro, aumentaría el peso, y todo ello sin ser necesario ya que los resultados son buenos. En este caso es normal que existan deformaciones, y, por norma general, resultados peores que en el anterior estudio, pues hay parte de la estructura que está trabajando como si de un voladizo se tratase, a diferencia del anterior caso donde las partes superiores tenían más superficies de apoyo directo.

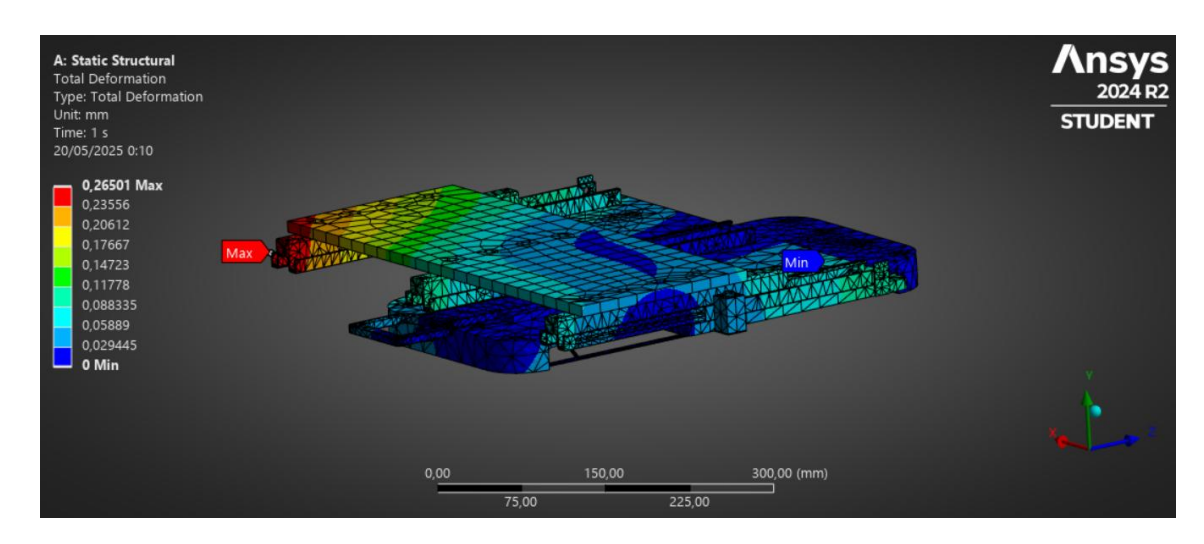


Ilustración 42 - Deformaciones en ensayo de carga axial con asiento extendido

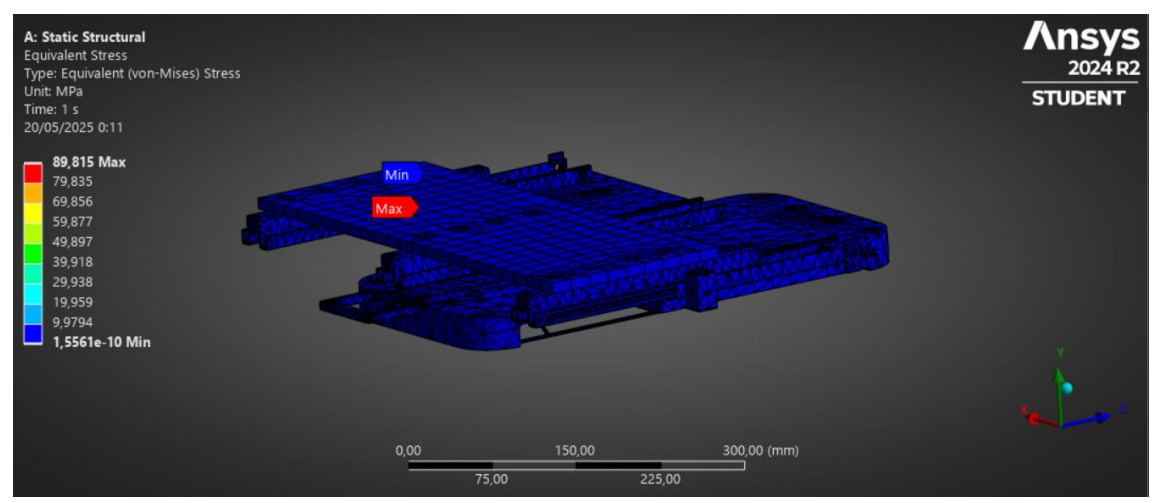


Ilustración 43 - Tensión en ensayo de carga axial con asiento extendido

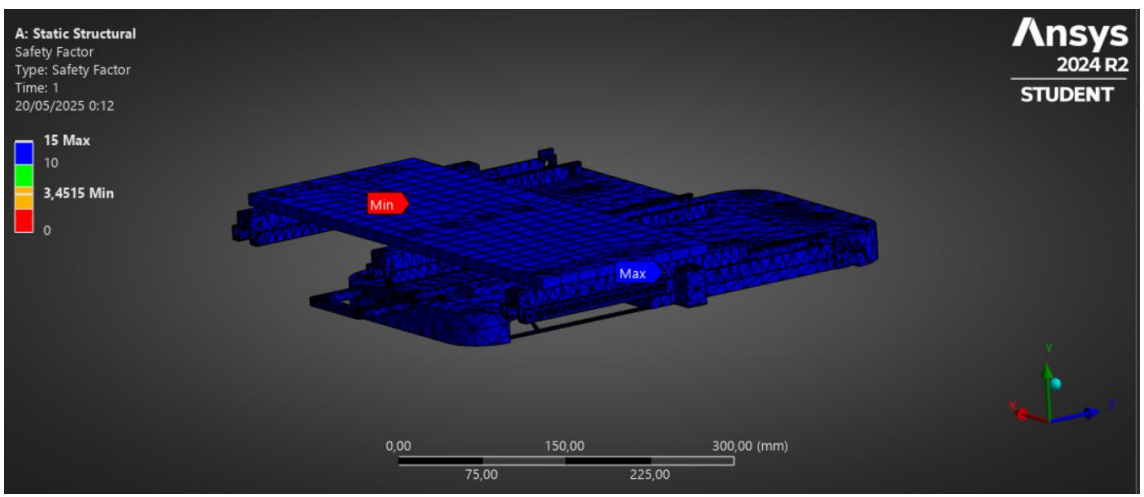


Ilustración 44 - Coeficiente de seguridad en ensayo de carga axial con asiento extendido



# 4.10 Descripción general del diseño final

Peso	13,514 kg
Ancho (distancia entre guías)	46 cm (38 cm)
Alto	10,5 cm
Largo	70 cm

Tabla 11 - Especificaciones del mecanismo final

Para saber de qué material está hecho cada componente se han pintado las piezas de un color distinto siguiendo la siguiente lógica:

Azul	Aluminio 6061-T6
Verde	Acero AISI 1045
Amarillo	Acero AISI 6150
Rojo	ABS

Tabla 12 - Guía de colores

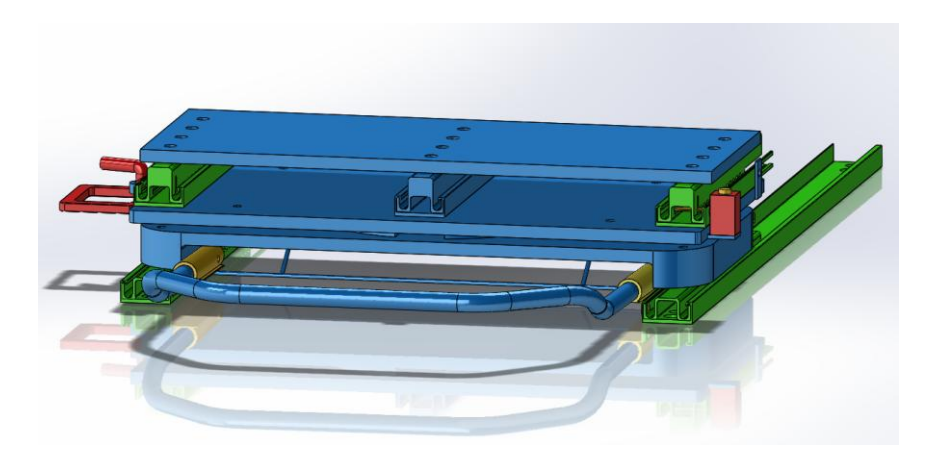


Ilustración 45 - Esquema de colores final

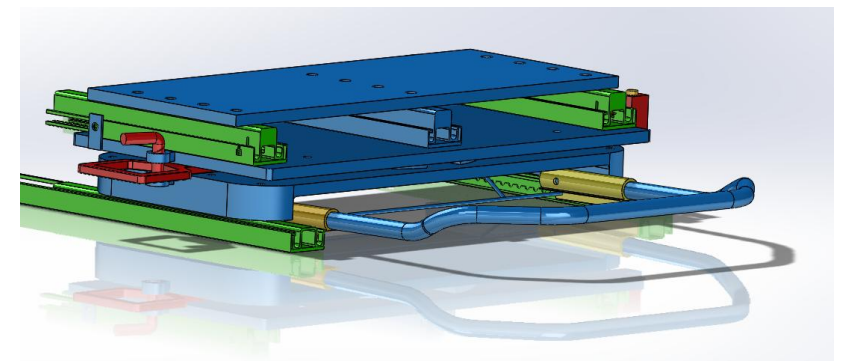


Ilustración 46 - Esquema de colores final II



# Capítulo 5. PROCESO DE FABRICACIÓN

Este tipo de ensamblajes, al tener unas especificaciones muy concretas y estar obligados a soportar unas cargas muy específicas, deben estar hechos con precisión y calidad. Para asegurar que la solución creada cumpla con los tan elevados estándares que requiere el mundo de la automoción, se va a desarrollar la forma en la que se confeccionará cada pieza determinando material, método, y cualquier otra información que sea relevante en el proceso de conformado.

Además, no basta con crear cada pieza por separado, si no que se deberá llevar a cabo un proceso de ensamblaje que asegure que el comportamiento de este en la realidad sea lo más próximo posible al que se ha estudiado en los ensayos.

Por último, en vistas de que el producto final sea un éxito y pudiese introducirse al mercado automovilístico como una solución recurrente, sería necesaria una fábrica para cubrir la demanda, por lo que se planteará una hipotética distribución en planta para su producción.

### 5.1 Desglose pieza por pieza

Se hará un despiece ascendente del ensamblaje, es decir, se estudiará cada pieza por separado desde las piezas inferiores hasta las que ocupan las partes más altas del diseño.

### 5.1.1 Guías y raíles

Estas piezas están hechas de Acero AISI 1045, un acero con una maquinabilidad muy alta y al que se le pueden aplicar diversos tratamientos térmicos para potenciar sus propiedades. No tendría sentido abarcar cada uno de los raíles y guías por separado sabiendo que sus procesos, aunque con diferentes operaciones, se mecanizarán de forma muy similar en las máquinas. Estas serán fresadoras CNC de Haas de 6 ejes, que permiten un control total sobre la geometría de la pieza. En cuanto a la pura fabricación, se partirá de un bruto de acero que irá siendo fresado hasta obtener las piezas finales.

Una vez terminada la geometría, las piezas recibirán un tratamiento de pintura y barniz en polvo para mejorar apariencia y resistencia de cara al consumidor final.

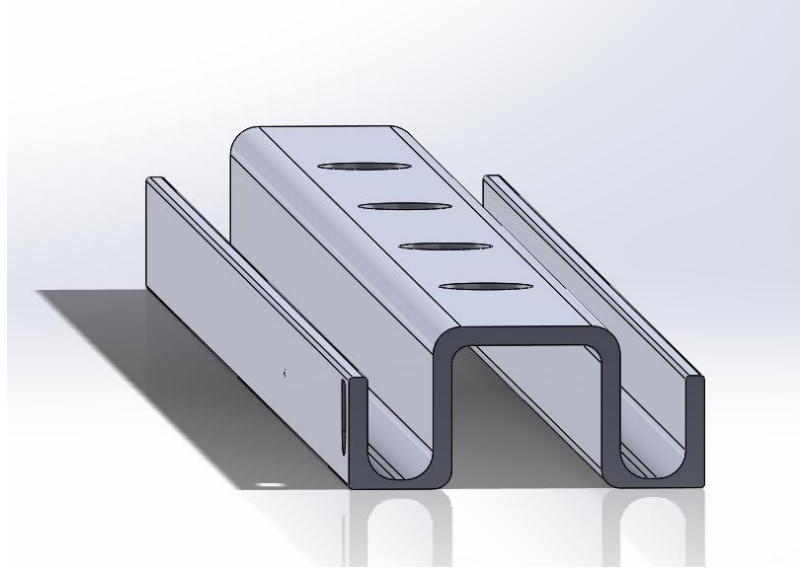


Ilustración 47 – Ejemplo de raíl superior

### 5.1.2 Enclavamientos inferiores

Mecanizados en Acero 6150, también serán conformados en la fresadora CNC. Una de las opciones planteadas era crear la pieza en forma de "L" y soldar a ella el tubo superior, pero por motivos de tiempo de fabricación y de facilitar el proceso de ensamblaje se optó por el diseño de la pieza como conjunto. Esta pieza, al igual que la mayoría de las que forman el ensamblaje, también recibirá los tratamientos de pintura y barniz en polvo.

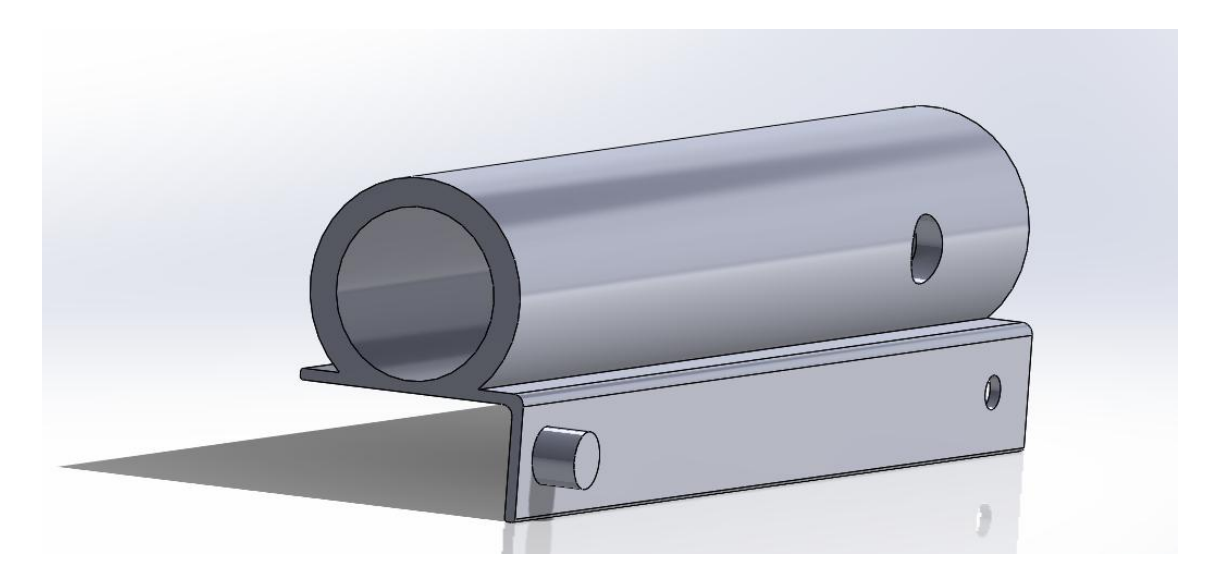


Ilustración 48 – Ajuste inferior del lado derecho

### 5.1.3 Enclavamiento superior

También se encuentra mecanizado en acero 6150 y supone un reto a la hora de la fabricación por su reducido tamaño, pero la fresadora CNC de 6 ejes puede hacer esta pieza con facilidad.

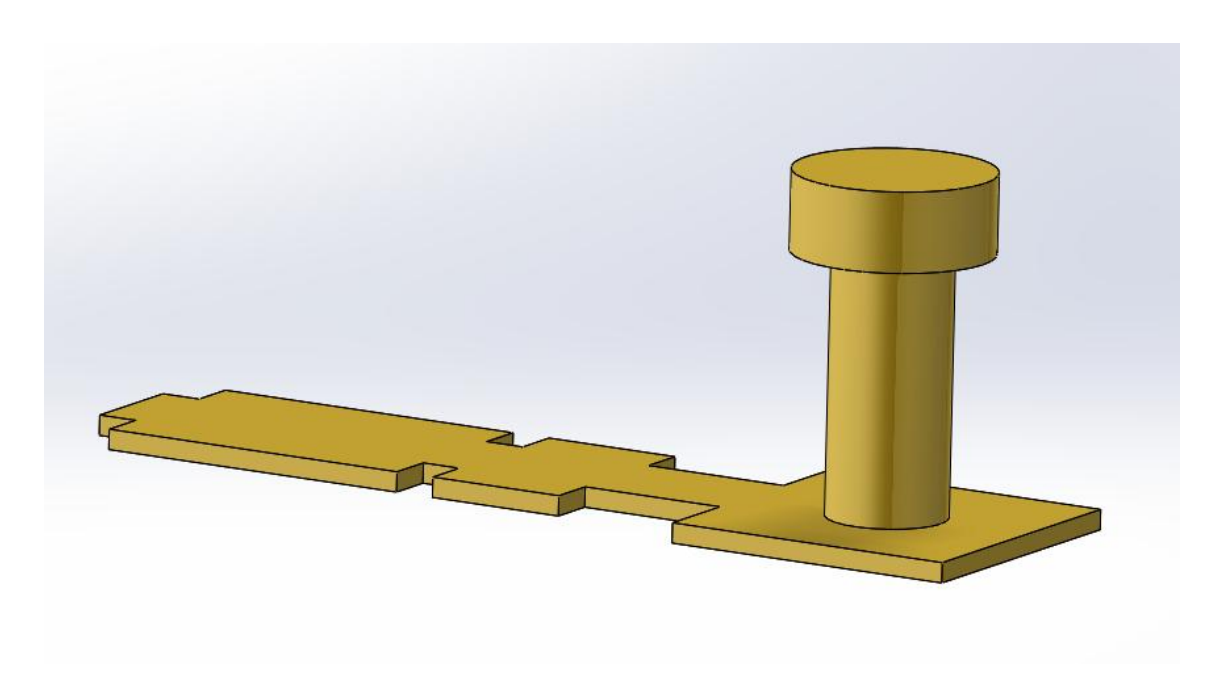


Ilustración 49 - Botón con el mecanismo de ajuste

### 5.1.4 Barra de ajuste y barra de unión

Hechas de aluminio 6061-T6, la idea principal con estas piezas sería la subcontratación de un tercero para que las fabricase y únicamente tener que ensamblarlas con el conjunto. De no ser así, se partiría de un tubo del material seleccionado y se modelaría siguiendo la geometría mediante una dobladora de tubos en el caso de la barra de ajuste, y se partiría de 4 tubos que se soldarían en el caso de la barra de unión. Es mediante este método, el de fabricación propia, como se ha simulado en el estudio de costes, pues no se ha podido obtener un presupuesto por parte de empresas del sector.

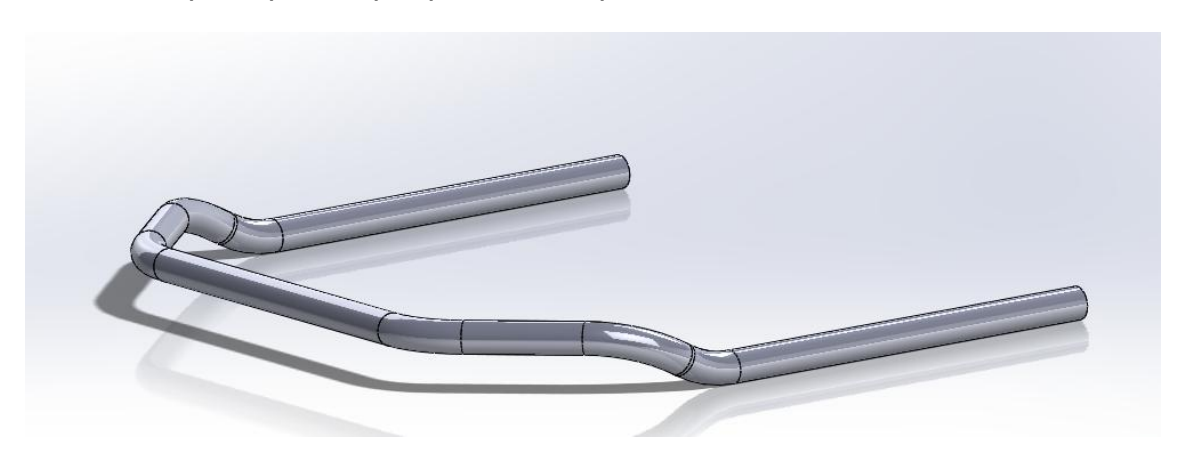


Ilustración 50 - Barra de ajuste longitudinal

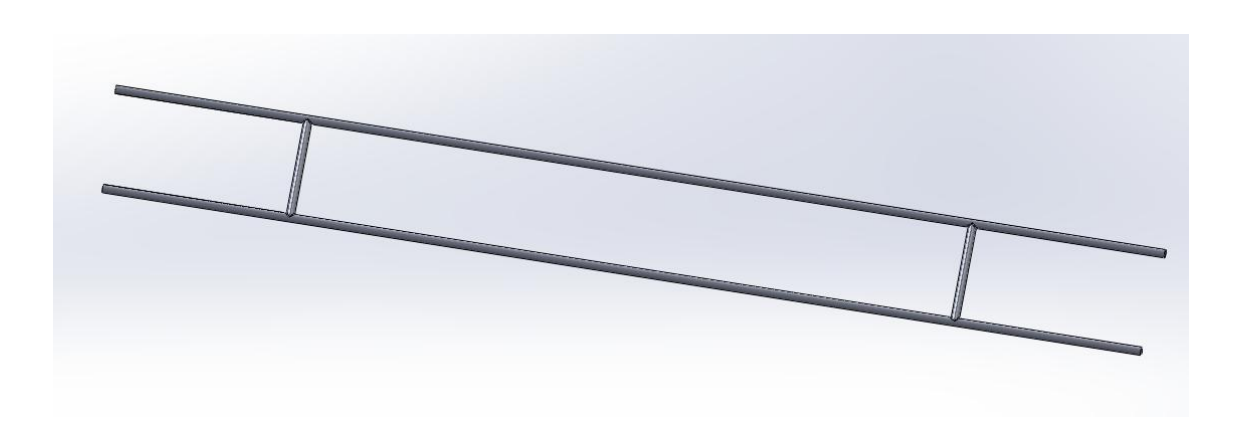


Ilustración 51 – Barra conectora entre mecanismos y base

### 5.1.5 Bases o plataformas

Se trata de las piezas más voluminosas del conjunto y, como no puede ser de otra forma, serán mecanizadas a través de una fresadora CNC. También pasarán por los procesos de pintura y barnizado en polvo, teniendo que recibir un tratamiento térmico para la correcta aplicación de los dos tratamientos anteriores. Si en todas las piezas anteriores las tolerancias eran un ámbito de suma importancia, en este conjunto se trata de algo vital, pues el correcto funcionamiento del ensamblaje depende directamente de ellas. En principio sobre la base superior cada fabricante podrá extruir o taladrar los cortes que crea necesarios para poder ajustar el asiento.



Ilustración 52 - Bases principales del ensamblaje

### 5.1.6 Piezas 3D

El ensamblaje también dispone de piezas que no están tan exigidas como las conformadas en acero, por lo que se ha decidido crear estas piezas con ABS,



un termoplástico muy utilizado en la ingeniería por sus buenas propiedades. Estas piezas se harán mediante impresoras 3D industriales con tecnología de modelado por deposición fundida (FDM o Fused Deposition Modeling) en las máquinas Raise3D Pro3 Plus, que ofrecen unas condiciones de temperatura de boquilla y de tolerancias más que adecuadas para lo requerido en este ensamblaje.

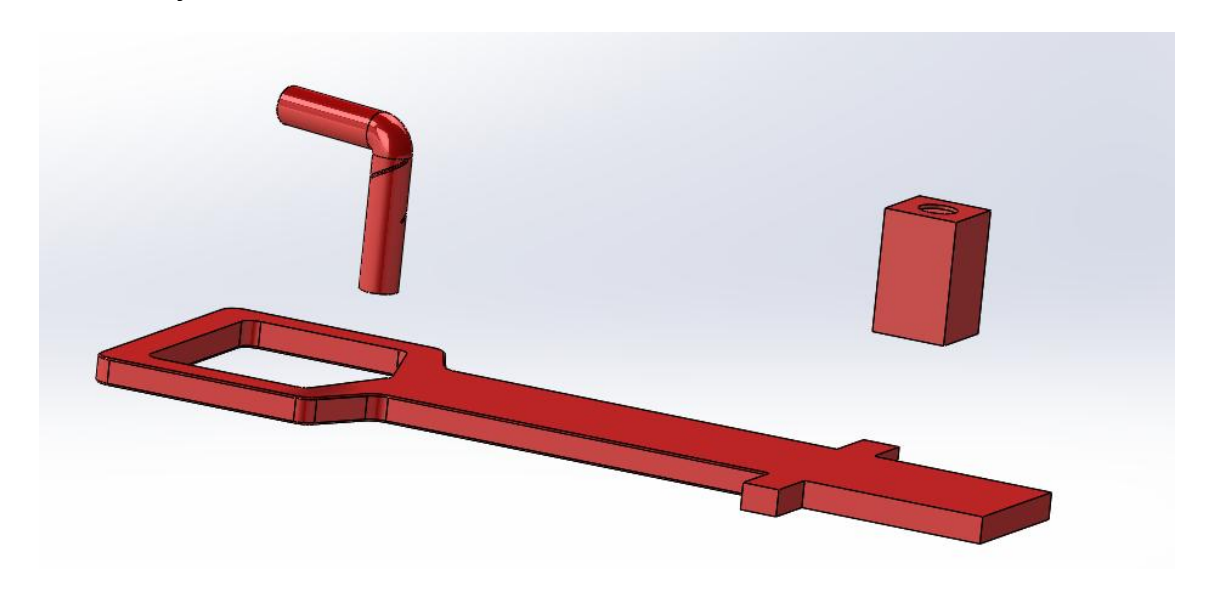


Ilustración 53 - Cilindro, pasador y carcasa de ABS

### 5.2 Método de ensamblaje

Ya con las piezas fabricadas, un especialista de la planta será el encargado de montar el mecanismo final. Las piezas ya han recibido los tratamientos de pintura en polvo y de barnizado en polvo y están listas para en proceso de ensamblaje, que comenzará por los raíles inferiores:

- 1. Sobre estos y en cada uno de los lados, colocar los rodamientos en las posiciones calculadas previamente
- 2. Colocar el raíl superior derecho y comprobar que los rodamientos quedan bajo el raíl en todo su recorrido para ambos raíles

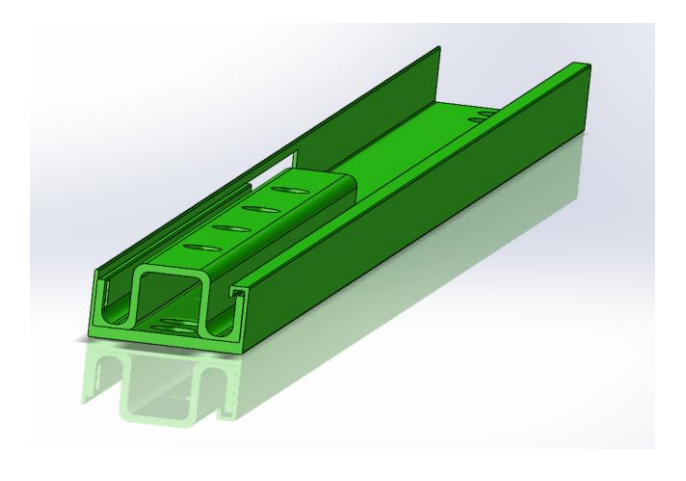


Ilustración 54 - Pasos 1 y 2 del ensamblaje



Se aparta uno de los raíles inferiores montados y se comienza con el ensamblado de la primera base superior:

3. Con el raíl derecho en la posición más adelantada se coloca el mecanismo de enclavamiento

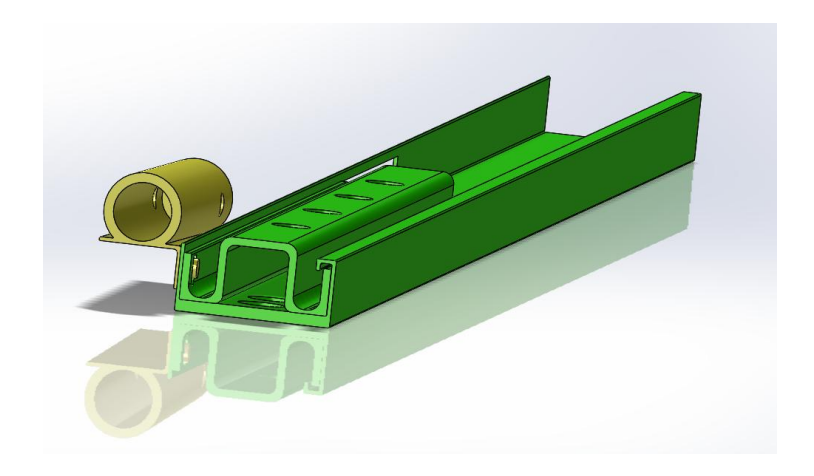


Ilustración 55 - Paso 3 del ensamblaje

4. Se atornilla el lado correspondiente de la base al raíl superior

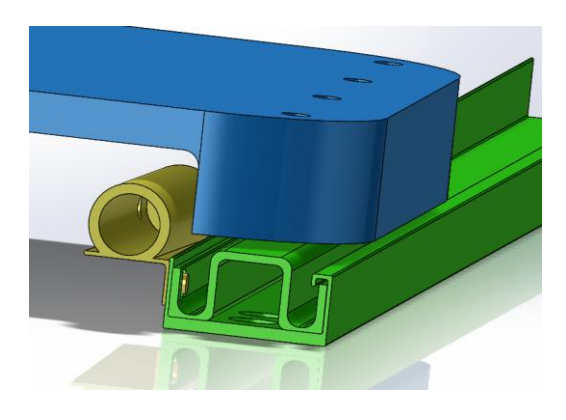


Ilustración 56 - Paso 4 del ensamblaje

5. Se suelda la barra conectora entre mecanismos y base a ambos del mismo lado

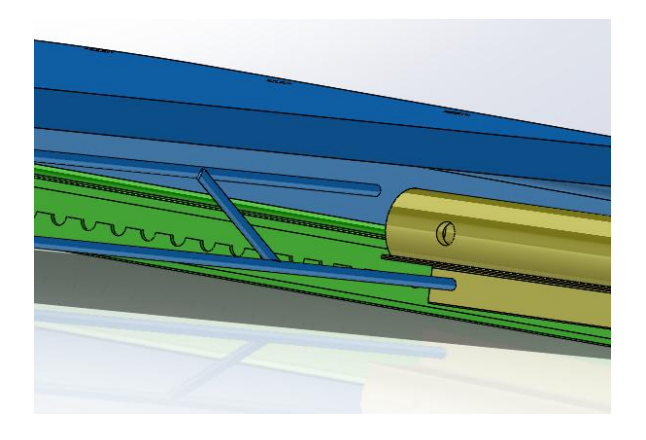


Ilustración 57 - Paso 5 del ensamblaje



6. Se deja el mecanismo del lado izquierdo enganchado, pero todavía sin soldar

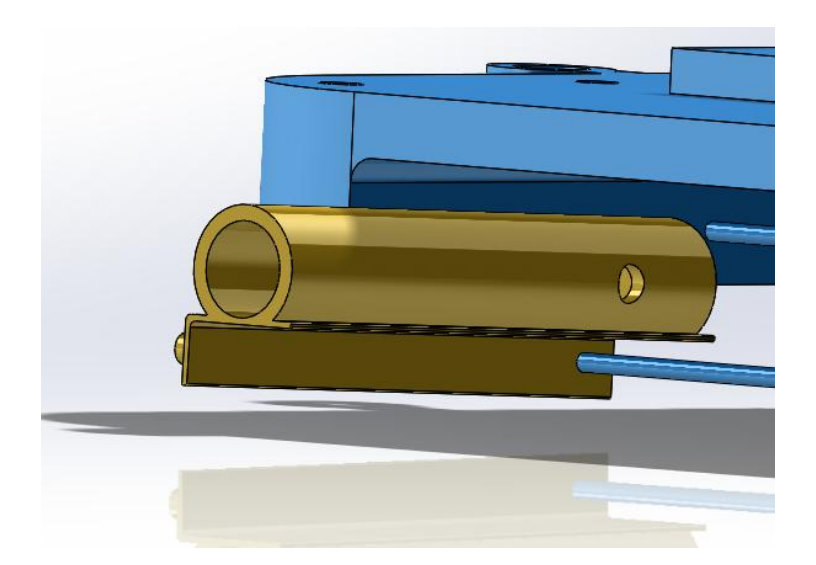


Ilustración 58 - Paso 6 del ensamblaje

7. Se coloca el raíl izquierdo paralelo al ya perteneciente al ensamblaje, con una distancia entre sí de 38 cm. El raíl debe estar, al igual que en el caso anterior, en su posición más adelantada, y enclavarse con el mecanismo de su lado

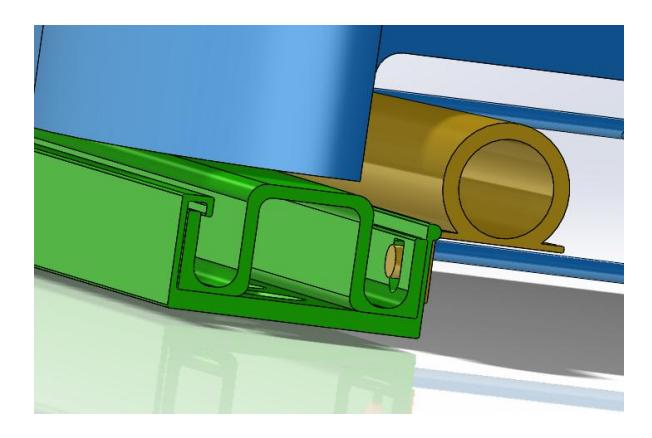


Ilustración 59 - Paso 7 del ensamblaje

- 8. Se suelda finalmente la barra conectora al mecanismo del lado izquierdo
- 9. Ya se debería poder atornillar la base al raíl del lado izquierdo
- 10. El último paso para dejar ensamblado el ajuste longitudinal sería soldar la barra de la que tirará el usuario para poder mover el asiento y soldar los muelles en las posiciones estipuladas en el diseño de



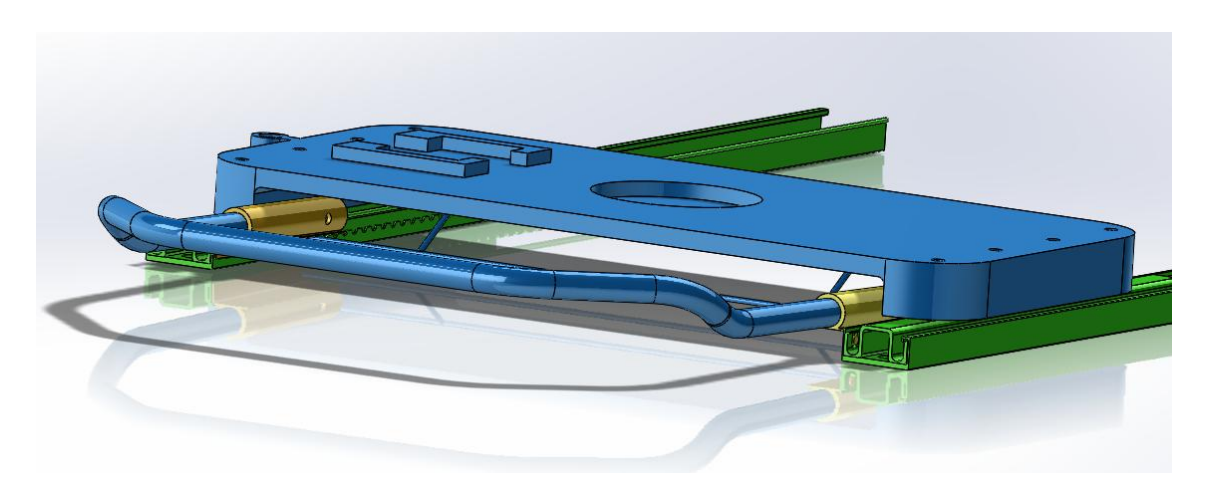


Ilustración 60 - Pasos 8, 9 y 10 del ensamblaje

Sobre esta base se comienza el montaje del mecanismo de giro del asiento.

11. En el hueco creado para su alojamiento, se suelda el rodamiento axial de bolas a su base y queda liberado el movimiento.

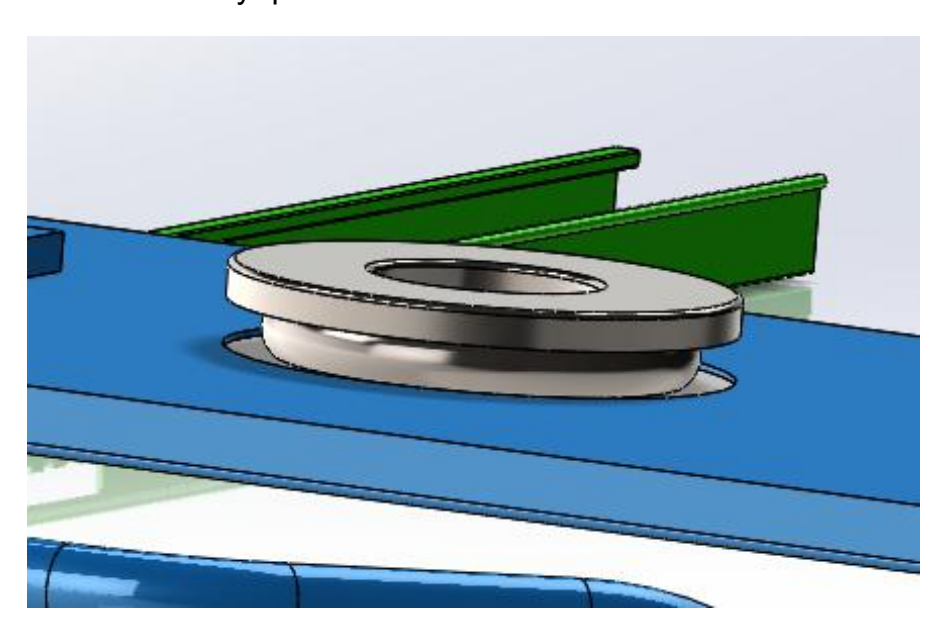


Ilustración 61 - Paso 11 del ensamblaje

12. La pieza grande de ABS se coloca en su posición, con el pasador llegando hasta el final de su recorrido

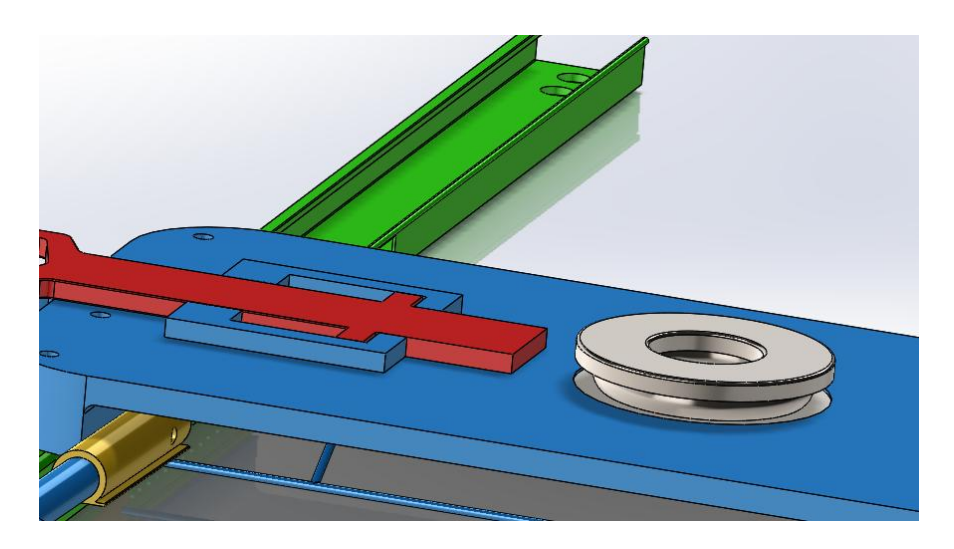


Ilustración 62 - Paso 12 del ensamblaje

13. La base del giro se unirá al rodamiento axial por adhesivos. Se utilizará un adhesivo anaeróbico como el Loctite 638 o el 648 que soporta bien las cargas para las que está diseñado el ensamblaje y trabaja muy bien con componentes como el aluminio y el acero

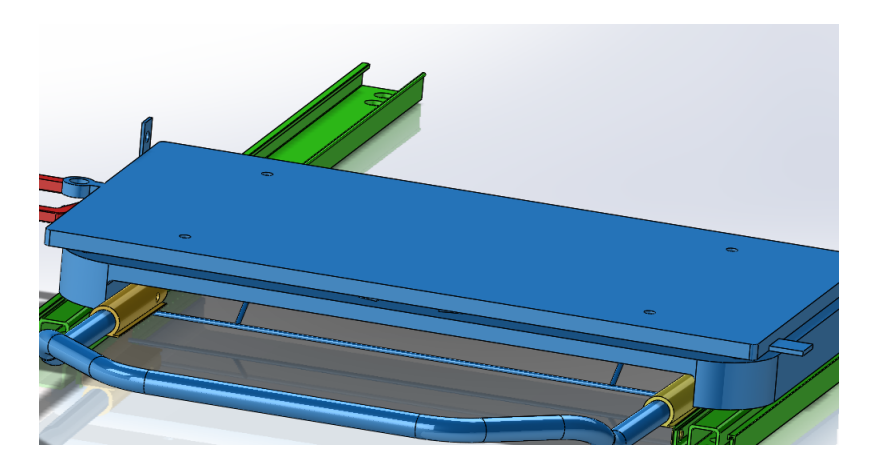


Ilustración 63 - Paso 13 del ensamblaje

14. Una vez haya secado el pegamento (en torno a 5 minutos), se colocará el cilindro que actúa de cerrojo (esta pieza puede quitarse y ponerse según necesite el usuario)

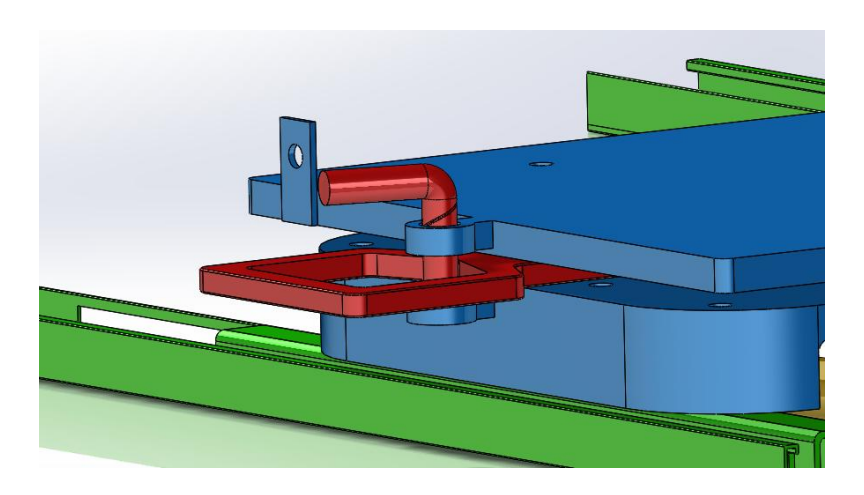


Ilustración 64 - Paso 14 del ensamblaje

En este punto ya estaría ensamblado por completo el segundo de los movimientos, la rotación del asiento, dando pie al comienzo del montaje del despliegue exterior.

15. Se ajustarán los raíles inferiores. En este caso existen uno a cada lado y uno en el centro de la base. El raíl del centro irá unido a la base mediante puntos de soldadura al igual que los de los lados, si bien estos dos últimos tendrán una fijación extra a la base inferior a través de un tornillo.

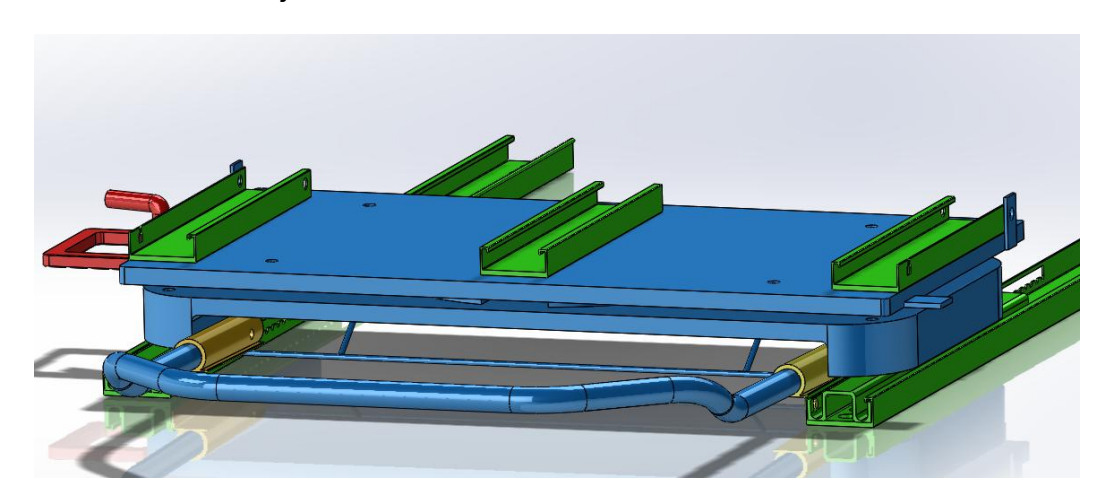


Ilustración 65 - Paso 15 del ensamblaje

16. Se inserta el raíl móvil del mismo modo que se realizó en los raíles de la parte inferior del ensamblaje, colocando los rodamientos en las posiciones calculadas y comprobando que se mueven acorde a lo establecido



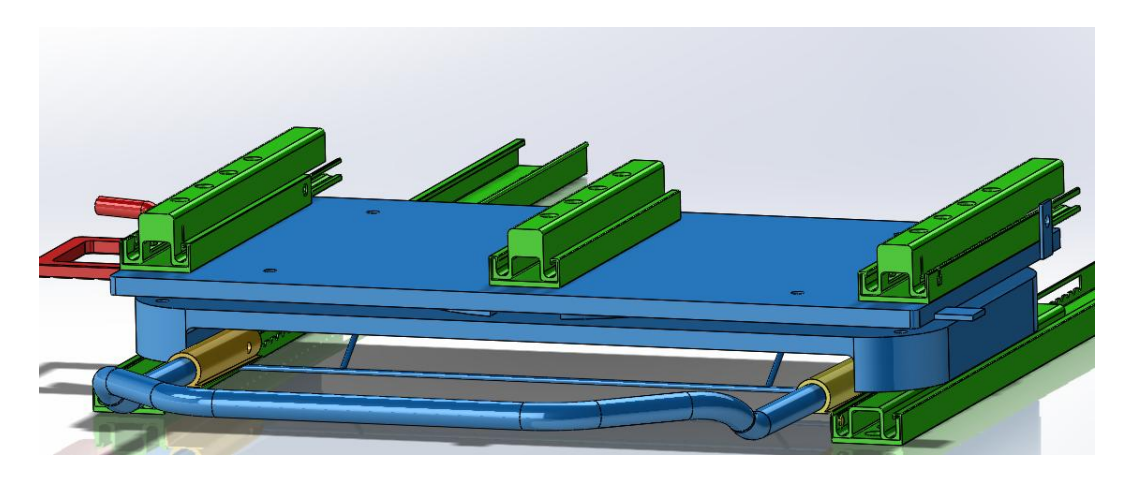


Ilustración 66 - Paso 16 del ensamblaje

- 17. Se monta el subensamblaje del botón. Un corte a la mitad en el eje vertical de la carcasa permite la introducción tanto del mecanismo del botón como del muelle, cerrando de nuevo el mecanismo con la otra mitad de la carcasa. El proceso de unión de ambas carcasas se plantea inicialmente mediante ABS Cement, un líquido o gel que produce un efecto similar a una soldadura, pero en ABS.
- 18. Una vez montado este sistema, se utilizan las ranuras de los raíles derechos para introducir el mecanismo y dejarlo perfectamente funcional, pues una vez que entra ya no puede salir.
- 19. Con el mecanismo de enclavamiento en su sitio, se pegará la carcasa del botón a su base mediante epoxi bicomponente (resina epoxi + endurecedor), concretamente el Loctite Epoxy Metal/Plastic.

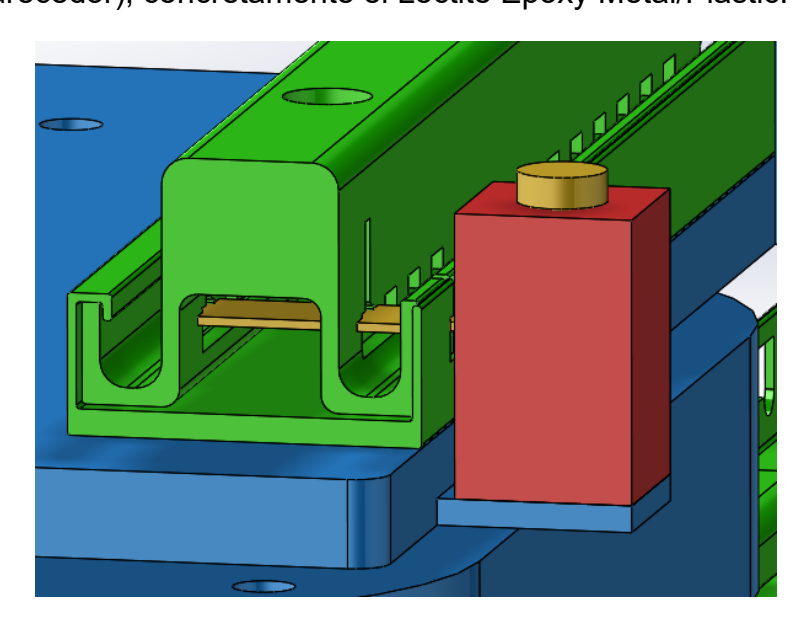


Ilustración 67 - Pasos 17, 18 y 19 del ensamblaje

20. Con los raíles montados, el último paso será atornillar la base superior a los raíles móviles. Esta base superior podrá ser desmontada y manipulada



por cada fabricante/instalador con el objetivo de unir la solución de este proyecto con el propio asiento del consumidor.

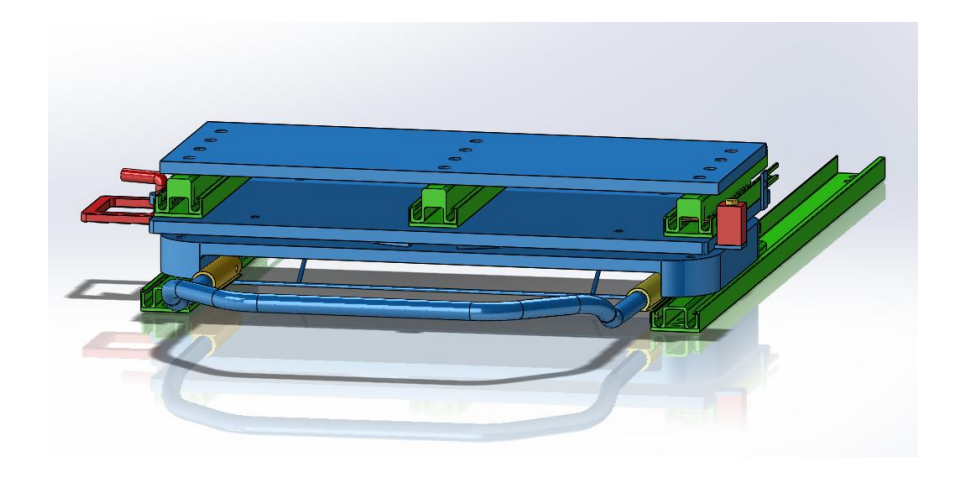


Ilustración 68 - Paso 20 del ensamblaje



# Capítulo 6. ESTUDIO DE MERCADO

En vistas de la creciente tendencia universal en hacer el mundo más accesible para todos, queda necesario entender el mercado en el que se moverá el producto diseñado. Si bien el objetivo principal de este proyecto no es el comercial, un análisis de mercado podría aportar una perspectiva ciertamente necesaria para evaluar la visibilidad, el impacto, y el potencial del diseño en el mundo actual.

Para realizar este estudio de mercado se delimitará este al ámbito nacional y se estimará un volumen de ventas basado en los datos analizados. Se analizará la competencia en el sector español, se volverá a hacer hincapié en la demanda (derivada del marco teórico donde se ofrece una visión muy concreta de la misma) y se evaluará el producto diseñado a través de análisis como el de Debilidades, Amenazas, Fortalezas y Oportunidades (análisis DAFO).

Este estudio se hace con el objetivo de dar una visión general sobre el contexto en el que tendría que comercializarse el mecanismo, de tal forma que, de llevarse a la realidad, se pudiesen tomar decisiones estratégicas fundamentadas para maximizar los rendimientos del producto.

### 6.1 Análisis de competencia

Este apartado resulta muy útil para entender dónde se encuentra el ensamblaje diseñado en comparación con las alternativas que ya existen. A diferencia de otros mercados como puede, por ejemplo, la ropa o los accesorios, este se trata de un mercado muy reducido en el que hay unas barreras de entrada económicas, tecnológicas y legales para tener en cuenta.

Para asegurar que se cumplen los estándares que solicitan tanto fabricantes como la norma, es preciso trabajar con maquinaria de alta finura y con materiales con unas propiedades muy específicas. Este alto grado tanto de precisión de maquinaria como de materiales significará, aunque no necesariamente, un producto de alta calidad y con buenas especificaciones, encareciendo de forma notable los costes.

### 6.1.1 Fabricantes del sector

El número de fabricantes en el mercado español que ofrecen asientos de copilotos adaptados es bastante reducido. Estas empresas se dedican por norma general a la adaptación en global de vehículos para personas con discapacidad, pero sus precios las hacen poco asequibles para el público general. Los precios de los mecanismos se encuentran por norma general entre los 4.000 y los 10.000 €, y requieren una instalación bastante costosa lo que los convierte en un producto prácticamente VIP.



Empresa	Producto/Servicio	Precio estimado	Observaciones
Rehatrans	Asientos giratorios, kits de adaptación	4.000–7.000€	Requiere homologación, instalación permanente
Pimas	Adaptación integral de vehículos	Desde 6.000 €	Enfocado en vehículos grandes o furgonetas
BraunAbility (EE.UU./UE)	Turny Evo – asiento giratorio motorizado	7.000–10.000€	Elevado coste, importación y montaje complejo

Ilustración 69 - Benchmark de la competencia

Tras analizar los precios entre los que se mueve el mercado, se define el producto ofrecido como un producto low-cost y más accesible, al menos, que la adaptación ofrecida por el resto de la competencia. Recientemente una marca de coches asiática ha presentado su nuevo SUV en el que los asientos traseros poseen este rango de movimientos mediante motorización eléctrica. Este prototipo no tiene fecha de lanzamiento todavía, pero se espera que llegue al mercado para antes de 2030. A pesar del buen funcionamiento del sistema que han diseñado, sigue estando aplicado únicamente a los asientos traseros como una adaptación para padres que se hacen cargo de sus hijos, y no como una solución para la accesibilidad de personas que, en este caso, siguen sin tener una solución a sus problemas de inclusión.

### 6.2 Análisis DAFO

A la hora de hacer un estudio de mercado es importante siempre conocer el producto que se está ofreciendo. Para ello, uno de los mejores análisis que se puede hacer es un análisis de Debilidades, Amenazas, Fortalezas y Oportunidades. Esta tabla permite tomar decisiones estratégicas acordes a las características del producto, ya sean para mejorar el posicionamiento del producto en el mercado, detectar posibles amenazas para preparar el modelo de negocio para mitigarlas y, en general, para tomar cualquier tipo de decisión relacionada con el producto. Del análisis DAFO del ensamblaje y derivado del análisis de la competencia se obtiene la conclusión de que es más que importante situarse en un precio más bajo en el mercado. Acercar este mercado tan poco accesible a los potenciales usuarios puede tener unas consecuencias positivas que no se pueden llegar a medir, pues es una solución cómoda y que muchos particulares y empresas no dudarían en adoptar. Además, el contexto demográfico invita a pensar en un aumento de la población potencialmente compradora, por lo que se trata sin duda del momento exacto para entrar en el mercado. La competencia es poco accesible y la demanda de una solución



asequible, sencilla y funcional crece, y ahí debe ser donde se situé el producto diseñado.

DEBILIDADES	AMENAZAS
Producto pendiente de homologación técnica  Difícil promoción por el segmento poblacional al que afecta	Entrada futura de competidores con mayor capacidad industrial Barreras legales en la adaptación Producto preconcebido como exclusivo
FORTALEZAS	<b>OPORTUNIDADES</b>
Utilidad y funcionamiento claro	Envejecimiento de la población española
Segmento creciente	Apoyo institucional a iniciativas para mejorar la inclusividad
Instalación sencilla	Muy baja competencia en precios más asequibles
Enfocado a la autonomía del usuario y sobre todo a la comodidad del cuidador	Fuerte inversión institucional en proyectos y PYMES

Ilustración 70 - Análisis DAFO

### 6.3 Delimitación del mercado y análisis de la demanda

El ensamblaje diseñado está creado para servir como una solución intermedia entre los vehículos adaptados para personas con discapacidad y los más estándar del mercado. El público al que está destinado este ensamblaje será el siguiente:

- Personas mayores con dificultades motrices
- Personas con discapacidades físicas temporales/permanentes
- Personas con discapacidades mentales que afecten a la habilidad motora
- Personas con lesiones físicas temporales/permanentes (cirugías, accidentes...)
- Familiares y cuidadores responsables
- Centros de día, clínicas y otros centros que utilicen vehículos particulares

Según datos del INE, en España hay más de 4 millones de personas con discapacidad de las cuáles hasta un 60% presentaba problemas en la movilidad. Fuera de estos 4 millones de personas, también se pueden encontrar otros muchos más que encuentran dificultades en su día a día para moverse con normalidad.

Basándose en datos del Instituto Nacional de Estadística y del Comité Español de Representantes de Personas con Discapacidad (CERMI), se consiguen estos porcentajes acerca de cómo se distribuye la población española con movilidad reducida entre los anteriores grupos.



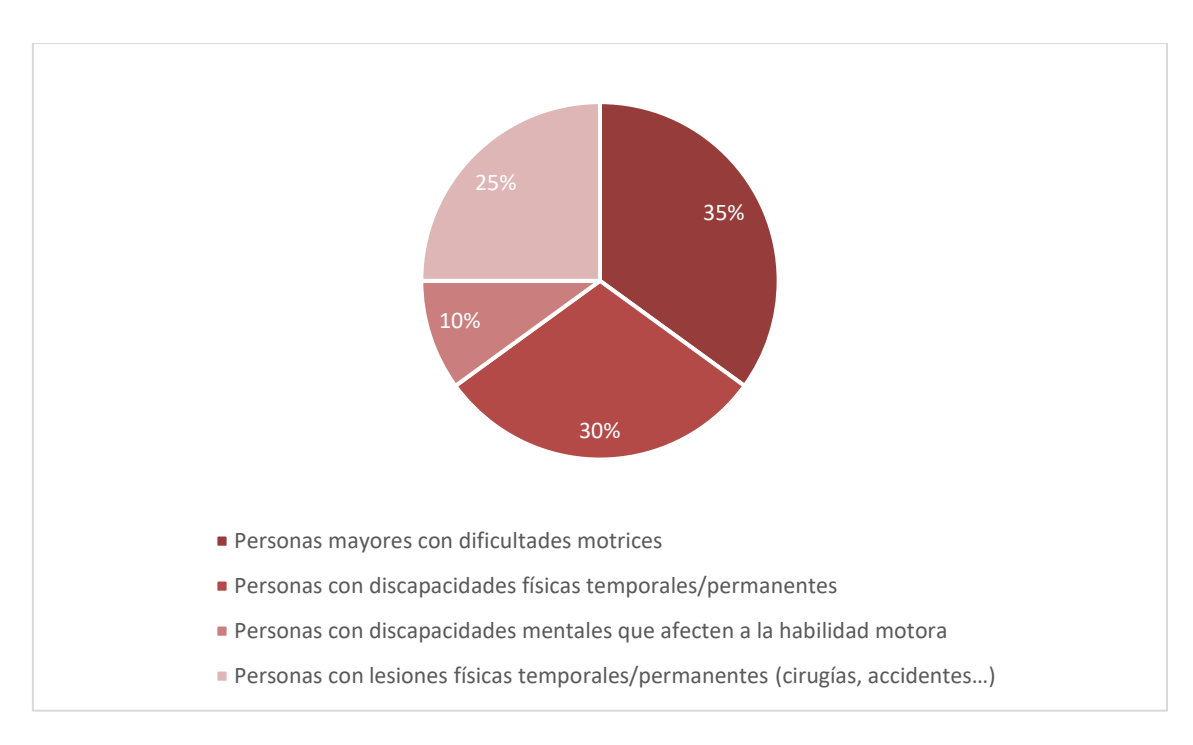


Ilustración 71 - Distribución por grupos de la población española con movilidad reducida

Cabe destacar que las personas con condiciones temporales serán mucho menos propensas a buscar una solución a esta falta de accesibilidad. Es por ello por lo que se debería enfocar el proceso de mejora del ensamblaje y, por tanto, la búsqueda de clientes hacia los sectores de población que presenten condiciones de larga duración.

De los grupos anteriores, las personas mayores son el grupo que más crece en España, y, por tanto, el número de ellos con dificultades motrices aumenta proporcionalmente.

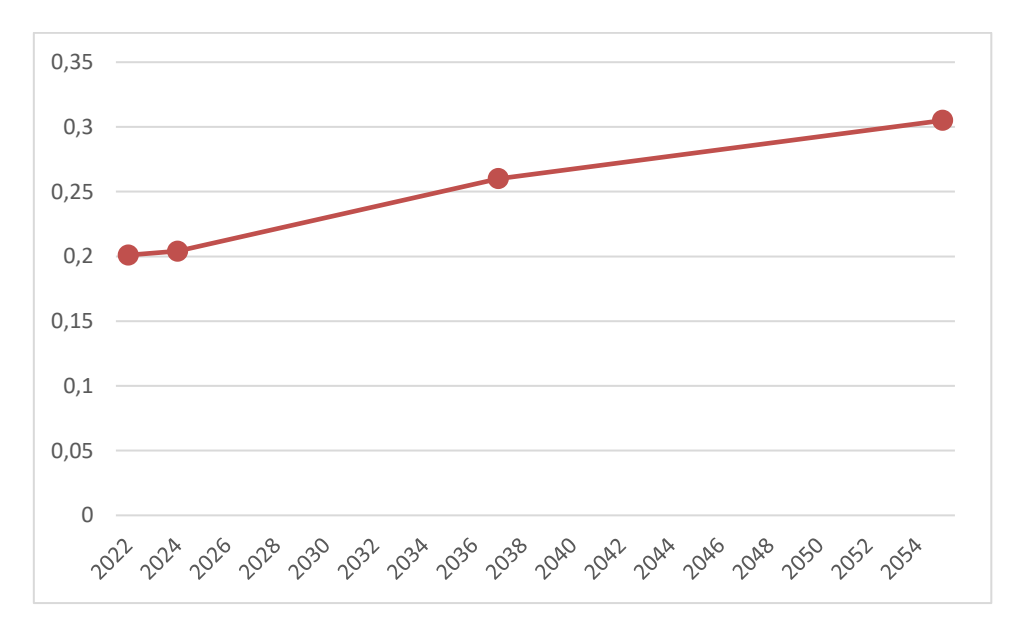


Ilustración 72 - Porcentaje de personas mayores de 65 años en España basado en las Proyecciones de Población del INE



Las "Proyecciones de Población" del INE de los años 20222 y 2024 predicen un aumento bastante significativo en este segmento de la demografía española, que teniendo en cuenta que son el grupo más propenso a sufrir cualquier tipo de discapacidad, la solución propuesta podrá dar respuesta a la demanda de un número cada vez mayor de personas. Una gráfica muy significativa es la obtenida de la Encuesta de Discapacidad, Autonomía personal y Situaciones de Dependencia (EDAD) en su última edición, publicada en 2020. En ella se ve qué problemas de accesibilidad presentan las personas con alguna condición según su tipología. Según la encuesta realizada hace 5 años, eran cerca de 2 millones de personas las que, teniendo alguna condición especial, experimentaban problemas de accesibilidad en el transporte en su día a día.

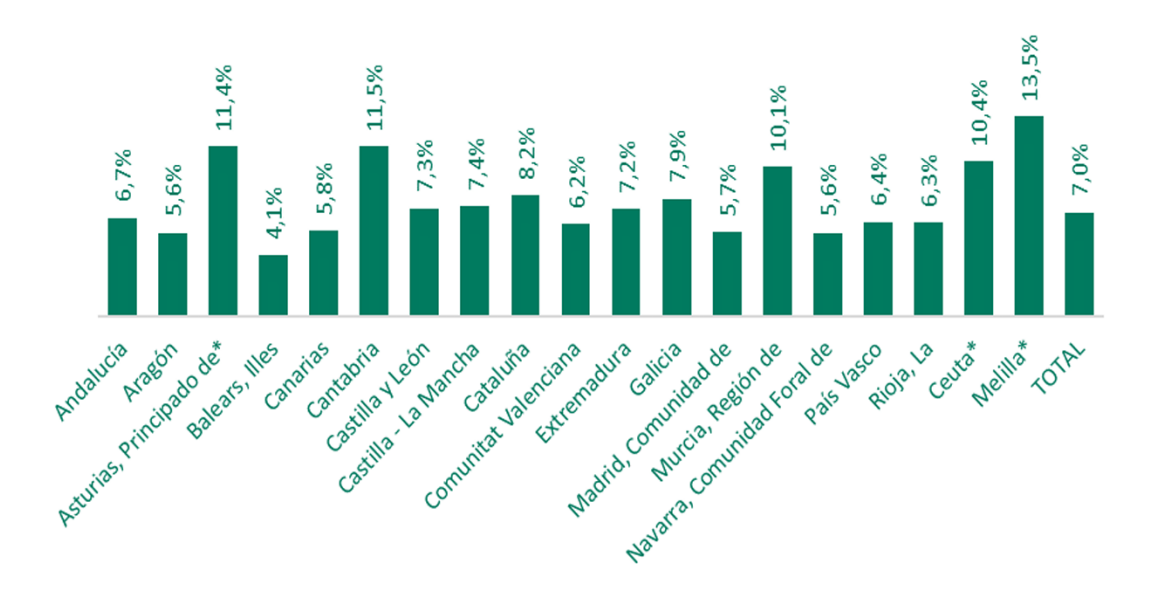
n .	
Porcenta	ως
i Oi CCiita	U.

	Nº Personas		Dificultad en	Dificutad	
	(miles de	Dificultad	edificios	transporte	Dificultad nuevas
	personas)	vivienda (%)	públicos (%)	(%)	tecnologías (%)
	4.318,1	34,0%	36,2%	43,8%	39,4%
Visión	1.051,3	36,4%	42,2%	48,0%	51,9%
Audición	1.230,0	28,3%	30,9%	36,7%	40,0%
Comunicación	947,5	42,9%	51,0%	60,1%	68,0%
Aprendizaje	705,4	43,6%	52,8%	62,4%	70,0%
Movilidad	2.403,7	47,7%	47,0%	58,6%	43,7%
Autocuidado	1.363,5	55,2%	55,8%	68,3%	58,9%
Vida doméstica	2.007,4	50,2%	52,6%	63,7%	53,1%
Interacciones y relaciones personales	607,7	42,0%	49,1%	57,1%	61,6%

Nota: Una misma persona puede estar en más de una categoría de discapacidad

Ilustración 73 - Problemas de accesibilidad debidos a la discapacidad por tipo de discapacidad (EDAD 2020)

Muchos de los pertenecientes a este grupo encontrarán en el ensamblaje diseñado la solución para sus diversos inconvenientes con el transporte, pero como es entendible, la demanda no será uniforme a lo largo del territorio. Una vez definidos los sectores a los que estará dirigido el ensamblaje se definen los lugares sobre los que se prestará una especial atención a la hora de la comercialización del producto. En este caso serán provincias con alta densidad de personas de avanzada edad, así como los núcleos urbanos más poblados donde tanto por normativas ecológicas como por cuestiones de movilidad los vehículos adaptados no son una alternativa real. Las provincias más afectadas por la longevidad de la población se encuentran principalmente en el norte peninsular, con valores bastante elevados en comunidades como la de Castilla y León, Asturias o Galicia entre otros. Estos datos casan parcialmente con el porcentaje de discapacitados por comunidad en el que repiten con valores bastante por encima de la media las comunidades de Asturias y Cantabria, destacando también un elevado porcentaje en la Región de Murcia y en las ciudades autónomas. Por otro lado, los núcleos urbanos más poblados del país como Madrid, Barcelona, Bilbao, Sevilla y demás capitales de provincia masificadas seguirán siendo puntos de concentración de la demanda gracias a la tendencia ascendente de la edad media en el país.



llustración 74 - Porcentaje de personas con G:D. entre el 33% y el 100% sobre la población



Ilustración 75 - Gráfico de % de personas mayores de 65 años por provincia en España (2024)

### 6.3.1 Estimaciones de venta

Partiendo de los datos anteriores se estima que en España existen entre 2 y 4 millones de personas susceptibles de ser usuarios de la solución adoptada. Al ser un producto que todavía no está muy extendido se estima una entrada en el mercado bastante baja, pero que irá creciendo con el paso de los años. Se plantean entonces dos escenarios, uno conservador y otro más optimista con respecto a las cuotas de mercado.



### 6.3.1.1 Escenario base

En este escenario se parte de una cuota de mercado del 0,007%, proyectando la venta de 200 unidades en el primer año de vida de la empresa. Se presenta como un escenario moderado-realista sobre el que basar la operativa en un hipotético funcionamiento normal del mercado. Empresas competidoras como "Rehatrans" se dedican a la adaptación de vehículos en general, por lo que se espera que la especialización en los asientos de copiloto y la visibilidad que se espera de una solución tan transversal sean suficientes para obtener un número mínimo de ventas.

Año	Ventas (unidades)	Crecimiento (%)
2026	200	_
2027	300	50,00%
2028	420	40,00%
2029	525	25,00%
2030	630	20,00%
2031	725	15,00%
2032	833	15,00%
2033	916	10,00%
2034	1008	10,00%
2035	1109	10,00%

Tabla 13 - Escenario base

Este modelo proyecta que los primeros años de vida del proyecto serán cruciales para la viabilidad de este. Apoyado en el marketing local, las múltiples ayudas institucionales ofrecidas para el emprendimiento y el boca a boca, se espera un rápido crecimiento del proyecto en los primeros años, que vendrá seguido de una fase de expansión a medida que se vayan optimizando los procesos dentro de la empresa. En los inicios de esta fase de expansión serán esenciales la firma de contratos con entidades públicas y/o privadas como centros de día, centros de salud o talleres mecánicos que expandirán aún más el producto. A partir de ahí, el crecimiento caerá a niveles más estables en torno al 10% anual, siguiendo la tendencia demográfica y la propia expansión del mercado.

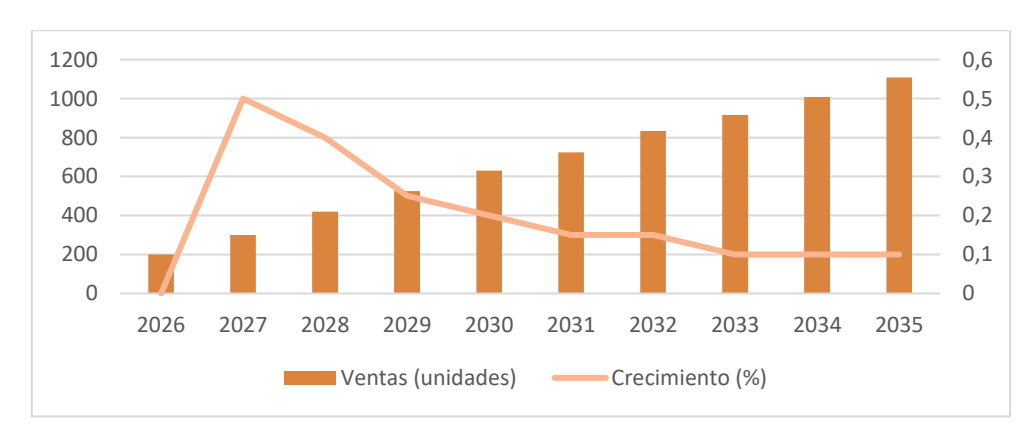


Ilustración 76 - Proyección de la demanda anual de asientos fundamentada en el Escenario base



### 6.3.1.2 Escenario de alto rendimiento

Partiendo de una cuota del 0,017%, este escenario se presenta como una posibilidad mucho más optimista que la anterior. Se basa en la hipótesis de que el producto obtenga un buen recibimiento en el mercado y que el elemento diferencial de orientarlo también a las personas de la tercera edad sea un factor que desbalancee el mercado a favor del producto creado.

Año	Ventas (unidades)	Crecimiento (%)
2026	500	_
2027	1000	100,00%
2028	1600	60,00%
2029	2400	50,00%
2030	3600	50,00%
2031	4800	33,30%
2032	6000	25,00%
2033	7200	20,00%
2034	8640	20,00%
2035	10368	20,00%

Tabla 14 - Escenario de alto rendimiento

Esta proyección contempla la irrupción del ensamblaje como un proyecto importante en las ferias de innovación realizadas a lo largo del territorio nacional, con un marketing adaptado a las nuevas tecnologías, y que cuente con el apoyo de las múltiples subvenciones nacionales/autonómicas a las que este puede optar. Por supuesto, los convenios con centros de día, talleres especializados o asociaciones por la inclusión serán esenciales en la expansión del proyecto. También implicará una mejora continua en el desarrollo del ensamblaje, manteniendo el interés del mercado.

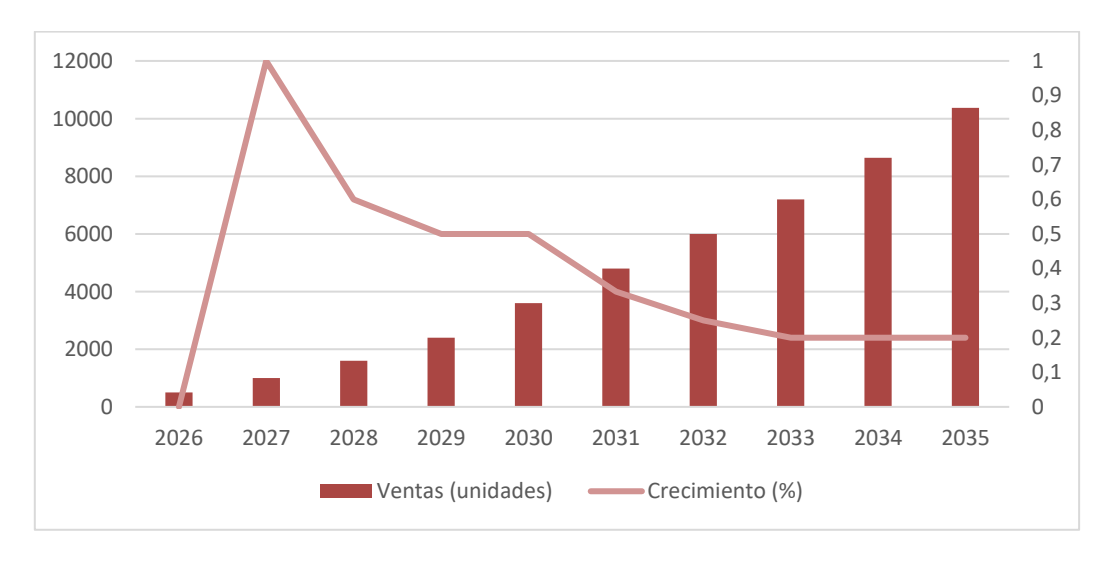


Ilustración 77 - Proyección de la demanda anual de asientos fundamentada en el Escenario de alto rendimiento



### 6.4 Costes del proyecto

Definir los costes a los que se verá forzado el proyecto supone una parte vital para la comercialización de cualquier producto. Se diferenciará entre los costes iniciales, los costes fijos y los costes variables.

### 6.4.1 Costes iniciales

Al igual que ocurre en muchos de los sectores que abarca la ingeniería, este mercado tiene grandes barreras de entrada por el elevado coste de la maquinaría y de las licencias, por lo que la inversión inicial deberá ser significativa.

Concepto	Unidades	Precio	Inversión total
Fresadoras CNC	3	60.000,00€	180.000,00€
Impresoras 3D	3	6.000,00€	18.000,00€
Herramientas básicas		3.000,00€	3.000,00€
Equipo de soldadura TIG/MIG	2	4.000,00€	8.000,00€
Kit recubrimiento en polvo	2	2.300,00€	4.600,00€
Horno de curado	2	3.999,00€	7.998,00€
Cabina de pintura	1	7.750,00€	7.750,00€
Registro y licencias		3.000,00€	3.000,00€
Gastos generales		4.000,00€	4.000,00€
Inversión total			236.348,00€

Tabla 15 - Costes iniciales

### 6.4.2 Costes estructurales

Se trata de los costes recurrentes necesarios para que la actividad siga su marcha. No dependen del número de unidades producidas, si no que se mantienen fijos. Entre otros, se encuentran el alquiler de la nave o la amortización de las máquinas.



Concepto	Nº	Cantidad Cantidad total
Salarios	4	€ 30.000,00 € 120.000,00
Alquiler de la nave		€ 30.000,00 € 20.000,00
Electricidad		€ 6.000,00 € 6.000,00
Mantenimientos		€ 3.500,00 € 3.500,00
Seguros		€ 1.500,00 € 1.500,00
Servicios, softwares y extras		€ 5.000,00 € 5.000,00
Cantidad total		€ 156.000,00

Tabla 16 - Costes estructurales

### 6.4.3 Costes variables

En esta cuenta se mostrarán los costes que aumentan proporcionalmente a las unidades producidas. Para realizar este análisis hay que analizar el coste en materiales, en consumibles y gasto en electricidad entre otros.

Concepto	Unidades	Precio/Ud.	Precio/Ensamblaje
Pintura en polvo	1	15,00€	15,00€
Barniz en polvo	1	20,00€	20,00€
Rodamientos	24	1,76 €	42,24 €
Rodamiento central	1	15,00€	15,00€
Muelles Aluminio	2	0,28€	0,56€
Muelles Acero	1	1,85€	1,85€
Tornillos M10 (Clase 10.9)	8	0,45 €	3,60€
Tornillos M8 (Clase 10.9)	10	0,51€	5,10€
Total Ensamblaje			103,35€

Tabla 17 - Coste en consumibles por ensamblaje

Material	kg	Precio/kg	Precio/Ensamblaje
Acero 6150	0,247	3,20 €	0,79€
Acero AISI 1045	3,31	2,80€	9,27€
Aluminio 6061-T6	9,876	5,50€	54,32€
ABS	0,081	25,00€	2,03€
Total ensamblaje	13,514		66,40 €

Tabla 18 - Coste de materiales por ensamblaje



Comercialización	Precio	Precio/Ensamblaje
Embalaje	20,00€	20,00€
Relleno	5,00€	5,00€
Total ensamblaje		25,00€

Tabla 19 - Costes de comercialización por ensamblaje

A todos estos gastos se incluirá una estimación de los gastos derivados del desgaste de herramientas usadas en la creación del ensamblaje. A pesar de que puedan parecer conceptos parecidos, esto no son gastos de amortización, sino que en la fabricación de cada pieza hay un desgaste de varios componentes que tienen que ser reemplazados. De esta forma, la tabla final sobre el coste variable sería la siguiente:

Concepto	Descripción	Precio/Ensamblaje
Materiales	Acero 6150, AISI 1045, Al 6061-T6, ABS	66,40€
Consumibles	Tornillería, rodamientos, muelles	103,35€
Comercialización	Embalaje, relleno	25,00€
Envío	Paquetería	4,99€
Otros	Brocas, ejes de CNC, discos	3,50€
Total ensamblaje		203,24€

Tabla 20 - Coste variable total

Tras analizar los costes esperados por ensamblaje y teniendo el contexto sobre el precio que está poniendo la competencia a soluciones similares se llega a la conclusión de que el precio final del producto serán 1000 € pero es una cifra que eventualmente podría aumentar hasta los 2000 € al tener la competencia unos precios ciertamente desorbitados Esto se debe a la fuerte inversión que se hace en maquinaria y materiales

### 6.4.4 Amortizaciones

Al utilizar maquinaria se deben tener en cuenta la pérdida de su valor con el paso de los años. El concepto de la amortización surge para poder distribuir el coste de compra de un activo entre su vida útil.

Concepto	Nº		Cantidad		antidad total	Vida útil	Amortización anual	
Fresadora CNC	3	€	60.000,00	€	180.000,00	10	€	18.000,00
Impresora 3D	3	€	6.000,00	€	18.000,00	5	€	3.600,00
Soldadura TIG/MIG	2	€	4.000,00	€	8.000,00	7	€	1.142,86
Compresor	2	€	1.300,00	€	2.600,00	7	€	371,43
Pistola de polvo	2	€	1.000,00	€	2.000,00	5	€	400,00
Horno de curado	2	€	3.999,00	€	7.998,00	7	€	1.142,57
Cabina de pintura	1	€	7.750,00	€	7.750,00	10	€	775,00
Cantidad total				€	226.348,00		€	25.431,86

Tabla 21 - Gastos de amortizaciones



### 6.4.5 Flujos de caja e indicadores VAN y TIR

Se reúnen todas las tablas anteriores en una sola tabla conocida como "flujo de caja", de la que se obtendrán el TIR y el VAN. Estos dos indicadores son esenciales para comprobar la viabilidad de un proyecto. Por un lado, el Valor Actual Neto (VAN) refleja cuánto valen actualmente los beneficios futuros del proyecto, mientras que la Tasa Interna de Retorno (TIR) es la tasa de descuento que iguala el VAN a cero.

En este caso se analizará por separado los distintos escenarios de venta y se analizarán los resultados obtenidos. Para ambos escenarios se han ajustado los costes a valores nominales, asumiendo un IPC del 3% anual y una tasa real del 5% para obtener un valor de tasa de descuento del 8% al cálculo del VAN

6.4.5.1 Resultados en escenario estándar

Año	2026	2027	2028	2029	2030
Ud.	200	300	420	525	639
Total Ingresos Total Costes	200.000,00€ - 40.648,00€	300.000,00€ - 62.801,16€	420.000,00€ - 90.559,27€	525.000,00€ - 116.595,06€	639.000,00 € - 146.170,23 €
Margen Gastos Estructurales	159.352,00 € - 156.000,00 €	237.198,84 € - 160.680,00 €	329.440,73 € - 165.500,40 €	408.404,94 € - 170.465,41 €	492.829,77 € - 175.579,37 €
EBITDA Amortizaciones	3.352,00 € - 25.431,86 €	76.518,84€ - 25.431,86€	163.940,33 € - 25.431,86 €	237.939,52 € - 25.431,86 €	317.250,39 € - 25.431,86 €
EBIT Gastos financieros	- 22.079,86€ - €	51.086,98€ - €	138.508,47 € - €	212.507,67€ - €	291.818,53 € - €
BAI Impuestos (30%)	- 22.079,86€ 6.623,96€	51.086,98€ - 15.326,09€	138.508,47 € - 41.552,54 €	212.507,67 € - 63.752,30 €	291.818,53€ - 87.545,56€
BDI Amortizaciones	- 15.455,90 € 25.431,86 €	35.760,89€ 25.431,86€	96.955,93 € 25.431,86 €	148.755,37 € 25.431,86 €	204.272,97 € 25.431,86 €
CFL Inversión	9.975,96 € - 236.348,00 €	61.192,75€	122.387,79€	174.187,22€	229.704,83€
CF	- 226.372,04€	61.192,75€	122.387,79€	174.187,22€	229.704,83€
CFA	- 226.372,04€	- 165.179,30€	- 42.791,51€	131.395,71€	361.100,54€
2					,
Año	2031	2032	2033	2034	2035
Año Ud.		2032 833	2033 916	,	2035 1109
Año	2031	2032	2033	2034	
Año Ud. Total Ingresos	2031 725 725.000,00 €	2032 833 833.000,00 €	2033 916 916.000,00 €	2034 1008 1.008.000,00 €	<b>1109</b> 1.109.000,00€
Año  Ud.  Total Ingresos  Total Costes  Margen	2031 725 725.000,00 € - 170.817,88 € 554.182,12 €	2032 833 833.000,00 € - 202.151,76 € 630.848,24 €	2033 916 916.000,00 € - 228.962,96 € 687.037,04 €	2034 1008 1.008.000,00 € - 259.518,02 € 748.481,98 €	1109 1.109.000,00 € - 294.086,95 € 814.913,05 €
Año Ud. Total Ingresos Total Costes Margen Gastos Estructurales EBITDA	2031 725 725.000,00 € - 170.817,88 € 554.182,12 € - 180.846,76 € 373.335,37 €	2032 833 833.000,00 € - 202.151,76 € 630.848,24 € - 186.272,16 € 444.576,08 €	2033 916 916.000,00 € - 228.962,96 € 687.037,04 € - 191.860,32 € 495.176,72 €	2034 1008 1.008.000,00 € - 259.518,02 € 748.481,98 € - 197.616,13 € 550.865,85 €	1109 1.109.000,00 € - 294.086,95 € 814.913,05 € - 203.544,62 € 611.368,43 €
Año  Ud.  Total Ingresos Total Costes  Margen Gastos Estructurales  EBITDA Amortizaciones  EBIT	2031 725 725.000,00 € - 170.817,88 € 554.182,12 € - 180.846,76 € 373.335,37 € - 25.431,86 € 347.903,51 €	2032 833 833.000,00 € - 202.151,76 € 630.848,24 € - 186.272,16 € 444.576,08 € - 25.431,86 € 419.144,22 €	2033 916 916.000,00 € - 228.962,96 € 687.037,04 € - 191.860,32 € 495.176,72 € - 25.431,86 € 469.744,86 €	2034 1008 1.008.000,00 € - 259.518,02 € 748.481,98 € - 197.616,13 € 550.865,85 € - 25.431,86 € 525.433,99 €	1109 1.109.000,00 € - 294.086,95 € 814.913,05 € - 203.544,62 € 611.368,43 € - 25.431,86 € 585.936,58 €
Año  Ud.  Total Ingresos Total Costes  Margen Gastos Estructurales  EBITDA Amortizaciones  EBIT Gastos financieros  BAI	2031  725  725.000,00 €  - 170.817,88 €  554.182,12 €  - 180.846,76 €  373.335,37 €  - 25.431,86 €  347.903,51 €  - €  347.903,51 €	2032 833 833.000,00 € - 202.151,76 € 630.848,24 € - 186.272,16 € 444.576,08 € - 25.431,86 € 419.144,22 € - € 419.144,22 €	2033 916 916.000,00 € - 228.962,96 € 687.037,04 € - 191.860,32 € 495.176,72 € - 25.431,86 € 469.744,86 € - € 469.744,86 €	2034 1008 1.008.000,00 € - 259.518,02 € 748.481,98 € - 197.616,13 € 550.865,85 € - 25.431,86 € 525.433,99 € - € 525.433,99 €	1109 1.109.000,00 € - 294.086,95 € 814.913,05 € - 203.544,62 € 611.368,43 € - 25.431,86 € 585.936,58 € - € 585.936,58 €
Año  Ud.  Total Ingresos Total Costes  Margen Gastos Estructurales  EBITDA Amortizaciones  EBIT Gastos financieros  BAI Impuestos (30%)  BDI	2031  725  725.000,00 €  - 170.817,88 €  554.182,12 €  - 180.846,76 €  373.335,37 €  - 25.431,86 €  347.903,51 €  - 04.371,05 €  243.532,46 €	2032  833  833.000,00 €  - 202.151,76 €  630.848,24 €  - 186.272,16 €  444.576,08 €  - 25.431,86 €  419.144,22 €  - €  419.144,22 €  - 125.743,27 €  293.400,95 €	2033 916 916.000,00 € - 228.962,96 € 687.037,04 € - 191.860,32 € 495.176,72 € - 25.431,86 € 469.744,86 € - € 469.744,86 € - 140.923,46 € 328.821,40 €	2034  1008  1.008.000,00 €  259.518,02 €  748.481,98 €  197.616,13 €  550.865,85 €  25.431,86 €  525.433,99 €  - €  525.433,99 €  157.630,20 €  367.803,79 €	1109 1.109.000,00 € - 294.086,95 € 814.913,05 € - 203.544,62 € 611.368,43 € - 25.431,86 € 585.936,58 € - € 585.936,58 € - 175.780,97 € 410.155,60 €
Año  Ud.  Total Ingresos Total Costes  Margen Gastos Estructurales  EBITDA Amortizaciones  EBIT Gastos financieros  BAI Impuestos (30%)  BDI Amortizaciones  CFL	2031  725  725.000,00 €  - 170.817,88 €  554.182,12 €  - 180.846,76 €  373.335,37 €  - 25.431,86 €  347.903,51 €  - 0€  347.903,51 €  - 104.371,05 €  243.532,46 €  25.431,86 €	2032  833  833.000,00 €  - 202.151,76 €  630.848,24 €  - 186.272,16 €  444.576,08 €  - 25.431,86 €  419.144,22 €  - €  419.144,22 €  - 125.743,27 €  293.400,95 €  25.431,86 €	2033 916 916.000,00 € - 228.962,96 € 687.037,04 € - 191.860,32 € 495.176,72 € - 25.431,86 € 469.744,86 € - € 469.744,86 € - 140.923,46 € 328.821,40 € 25.431,86 €	2034  1008  1.008.000,00 €  259.518,02 €  748.481,98 €  197.616,13 €  550.865,85 €  25.431,86 €  525.433,99 €  525.433,99 €  157.630,20 €  367.803,79 €  25.431,86 €	1109 1.109.000,00 € - 294.086,95 € 814.913,05 € - 203.544,62 € 611.368,43 € - 25.431,86 € 585.936,58 € - € 585.936,58 € - 175.780,97 € 410.155,60 € 25.431,86 €

Tabla 22 - Flujo de caja en escenario estándar

Soluciones Innovadoras para la Movilidad: Asiento de Copiloto Adaptado para Personas con Movilidad Reducida Alonso Parra Fernández



En el escenario estándar o realista se aprecia un proyecto bastante sólido con unos indicadores financieros bastante positivos. Cabe destacar que no se valorará la financiación a través de créditos bancarios ya que se tratará de una empresa familiar fundada con los ahorros de los integrantes.

En cuanto al Valor Actual Neto (VAN) se obtiene un dato de 1.383475,33 € que demuestra que el proyecto genera beneficios y, por tanto, es rentable. A pesar de que la suma total del flujo de caja sea superior a este dato, el resultado no es el mismo debido a que se tiene en cuenta un indicador conocido como tasa de descuento. Este valor se usa para extrapolar los flujos de caja futuros al presente. En el caso de proyectos de ingeniería en economías desarrolladas, este valor debe ser algo conservador ya que la incertidumbre por el devenir del proyecto no es exageradamente alta. Es por esto por lo que en este caso se ha tomado un valor de tasa real del 5%, que sumado al IPC del 3% da un total de un 8% de tasa de descuento.

Por su parte, la Tasa Interna de Retorno o TIR medirá la rentabilidad de la inversión inicial realizada expresada en porcentaje. El resultado obtenido es de 29% que, si bien se presenta como un valor exageradamente alto para lo que se suele considerar como proyectos susceptibles de inversión bancaria (entre el 8 y el 17%), tiene sentido ya que la inversión inicial es poca comparándola con un precio tan alto de producto (1000 € por ensamblaje). Por último, el tiempo de recuperación de la inversión inicial será de 5 años (pay-back time), lo que quiere decir que en el año 2030 se habrá recuperado por completo la inversión realizada



### 6.4.5.2 Resultados en escenario de alto rendimiento

Año	2026	2027	2028	2029	2030
Ud.	200	1000	1600	2400	3600
Total Ingresos	200.000,00€	1.000.000,00€	1.600.000,00€	2.400.000,00€	3.600.000,00€
Total Costes	- 40.648,00€	- 209.337,20€	- 344.987,71€	- 533.006,01€	- 823.494,28€
Margen	159.352,00€	790.662,80€	1.255.012,29€	1.866.993,99€	2.776.505,72€
Gastos Estructurales	- 156.000,00€	- 160.680,00€	- 264.164,10€	- 272.089,02€	- 384.924,01€
EBITDA	3.352,00€	629.982,80€	990.848,19€	1.594.904,97€	2.391.581,71€
Amortizaciones	- 25.431,86€	- 25.431,86€	- 50.863,71€	- 50.863,71€	- 76.295,57€
EBIT	- 22.079,86€	604.550,94€	939.984,48€	1.544.041,26€	2.315.286,14€
Gastos financieros	- €	- €	- €	- €	- €
BAI	- 22.079,86€	604.550,94€	939.984,48€	1.544.041,26€	2.315.286,14€
Impuestos (30%)	6.623,96€	- 181.365,28€	- 281.995,34€	- 463.212,38€	- 694.585,84€
BDI	- 15.455,90€	423.185,66€	657.989,14€	1.080.828,88€	1.620.700,30€
Amortizaciones	25.431,86€	25.431,86€	50.863,71€	50.863,71€	76.295,57€
CFL	9.975,96€	448.617,52€	708.852,85€	1.131.692,59€	1.696.995,87€
Inversión	- 236.348,00€		- 236.348,00€		- 236.348,00€
CF	- 226.372,04€	448.617,52€	472.504,85€	1.131.692,59€	1.460.647,87€
CFA	- 226.372,04€	222.245,47€	694.750,32€	1.826.442,92€	3.287.090,79€
Año	2031	2032	2033	2034	2035
<i>Año</i> Ud.	2031 4800	2032 6000	2033 7200	2034 8640	2035 10368
Ud.	4800	6000	7200	8640	10368
<b>Ud.</b> Total Ingresos	<b>4800</b> 4.800.000,00€	<b>6000</b> 6.000.000,00€	<b>7200</b> 7.200.000,00€	<b>8640</b> 8.640.000,00€	<b>10368</b> 10.368.000,00€
Ud. Total Ingresos Total Costes	4800 4.800.000,00 € - 1.130.932,14 €	6000 6.000.000,00 € - 1.456.075,13 €	<b>7200</b> 7.200.000,00 € - 1.799.708,86 €	<b>8640</b> 8.640.000,00 € - 2.224.440,16 €	<b>10368</b> 10.368.000,00 € - 2.749.408,03 €
Ud. Total Ingresos Total Costes Margen	4800 4.800.000,00 € - 1.130.932,14 € 3.669.067,86 €	6000 6.000.000,00 € - 1.456.075,13 € 4.543.924,87 €	7200 7.200.000,00 € - 1.799.708,86 € 5.400.291,14 €	8640 8.640.000,00 € - 2.224.440,16 € 6.415.559,84 €	10368 10.368.000,00 € - 2.749.408,03 € 7.618.591,97 €
Ud. Total Ingresos Total Costes  Margen Gastos Estructurales	4800 4.800.000,00 € - 1.130.932,14 € 3.669.067,86 € - 396.471,73 €	6000 6.000.000,00 € - 1.456.075,13 € 4.543.924,87 € - 519.412,75 €	7200 7.200.000,00 € 1.799.708,86 € 5.400.291,14 € 534.995,13 €	8640 8.640.000,00 € - 2.224.440,16 € 6.415.559,84 € - 668.854,60 €	10368 10.368.000,00 € - 2.749.408,03 € 7.618.591,97 € - 688.920,24 €
Ud. Total Ingresos Total Costes  Margen Gastos Estructurales  EBITDA	4800 4.800.000,00 € - 1.130.932,14 € 3.669.067,86 € - 396.471,73 € 3.272.596,12 €	6000 6.000.000,00 € - 1.456.075,13 € 4.543.924,87 € - 519.412,75 € 4.024.512,12 €	7200 7.200.000,00 € 1.799.708,86 € 5.400.291,14 € 534.995,13 € 4.865.296,00 €	8640 8.640.000,00 € - 2.224.440,16 € 6.415.559,84 € - 668.854,60 € 5.746.705,24 €	10368 10.368.000,00 € - 2.749.408,03 € 7.618.591,97 € - 688.920,24 € 6.929.671,73 €
Ud. Total Ingresos Total Costes  Margen Gastos Estructurales  EBITDA Amortizaciones	4800 4.800.000,00 € - 1.130.932,14 € 3.669.067,86 € - 396.471,73 € 3.272.596,12 € - 76.295,57 €	6000 6.000.000,00 € - 1.456.075,13 € 4.543.924,87 € - 519.412,75 € 4.024.512,12 € - 101.727,43 €	7200 7.200.000,00 € - 1.799.708,86 € 5.400.291,14 € - 534.995,13 € 4.865.296,00 € - 101.727,43 €	8640 8.640.000,00 € - 2.224.440,16 € 6.415.559,84 € - 668.854,60 € 5.746.705,24 € - 127.159,29 €	10368 10.368.000,00 € - 2.749.408,03 € 7.618.591,97 € - 688.920,24 € 6.929.671,73 € - 127.159,29 €
Ud. Total Ingresos Total Costes  Margen Gastos Estructurales  EBITDA Amortizaciones  EBIT	4800 4.800.000,00 € - 1.130.932,14 € 3.669.067,86 € - 396.471,73 € 3.272.596,12 € - 76.295,57 € 3.196.300,55 €	6000 6.000.000,00 € - 1.456.075,13 € 4.543.924,87 € - 519.412,75 € 4.024.512,12 € - 101.727,43 € 3.922.784,69 €	7200 7.200.000,00 € 1.799.708,86 € 5.400.291,14 € 534.995,13 € 4.865.296,00 € 101.727,43 € 4.763.568,58 €	8640 8.640.000,00 € - 2.224.440,16 € 6.415.559,84 € - 668.854,60 € 5.746.705,24 € - 127.159,29 € 5.619.545,96 €	10368 10.368.000,00 € - 2.749.408,03 € 7.618.591,97 € - 688.920,24 € 6.929.671,73 € - 127.159,29 € 6.802.512,44 €
Ud. Total Ingresos Total Costes  Margen Gastos Estructurales  EBITDA Amortizaciones  EBIT Gastos financieros	4800 4.800.000,00 € - 1.130.932,14 € 3.669.067,86 € - 396.471,73 € 3.272.596,12 € - 76.295,57 € 3.196.300,55 € - €	6000 6.000.000,00 € - 1.456.075,13 € 4.543.924,87 € - 519.412,75 € 4.024.512,12 € - 101.727,43 € 3.922.784,69 € - €	7200 7.200.000,00 € 1.799.708,86 € 5.400.291,14 € 534.995,13 € 4.865.296,00 € 101.727,43 € 4.763.568,58 € - €	8640 8.640.000,00 € - 2.224.440,16 € 6.415.559,84 € - 668.854,60 € 5.746.705,24 € - 127.159,29 € 5.619.545,96 € - €	10368 10.368.000,00 € - 2.749.408,03 € 7.618.591,97 € - 688.920,24 € 6.929.671,73 € - 127.159,29 € 6.802.512,44 € - €
Ud. Total Ingresos Total Costes  Margen Gastos Estructurales  EBITDA Amortizaciones  EBIT Gastos financieros  BAI	4800 4.800.000,00 € - 1.130.932,14 € 3.669.067,86 € - 396.471,73 € 3.272.596,12 € - 76.295,57 € 3.196.300,55 € - € 3.196.300,55 €	6000 6.000.000,00 € - 1.456.075,13 € 4.543.924,87 € - 519.412,75 € 4.024.512,12 € - 101.727,43 € 3.922.784,69 € - € 3.922.784,69 €	7200 7.200.000,00 € 1.799.708,86 € 5.400.291,14 € 534.995,13 € 4.865.296,00 € 101.727,43 € 4.763.568,58 € 4.763.568,58 €	8640 8.640.000,00 € - 2.224.440,16 € 6.415.559,84 € - 668.854,60 € 5.746.705,24 € - 127.159,29 € 5.619.545,96 € - € 5.619.545,96 €	10368 10.368.000,00 € - 2.749.408,03 € 7.618.591,97 € - 688.920,24 € 6.929.671,73 € - 127.159,29 € 6.802.512,44 € - € 6.802.512,44 €
Ud. Total Ingresos Total Costes  Margen Gastos Estructurales  EBITDA Amortizaciones  EBIT Gastos financieros  BAI Impuestos (30%)	4800 4.800.000,00 € - 1.130.932,14 € 3.669.067,86 € - 396.471,73 € 3.272.596,12 € - 76.295,57 € 3.196.300,55 € - € 3.196.300,55 € - 958.890,17 €	6000 6.000.000,00 € - 1.456.075,13 € 4.543.924,87 € - 519.412,75 € 4.024.512,12 € - 101.727,43 € 3.922.784,69 € - € 3.922.784,69 € - 1.176.835,41 €	7200 7.200.000,00 € 1.799.708,86 € 5.400.291,14 € 534.995,13 € 4.865.296,00 € 101.727,43 € 4.763.568,58 € 4.763.568,58 € 1.429.070,57 €	8640  8.640.000,00 €  - 2.224.440,16 €  6.415.559,84 €  - 668.854,60 €  5.746.705,24 €  - 127.159,29 €  5.619.545,96 €  - €  5.619.545,96 €  - 1.685.863,79 €	10368 10.368.000,00 € - 2.749.408,03 € 7.618.591,97 € - 688.920,24 € 6.929.671,73 € - 127.159,29 € 6.802.512,44 € - € 6.802.512,44 € - 2.040.753,73 €
Ud. Total Ingresos Total Costes  Margen Gastos Estructurales  EBITDA Amortizaciones  EBIT Gastos financieros  BAI Impuestos (30%)  BDI Amortizaciones  CFL	4800 4.800.000,00 € - 1.130.932,14 € 3.669.067,86 € - 396.471,73 € 3.272.596,12 € - 76.295,57 € 3.196.300,55 € - € 3.196.300,55 € - 958.890,17 € 2.237.410,39 € 76.295,57 € 2.313.705,96 €	6000 6.000.000,00 € - 1.456.075,13 € 4.543.924,87 € - 519.412,75 € 4.024.512,12 € - 101.727,43 € 3.922.784,69 € - € 3.922.784,69 € - 1.176.835,41 € 2.745.949,28 € 101.727,43 € 2.847.676,71 €	7200 7.200.000,00 € 1.799.708,86 € 5.400.291,14 € 534.995,13 € 4.865.296,00 € 101.727,43 € 4.763.568,58 € 4.763.568,58 € 1.429.070,57 € 3.334.498,00 € 101.727,43 € 3.436.225,43 €	8640  8.640.000,00 €  - 2.224.440,16 €  6.415.559,84 €  - 668.854,60 €  5.746.705,24 €  - 127.159,29 €  5.619.545,96 €  - €  5.619.545,96 €  - 1.685.863,79 €  3.933.682,17 €  127.159,29 €  4.060.841,45 €	10368  10.368.000,00 €  - 2.749.408,03 €  7.618.591,97 €  - 688.920,24 €  6.929.671,73 €  - 127.159,29 €  6.802.512,44 €  - €  6.802.512,44 €  - 2.040.753,73 €  4.761.758,71 €
Ud. Total Ingresos Total Costes  Margen Gastos Estructurales  EBITDA Amortizaciones  EBIT Gastos financieros  BAI Impuestos (30%)  BDI Amortizaciones	4800 4.800.000,00 € - 1.130.932,14 € 3.669.067,86 € - 396.471,73 € 3.272.596,12 € - 76.295,57 € 3.196.300,55 € - € 3.196.300,55 € - 958.890,17 € 2.237.410,39 € 76.295,57 €	6000 6.000.000,00 € - 1.456.075,13 € 4.543.924,87 € - 519.412,75 € 4.024.512,12 € - 101.727,43 € 3.922.784,69 € - € 3.922.784,69 € - 1.176.835,41 € 2.745.949,28 € 101.727,43 €	7200 7.200.000,00 € - 1.799.708,86 € 5.400.291,14 € - 534.995,13 € 4.865.296,00 € - 101.727,43 € 4.763.568,58 € - € 4.763.568,58 € - 1.429.070,57 € 3.334.498,00 € 101.727,43 €	8640  8.640.000,00 €  - 2.224.440,16 €  6.415.559,84 €  - 668.854,60 €  5.746.705,24 €  - 127.159,29 €  5.619.545,96 €  - €  5.619.545,96 €  - 1.685.863,79 €  3.933.682,17 €  127.159,29 €	10368 10.368.000,00 € - 2.749.408,03 € 7.618.591,97 € - 688.920,24 € 6.929.671,73 € - 127.159,29 € 6.802.512,44 € - € 6.802.512,44 € - 2.040.753,73 € 4.761.758,71 € 127.159,29 €
Ud. Total Ingresos Total Costes  Margen Gastos Estructurales  EBITDA Amortizaciones  EBIT Gastos financieros  BAI Impuestos (30%)  BDI Amortizaciones  CFL	4800 4.800.000,00 € - 1.130.932,14 € 3.669.067,86 € - 396.471,73 € 3.272.596,12 € - 76.295,57 € 3.196.300,55 € - € 3.196.300,55 € - 958.890,17 € 2.237.410,39 € 76.295,57 € 2.313.705,96 €	6000 6.000.000,00 € - 1.456.075,13 € 4.543.924,87 € - 519.412,75 € 4.024.512,12 € - 101.727,43 € 3.922.784,69 € - € 3.922.784,69 € - 1.176.835,41 € 2.745.949,28 € 101.727,43 € 2.847.676,71 €	7200 7.200.000,00 € 1.799.708,86 € 5.400.291,14 € 534.995,13 € 4.865.296,00 € 101.727,43 € 4.763.568,58 € 4.763.568,58 € 1.429.070,57 € 3.334.498,00 € 101.727,43 € 3.436.225,43 €	8640  8.640.000,00 €  - 2.224.440,16 €  6.415.559,84 €  - 668.854,60 €  5.746.705,24 €  - 127.159,29 €  5.619.545,96 €  - €  5.619.545,96 €  - 1.685.863,79 €  3.933.682,17 €  127.159,29 €  4.060.841,45 €	10368 10.368.000,00 € - 2.749.408,03 € 7.618.591,97 € - 688.920,24 € 6.929.671,73 € - 127.159,29 € 6.802.512,44 € - € 6.802.512,44 € - 2.040.753,73 € 4.761.758,71 € 127.159,29 €

Tabla 23 - Flujo de caja en escenario de alto rendimiento

Al igual que en el anterior caso no se plantea un crédito bancario. En otras generalidades, se podría plantear bajar el precio del ensamblaje ya que al vender más unidades los márgenes son bastante más amplios. Este incremento en el volumen de ventas provoca obtener unos resultados económicos que son ciertamente desorbitados. Para paliar el aumento de las ventas también aumentan en relación las inversiones en maquinaria, sueldos, alquiler, etcétera, así como se ajustan las amortizaciones y demás valores para obtener una cuenta precisa.

En cuanto a indicadores económicos los datos son inmejorables, con un VAN de 12.451.738,81 € ajustado al igual que en el caso anterior a una tasa de descuento del 8%. En cuanto al TIR, el dato es de un 87%, recuperando la inversión inicial en el segundo año (pay-back time). Como se comentaba antes,

Soluciones Innovadoras para la Movilidad: Asiento de Copiloto Adaptado para Personas con Movilidad Reducida Alonso Parra Fernández



estos datos son ciertamente exagerados y en caso de ser reales se estaría hablando de una oportunidad financiera muy sólida.



## **ANEXOS**

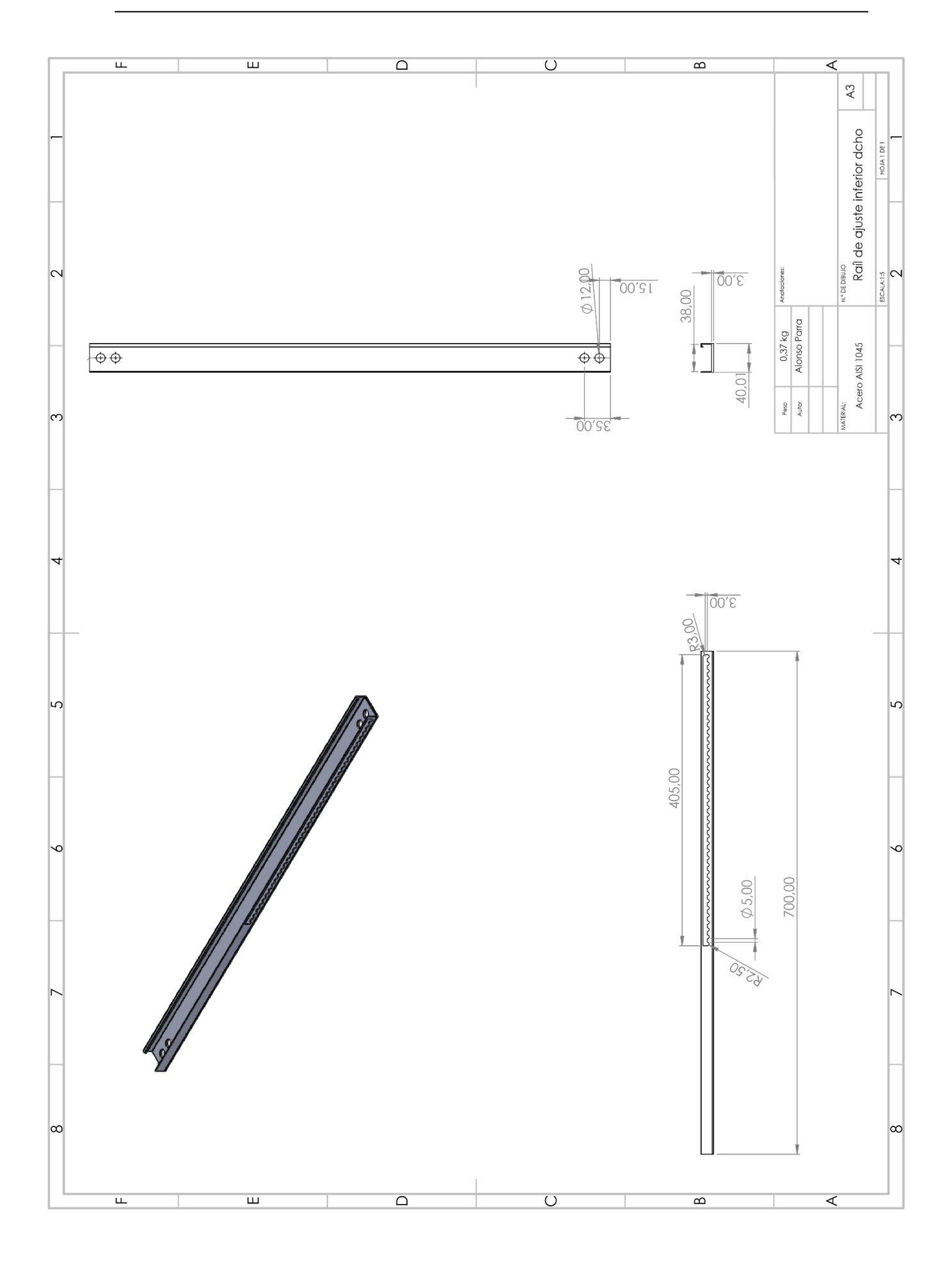
- ANEXO 1. Planos de piezas en SolidWorks
- ANEXO 2. Simulación ANSYS Impacto Frontal | Ensayo 4.9.1
- ANEXO 3. Simulación ANSYS Carga axial en asiento | Ensayo 4.9.2.3
- ANEXO 4. Simulación ANSYS Carga axial en asiento extendido | Ensayo 4.9.2
- ANEXO 5. Simulación ANSYS Carga axial en asiento girado | Ensayo 4.9.2.4
- ANEXO 6. Datasheet Jaula plana de rodillos FF2010-0-2

Soluciones Innovadoras para la Movilidad: Asiento de Copiloto Adaptado para Personas con Movilidad Reducida Alonso Parra Fernández

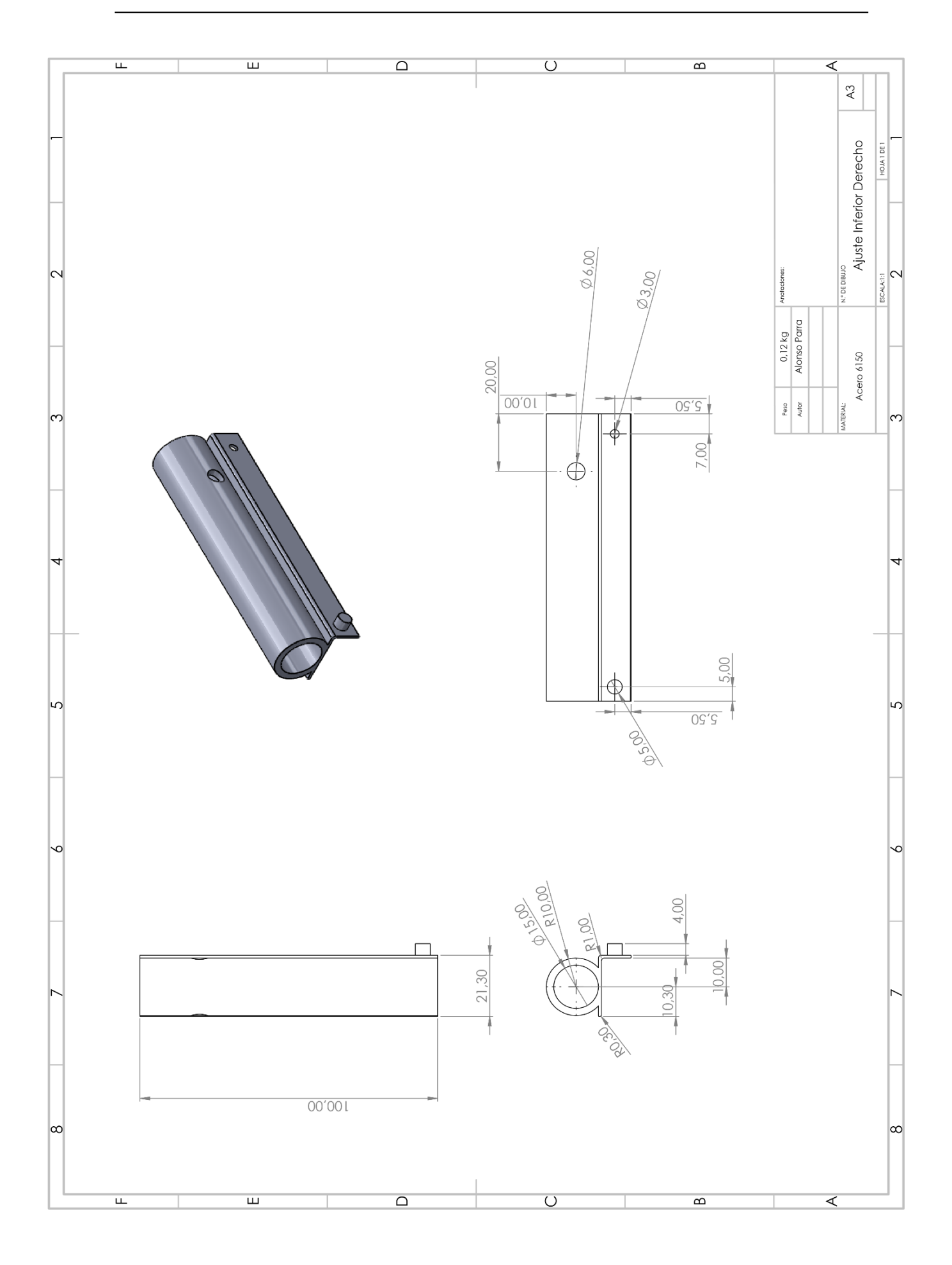


ANEXO 1. Planos de piezas en SolidWorks

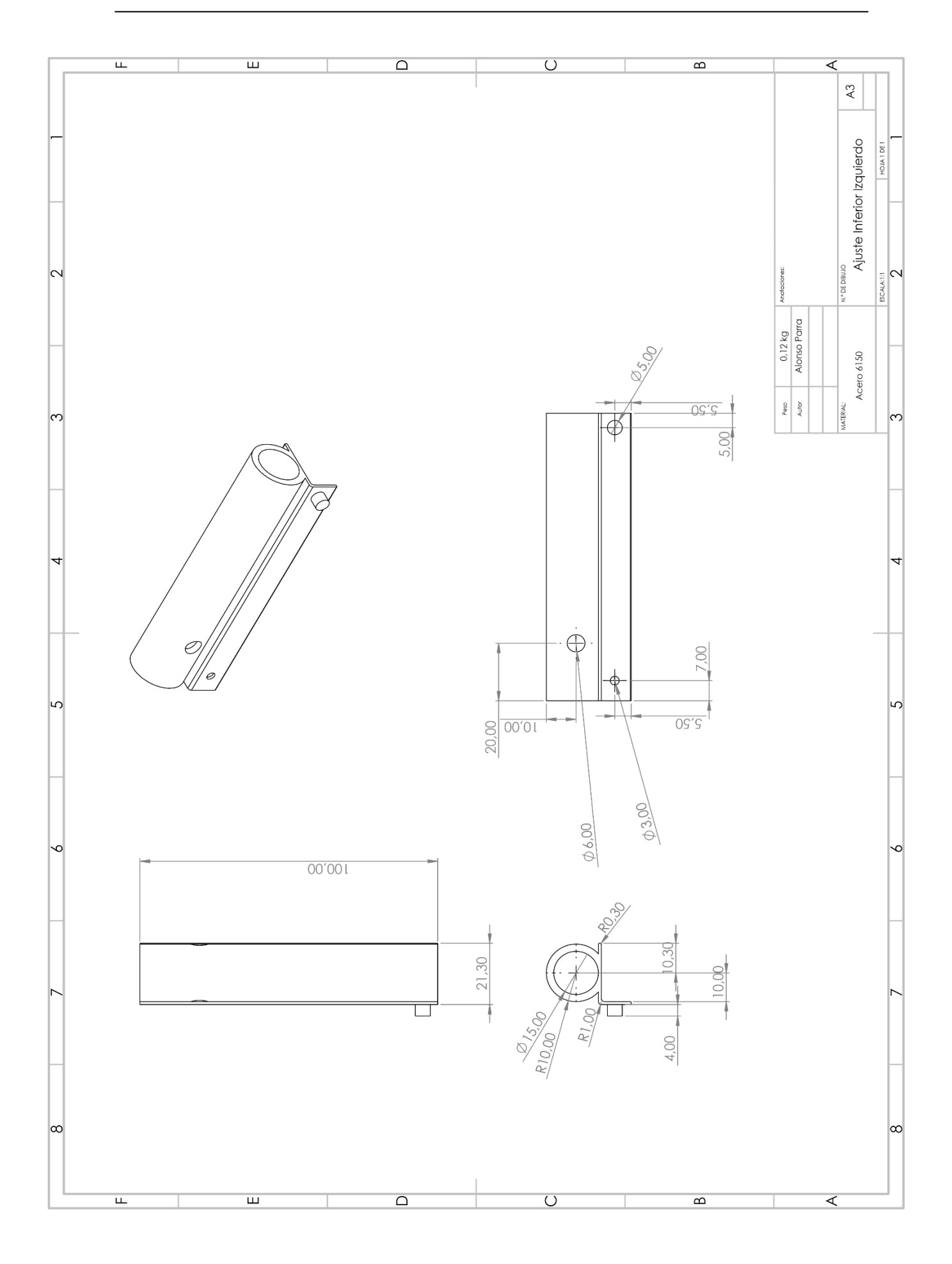




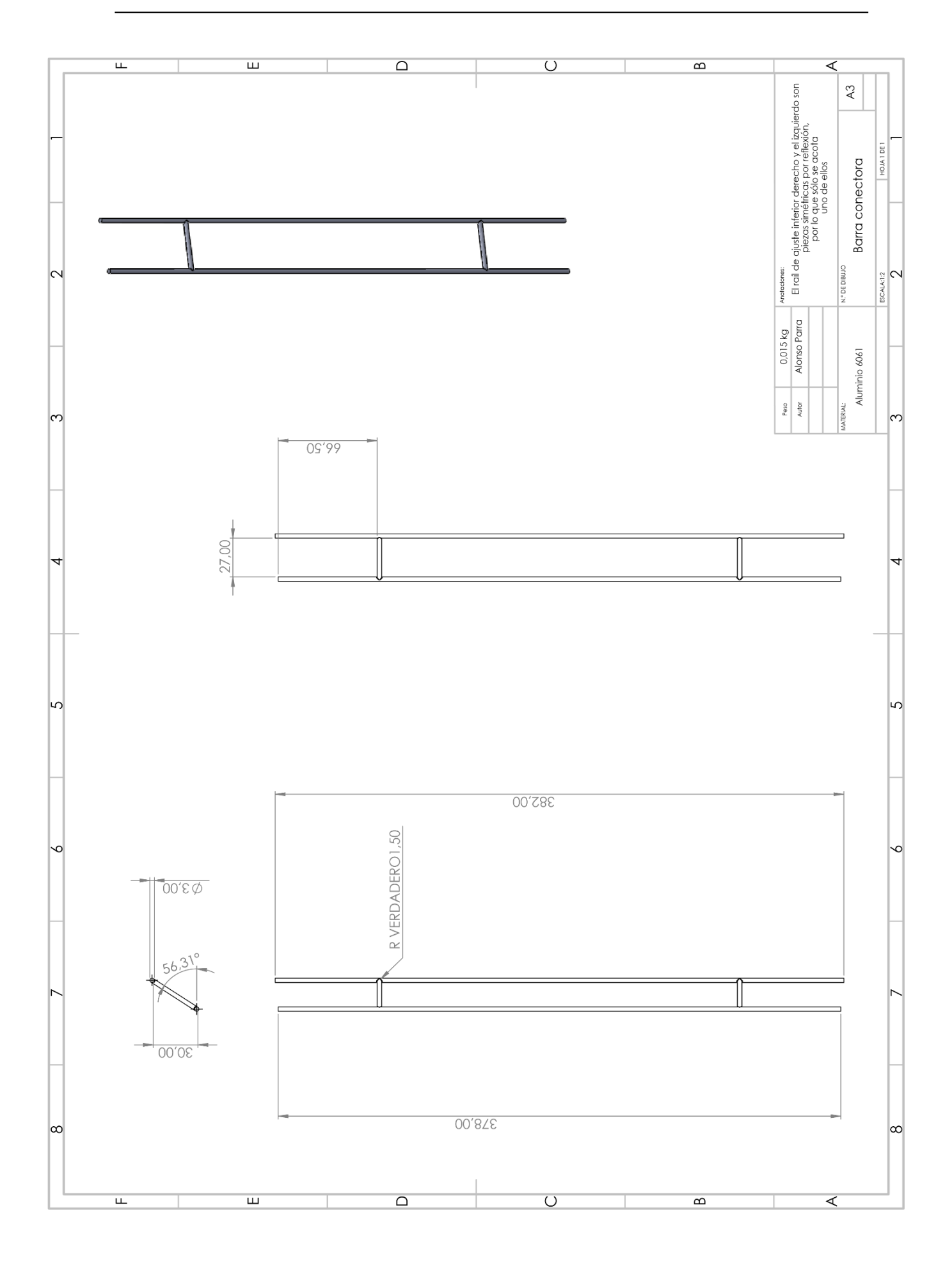




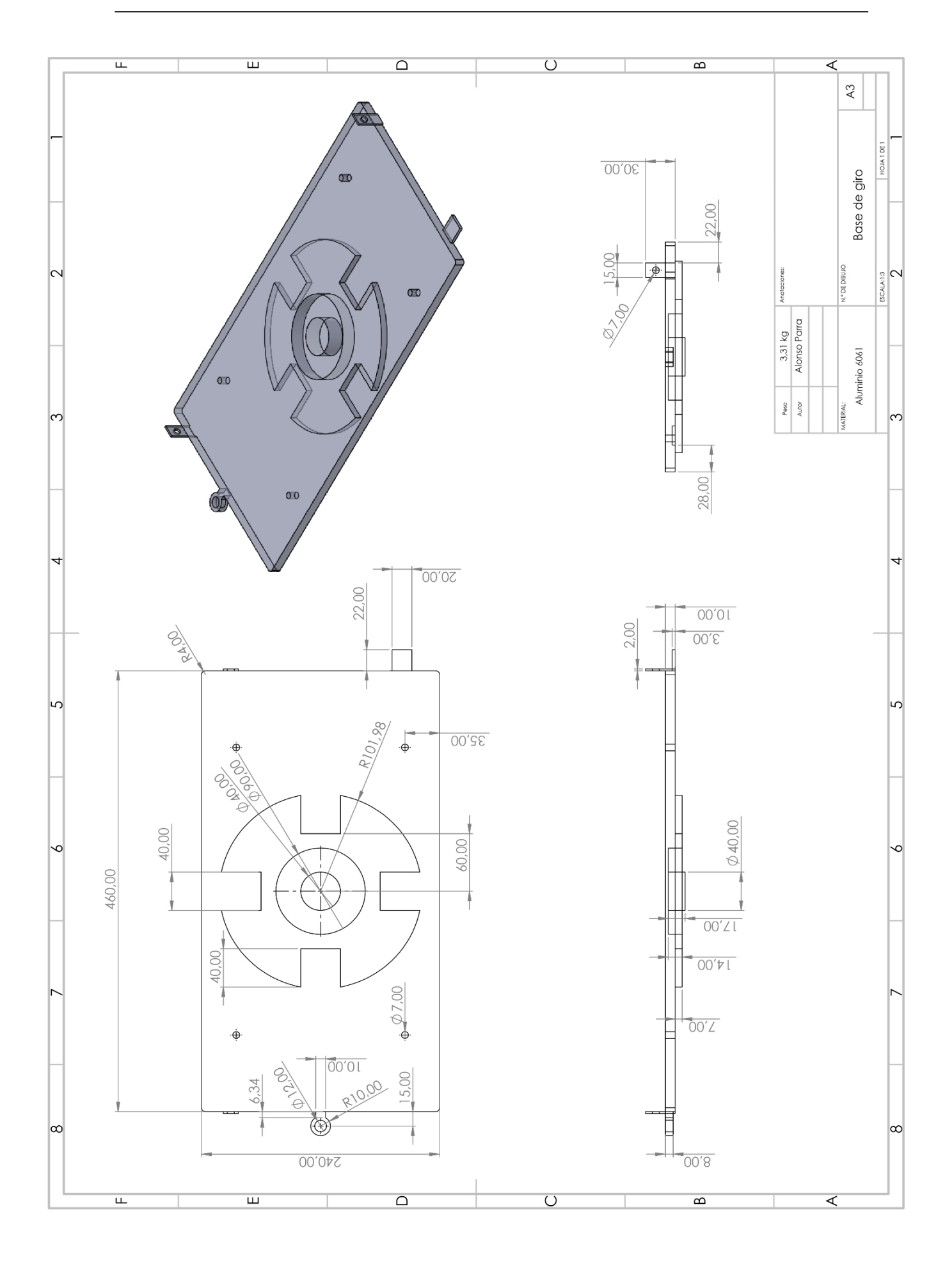




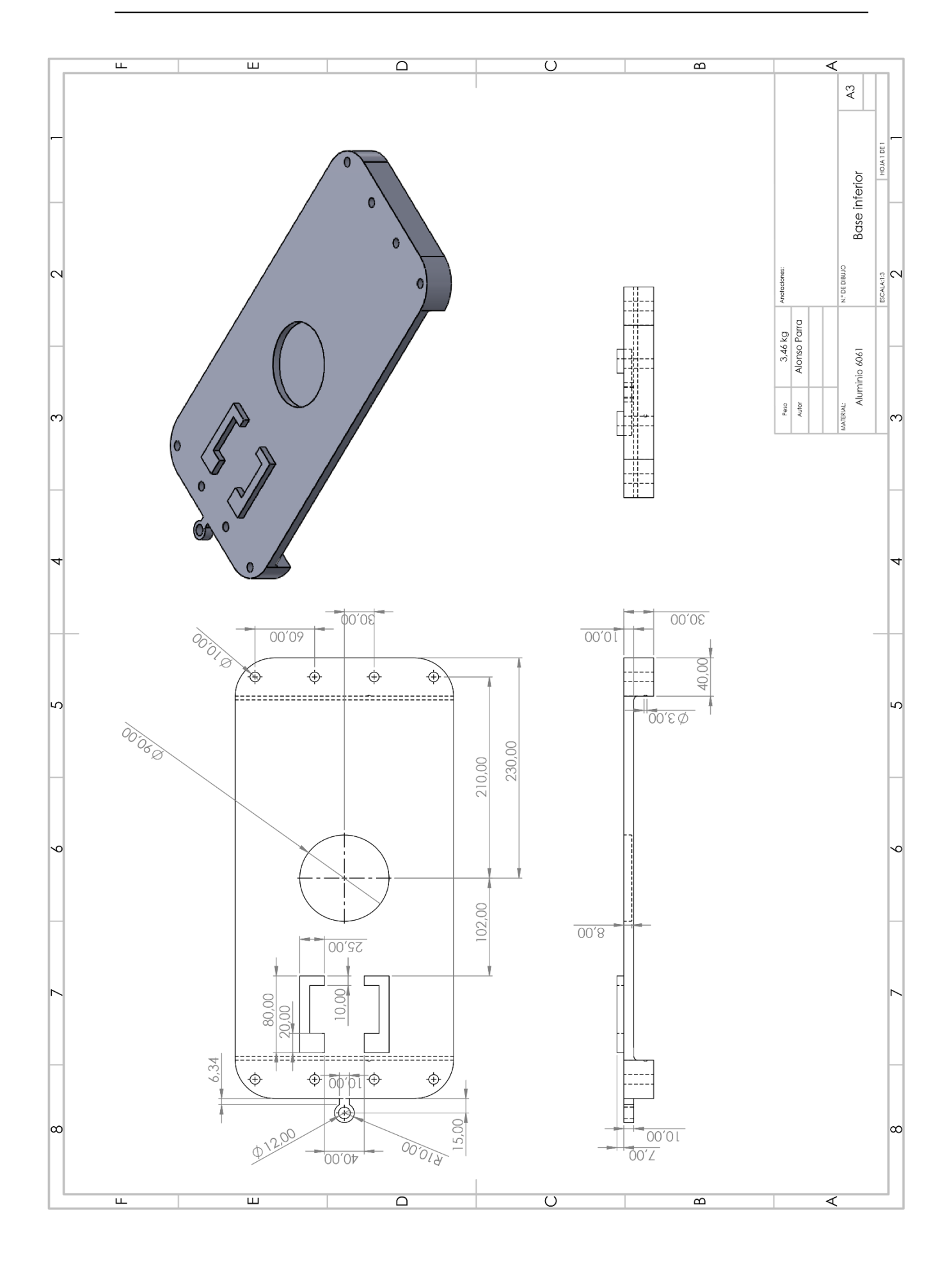




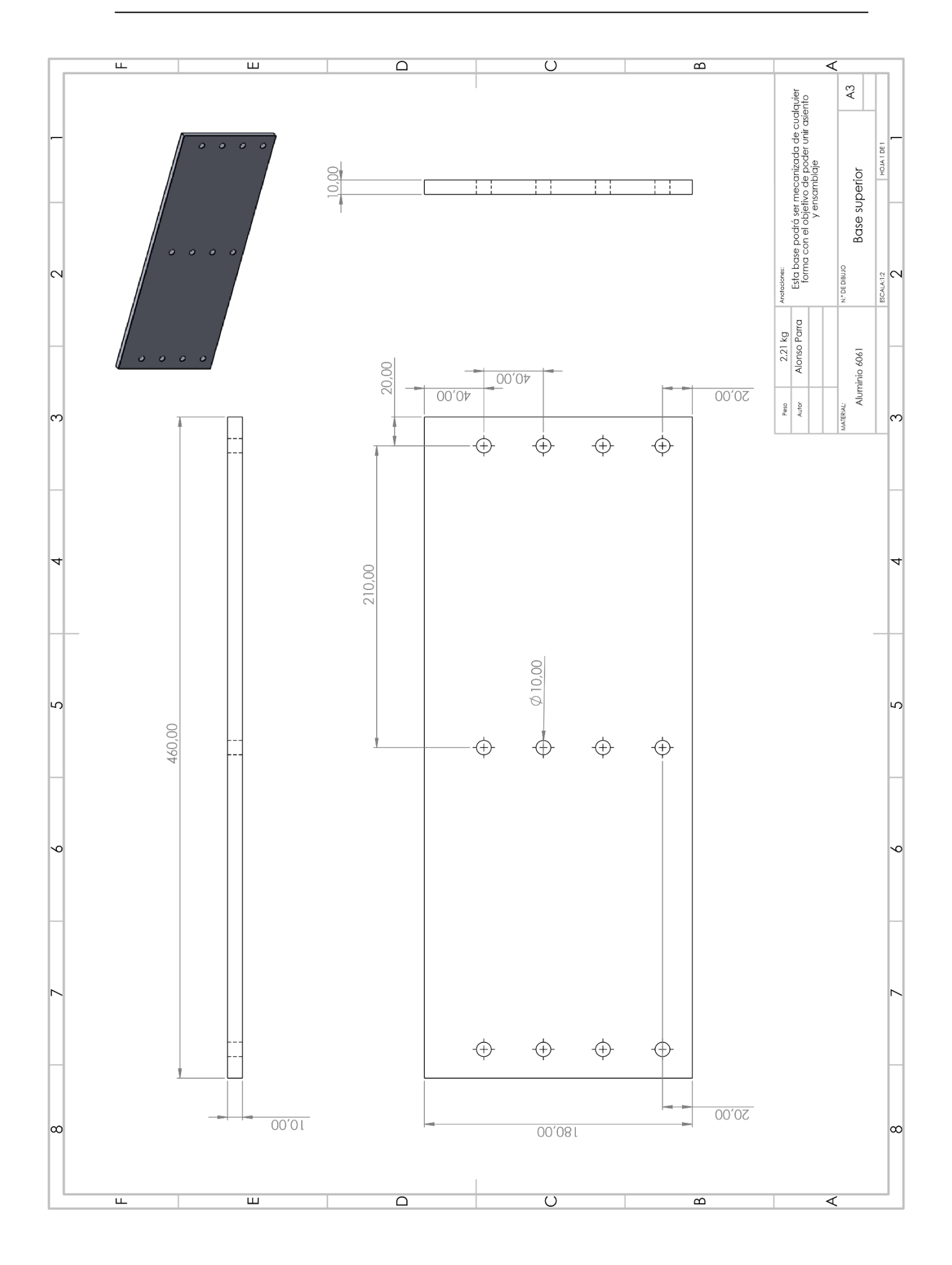




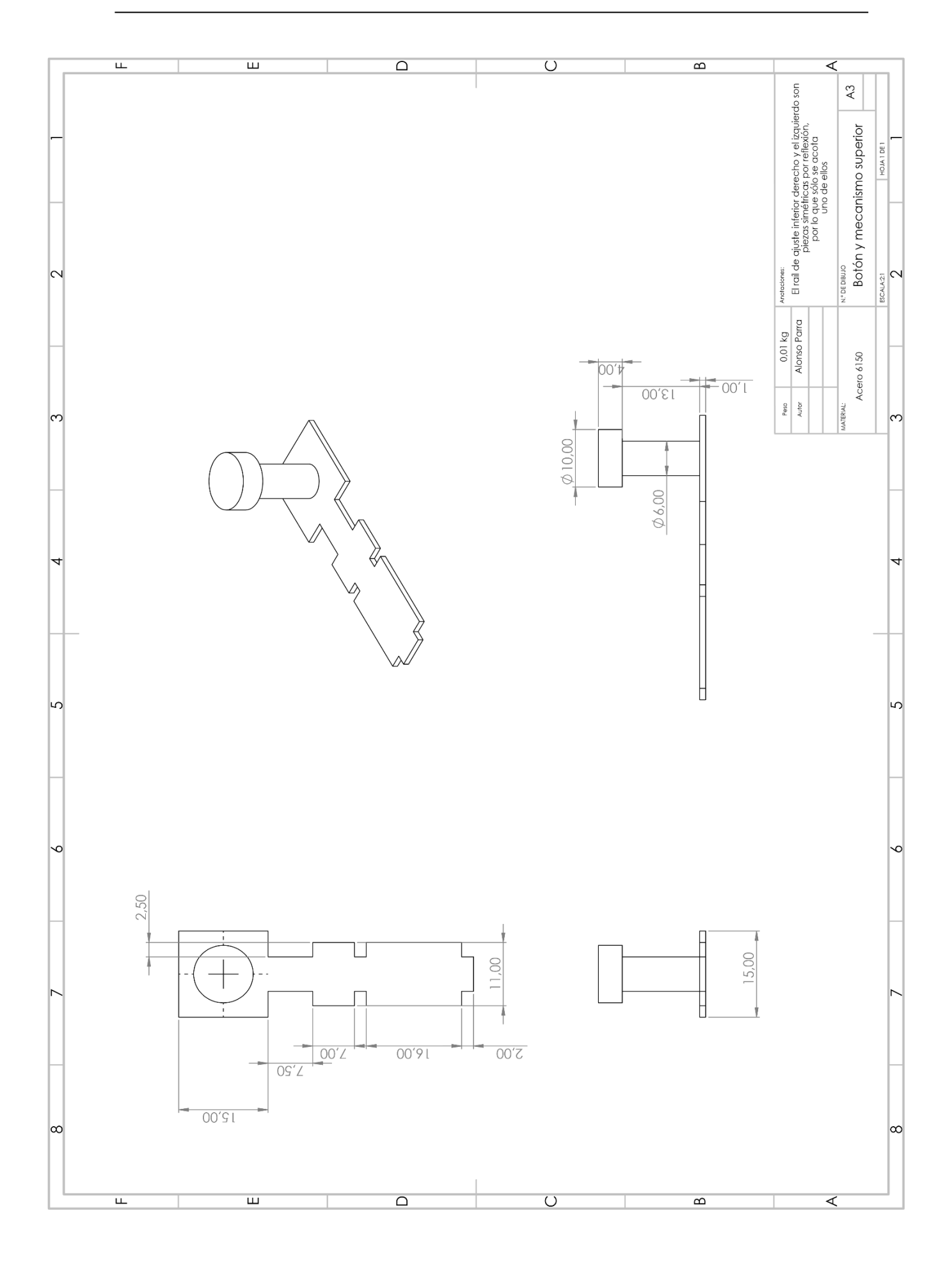




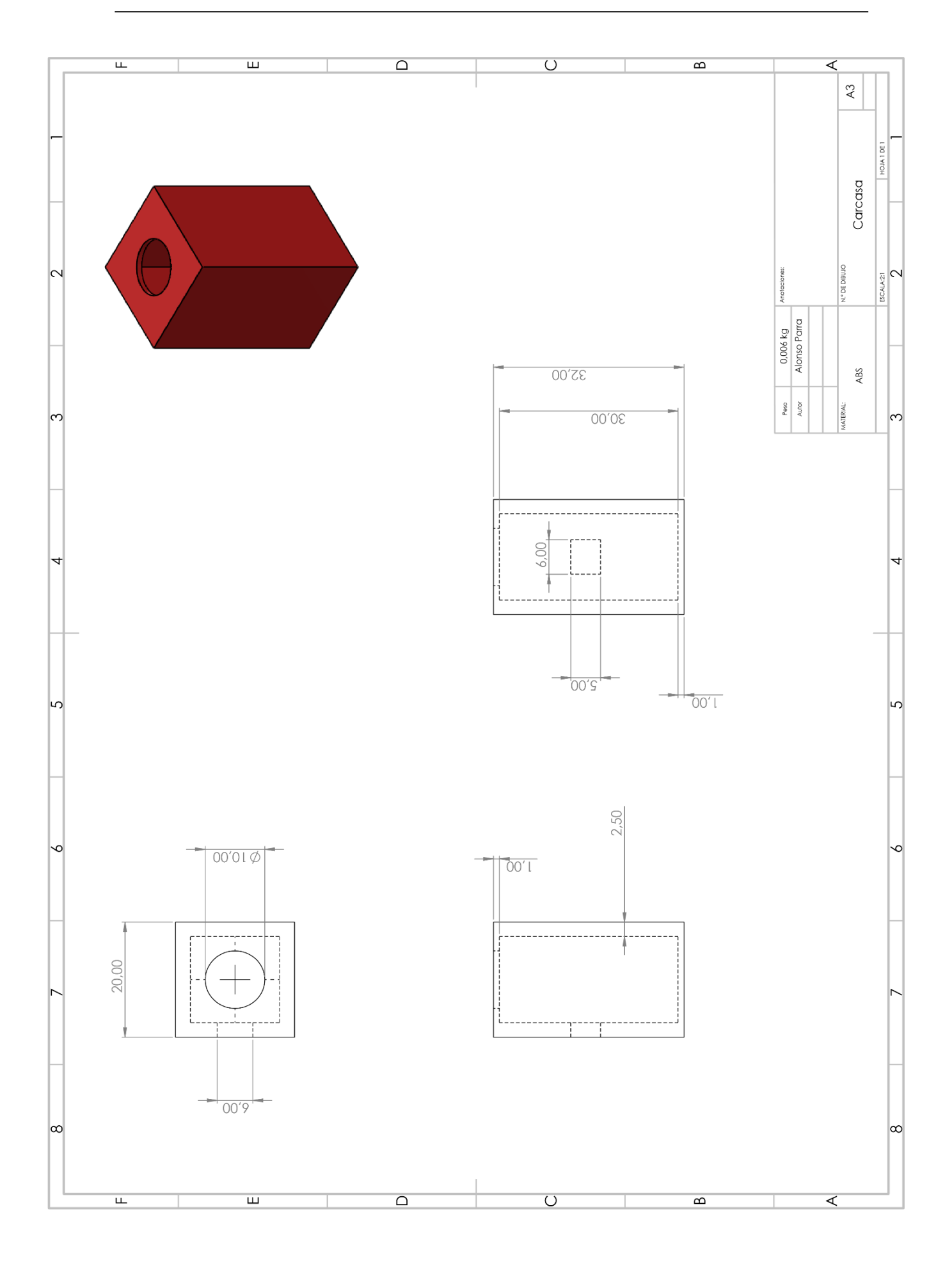




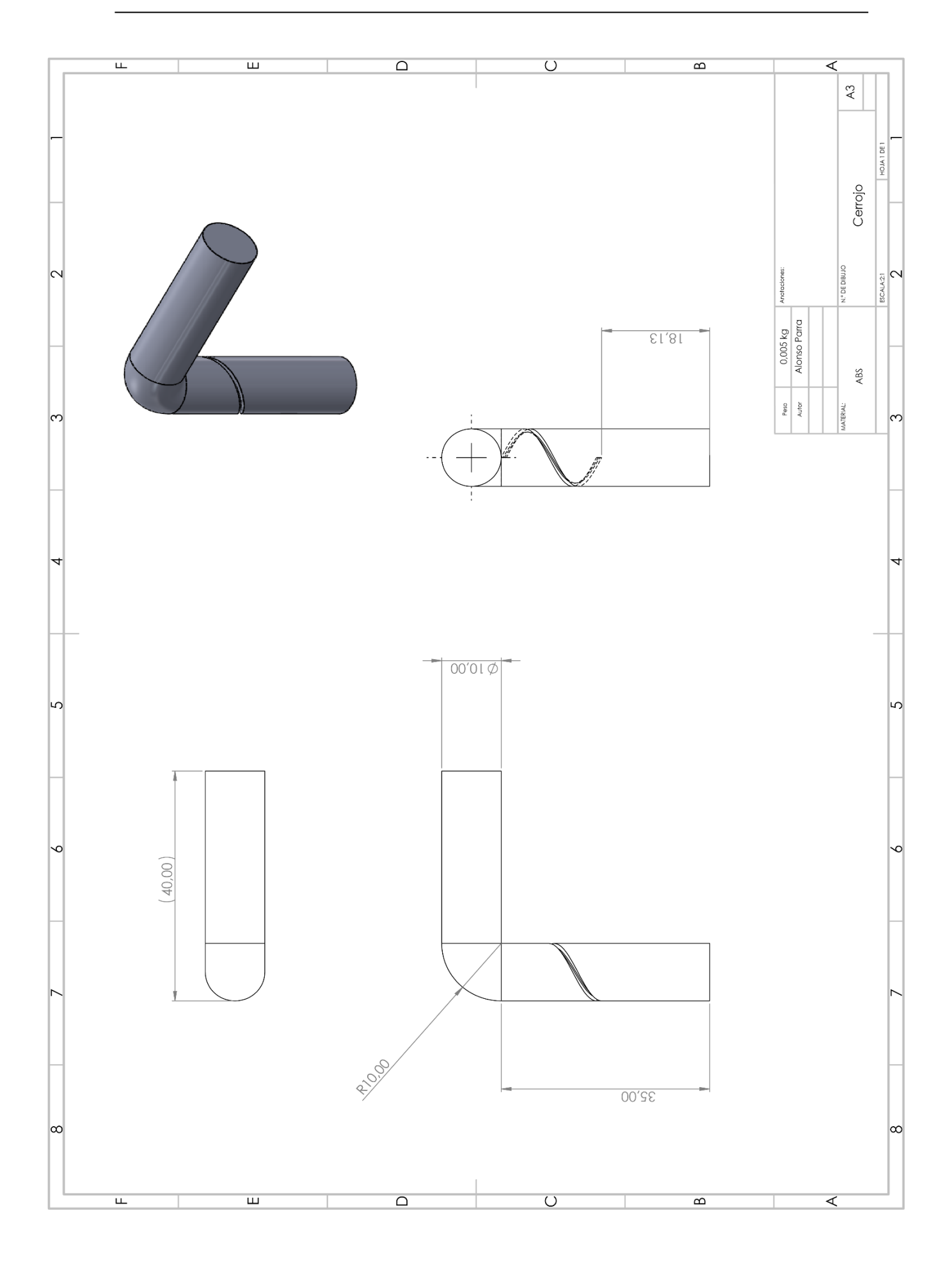




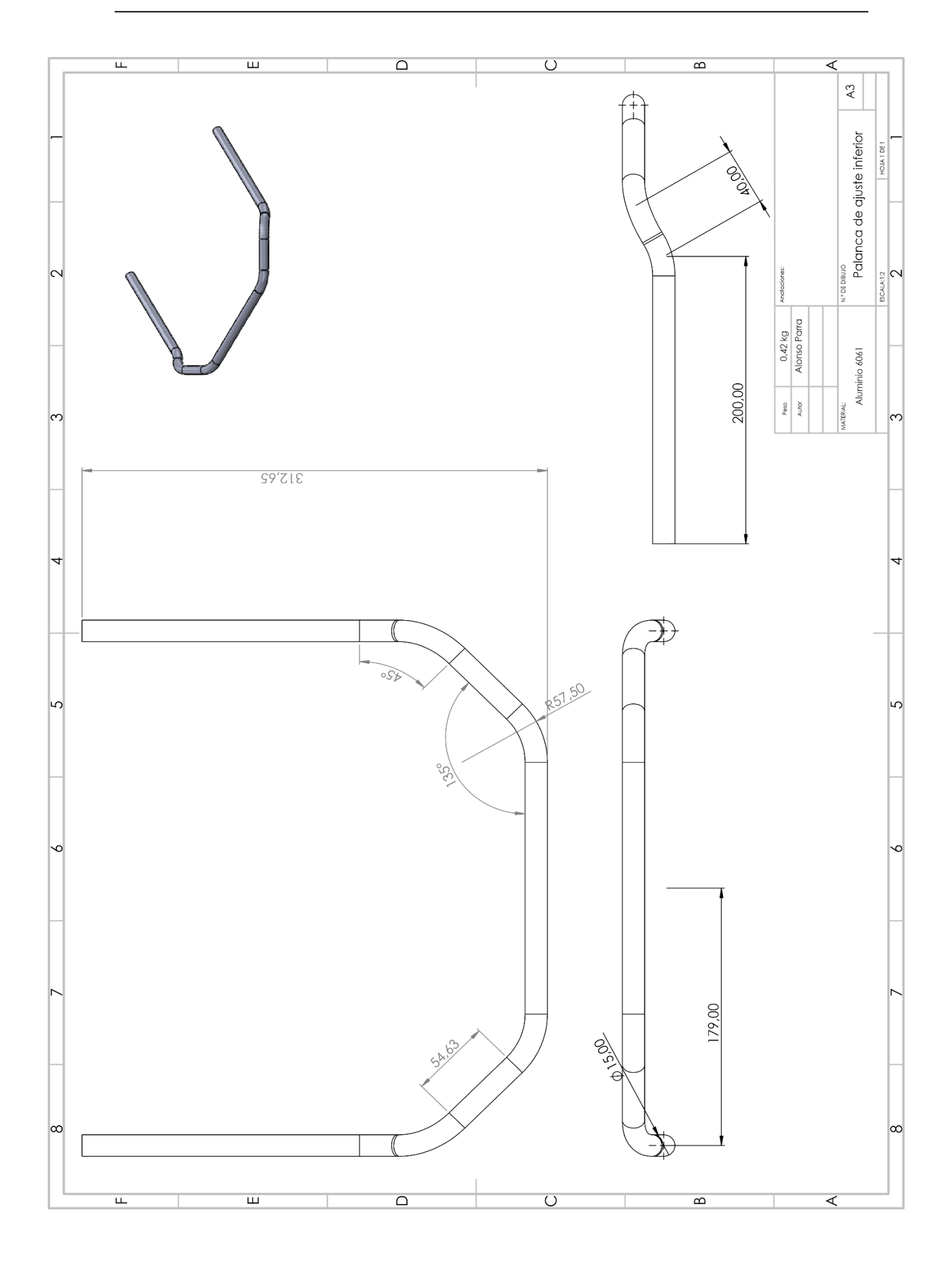




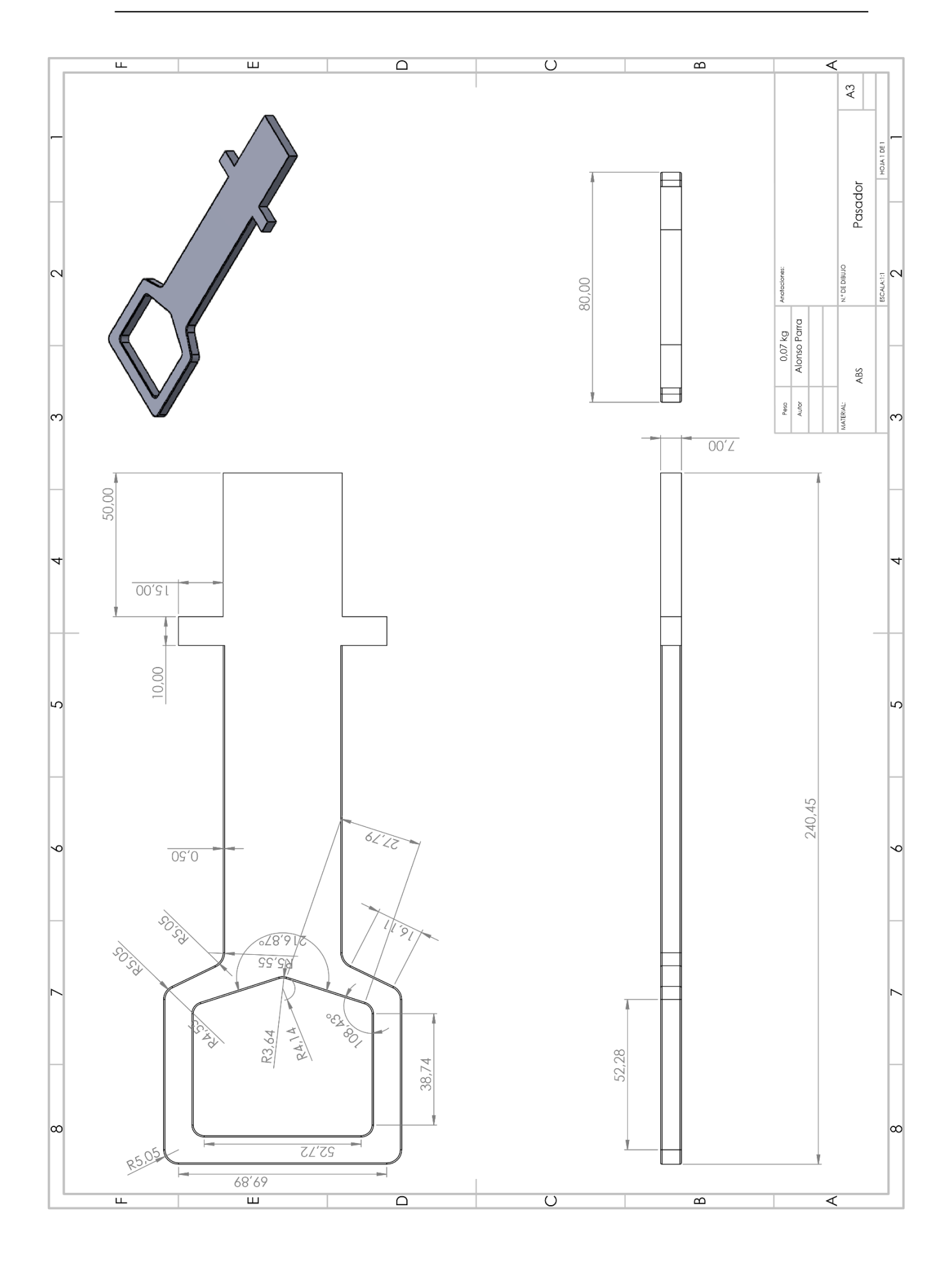




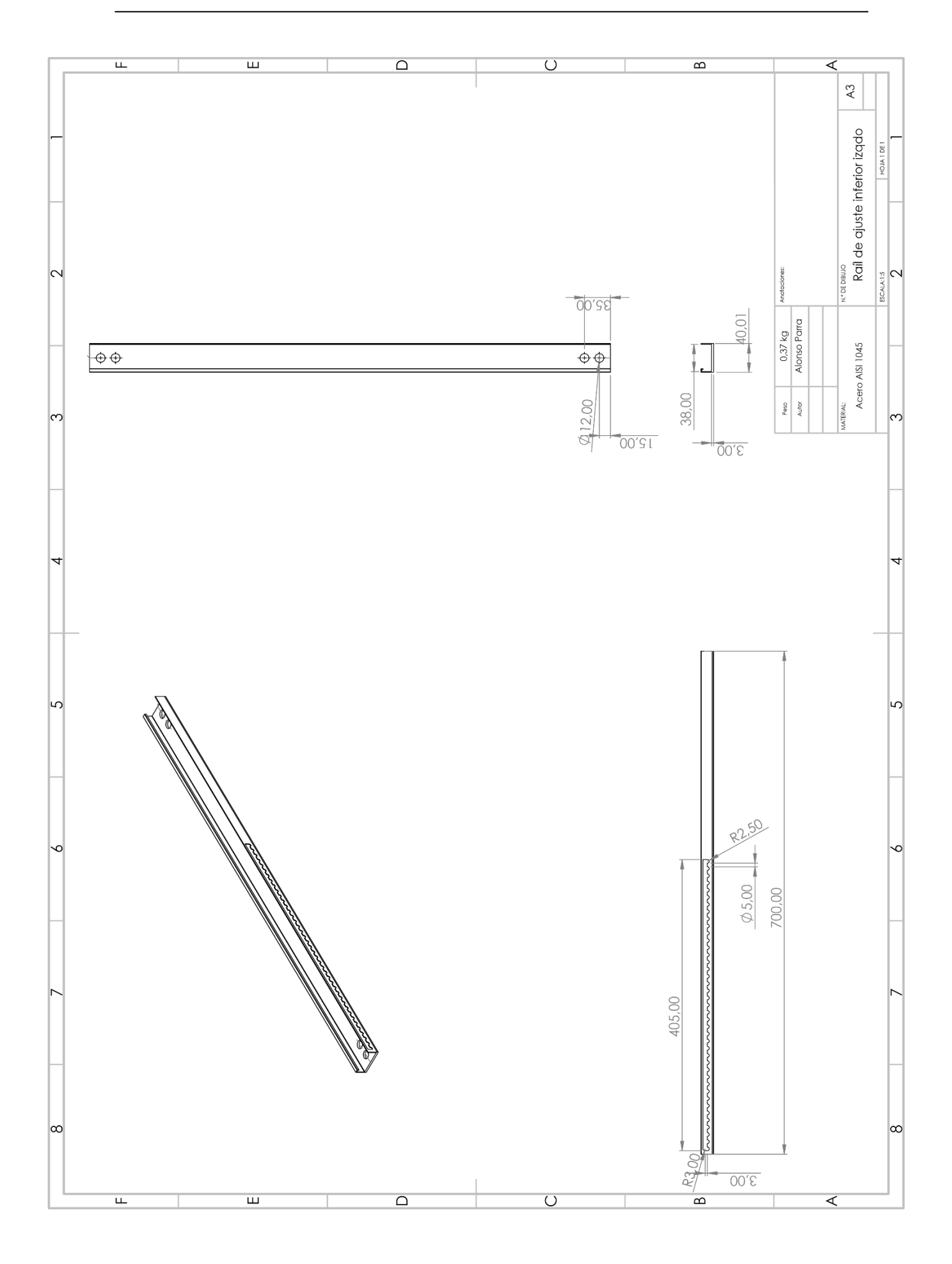




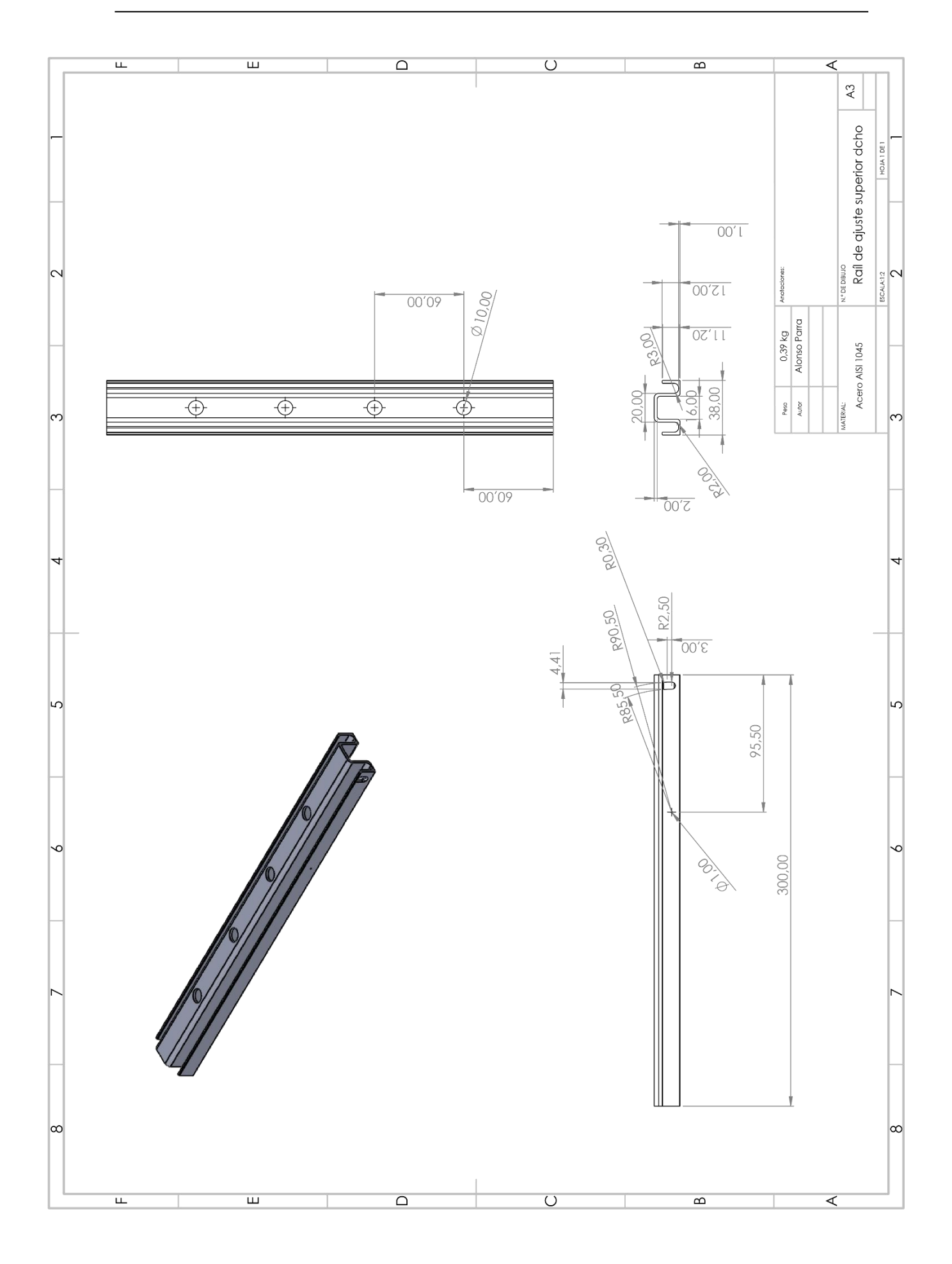




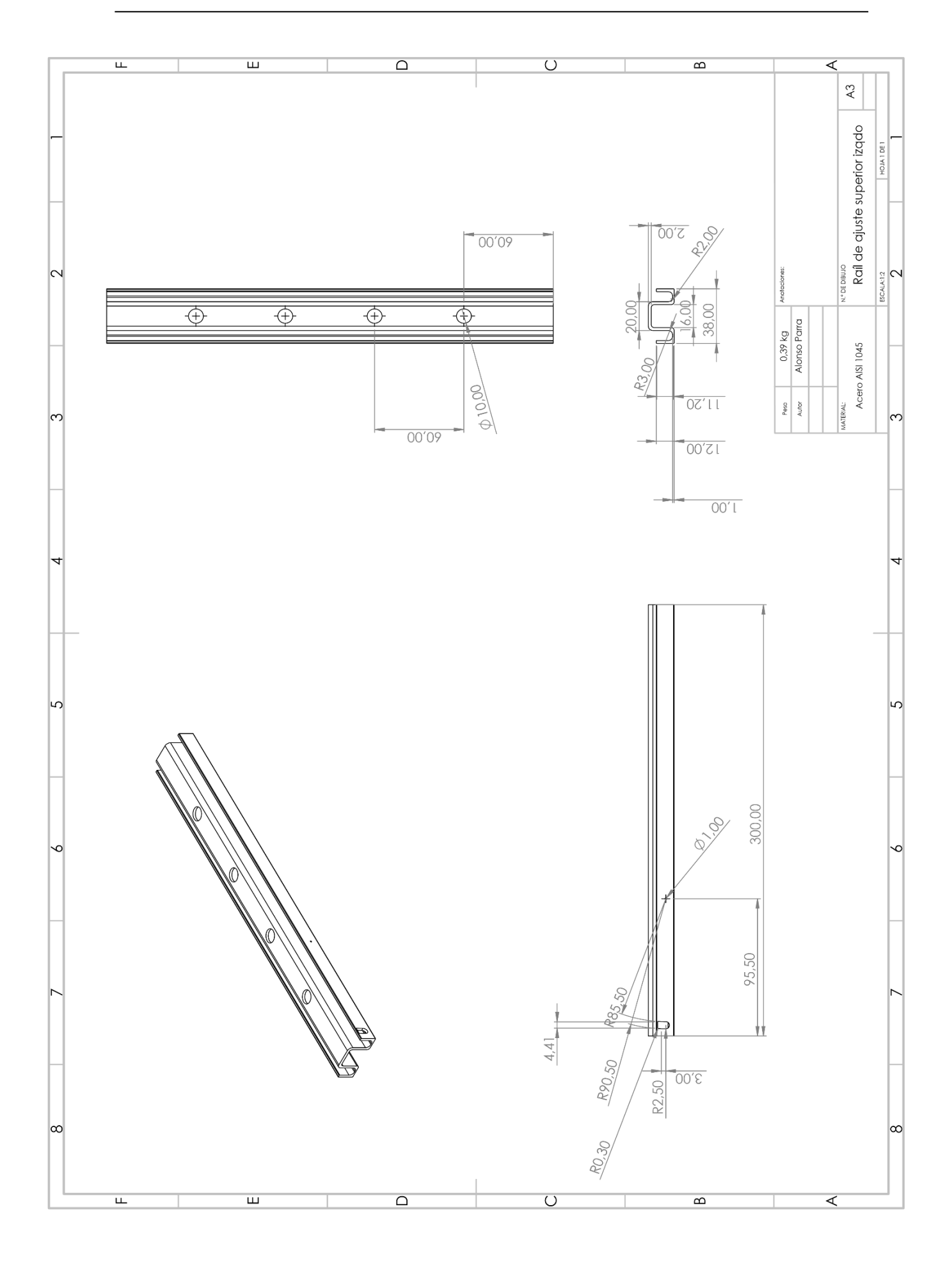




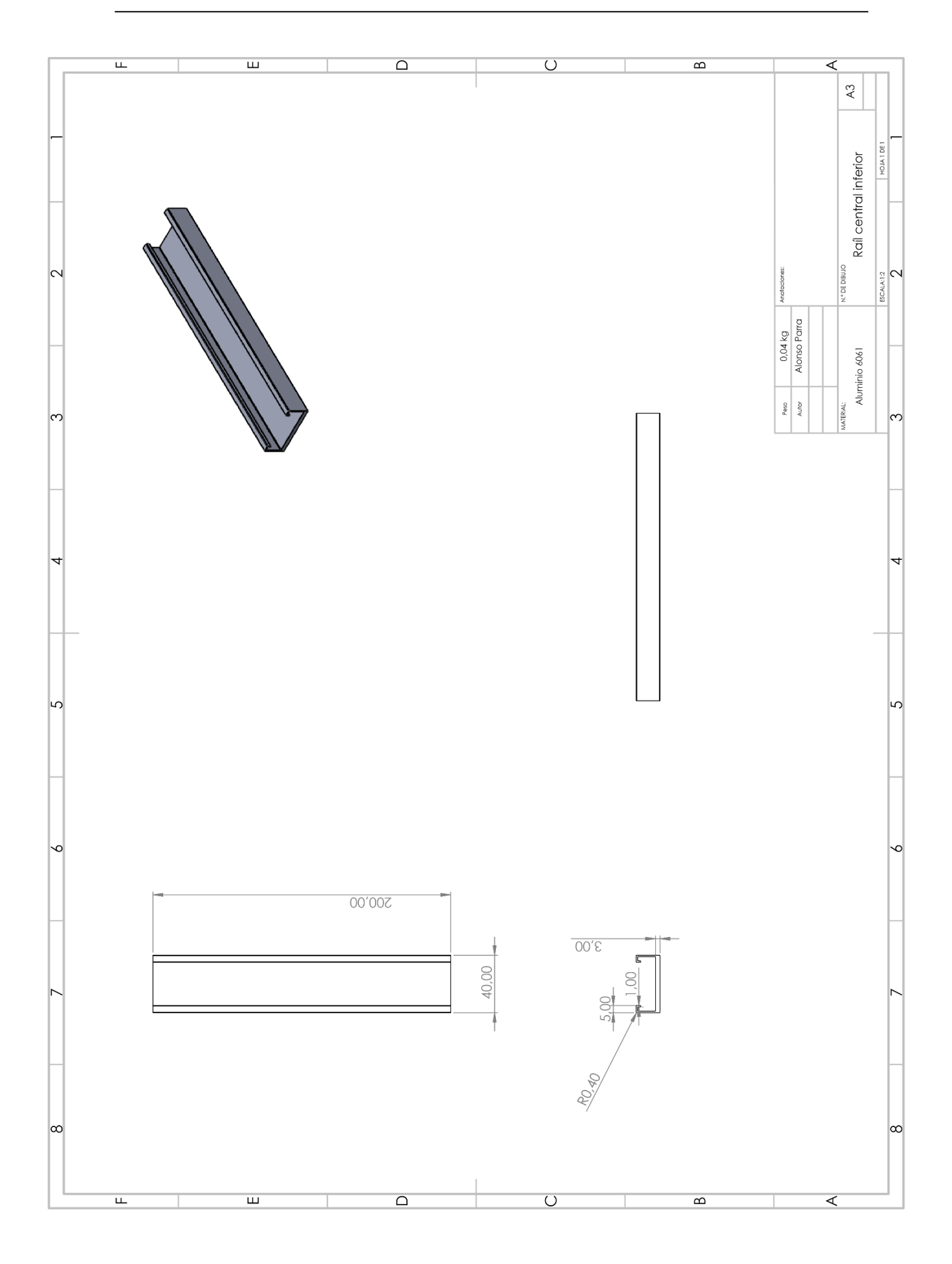




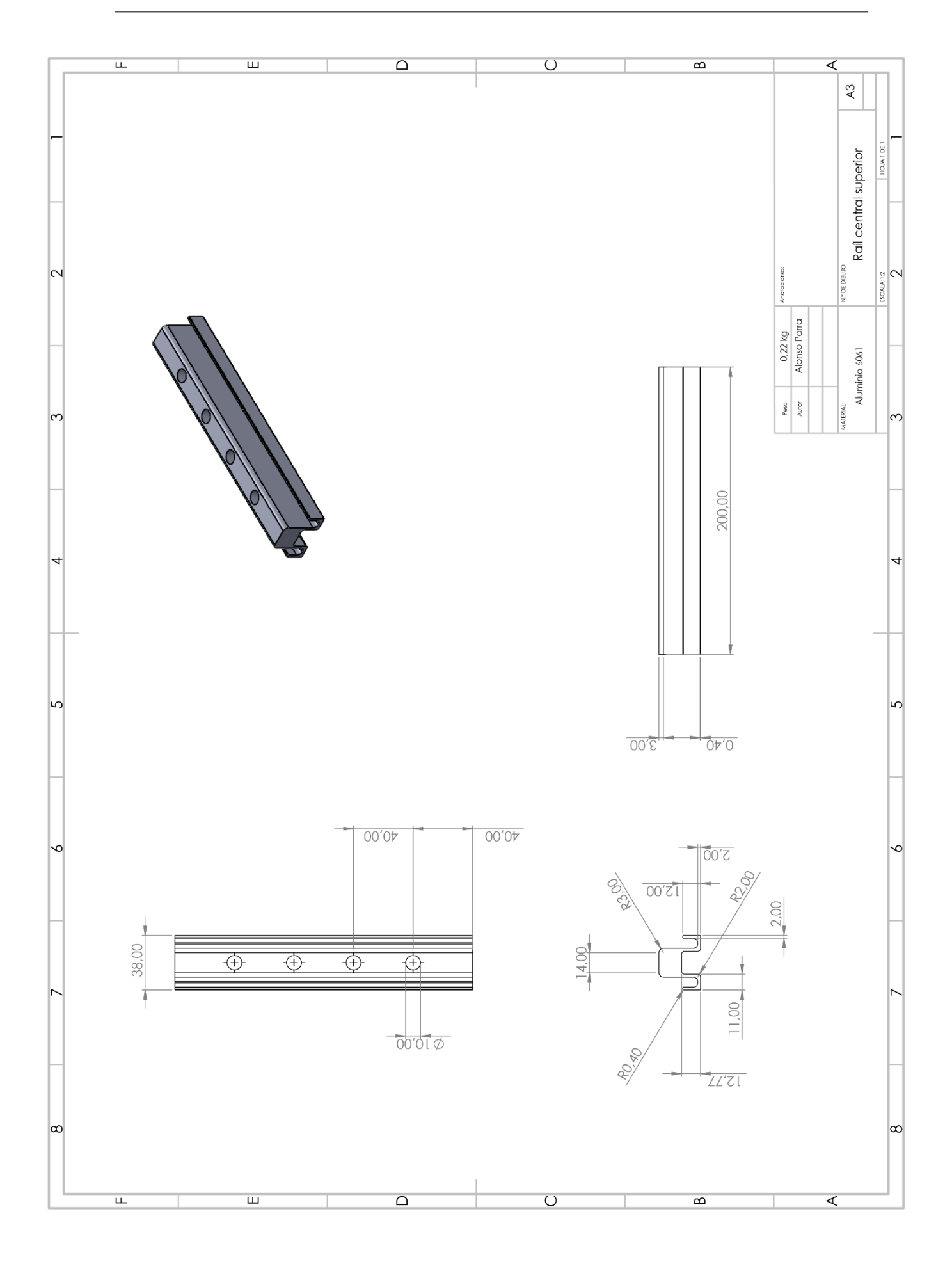




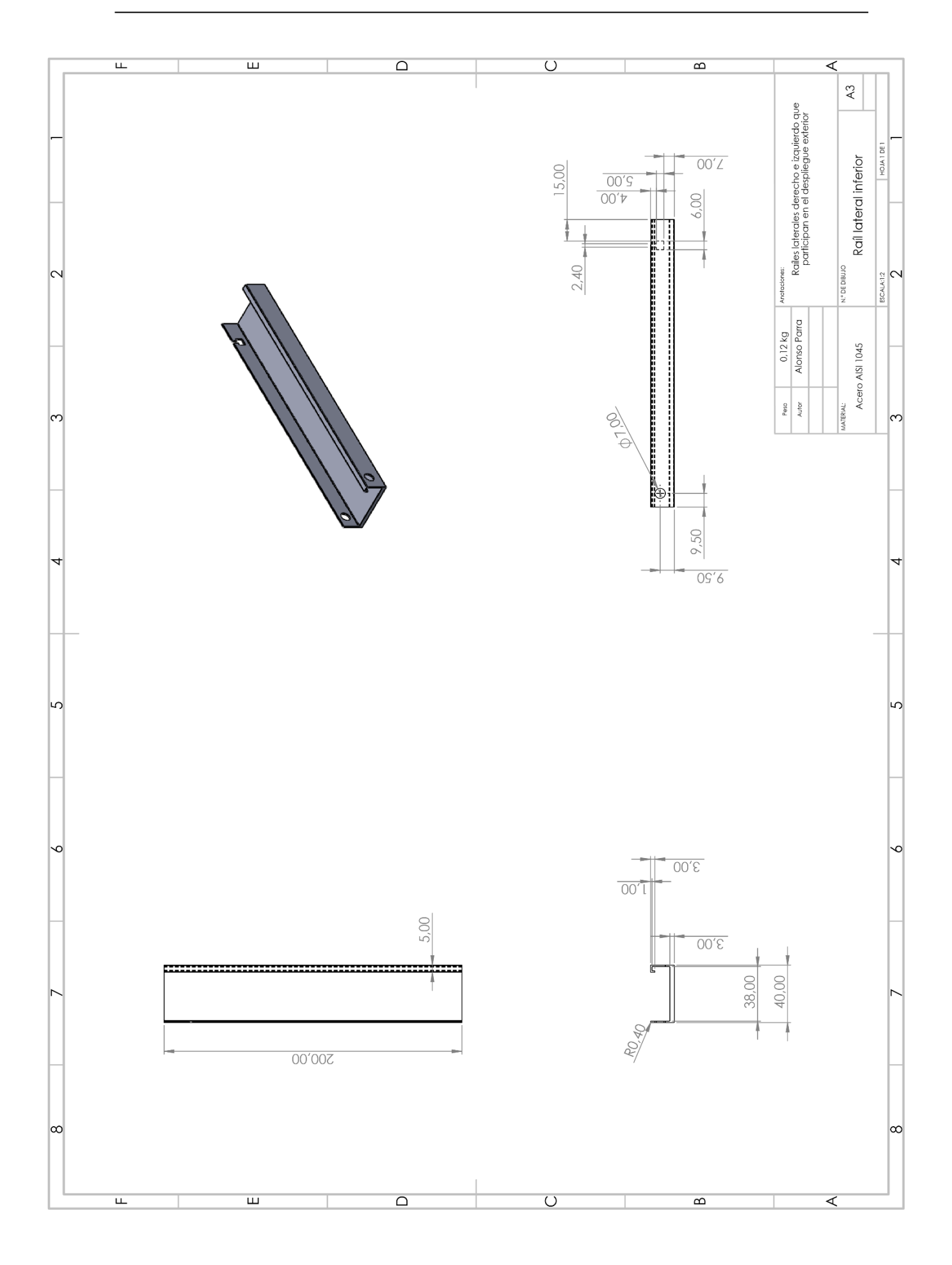




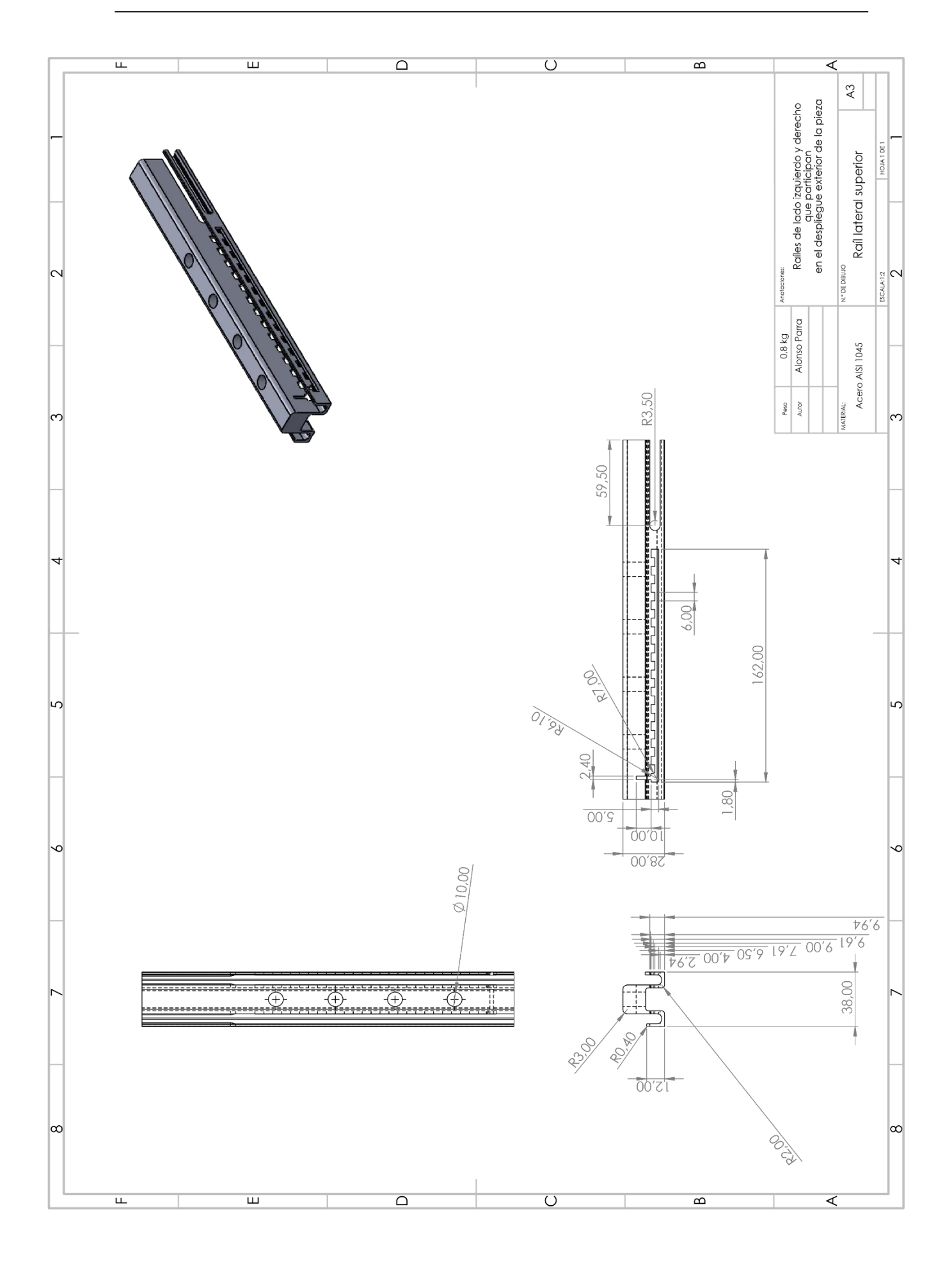




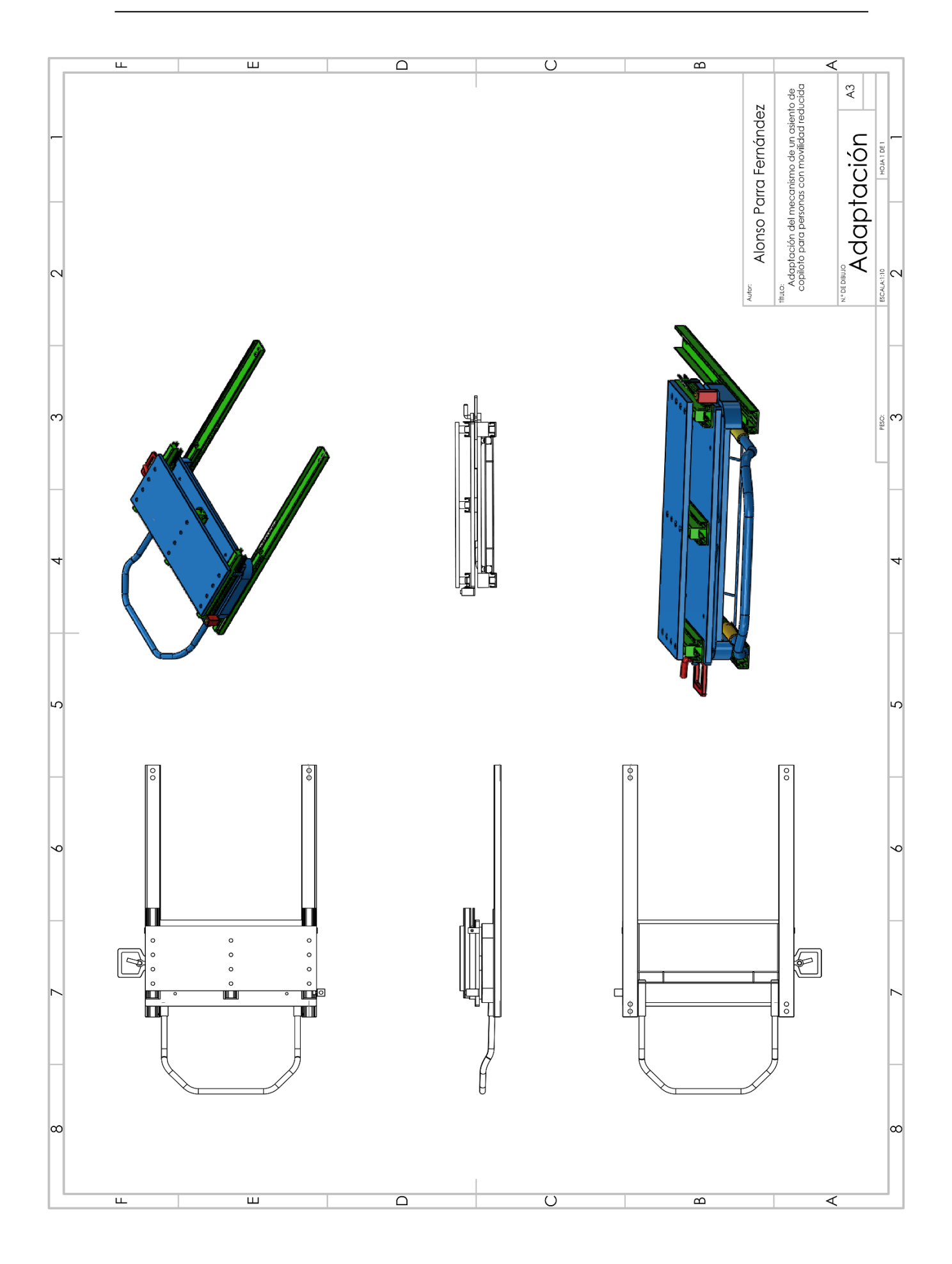












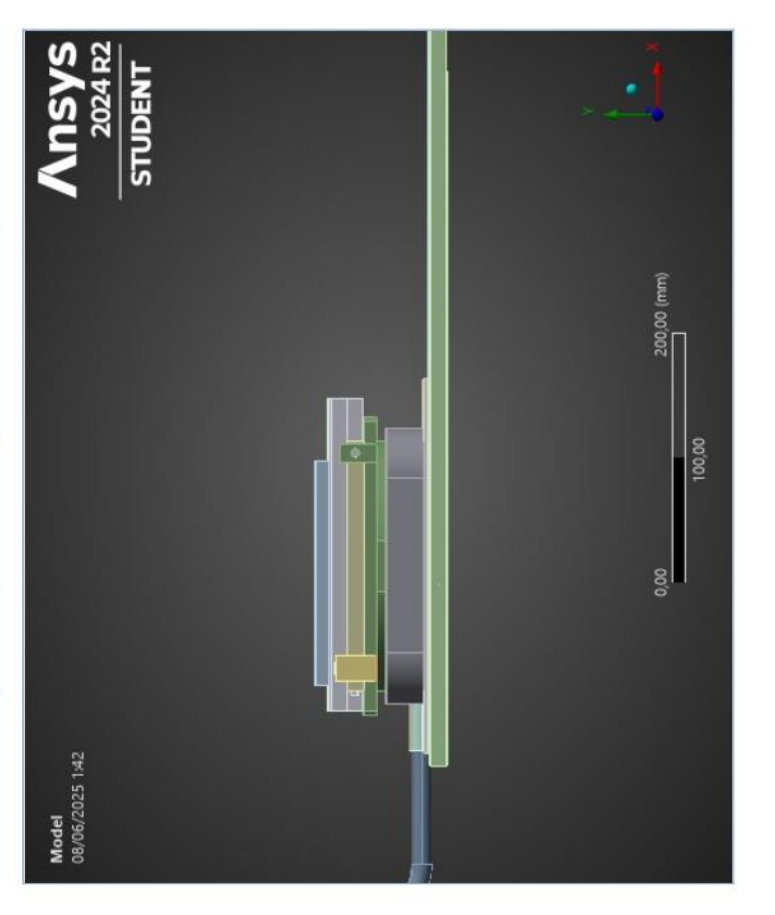


ANEXO 2. Simulación en ANSYS – Impacto Frontal | Ensayo 4.9.1



### Project

First Saved	First Saved Thursday, May 15, 2025
Last Saved	Monday, May 19, 2025
Product Version	2024 R2
Save Project Before Solution	No
Save Project After Solution	No



Project

### Contents

Project

• Units

Model (A4)

 Geometry Import (A3) Geometry Imports

o Geometry

Parts

o Materials

o Coordinate Systems

 Contacts o Connections

Contact Regions

o Mesh

 Analysis Settings o Static Structural (A5)

Loads

Solution (A6)

Solution Information
 Results

Stress Tool

Material Data

o Aluminio 6061

o Acero1045

o Acero 6150

o ABS o Structural Steel

Units

Unit System | Metric (mm, kg, N, s, mV, mA) Degrees rad/s Celsius Degrees Celsius rad/s Rotational Velocity Angle Temperature

TABLE 1

### Model (A4)

Model (A4) > Geometry Imports
Object Name Geometry Imports
State Solved

TABLE 2

Model (A4) > Geometry Imports > Geometry Import (A3)
Geometry Import (A3)
Solved

Object Name State

Definition	Source   C:\Users\alonp\OneDrive\ Escritorio\4º ing\TFG\ansys\ImpactoUnGradoMasRetrasadoPOSavnzd_files\dp\0\SYS\DM\SYS.agdb	DesignModeler	Basic Geometry Options	Independent		Advanced Geometry Options	No	3-D
	Source	Type		Parameters	Parameter Key	£ 33	Compare Parts On Update	Analysis Type

Geometry

/AppData/Roaming
rs/alonp/AppData/Roaming/Ansys/v242/Mechanica
rs/alonp/AppData/Roaming/Ansys/v242/Mechanica
rs/alonp/AppData/Roaming
rs/a
rs/a

Yes	No	3-D	Source	No	None	Yes	Yes
Smart CAD Update	Compare Parts On Update	Analysis Type	Import Facet Quality	Clean Bodies On Import	Stitch Surfaces On Import	Decompose Disjoint Geometry	Enclosure and Symmetry Processing

TABLE 5 Model (A4) > Geometry > Parts

Ohiact Nama	I InionMecanismos	Dieza1/Ainstel ONG	Object Name   I high Mecanismos   Dieza1^Ainstel ONG   Simetreda 32Bail Arrihalzg	Simetre da 33 Pail Abaiolzo	hoton	Carraca	33RailArrihalzo	133PailAhainIza	Cllindro	Dalanca	BaseSuperior
State		Company of the compan	1	handhar man composition			han an an an an an	_			
Oldino				Grachact	monortion						
				Graphics Properties	calliador						
Visible					Yes						
Transparency					-						
				Definition	tion						
Suppressed					No						
Stiffness Behavior					Flexible						
Coordinate System				Defa	Default Coordinate System	System					
Reference Temperature					By Environment	int					
Treatment					None						
				Materia	rial						
Assignment	Alumi	Aluminio 6061	Acero1(	51045	Acero 6150	ABS	Acero	Acero1045	ABS	Alumin	Aluminio 6061
Nonlinear Effects					Yes	300					
Thermal Strain Effects					Yes						
				Bounding Box	ng Box						
Length X	32,997 mm	180, mm	250, mm	200, mm	15, mm	20,005 mm	250, mm	200, mm	19,068 mm	312,65 mm	240, mm
Length Y	24,066 mm	11,311 mm	28,107 mm	14,138 mm	18,036 mm	32,059 mm	28,107 mm	14,138 mm	45,109 mm	36,294 mm	40,718 mm
Length Z	382,01 mm	460,03 mm	38,031 mm	40,037 mm	49,503 mm	20,089 mm	38,034 mm	40,037 mm	40,063 mm	373,02 mm	487,08 mm
				Properties	rties						
Volume	5846,8 mm³	8,2172e+005 mm³	1,0974e+005 mm³	14266 mm³	1228,7 mm³	5896,5 mm³	1,0974e+005 mm³	14266 mm³	5712,9 mm³	1,5621e+005 mm³	1,2207e+006 mm³
Mass	1,5786e-002 kg	2,2186 kg	0,86147 kg	0,11198 kg	9,5841e-003 kg	9,5841e-003 6,1913e-003 kg kg	0,86147 kg	0,11198 kg	5,9985e-003 kg	0,42177 kg	3,296 kg
Centroid X	-278,5 mm	-244,84 mm	-219,3 mm	-239,39 mm	-321,(	-321,08 mm	-219,3 mm	-239,39 mm	-236,87 mm	-488,48 mm	-238,95 mm
Centroid Y	-17,553 mm	66,152 mm	48,667 mm	36,763 mm	43,718 mm	38,253 mm	47,494 mm	35,597 mm	36,588 mm	-4,448 mm	26,153 mm
Centroid Z	294,74 mm	294,97 mm	85,045 mm	86,323 mm	530,11 mm	537,01 mm	504,8 mm	503,46 mm	41,823 mm	294,73 mm	294,46 mm
Moment of Inertia	192,26 kg·mm²	38695 kg·mm²	126,42 kg·mm²	28,442 kg·mm²	1,9291 kg·mm²	0,90359 kg·mm²	126,42 kg·mm²	28,442 kg·mm²	1,8285 kg·mm²	9541,5 kg·mm²	54118 kg·mm²
Moment of Inertia	197,07 kg·mm²	44677 kg·mm²	5013, kg·mm²	395,49 kg·mm²	1,7116 kg·mm²	0,62282 kg·mm²	5013, kg·mm²	395,49 kg·mm²	0,38801 kg·mm²	13709 kg·mm²	69429 kg·mm²
Moment of Inertia	4,8238 kg·mm²	6019, kg·mm²	5004, kg·mm²	372,05 kg·mm²	0,36937 kg·mm²	0,9095 kg·mm²	5004,1 kg·mm²	372,05 kg·mm²	1,5146 kg·mm²	4194,2 kg·mm²	15419 kg·mm²
				Statistics	tics						
Nodes	4436	1576	16442	6330	1072	891	16273	6396	2040	2674	5541
Elements	2150	196	8410	3286	442	414	8339	3345	1194	1315	2659
Mesh Metric					None						

TABLE 6 Model (A4) > Geometry > Parts

thrust ball

Report.htm	
rt/Mechanical	
nanical Repo	
3/v242/Mech	
aming/Ansys	
AppData/Ro	
Users/alonp/	
file:///C:/1	

Suppressed   Particular	Object Name	Object Name BaseSuperior	Pasador	Pasador 744090 - B,14, SI, NC, 14_68	BaseGiro	RailArribalzquierda	RailArribalzquierda RailArribaDerecha RailAbajolzquierda RailAbajoDerecha Mecanismolzquierda MecanismoDerecha	RailAbajolzquierda	RailAbajoDerecha	Mecanismolzquierda	MecanismoDerecha	BASE
	State	g)		X	i d		Meshed	î î			20	Suppressed
The state of the		5. 9				Grap	nics Properties					
Partial Continue   Partial Coordinate   Partial C	Visible	g <sub>2</sub>					Yes					Se.
Particle   Particle	Transparency	٨										
Pleatide System   Paramino 6001   A85   Alumino 6							Definition					
Pointaito 6061	Suppressec	-					9					Yes
Auminio 606  ABS	Stiffnes	S					Flexible					
Payentino 6061   ABS   Abumino 6061   ABS   Abumino 6061   Acaro 1045   Acaro 104	Coordinate	d) C					Default Coordinate S	ystem				
Aliminio 6061   ABS	Reference	do r					By Environmer	1				
Autrinio 6061         ABS         Autumino 6061         Acero 1045         Acero 1	Treatmen	D +					None					
Auminio 606 I         AES         Auminio 606 I         Acero 1045         Acero 1045         Acero 6150           Aluminio 606 I         AER All Maninio 606 I         Acero 1045         Acero 1045         Acero 6150           Aluminio 606 II         AER All Maninio 606 III         Acero 1045         Acero 1045         Acero 6150           Aluminio 607 III         AER All Maninio 606 III         AER All Maninio 606 III         ACE All Maninio GO												
The time	Assignmen	t Aluminio 6061	ABS	Aluminio 6061			Acerd	1045		Acerc	6150	Structural
Founding Box         Founding Box         Tool, mm         100, mm         1	Nonlinea Effects	<u> </u>					Yes					
20, mm         Journaling Box         Tool, mm         100,000 mm </td <td>Thermal Strair Effects</td> <td>C 15</td> <td></td> <td></td> <td></td> <td></td> <td>Yes</td> <td></td> <td></td> <td></td> <td></td> <td></td>	Thermal Strair Effects	C 15					Yes					
20, mm         90,001 mm         20, mm         30, mm         30, mm         100, mm         100, mm         100, mm           1,0643 mm         1,0643 mm         23,246 mm         38,167 mm         17,6783         23,246 mm         28,485 mm         28,485 mm         28,544 mm           22,003 mm         22,003 mm         480,058 mm²         1,2842e+006         49410 mm²         40,037 mm         25,321 mm         28,531 mm         28,541 mm²         28,531 mm         2						- B	unding Box					
1,0643 mm         7,6783 mm         23,246 mm         38,167 mm         17,462 mm         14,208 mm         28,485 mm         28,544 mm         28,544 mm           22,003 mm         mm         mm         Po,058 mm         485,03 mm         17,462 mm         40,037 mm         25,321 mm         25,293 mm           440, mm²         66676 mm³         89069 mm³         1,2842e+006 mm³         49410 mm³         40,037 mm         47021 mm³         155,321 mm         25,293 mm           11,18e-003 kg         7,001- mm³         239,08 mm         238,08 mm         238,07 mm         40,12021 kg         154,17 mm           21,968 mm         18,13         17,653 mm         294,84 mm         294,35 mm         294,35 mm         14,96 mm         14,91 mm         14,91 mm           4,801 mm²         235,58 mm         116,13         294,84 mm         294,35 mm         29,77 mm         29,95 mm         14,96 mm         14,96 mm         14,91 mm           4,801 mm²         235,58 mm         86286         72,71 kg mm²         29,75 mm         14,978 kg mm²         110,45 kg mm²         110,45 kg mm²           4,801 mm²         18,67 kg mm²         155,143 mm         293,146 mm²         293,34 kg mm²         110,45 kg mm²         110,45 kg mm²         110,45 kg mm²	Length >		80,001 mm	90,003 mm	220, mm	300°	шш	700	mm	100	mm	850,01 mm
22,003 mm         240,47 mm         90,058 mm         485,03 mm         Apperties         40,037 mm         40,037 mm         25,321 mm         25,233 mm           440, mm³ mm         66676 mm³ mm³ mm         88069 mm³ mm³ mm         1,2842e+006 mm³ mm³ mm³ mm         490,404 kg         3,4674 kg         0,3867 kg         0,3691 kg         0,1202 kg         15,137 mm³ mm² mm         15,5143 mm         223,08 mm         -29,785 mm         40,503 mm         -14,91 mm³ mm² mm         -14,91 mm² mm² mm         -14,91 mm² mm² mm² mm         -14,91 mm² mm² mm² mm² mm         -14,91 mm² mm² mm² mm² mm² mm² mm² mm² mm² mm	Length )	. 20	7,6783 mm	23,246 mm	38,167 mm	17,46	2 mm	14,20	8 mm	28,485 mm	28,544 mm	41,657 mm
440, mm³         66676 mm³         89069 mm³         1,2842e+006 mm³         49410 mm³         47021 mm³         47021 mm³         15412 mm³           1,188e-003 kg         7,001e- mm³         0,24049 kg         3,4674 kg         0,38787 kg         0,36911 kg         0,36911 kg         0,12021 kg           -321,07 mm         -239,07 mm         -239,08 mm         -24,383 mm         -25,567 mm         -29,785 mm         -14,91 mm         -14,91 mm           21,968 mm         mm         -24,383 mm         -24,383 mm         -25,567 mm         -29,785 mm         -14,91 mm         -14,91 mm           21,968 mm         mm         -24,383 mm         -24,383 mm         -29,785 mm         -14,91 mm         -14,91 mm         -15,917 mm           55,48 mm         mm         -24,383 mm         -24,383 mm         -26,567 mm         -14,91 mm         -14,91 mm         -15,917 mm           48015e-002 kg mm²         kg mm²         kg mm²         kg mm²         kg mm²         11,045 kg mm²         11,043 kg mm²           8,569 mm²         154,06 kg mm²         kg mm²         2930,1 kg mm²         2930, kg mm²         14976 kg mm²         114,16 kg mm²         116,46 kg mm²           3,9699-002 kg mm²         153,9699-002         51,40 kg mm²         14976 kg mm²         114,14 kg	Length 2	02000	240,47 mm	90,058 mm	485,03 mm	38,03	.1 mm	40,03	7 mm	25,321 mm	25,293 mm	550,11 mm
440, mm³         666 f6 foliation         89069 mm³         1,2842e+006 mm³         49410 mm³         4961 mm³         15412 mm³         15412 mm³           1,188e-003 kg         700 kg occord         239,08 mm²         3,4674 kg         0,3878 kg         mm²         -20,978 mm         -334,38 mm         -334,38 mm         -334,38 mm           -321,07 mm         239,08 mm         229,08 mm         -24,383 mm         -25,557 mm         -29,785 mm         -14,91 mm         -14,91 mm         -15,917 mm           21,968 mm         mm         116,13         294,84 mm         224,383 mm         -25,557 mm         -29,785 mm         -14,91 mm         -14,91 mm         -15,917 mm           4,8015e-002         337,16         16,406 kg mm²         84,69 mm         72,71 kg mm²         89,369 km²         11,045 kg mm²         11,043 kg mm²           8,516e-002         355,57         28,567 mm         297,38 mm²         1507,13 kg mm²         110,45 kg mm²         110,45 kg mm²         110,43 kg mm²           8,516e-002         22,67         48,00 mm²         290,14 kg mm²         2930,1 kg mm²         14976 kg mm²         116,48 kg mm²         116,48 kg mm²           8,589e-002         22,67         42,10         22,67         230,31         2930,1 kg mm²         14976 kg mm²         <							Properties				6	
1,188e-002 kg         7,001e- 002 kg         239,08 mm         239,09 mm         230,07 mm	Volume	2002	66676 mm³	89069 mm³	1,2842e+006 mm³	49410	) mm³	4702	l mm³	1541	2 mm³	1,8664e+007 mm³
-231,07 mm         -239,08 mm         -239,08 mm         -239,08 mm         -30,974 mm         -14,91 mm         -15,917 mm           21,968 mm         18,153 mm         17,653 mm         5,5143 mm         -24,383 mm         -25,557 mm         -29,785 mm         -14,91 mm         -14,91 mm         -15,917 mm           535,85 mm         mm         292,35 mm         86,69 mm         504,75 mm         82,053 mm         11,045 kg mm         474,54 mm           4,8015e-002         337,16 kg-mm²         154,06 kg mm²         86286 kg mm²         72,71 kg mm²         15051 kg·mm²         11,045 kg·mm²         11,043 kg·mm²           8,7516e-002         359,25 kg·mm²         281,65 kg·mm²         2930,1 kg·mm²         2930, kg·mm²         14976 kg·mm²         14978 kg·mm²         116,48 kg·mm²         116,48 kg·mm²           3,9699e-002         22,657         154,06 kg·mm²         2930,1 kg·mm²         2930, kg·mm²         14976 kg·mm²         116,48 kg·mm²         116,48 kg·mm²         116,48 kg·mm²           3,9699e-002         22,657         154,06 kg·mm²         8650         9372         9633         6552         7922         4073         3917           315         8009         5134         2784         2939         2768         2768         2707         2707	Mass		7,001e- 002 kg	0,24049 kg	3,4674 kg	0,387	87 kg	698'0	11 kg	0,120	121 kg	146,51 kg
21,968 mm         18,153 mm         17,653 mm         55143 mm         -24,383 mm         -25,567 mm         -29,785 mm         -30,974 mm         -14,91 mm         -15,917 mm           535,85 mm         1mm         1mm         292,35 mm         84,69 mm         504,75 mm         82,053 mm         507,35 mm         114,96 mm         474,54 mm           4,8015e-002 styles         337,16 mm² kg·mm² kg·mm² kg·mm²         185,286 mm²         72,71 kg·mm²         15051 kg·mm²         110,045 kg·mm²         110,045 kg·mm²         110,43 kg·mm²           8,7516e-002 styles         359,25 kg·mm²         281,65 kg·mm²         2930,1 kg·mm²         2930, kg·mm²         14976 kg·mm²         114,15 kg·mm²         114,13 kg·mm²           3,699e-002 styles         22,657 kg·mm²         13780         2930,1 kg·mm²         2930, kg·mm²         14976 kg·mm²         116,48 kg·mm²         116,46 kg·mm²           8,099e-002 kg·mm²         154,06 kg·mm²         6850         9372         9633         6552         7922         4073         3917           155         218         218         2530         1490         143         2107         2005         2107	Centroid >		9	-239,07 mm	-239,08 mm	-238,8	35 mm	-40,50	3 mm	-334,	38 mm	-109,18 mm
535,85 mm         116,13 mm         294,84 mm         292,35 mm         84,69 mm         504,75 mm         82,053 mm         507,35 mm         114,96 mm         474,54 mm           4,80156-002         337,16 kg·mm²         154,06 kg·mm²         85286 kg·mm²         72,71 kg·mm²         15051 kg·mm²         110,45 kg·mm²         110,45 kg·mm²         110,43 kg·mm²           8,7516-002 (35,057)         22,657 kg·mm²         154,06 kg·mm²         13793         2930,1 kg·mm²         2930, kg·mm²         14976 kg·mm²         116,48 kg·mm²         116,46 kg·mm²           3,9696-002 (2,657)         kg·mm²         15051 kg·mm²         14978 kg·mm²         116,48 kg·mm²         116,46 kg·mm²           3,9696-002 (2,657)         kg·mm²         1530, kg·mm²         14978 kg·mm²         116,48 kg·mm²         116,46 kg·mm²           3,9696-002 (2,657)         kg·mm²         15051 kg·mm²         14978 kg·mm²         116,48 kg·mm²         116,46 kg·mm²           3,9696-003 (2,657)         kg·mm²         1540 kg·mm²         116,48 kg·mm²         116,46 kg·mm²           4,073 (2,67)         2784         2784         2784         2707         2005	Centroid \	00000	18,153 mm	17,653 mm	5,5143 mm	-24,383 mm	-25,557 mm	-29,785 mm	-30,974 mm	-14,91 mm	-15,917 mm	-54,177 mm
4,8015e-002 kg·mm²         337,16 kg·mm²         154,06 kg·mm²         85286 kg·mm²         72,71 kg·mm²         72,71 kg·mm²         89,369 kg·mm²         11,045 kg·mm²         11,045 kg·mm²         11,045 kg·mm²           8,7516e-002 kg·mm²         359,25 kg·mm²         281,65 kg·mm²         13783 kg·mm²         2930,1 kg·mm²         2930, kg·mm²         14976 kg·mm²         114,15 kg·mm²         114,13 kg·mm²           3,689e-02 kg·mm²         22,657 kg·mm²         154,06 kg·mm²         2930,1 kg·mm²         2930, kg·mm²         14976 kg·mm²         116,48 kg·mm²         116,46 kg·mm²           315         8009         5134         6850         9372         9633         6552         7922         4073         3917           36         4475         2784         3780         4908         5039         2768         3443         2107         2005	Centroid		116,13 mm	294,84 mm	292,35 mm	84,69 mm	504,75 mm	82,053 mm	507,35 mm	114,96 mm	474,54 mm	294,64 mm
8,7516e-002         359,25 kg·mm²         281,55 kg·mm²         2977,3 kg·mm²         15051 kg·mm²         15052 kg·mm²         114,15 kg·mm²         114,15 kg·mm²         114,13 kg·mm²           3,9699e-002         22,657         154,06 kg·mm²         13793         2930,1 kg·mm²         2930, kg·mm²         14976 kg·mm²         14978 kg·mm²         116,48 kg·mm²         116,48 kg·mm²         116,46 kg·mm²           kg·mm²         kg·mm²         5134         6850         9372         9633         6552         7922         4073         3917           36         4475         2784         3780         4908         5039         2768         3443         2107         2005	Moment o		337,16 kg·mm²	154,06 kg·mm²	85286 kg·mm²	72,71	kg·mm²	89,369	kg·mm²	11,045 kg·mm²	11,043 kg·mm²	3,7075e+006 kg·mm²
3,969e-002         22,657         154,06 kg·mm²         13793         2930,1 kg·mm²         2930, kg·mm²         14976 kg·mm²         14978 kg·mm²         116,48 kg·mm²         116,48 kg·mm²         116,46 kg·mm²           kg·mm²         kg·mm²         kg·mm²         statistics         statistics         statistics         4073         3917           315         8009         5134         6850         9372         9633         6552         7922         4073         3917           36         4475         2784         3780         4908         5039         2768         3443         2107         2005	Moment o Inertia Ip2		359,25 kg·mm²	281,65 kg·mm²	98677 kg·mm²	2977,3	kg·mm²	15051 kg·mm²	15052 kg·mm²	114,15 kg·mm²	114,13 kg·mm²	1,2495e+007 kg·mm²
Statistics         Statistics           315         8009         5134         6850         9372         9633         6652         7922         4073         3917           36         4475         2784         3780         4908         5039         2768         3443         2107         2005	Moment o	-	22,657 kg·mm²	154,06 kg·mm²	13793 kg·mm²		2930, kg·mm²	14976 kg·mm²	14978 kg·mm²	116,48 kg·mm²	116,46 kg·mm²	8,8269e+006 kg·mm²
315         8009         5134         6850         9372         9633         6552         7922         4073         3917           36         4475         2784         3780         4908         5039         2768         3443         2107         2005							Statistics					
36 4475 2784 3780 4908 5039 2768 3443 2107 2005 a	Node		8009	5134	6850		9633	6552	7922	4073	3917	0
	Element		4475	2784	3780		5039	2768	3443	2107	2005	0

Model (A4) > Materials
Object Name | Materials
State | Fully Defined
Statistics

5
2
0
#
S
>
S
(D)
-
ia
.=
0
=
8
N
O

Project

•	•
100	٠.

Material Assignments

- Proport	Origin Y 0, mm	Origin X 0, mm	Origin	oordinate System ID 0,	Type Cartesian	Definition	State Fully Defined	Object Name   Global Coordinate System	Fully Defined  tion  Cartesian  0,  in  0, mm  0, mm  1 Vectors  [1, 0, 0, ]  [0, 1, 0, ]  [0, 0, 1, ]	Coordinate System ID  Coordinate System ID  Origin X  Origin X  Origin X  Origin X  Origin X  Axis Data  X Axis Data  X Axis Data  X Axis Data  X Axis Data  X Axis Data  X Axis Data  X Axis Data
	onal Vecto	onal Vecto	onal Vecto	Origin onal Vecto	Origin onal Vecto	Origin onal Vect	Origin	Origin onal Ve		Y Axis Data
[0,1	onal Vecto	onal Vecto	onal Vecto	Origin Onal Vecto	Origin Onal Vecto	Origin onal Vect	Pfinition Origin	Origin	[1, 0, 0, ]	X Axis Data
				Origin	Origin	Origin	Pfinition	efinition	Vectors	Directiona
onal Vecto				Origin	Origin	Origin	Flinition	efinition	0, mm	Origin Z

TABLE 9 Model (A4) > Connections

Connections

Object Name   Connections	Connections
State F	State Fully Defined
Auto Detection	600
Generate Automatic Connection On Refresh	Yes
Transparency	
Enabled	Yes
Statistics	
Contacts	42
Active Contacts	42
Joints	0
Active Joints	0
Beams	0
Active Beams	0
Bearings	0
Active Bearings	0
Springs	0
Active Springs	0
Body Interactions	0
Active Body Interactions	0

TABLE 10
Model (A4) > Connections > Contacts

Object Name	Contacts
State	Fully Defined

	Contact		Scoping Method Geometry Selection	All Bodies	ion	Slider	0,	2,7422 mm	No	Yes	75,°	J€O	Include	No.	No.	Include All	Bodies	Bodies		42	42
Definition	Connection Type	Scope	Scoping Method	Geometry	Auto Detection	Tolerance Type	Tolerance Slider	Tolerance Value	Use Range	Face/Face	Face-Face Angle Tolerance	Face Overlap Tolerance	Cylindrical Faces	Face/Edge	Edge/Edge	Priority	Group By	Search Across	Statistics	Connections	Active Connections

TABLE 11
Model (A4) > Connections > Contacts > Contact Regions

					Model (A4) > Con	(A4) > Connections > Contacts > Contact Regions	> Contact Regions				
Object Name	Contact Region 44	Object Region Contact Region 85	Contact Region 86	Contact Region 87	Contact Region 88	Contact Region 89	Contact Region 90	Contact Region 91	Contact Region 92	Contact Region 93	Contact Region 94
State						Fully Defined	ned				
						Scope					
Scoping Method						Geometry Selection	election				
Contact	4 Faces		16	1 Face		3 Faces	ces	1 Face		13 Faces	7 Faces
Target	8 Faces		11.	1 Face			3 Faces	ces		13 Faces	2 Faces
Contact Bodies				UnionMecanismos	smos			Pieza1^AjusteLONG	ONG	Simetreda33RailArribalzq	rribalzq
Target Bodies	BaseGiro	Target Bodies Bodies	RailArribaDerecha	RailAbajolzquierda	RailAbajoDerecha	Mecanismolzquierda	MecanismoDerecha	oDerecha MecanismoIzquierda MecanismoDerecha Simetreda33RailArribaIzq 33RailArribaIzq Simetreda33RailAbajoIzq BaseSuperior	33RailArribalzq	Simetreda33RailAbajolzq	BaseSuperior
Protected						2					
	2 2					Definition					
Type						Bonded	q				
Scope						Automatic	tic				
Behavior						Program Controlled	ntrolled				
Trim Contact						Program Controlled	ntrolled				
Tolerance						2,7422 mm	mu				
Contact APDL Name											
Target APDL Name											

No         Display	No No mals	Advanced	Program Controlled Program Controlled		Ction Program Controlled	Program Controlled ance	Slip Program Controlled	Program Controlled ness	Program Controlled ness	Program Controlled	Geometric Modification	None None Ction	None None Ction
Suppressed	Element Normals		Formulation	Small	Detection Method	Penetration Tolerance	Elastic Slip Tolerance	Normal Stiffness	Update Stiffness	Pinball Region	8	Contact Geometry Correction	Target Geometry Correction

TABLE 12

Model (A4) > Connections > Contact Regions

Contact Region   State   Sta				A	lodel (A4) > Con	nections > cont	acts > Contact R	egions				
Faces   2 Faces   5 Face	Object Name		Contact Region 96	Contact Region 97	Contact Region 98	Contact Region 99	Contact Region 100	Contact Region 101	Contact Region 102			Contact Region 105
Scope           S Faces         2 Faces         2 Faces         3 Faces         17 Faces         7 Faces         5 Faces         7 Faces         7 Faces         7 Faces         2 Faces         3 ShallAhaja/Lad	State		2.				Fully Defined			/di.		
5 Faces         1 Faces         1 Faces         1 Faces         1 Faces         1 Faces         1 Faces         2 Faces         2 Faces         2 Faces         3 RailAtabajoZq         1 Faces         1 Faces         2 Faces         3 RailAtabajoZq         3 RailAtabajoZq         3 RailAtabajoZq         3 RailAtabajoZq         3 RailAtabajoZq         BaseSuperior		8 88				Scope						
5 Faces         1 Faces         1 Faces         1 Faces         7 Faces         5 Faces <t< td=""><td>Scoping Method</td><td></td><td></td><td></td><td></td><td>Ge</td><td>ometry Selection</td><td></td><td></td><td></td><td></td><td></td></t<>	Scoping Method					Ge	ometry Selection					
2 Faces         3 Faces         1 Faces         1 Faces         2 Faces         3 ShailAbajolzq         3 ShailAbajolzq <th< td=""><td>Contact</td><td></td><td>10 Faces</td><td>2 Faces</td><td>5 Faces</td><td></td><td>1 Face</td><td></td><td>17 Faces</td><td>7 Faces</td><td>5 Faces</td><td>4 Faces</td></th<>	Contact		10 Faces	2 Faces	5 Faces		1 Face		17 Faces	7 Faces	5 Faces	4 Faces
Simetreda33RailAbajolzq         boton         Carcasa         33RailAbajolzq         BaseSuperior	Target		9 E	aces		3 Faces	1 F	ace	18 Faces		2 Faces	
Base Superior         Carcasa         33RailAtribalzq         Base Superior         33RailAbajolzq         No           Definition           Automatic           Program Controlled           Program Controlled           2,7422 mm           No           Display           No           Advanced           Program Controlled	Contact Bodies	Simetreda33RailAbajolzq		boton			Carcasa		33RailA	vribalzq	33RailAbajolzq	Cllindro
Definiti Displa	Target Bodies		Carcasa	33RailArribalzq	33RailA	bajolzq	BaseS	uperior	33RailAbajolzq	×	BaseSuperior	2
Definiti Displa	Protected						2					
Displa Advanc						Definition						
Displa Advanc	Type						Bonded					
Displa Advanc	Scope Mode						Automatic					
Displa Advanc	Behavior					Prc	ogram Controlled					
Displa Advanc	Trim Contact					Prc	ogram Controlled					
Displa Advanc	Trim Tolerance						2,7422 mm					
Displa Advanc	ntact APDL Name											
Displa Advanc	arget APDL Name											
Displa Advanc	Suppressed						No					
Advano						Display						
Advanc	Element Normals						No					
						Advanced						
	Formulation					Pro	ogram Controlled					
	Small Sliding					Prc	ogram Controlled					

									Contact Region 116			1 Face		BaseGiro	RailArribalzquierda												ole v						
									Contact Region 115			7 Faces	3 Faces	thrust ball bearing_68_isowds_ISO 104 - 744090 - B,14,SI,NC,14_68	BaseGiro																		
									Contact Region 114			16 Faces	9 Faces	Pasador																			
									Contact Region 113			2 Faces	3 Faces																				
Program Controlled Program Controlled	Program Controlled	Program Controlled	Program Controlled	Program Controlled	Geometric Modification	None	None	TABLE 13 Model (A4) > Connections > Contacts > Contact Regions	Contact Region 112	Fully Defined	Geometry Selection	7 Faces	13 Faces	BaseSuperior	thrust ball bearing 68 isowds ISO 104 - 744090 - B,14,SI,NC,14 68	No	Bonded	Automatic	Program Controlled	Program Controlled	2,7422 mm			o <sub>N</sub>		N	Advanced	Program Controlled	Program Controlled	Program Controlled	Program Controlled	Program Controlled	Program Controlled
					Geometric I			TABI	Contact Region 111	Š	9	3 Faces	5 Faces		Pasador	, ijo			_	Ш					Display		Adva	1	Ь	Ш	<u> </u>		<u> </u>
								del (A4) > Co	Contact Region 110			1 Face	1 Face		BaseSuperior																		
								M	Contact Region 108   Contact Region 109	-		3 Faces	3 Faces	Palanca	Mecanismolzquierda MecanismoDerecha B																		
									Contact Region 107			2 Faces	2 Faces	ıdro	BaseGiro																		
Method	erance	iffness	iffness	Region		Geometry	: Geometry Correction		Contact Region 106			1 Face	"	Cllindro	Pasador					25 - 4													
Detection Method Penetration Tolerance	Flastic Slip Tolerance	Normal Stiffness	Update Stiffness	Pinball Region		Contact Geometry Correction	Target Geometry Correction		Object Name	State	Scoping	Contact	Target	Contact Bodies	Target Bodies	Protected	Type	Scope Mode	Behavior	Trim Contact	Trim Tolerance	Contact APDL	Target APDL	Suppressed		Element Normals		Formulation	Small Sliding	Detection Method	Penetration Tolerance	Elastic Slip Tolerance	Normal Stiffness

	Program Controlled	Geometric Modification	Ti de la constanta de la const	None			None	G. C.
Update Stiffness	Pinball Region		Contact	Geometry	Correction	Target	Geometry	Correction

TABLE 14
Model (A4) > Connections > Contact Regions

Cobject Name   Contact Region 117   Contact Region 118   Contact Region 119   Contact Region 110   Contact Regio	Contact Region 119   Contact Region 121   Contact Region 122   Contact Region 122   Contact Region 122   Contact Region 123   Contact Region 124   Contact Region 125   Contact Region 1	Contact Region 120   Contact Region 121	Contact Region 121 Fully Defined Geometry Selection 5 Faces 5 Faces	Contact Region 122	Contact Region 123	Contact Region 124	Contact Region 125
3 Faces RailArribaDerecha	) Derecha	Scope Ge Ge 12 Faces RailArribalzqu bajolzquierda   Me	Fully Defined cometry Selection Faces Faces				
3 Faces RailArribaDerecha	Derecha	Scope Ge Ge 12 Faces RailArribalzqu bajolzquierda   Me	ometry Selection 5 Faces 5 Faces				
3 Faces RailArribaDerecha	) Derecha	Ge Races RailArribalzquierda Me Definition	ometry Selection 5 Faces 5 Faces				
3 Faces RailArribaDerecha	)erecha	16 Faces 12 Faces RailArribalzq bajolzquierda   Me	5 Faces 5 Faces				
3 Faces RailArribaDerecha	)erecha	12 Faces RailArribalzquedia Me	5 Faces	15 Faces	5 Faces	4 Faces	5 Faces
RailArribaDerecha	Jerecha	RailArribalzq bajolzquierda   Me Definition		12 Faces	5 Faces	6 Faces	7 Faces
Rail Arriba Derecha	Jerecha	bajolzquierda   Me Definition	uierda	RailArrib	RailArribaDerecha	RailAbajolzquierda	RailAbajoDerecha
Protected  Type Scope Mode Behavior Trim Contact Trim Tolerance Contact APDL Name Target APDL Name Suppressed Element Normals Formulation Small Sliding Detection Method		Definition	canismolzquierda		MecanismoDerecha	RailAbajoDerecha   MecanismoDerecha   MecanismoIzquierda   MecanismoDerecha	MecanismoDerecha
Scope Mode Behavior Trim Contact Trim Tolerance Contact APDL Name Target APDL Name Suppressed Element Normals Formulation Small Sliding Detection Method		Definition	No				
Scope Mode Behavior Trim Contact Trim Tolerance Contact APDL Name Target APDL Name Suppressed Element Normals Formulation Small Silding Detection Method							
Scope Mode Behavior Trim Contact Trim Tolerance Contact APDL Name Target APDL Name Suppressed Element Normals Formulation Small Sliding Detection Method			Bonded				
Behavior Trim Contact Trim Tolerance Contact APDL Name Target APDL Name Suppressed Element Normals Formulation Small Sliding Detection Method			Automatic				
Trim Contact Trim Tolerance Contact APDL Name Target APDL Name Suppressed Element Normals Formulation Small Sliding Detection Method		Pro	Program Controlled				
Trim Tolerance  Contact APDL Name  Target APDL Name  Suppressed  Element Normals  Formulation  Small Sliding  Detection Method		Pro	Program Controlled				
Contact APDL Name Target APDL Name Suppressed Element Normals Formulation Small Sliding Detection Method			2,7422 mm				
Target APDL Name Suppressed Element Normals Formulation Small Sliding Detection Method							
Suppressed  Element Normals  Formulation Small Sliding Detection Method							
Element Normals Formulation Small Sliding Detection Method			No				
Element Normals Formulation Small Sliding Detection Method		Display					
Formulation Small Sliding Detection Method			No				
Formulation Small Sliding Detection Method		Advanced					
Small Sliding Detection Method		Pro	Program Controlled				
Detection Method		Pro	Program Controlled				
D		Pro	Program Controlled				
Penetration Loterance		Pro	Program Controlled				
Elastic Slip Tolerance		Pro	Program Controlled				
Normal Stiffness		Pro	Program Controlled				
Update Stiffness		Pro	Program Controlled				
Pinball Region		Pro	Program Controlled				
	9	Geometric Modification	tion				
Contact Geometry Correction			None				
Target Geometry Correction			None				

Mesh

| TABLE 15 | Model (A4) > Mesh | Object Name | Mesh | State | Solved | Display |

Project

Defaults	
Physics Preference	Mechanical
Element Order	Program Controlled
Element Size	Default
Sizing	
Use Adaptive Sizing	Yes
Resolution	8
Mesh Defeaturing	Yes
Defeature Size	Default
Transition	Fast
Span Angle Center	Coarse
Initial Size Seed	Assembly
Bounding Box Diagonal	1096,9 mm
Average Surface Area	1720,1 mm²
Minimum Edge Length	3,5355e-002 mm
Quality	NA.
Check Mesh Quality	Yes, Errors
Error Limits	Aggressive Mechanical
Target Element Quality	Default (5,e-002)
Smoothing	High
Mesh Metric	None
Inflation	
Use Automatic Inflation	None
Inflation Option	Smooth Transition
Transition Ratio	0,272
Maximum Layers	5
Growth Rate	1,2
Inflation Algorithm	Pre
Inflation Element Type	Wedges
View Advanced Options	No
Advanced	
Number of CPUs for Parallel Part Meshing	Program Controlled
Straight Sided Elements	No
Rigid Body Behavior	Dimensionally Reduced
Triangle Surface Mesher	Program Controlled
Topology Checking	Yes
Pinch Tolerance	Please Define
Generate Pinch on Refresh	No
Statistics	
Nodes	125448
Elements	63095

Static Structural (A5)

TABLE 16 Model (A4) > Analysis	Object Name   Static Structural (A5)	State Solved	Definition	Physics Type Structural	
					2

Static Structural	Mechanical APDI	SI	22, °C	No
Analysis Type	Solver Target	Options	<b>Environment Temperature</b>	Generate Input Only

	Environment Temperature Generate Input Only	22, °C No
	TABLE 17 Model (A4) > Static Structural (A5) > Analysis Settings	7 25) > Analysis Sattings
Object Name		Analysis Settings
State		Fully Defined
	Step Controls	
Number Of Steps		1,
Current Step Number		1,
Step End Time		1,5
Auto Time Stepping		Program Controlled
	Solver Controls	rols
Solver Type		Program Controlled
Weak Springs		Off
Solver Pivot Checking		Program Controlled
Large Deflection		Ji Ji
Inertia Relief		JiO Ji
Quasi-Static Solution	3	Ji5
	Rotordynamics Controls	Controls
Coriolis Effect		Off
	Restart Controls	rols
Generate Restart Points		Program Controlled
Retain Files After Full Solve		No
Combine Restart Files		Program Controlled
	Nonlinear Controls	ntrols
Newton-Raphson Option		Program Controlled
Force Convergence		Program Controlled
Moment Convergence		Program Controlled
Displacement Convergence		Program Controlled
Rotation Convergence		Program Controlled
Line Search		Program Controlled
Stabilization		Program Controlled
	Advanced	
Inverse Option		No
Contact Split (DMP)		Program Controlled
	Output Controls	
Output Selection		None
Stress		Yes
Back Stress		No
Strain		Yes
Contact Data		Yes
Nonlinear Data		No
Nodal Forces		No
Volume and Energy		Yes
Euler Angles		Yes
General Miscellaneous		No
Contact Miscellaneous		No
Store Results At		All Time Points
Result File Compression		Program Controlled

Analysis Data Management	Solver Files Directory C:\Users\alonp\OneDrive\Escritorio\4º ing\TFG\ansys\UmpactoUnGradoMasRetrasadoPOSavnzd_files\dpoints\YS\MECH\	None		No	Program Controlled	Yes	No	Active System	mmn
	Solver Files Directory	Future Analysis	Scratch Solver Files Directory	Save MAPDL db	Contact Summary	Delete Unneeded Files	Nonlinear Solution	Solver Units	Solver Unit System

Model (A4) > Static Structural (A5) > Loads
Object Name Fixed Support Force

The second secon	Fully Defined		Geometry Selection	1 Face	u.	Force	No	Components	Surface Effect	Global Coordinate System	-1962, N (ramped)	0 M (ramped)
	86	Scope	Ge	2 Faces	Definition	Type Fixed Support						
The second secon	State		Scoping Method	Geometry		Type	Suppressed	Define By	Applied By	Coordinate System	X Component	Y Component

FIGURE 1 Model (A4) > Static Structural (A5) > Force

Project

08/06/2025

Model (A4) > Static Structural (A5) > Solution
Object Name | Solution (A6)

State	Solved
Adaptive Mesh Refinement	nement
Max Refinement Loops	1,
Refinement Depth	2,
Information	
Status	Done
MAPDL Elapsed Time	20, s
MAPDL Memory Used	2,7998 GB
MAPDL Result File Size	47,688 MB
Post Processing	Ę,
Beam Section Results	2
On Demand Stress/Strain	9

Model (A4) > Static Structural (A5) > Solution (A6) > Solution Information
Object Name | Solution Information

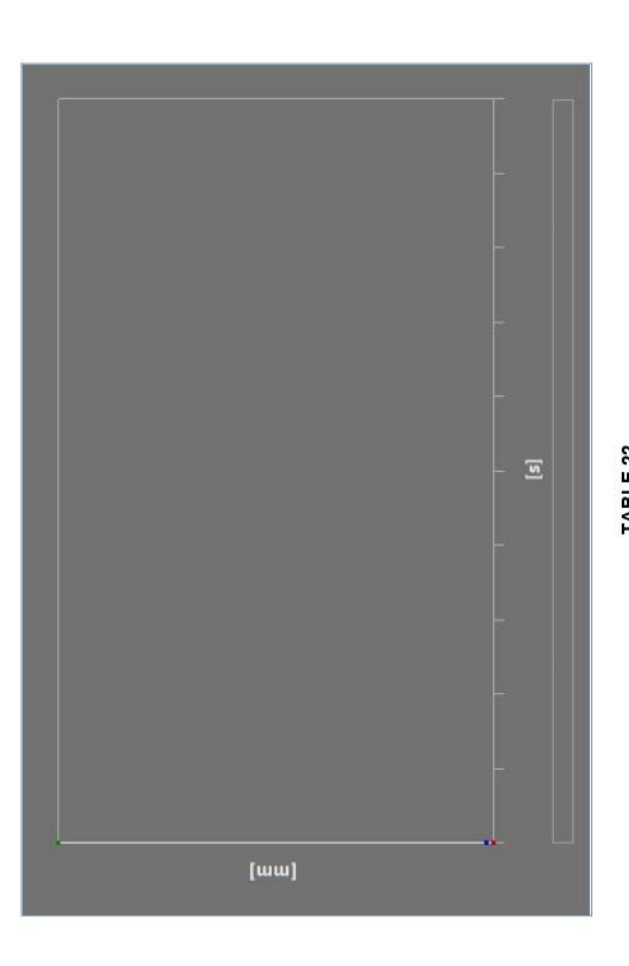
State	Solved
Solution Information	ion
Solution Output	Solver Output
Newton-Raphson Residuals	0
Identify Element Violations	0
Update Interval	2,5 s
Display Points	A

FE Connection Visibility	sibility
Activate Visibility	Yes
Display	All FE Connectors
Draw Connections Attached To	All Nodes
Line Color	Connection Type
Visible on Results	9
Line Thickness	Single
Display Type	Lines

Model (A4) > Static Structural (A5) > Solution (A6) > Results
Object Name | Total Deformation | Equivalent Stress

Object Name	I Otal Delottiation	Equivalent ottess
State		Solved
	Scope	
Scoping Method	Geor	Geometry Selection
Geometry		All Bodies
	Definition	
Type	Total Deformation	Equivalent (von-Mises) Stress
By		Time
Display Time		Last
Separate Data by Entity		No
Calculate Time History		Yes
Identifier		
Suppressed		No
	Results	
Minimum	0, mm	3,2939e-013 MPa
Maximum	3,2259e-003 mm	105,49 MPa
Average	4,7849e-005 mm	0,20482 MPa
Minimum Occurs On	RailAbajolzquierda	Cllindro
Maximum Occurs On MecanismoDerecha	MecanismoDerecha	RailAbajoDerecha
	Information	
Time		1, s
Load Step		1
Substep		1
Iteration Number		1
	Integration Point Results	sults
Display Option		Averaged
Average Acrose Bodies		No

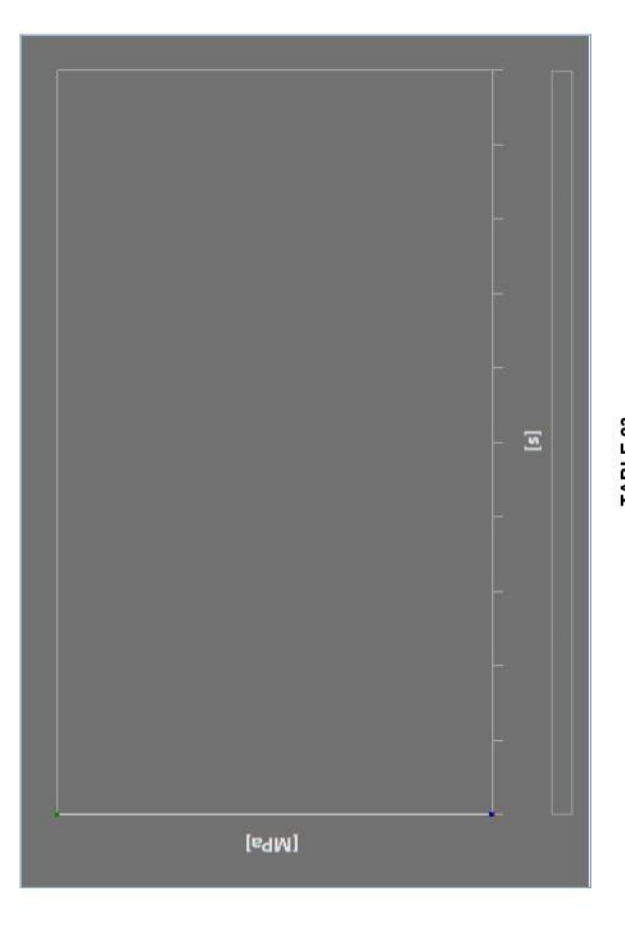
FIGURE 2 Model (A4) > Static Structural (A5) > Solution (A6) > Total Deformation



| Model (A4) > Static Structural (A5) > Solution (A6) > Total Deformation | Time [s] | Minimum [mm] | Maximum [mm] | Average [mm] | 1, | 0, | 3,2259e-003 | 4,7849e-005

FIGURE 3 Model (A4) > Static Structural (A5) > Solution (A6) > Equivalent Stress

Project

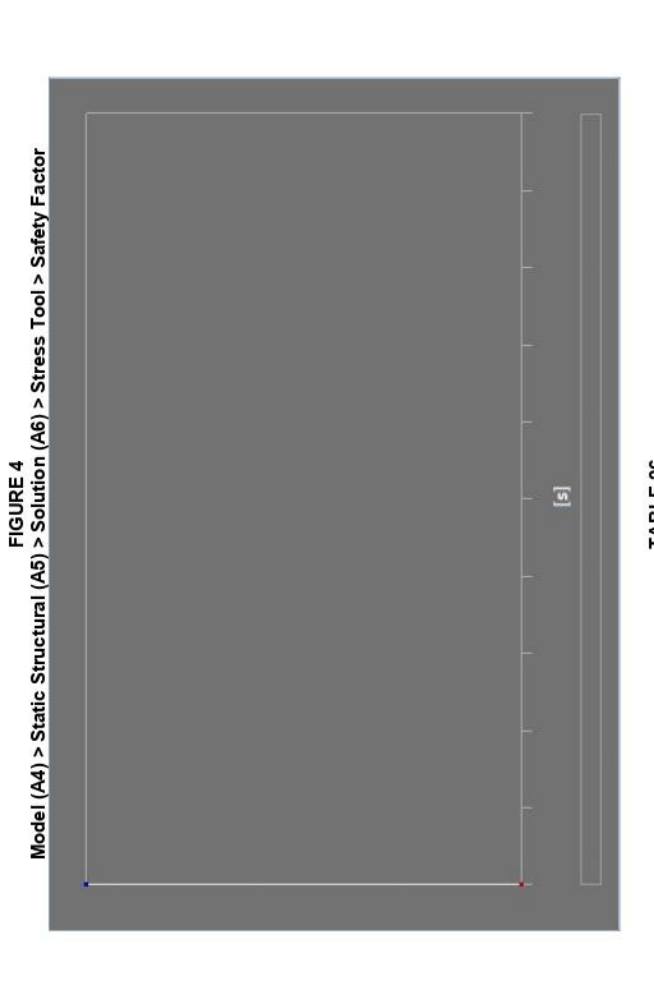


| Model (A4) > Static Structural (A5) > Solution (A6) > Equivalent Stress | Time [s] | Minimum [MPa] | Maximum [MPa] | Average [MPa] | 1, 3,2939e-013 | 105,49 | 0,20482

| Model (A4) > Static Structural (A5) > Solution (A6) > Stress Safety Tools
| Object Name | Stress Tool |
| State | Solved Theory Max Equivalent Stress
Stress Limit Type Tensile Yield Per Material Definition

Scoping Method Geometry Selection Geometry All Bodies Definition Type Safety Factor Type Safety Factor By Time Display Time Last Separate Data by Entity Calculate Time History Calculate Time History Calculate Methifier Sundressed No
--

Averaged	No	s	2,9386	RailAbajoDerecha	ion	1, s	-	-	-
Display Option	Average Across Bodies	Results	Minimum	Minimum Occurs On	Information	Time	Load Step	Substep	Iteration Number



| Model (A4) > Static Structural (A5) > Solution (A6) > Stress | Tool > Safety Factor | Time [s] | Minimum | Maximum | Average | 1, 2,9386 | 15, 14,99 |

### **Material Data**

Aluminio 6061

**TABLE 27 Aluminio 6061 > Constants**Density | 2,7e-006 kg mm^-3

TABLE 28 Aluminio 6061 > Isotropic Elasticity

Temperature C	
Shear Modulus MPa	25940
<b>Bulk Modulus MPa</b>	67647
Poisson's Ratio	0,33
Young's Modulus MPa	00069

**TABLE 29** 

Tensile Ultimate Strength MPa

300,

**TABLE 32 Acero1045 > Constants**Density | 7,85e-006 kg mm^-3

 TABLE 33

 Acero1045 > Color

 Red Green Blue

 255, 95, 56,

TABLE 34
Acero1045 > Tensile Ultimate Strength Tensile Ultimate Strength MPa 565,

TABLE 35 Acero1045 > Tensile Yield Strength Tensile Yield Strength MPa 310,

TABLE 36

 Acero1045 > Isotropic Elasticity

 Young's Modulus MPa Poisson's Ratio Bulk Modulus MPa Shear Modulus MPa Temperature C 2,1e+005 0,3 1,75e+005 80769 22,

Acero 6150

TABLE 37
Acero 6150 > Constants
Density | 7,8e-006 kg mm^-3

TABLE 38
Acero 6150 > Isotropic Elasticity
Young's Modulus MPa | Poisson's Ratio | Bulk Modulus MPa | Shear Modulus MPa | Temperature C

08/06/2025

Aluminio 6061 > Tensile Yield Strength Tensile Yield Strength MPa

TABLE 30 Aluminio 6061 > Tensile Ultimate Strength

TABLE 31 Aluminio 6061 > Color Red Green Blue 76, 186, 255,

Acero1045

Project

Acero 6150 > Tensile Yield Strength
Tensile Yield Strength MPa

1000

TABLE 40
Acero 6150 > Tensile Ultimate Strength Tensile Ultimate Strength MPa

1145,

Acero 6150 > Color Red Green Blue 251, 43, 255,

TABLE 42 ABS > Constants

Density | 1,05e-006 kg mm^-3

TABLE 43

ABS > Isotropic Elasticity

Young's Modulus MPa | Poisson's Ratio | Bulk Modulus MPa | Shear Modulus MPa | Temperature C 766,42 2692,3

TABLE 44 ABS > Tensile Yield Strength

Tensile Yield Strength MPa 32, TABLE 45 ABS > Tensile Ultimate Strength Tensile Ultimate Strength MPa

 TABLE 46

 ABS > Color

 Red
 Green
 Blue

 184,
 255,
 86,

Structural Steel

Specific Heat 4,34e+005 mJ kg^-1 C^-1
Thermal Conductivity 6,05e-002 W mm^-1 C^-1
Resistivity 1,7e-004 ohm mm Structural Steel > Constants
Density 7,85e-006 kg mm^-3 1,2e-005 C^-1 Coefficient of Thermal Expansion

| TABLE 48 | Structural Steel > Color | Red | Green | Blue | 132, | 139, | 179, |

**TABLE 49** 

Structural Steel > Compressive Ultimate Strength Compressive Ultimate Strength MPa

Structural Steel > Compressive Yield Strength TABLE 50

Compressive Yield Strength MPa

Structural Steel > Tensile Yield Strength
Tensile Yield Strength MPa **TABLE 51** 

Structural Steel > Tensile Ultimate Strength
Tensile Ultimate Strength MPa **TABLE 52** 460 Structural Steel > Isotropic Secant Coefficient of Thermal Expansion
Zero-Thermal-Strain Reference Temperature C

TABLE 54 Structural Steel > S-N Curve

Alternating Stress MPa | Cycles | Mean Stress MPa 2,e+005 1,e+006 1,e+005 10000 20000 2000, 3999, 2827, 1896, 1413, 441, 262, 214, 138, 114, 86,2

TABLE 55 Structural Steel > Strain-Life Parameters

Strength Coefficient MPa | Strength Exponent | Ductility Coefficient | Ductility Exponent | Cyclic Strength Coefficient MPa | Cyclic Strain Hardening Exponent | Cyclic Strength Cyclic Strain Hardening Exponent | Cyclic Strain

TABLE 56

Structural Steel > Isotropic Elasticity
Young's Modulus MPa | Poisson's Ratio | Bulk Modulus MPa | Shear Modulus MPa | Temperature C 1,6667e+005 0,3 2,e+005

Project

Structural Steel > Isotropic Relative Permeability
Relative Permeability
10000



ANEXO 3. Simulación ANSYS – Carga axial en asiento | Ensayo 4.9.2.3



Project\*

Project\*

Ansys 2024 R2 STUDENT	1000,00 (mm)
	00'005
<b>Model</b> 07/06/2025 20:21	

### Contents

Project\*

• Units

• Model (A4)

Geometry Imports

Geometry Import (A3)
 Geometry

Parts

o Materials

o Coordinate Systems

o Connections

 Contact Regions Contacts

 Static Structural (A5)
 Analysis Settings o Mesh

Loads
 Solution (A6)
 Solution Information
 Results
 Stress Tool
 Stress Tool
 Stress Tool
 Stress Tool

Material Data

o Aluminio 6061

Acero1045
 Acero 6150
 ABS
 Structural Steel

Units

Jnit System   Metric (mm, kg, N, s, mV, mA) Degrees rad/s Celsius	Degrees	rad/s	Celsius
Unit System   Metric	Angle	Rotational Velocity	Temperature

### Model (A4)

Model (A4) > Geometry Imports
Object Name Geometry Imports
State Solved

# TABLE 3 Model (A4) > Geometry Imports > Geometry Import (A3)

(m.) (m.)	etry Import (A3)	Solved	
(i.i)	Geom		
	Object Name	State	

Definition	Source   C:\Users\alonp\OneDrive\Escritorio\4º ing\TFG\ansys\AsRecogido_files\dp0\SYS\DM\SYS.agdb	DesignModeler	Basic Geometry Options	Independent		Advanced Geometry Options	No	3-0
	Source	Type		Parameters	Parameter Key		Compare Parts On Update	Analysis Type

Geometry

# TABLE 4 Model (A4) > Geometry Geometry

Child Line	
Object Name	Geometry
State	Fully Defined
	Definition
Source	Source   C:\Users\alonp\OneDrive\Escritorio\4º ing\TFG\ansys\AsRecogido_files\dp0\SYS\DM\SYS.agdb
Type	DesignModeler
Length Unit	Meters
Element Control	Program Controlled
Display Style	Body Color
200	Bounding Box
Length X	920,16 mm
Length Y	146,82 mm
Length Z	578,74 mm
	Properties
Volume	4,1136e+006 mm³
Mass	13,33 kg
Scale Factor Value	
	Statistics
Bodies	22
Active Bodies	21
Nodes	100570
Elements	48796
Mesh Metric	None
	Update Options
Assign Default Material	ON
	Basic Geometry Options
Parameters	Independent
Parameter Key	
Attributes	Yes
Attribute Key	
Named Selections	Yes
Named Selection Key	
Material Properties	Yes
	Advanced Geometry Options
Use Associativity	Yes
Coordinate Systems	Yes
Coordinate System Key	
Reader Mode Saves Updated File	No

Yes	No	3-D	Source	No	None	Yes	Yes
Smart CAD Update	Compare Parts On Update	Analysis Type	Import Facet Quality	Clean Bodies On Import	Stitch Surfaces On Import	Decompose Disjoint Geometry	Enclosure and Symmetry Processing

TABLE 5 Model (A4) > Geometry > Parts

Object Name	UnionMecanismos	Pieza1^Aiustel ONG	Object Name   InjonMecanismos   Dieza1^Aiustel ONG   Simetreda 33Rail Arribalzo	Model (A4) > Geometry > Parts   Simetreda33RailAbaiotza   boton	ometry > Parts	Carcasa	33RailArribalzo   33RailAbaiolzo	33RailAbaiolzd	Cllindro	Palanca	BaseSuperior
State						1					
				Graphics Properties	roperties						
Visible				3	Yes						
Transparency					-						
	8 8			Definition	ition						
Suppressed					No						
Stiffness Behavior					Flexible						
Coordinate System				Def	Default Coordinate System	System					
Reference Temperature					By Environment	int					
Treatment					None						
				Material							
Assignment		Aluminio 6061	Acero	1045	Acero 6150	ABS	Acero	Acero1045	ABS	Aluminio 6061	io 6061
Nonlinear Effects		3			Yes	98					
Themal Strain Effects					Yes						
				Bounding Box	ng Box						
Length X	32,997 mm	180, mm	250, mm	200, mm	15, mm	20,005 mm	250, mm	200, mm	19,068 mm	312,65 mm	240, mm
Length Y	24,066 mm	11,311 mm	28,107 mm	14,138 mm	18,036 mm	32,059 mm	28,107 mm	14,138 mm	45,109 mm	36,294 mm	40,718 mm
Length Z		460,03 mm	38,031 mm	40,037 mm	49,503 mm	20,089 mm	38,034 mm	40,037 mm	40,063 mm	373,02 mm	487,08 mm
				Properties	rties						
Volume	5846,8 mm³	8,2172e+005 mm³	1,0183e+005 mm³	14266 mm³	1228,7 mm³	5896,5 mm³	1,0183e+005 mm³	14266 mm³	5712,9 mm <sup>3</sup>	1,5621e+005 mm³	1,2207e+006 mm³
Mass	1,5786e-002 kg	2,2186 kg	0,79933 kg	0,11198 kg	9,5841e-003 kg	9,5841e-003 6,1913e-003 kg kg	0,79933 kg	0,11198 kg	5,9985e-003 kg	0,42177 kg	3,296 kg
Centroid X	-278,5 mm	-226,01 mm	-207,55 mm	-239,39 mm	-321,	-321,08 mm	-207,55 mm	-239,39 mm	-236,87 mm	-488,48 mm	-238,95 mm
Centroid Y	-17,553 mm	66,154 mm	49,331 mm	36,763 mm	46,639 mm	38,253 mm	48,158 mm	35,597 mm	36,588 mm	-4,448 mm	26,153 mm
Centroid Z	294,74 mm	294,97 mm	85,056 mm	86,323 mm	530, 12 mm	537,01 mm	504,79 mm	503,46 mm	41,823 mm	294,73 mm	294,46 mm
Moment of Inertia Ip1	192,26 kg·mm²	38695 kg·mm²	116,96 kg·mm²	28,442 kg·mm²	1,9291 kg·mm²	0,90359 kg·mm²	116,97 kg·mm²	28,442 kg·mm²	1,8285 kg·mm²	9541,5 kg·mm²	54118 kg·mm²
Moment of Inertia lp2	197,07 kg·mm²	44677 kg·mm²	4439,6 kg·mm²	395,49 kg·mm²	1,7116 kg·mm²	0,62282 kg·mm²	4439,6 kg·mm²	395,49 kg·mm²	0,38801 kg·mm²	13709 kg·mm²	69429 kg·mm²
Moment of Inertia	4,8238 kg·mm²	6019, kg·mm²	4431,5 kg·mm²	372,05 kg·mm²	0,36937 kg·mm²	0,9095 kg·mm²	4431,6 kg·mm²	372,05 kg·mm²	1,5146 kg·mm²	4194,2 kg·mm²	15419 kg·mm²
		0 244		Statistics	stics	380 21			800		
Nodes	3815	1236	10717	0859	935	828	11036	7261	1472	1978	5125
Elements	1771	146	5136	3368	367	399	5290	3704	807	902	2372
Mesh Metric					None						

TABLE 6 Model (A4) > Geometry > Parts

thrust ball

Flexible  Acero1045  Yes  Acero1045  Yes  Acero1045  Yes  Acero1045  Yes  Acero1045  Yes  Acero1045  Acero 6150  A		,		744090 - B, 14, SI, NC, 14_68	Dascollo		naintinaistylietua halininabeteula halinudjoistylietua halinudjoistylietua medaliisiioustylietua	name and out dance and				4
Parallel	State			100 mm			Meshed					Suppressed
Total Interpretation   Total Interpretatio						Graph	ics Properties					
Patientine   Pat	Visible						Yes					2
Patient   Pati	ransparency						-					
Paratic Conclusie System   Paratic Conclusie S	3 9						Definition					
Patient   Pati	Suppressed						No					Yes
Page	Stiffness Behavior						Flexible					
Pace	Coordinate						Default Coordinate Sy	ystem				
Aliminio 606t   ABS   Aliminio 606t   Aceto	Reference						By Environment	N				
Auminio 606 I         ABS         Aluminio 606 I         Auminio 606 I         Acero 1045         Acero 1045         Acero 1550           20, mm         60, 001 mm         100, 001 mm         17, 462 mm         100, 001 mm </td <td>Trootmont</td> <td></td> <td></td> <td></td> <td></td> <td></td> <td>Mono</td> <td></td> <td></td> <td></td> <td></td> <td></td>	Trootmont						Mono					
Albuminio 6061   ABS   Albuminio 6061   ABS   Albuminio 6061   ABS   Albuminio 6061   Abstraction 6061   A	II callifelle						_					
Yes           20, mm         boloods mm         220, mm         300, mm         700, mm         100, mm         100, mm           22, 03 mm         30, 03 mm         38, 167 mm         17,462 mm         14,208 mm         28,485 mm         28,544 mm           22, 03 mm         20,003 mm         38,167 mm         17,462 mm         14,208 mm         28,485 mm         28,544 mm           22, 03 mm         240,47         90,058 mm         485,03 mm         17,462 mm         40,037 mm         25,231 mm         25,231 mm         25,231 mm           440, mm²         66676         89069 mm³         1,284-206         49410 mm³         40,233 mm         155,133 mm         155,133 mm           1,188-03 km         10,161         0,24049 kg         3,4674 kg         0,38787 kg         0,38911 kg         0,12021 kg           21,988 mm         116,13         234,64 mm         223,90 mm         23,467 kg         0,3817 kg         0,143,17 mm         14,91 mm         14,91 mm           21,988 mm         16,13         234,48 mm         224,48 mm         224,48 mm         224,38 mm         14,91 kg mm²         14,91 kg mm²         14,91 kg mm²           21,988 mm         16,13         234,48 mm         224,48 mm         224,38 mm         <	Assignment Alur	minio 6061	ABS	Aluminio 6061				1045	4	Acero	6150	Structural
Yes           20, mm         mm         Founding Box         T00, mm         100,0 mm         38,167 mm         11,1462 mm         14,0 mm         11,284.2e+0.06         49,40 mm         11,284.2e+0.06         49,40 mm         125,230 mm         125,230 mm         125,230 mm         125,230 mm         125,230 mm         125,230 mm         14,14,14,14,14,14,14,14,14,14,14,14,14,1	Nonlinear Effects						Yes					
20, mm         Bounding Box           1,0643 mm         20,003 mm         38,167 mm         300,mm         100,mm         100,mm         100,mm           22,003 mm         1,0643 mm         240,47         90,068 mm         38,167 mm         17,462 mm         14,208 mm         28,485 mm         28,532 mm           22,003 mm         240,4mm         89,068 mm²         1,2842e+006         4941 mm²         47,518 mm         25,321 mm         25,231 mm         25,232 mm           440, mm²         660,7         60,24049 kg         3,4674 kg         0,38787 kg         0,36911 kg         0,12021 kg         154,12 mm²           21,988 mm         116,13         229,484 mm         229,285 mm         225,587 mm         20,974 mm         -14,91 mm         -14,91 mm           4,801 5e-002         33,716         48,69 mm²         56,4,75 mm         20,974 mm         -14,91 mm         -14,91 mm         -14,91 mm           4,801 5e-002         33,716         48,69 mm²         56,475 mm         20,974 mm         -14,91 mm         -14,91 mm         -14,91 mm           4,801 5e-002         33,716         48,69 mm²         56,48 mm²         22,71 kg·m²         287,78 mm         -14,91 mm         -14,91 mm         -14,91 mm           3,698-co	ermal Strain Effects						Yes					
20, mm         90,001 mm         90,001 mm         100, mm						Bo	unding Box					
1,0843 mm         7,6783 mm         23,246 mm         89,167 mm         17,462 mm         14,208 mm         40,37 mm         28,544 mm         28,544 mm           22,003 mm         240,47         mm         440, mm²         485,03 mm         17,2842e+006         49410 mm²         40,07 mm²         25,321 mm         25,321 mm         25,231 mm         25,233 mm         25,233 mm         25,233 mm         15,243 mm         14,391 mm         14,311 mm		20, mm	80,001 mm	90,003 mm	220, mm	300,	mm	700,	mm	100,	mm	850,01 mm
240,47 mm         485,03 mm         486,03 mm         38,03 mm         38,03 mm         485,03 mm         36,283 mm         25,293 mm         25,293 mm           440, mm²         66676 mm³         89069 mm³         1,2842e+006 mm³         4941 mm³         47021 mm³         15412 mm³         15412 mm³           1,188e-03 kg obs. mm²         239,07 mm         239,07 mm         239,07 mm         223,67 mm         223,67 mm         -40,603 mm         -40,603 mm         -40,603 mm         -14,91 mm         -15,917 mm           21,386 mm         116,13         229,48 mm         224,38 mm         226,557 mm         29,785 mm         -14,91 mm         -15,917 mm           21,586 mm         116,13         229,48 mm²         221,38 mm         226,557 mm         220,785 mm         414,95 mm²         -15,917 mm           48018e-002 siss kg·mm²         116,13         229,48 mm²         221,38 mm         221,38 mm         221,38 mm         114,15 mm²         114,15 mm²           48018e-002 siss kg·mm²         116,13         224,84 mm         227,148 mm²         227,148 mm²         114,15 mm²         114,15 mm²           48018e-002 siss kg·mm²         116,46 kg·mm²         13733         228,56 mm         227,14 kg·mm²         227,14 kg·mm²         14976 kg·mm²         14976 kg·mm²         114,4	2.0	0643 mm	7,6783 mm	23,246 mm	38,167 mm	17,46.	2 mm	14,20	8 mm	28,485 mm	28,544 mm	41,657 mm
Hoperties           440, mm³         89069 mm³         1,2842e+006         49410 mm³         47021 mm³         15412 mm³         15412 mm³           1,188e-003 kg         7,001e- 239,07 mm         -239,08 mm         -239,08 mm         -25,557 mm         -29,785 mm         -14,91 mm         -14,91 mm         -15,917 mm           221,08 mm         mm         -239,08 mm         -24,383 mm         -25,557 mm         -29,785 mm         -14,91 mm         -14,91 mm         -15,917 mm           21,988 mm         mm         -239,08 mm         -24,383 mm         -25,557 mm         -29,785 mm         -14,91 mm         -14,91 mm         -15,917 mm           21,988 mm         mm         -28,585 mm         -29,785 mm         -29,785 mm         -14,91 mm         -14,91 mm         -15,917 mm           4,8015e-002 sig mm²         16,13         282,35 mm         22,71 kg·mm²         72,71 kg·mm²         22,135 mm         11,045 kg·mm²         11,045 kg·mm²           8,515e-02 sig mm²         154,06 kg·mm²         13793         2930,1 kg·mm²         2930,2 kg·mm²         15051 kg·mm²         116,48 kg·mm²         116,48 kg·mm²           8,589e-02 sig mm²         1374         5909         7809         2930,2 kg·mm²         14976 kg·mm²         14978 kg·mm²         116,48 kg·mm² </td <td>2000</td> <td>2,003 mm</td> <td>240,47 mm</td> <td>90,058 mm</td> <td>485,03 mm</td> <td>38,03</td> <td>1 mm</td> <td>40,03</td> <td>7 mm</td> <td>25,321 mm</td> <td>25,293 mm</td> <td>550,11 mm</td>	2000	2,003 mm	240,47 mm	90,058 mm	485,03 mm	38,03	1 mm	40,03	7 mm	25,321 mm	25,293 mm	550,11 mm
440, mm³         66676 Fige         89069 mm³         1,2842e+006 mm³         49410 mm³         47021 mm³         15412 mm³         15412 mm³           1,188e-03 kg         700 kg - 0,24049 kg         3,4674 kg         0,3878 kg         0,3878 kg         0,3878 kg         0,3691 kg         0,12021 kg         0,12021 kg           -321,07 mm         -3239,07 mm         -239,08 mm         -239,08 mm         -24,383 mm         -25,557 mm         -29,785 mm         -14,91 mm         -14,91 mm         -15,917 mm           21,968 mm         mm         -30,748 mm         5,5143 mm         -24,383 mm         -25,557 mm         -29,785 mm         -14,91 mm         -14,91 mm         -15,917 mm           535,85 mm         mm         -24,383 mm         5,2143 mm         -24,785 mm         82,053 mm         -14,91 mm         -14,91 mm         -14,91 mm           4,801 5c-02         337,16         154,06 kg·mm²         85,286 mm         72,713 kg·mm²         80,374 kg·mm²         110,45 kg·mm²         110,45 kg·mm²         110,45 kg·mm²           8,751 6c-02         355,57         283,28         283,14 kg·mm²         293,14 kg·mm²         2930,2 kg·mm²         14976 kg·mm²         116,48 kg·mm²         116,48 kg·mm²         116,48 kg·mm²           8,5969 c-002         22,657         13744	<b>1</b> 0 2		82 8			-	Properties					
1,188e-003 kg         7,001e- Tolor Mina         0,24049 kg         3,4674 kg         0,38787 kg         m         -40,503 mm         0,12021 kg         0,12021 kg           231,07 mm         -231,07 mm         -239,07 mm         -239,08 mm         -23,655 mm         -30,374 mm         -14,91 mm         -15,917 mm           21,968 mm         nm         -30,274 mm         -24,383 mm         -25,557 mm         -25,557 mm         -30,374 mm         -14,91 mm         -15,917 mm           535,85 mm         116,13         294,84 mm         292,35 mm         84,69 mm         504,75 mm         114,96 mm         114,96 mm         474,54 mm           4,8015e-002 kg·mm²         337,16 e-002 kg·mm²         286,77         2977,3 kg·mm²         2977,4 kg·mm²         15051 kg·mm²         114,15 kg·mm²         114,15 kg·mm²           8,7516e-002 kg·mm²         kg·mm²         13733         2930,1 kg·mm²         2930,2 kg·mm²         14976 kg·mm²         114,15 kg·mm²         114,15 kg·mm²           3,6839e-002 kg·mm²         kg·mm²         1374         2930,1 kg·mm²         2930,2 kg·mm²         14976 kg·mm²         114,15 kg·mm²         116,48 kg·mm²           3,6839e-002 kg·mm²         kg·m²         1374         5909         7809         8030         8030         14976 kg·mm²         14976 kg·mm	2000	40, mm³	66676 mm³	89069 mm³	1,2842e+006 mm³	49410	) mm³	4702	l mm³	15412	: mm³	1,8664e+007 mm³
-231,07 mm         -239,08 mm         -239,08 mm         -234,38 mm         -30,574 mm         -30,974 mm         -314,91 mm         -334,38 mm           21,968 mm         18,153 mm         17,653 mm         5,5143 mm         -24,383 mm         -25,557 mm         -29,785 mm         -14,91 mm         -14,91 mm         -15,917 mm           535,85 mm         116,13 mm         294,84 mm         292,35 mm         504,75 mm         82,053 mm         507,35 mm         11,045 kg·mm         474,54 mm           4,8015e-002         337,16 kg·mm²         154,06 kg·mm²         127,71 kg·mm²         1507,4 kg·mm²         15051 kg·mm²         110,45 kg·mm²         110,43 kg·mm²           8,7516e-002         359,25 kg·mm²         13793         2930,1 kg·mm²         2930,2 kg·mm²         14976 kg·mm²         116,45 kg·mm²         116,45 kg·mm²           3,9699e-002         22,657         154,06 kg·mm²         13793         2930,1 kg·mm²         2930,2 kg·mm²         14976 kg·mm²         116,48 kg·mm²         116,45 kg·mm²           48 mm²         154,06 kg·mm²         1374         5909         7809         8054         5168         4806         3847         3576           315         3372         1861         1861         4033         1455         2195         2026         <	Mass 1,18	38e-003 kg	7,001e- 002 kg	0,24049 kg	3,4674 kg	0,3878	87 kg	0,369	11 kg	0,120	21 kg	146,51 kg
21,968 mm         18,153 mm         17,653 mm         5,5143 mm         -24,383 mm         -25,557 mm         -29,785 mm         -30,974 mm         -14,91 mm         -15,917 mm           535,85 mm         116,13 mm         294,84 mm         292,35 mm         504,75 mm         82,053 mm         507,35 mm         110,45 kg·mm²         474,54 mm           4,8015e-002 signing kg·mm²         154,06 kg·mm²         157,14 kg·mm²         150,13 kg·mm²         150,51 kg·mm²         110,45 kg·mm²         110,45 kg·mm²         110,43 kg·mm²           8,7516e-002 signing kg·mm²         22,657 kg·mm²         29877 signing²         2930,1 kg·mm²         2930,2 kg·mm²         14976 kg·mm²         116,48 kg·mm²         116,48 kg·mm²           1,5699e-002 signing kg·mm²         1,567         22,657         14978 kg·mm²         14978 kg·mm²         116,48 kg·mm²         116,48 kg·mm²           1,5999e-002 signing kg·mm²         1,590         1,590         1,891         1,9978 kg·mm²         116,48 kg·mm²         116,48 kg·mm²           1,5699e-002 signing kg·mm²         1,590         1,590         1,590         1,792         1,792           1,5699e-002 signing kg·mm²         1,891         1,792         1,792         1,792         1,792		21,07 mm		-239,07 mm	-239,08 mm	-238,8	5 mm	-40,50	3 mm	-334,3	8 mm	-109,18 mm
535,85 mm         116,13 mm         292,35 mm         84,69 mm         504,75 mm         82,053 mm         507,35 mm         114,96 mm         474,54 mm           4,80156-002         337,16 kg·mm²         154,06 kg·mm²         72,71 kg·mm²         72,713 kg·mm²         15051 kg·mm²         11,045 kg·mm²         11,045 kg·mm²         11,045 kg·mm²           8,7516-002         359,25         281,65 kg·mm²         98677         2977,3 kg·mm²         2930,2 kg·mm²         14976 kg·mm²         116,48 kg·mm²         116,48 kg·mm²         116,48 kg·mm²           3,9696-002         22,657         kg·mm²         2930,2 kg·mm²         2930,2 kg·mm²         14976 kg·mm²         116,48 kg·mm²         116,48 kg·mm²           3,9696-002         3,569         3744         5909         7809         8054         5168         4806         3847         3576           315         1861         1861         1861         1960         1792         1792	200.00	1,968 mm	18,153 mm	17,653 mm	5,5143 mm	-24,383 mm	-25,557 mm	-29,785 mm	-30,974 mm	-14,91 mm	-15,917 mm	-54,177 mm
4,801 Se-Ou2 Hours         337,16 Hours         154,06 kg·mm²         85286 Hours         72,71 kg·mm²         72,713 kg·mm²         72,713 kg·mm²         72,713 kg·mm²         72,713 kg·mm²         15,051 kg·mm²         11,045 kg·mm²         11,045 kg·mm²         11,043 kg·mm²           8,7516e-002 Horm         359,25 kg·mm²         286,73 kg·mm²         2977,3 kg·mm²         2930,2 kg·mm²         14976 kg·mm²         114,15 kg·mm²         114,15 kg·mm²         114,12 kg·mm²           3,9699e-002 Rg·mm²         154,06 kg·mm²         4330,1 kg·mm²         2930,2 kg·mm²         14976 kg·mm²         116,48 kg·mm²         116,48 kg·mm²         116,45 kg·mm²           3,699a-002 Rg·mm²         3374         5909         7809         8054         5168         4806         3847         3576           310         1861         1861         1861         1860         1792         1792		35,85 mm	116,13 mm	294,84 mm	292,35 mm	84,69 mm	504,75 mm	82,053 mm	507,35 mm	114,96 mm	474,54 mm	294,64 mm
8/7516e-002         359,25         281,65 kg·mm²         98677 kg·mm²         2977,3 kg·mm²         2977,4 kg·mm²         15051 kg·mm²         15052 kg·mm²         114,15 kg·mm²         114,15 kg·mm²         114,12 kg·mm²           3,9699e-002         22,657         kg·mm²         13793         2930,1 kg·mm²         2930,2 kg·mm²         14976 kg·mm²         116,48 kg·mm²         116,48 kg·mm²         116,48 kg·mm²         116,45 kg·mm²           kg·mm²         kg·mm²         3374         5909         7809         8054         5168         4806         3847         3576           36         3372         1861         1861         3101         4033         4155         2195         2026         1960         1792		3015e-002 kg·mm²	337,16 kg·mm²	154,06 kg·mm²	85286 kg·mm²	72,71 kg·mm²	72,713 kg·mm²	696,369	kg-mm²	11,045 kg·mm²	11,043 kg·mm²	3,7075e+006 kg·mm²
3,9699e-002         22,657         154,06 kg·mm²         13793         2930,1 kg·mm²         2930,2 kg·mm²         14976 kg·mm²         14978 kg·mm²         116,48 kg·mm²         116,45 kg·mm²         116,45 kg·mm²           kg·mm²         kg·mm²         kg·mm²         statistics         statistics         statistics         statistics           315         6329         3744         5909         7809         8054         5168         4806         3847         3576           36         3372         1861         1861         1960         1792         1792		7516e-002 kg·mm²	359,25 kg·mm²	281,65 kg·mm²	98677 kg·mm²	2977,3 kg·mm²	2977,4 kg·mm²	15051 kg·mm²	15052 kg·mm²	114,15 kg·mm²	114,12 kg·mm²	1,2495e+007 kg·mm²
Statistics         Statistics           315         6329         7809         7809         8054         5168         4806         3847         3576           36         3372         1861         3101         4033         4155         2195         2026         1960         1792		3699e-002 kg·mm²	22,657 kg·mm²	154,06 kg·mm²	13793 kg·mm²	2930,1 kg·mm²	2930,2 kg·mm²	14976 kg·mm²	14978 kg·mm²	116,48 kg·mm²	116,45 kg·mm²	8,8269e+006 kg·mm²
315         6329         3744         5909         7809         8054         5168         4806         3847         3576           36         3372         1861         3101         4033         4155         2195         2026         1960         1792	5) 3	1 3	0. 5				Statistics					40
36 3372 1861 3101 4033 4155 2195 2026 1960 1792 T	Nodes	315	6329	3744	6069	7809	8054	5168	4806	3847	3576	0
	Elements	36	3372	1861	3101	4033	4155	2195	2026	1960	1792	0

TABLE 7

Model (A4) > Materials

Object Name | Materials

State | Fully Defined

Statistics

# Material Assignments

## Coordinate Systems

Project\*

TABLE 8
Model (A4) > Coordinate Systems > Coordinate System

Object Name	Object Name   Global Coordinate System
State	Fully Defined
Def	Definition
Type	Cartesian
Coordinate System ID	0,
0	Origin
Origin X	0, mm
Origin Y	0, mm
Origin Z	0, mm
Directio	Directional Vectors
X Axis Data	[1,0,0,]
Y Axis Data	[0,1,0,]
Z Axis Data	[0,0,1,]
Transfe	Transfer Properties
Source	
Read Only	No

Connections

TABLE 10 Model (A4) > Connections > Contacts

Object Name	Contacts
State	Fully Defined

	Contact		Scoping Method Geometry Selection	All Bodies	ion	Slider	0,	2,7423 mm	No	Yes	75, °	₽	Include	No	No No	Include All	Bodies	Bodies		42	42
Definition	Connection Type	Scope	Scoping Method	Geometry	Auto Detection	Tolerance Type	Tolerance Slider	Tolerance Value	Use Range	Face/Face	Face-Face Angle Tolerance	Face Overlap Tolerance	Cylindrical Faces	Face/Edge	Edge/Edge	Priority	Group By	Search Across	Statistics	Connections	Active Connections

TABLE 11 Model (A4) > Connections > Contacts > Contact Region:

					Model (A4) > Con	Model (A4) > Connections > Contacts > Contact Regions	> Contact Regions				
Object Name	Contact Region 32	Contact Region 34	Contact Region 35	Contact Region 37	Contact Region 38	Contact Region 40	Contact Region 41	Contact Region 42	Contact Region 43	Contact Region 44	Contact Region 45
State						Fully Defined	ned				
						Scope					
Scoping Method						Geometry Selection	election				
Contact	4 Faces		1 F	1 Face		3 Faces	ces	1 Face		12 Faces	7 Faces
Target	8 Faces		1F	1 Face			3 Faces	ces		11 Faces	2 Faces
Contact Bodies				UnionMecanismos	smos			Pieza1^AjusteLONG	ONG	Simetreda33RailArribalzq	ribalzq
Target Bodies	BaseGiro	RailArribalzquierda	RailArribaDerecha	RailAbajolzquierda	RailAbajoDerecha	Mecanismolzquierda	MecanismoDerecha	Target BaseGiro RailArribalzquierda RailAbribaDerecha RailAbajolzquierda RailAbajolzquierda RailAbajolzquierda Mecanismolzquierda Mecanismolzquierda Mecanismolzquierda Mecanismolzquierda Simetreda33RailArribalzq Simetreda33RailArribalzq Simetreda33RailAbajolzq BaseSuperior	33RailArribalzq	Simetreda33RailAbajolzq	BaseSuperior
Protected						2					
	2 33					Definition					
Type						Bonded	P				
Scope						Automatic	tic				
Behavior						Program Controlled	ntrolled				
Trim Contact						Program Controlled	ntrolled				
Trim Tolerance						2,7423 mm	mı				
Contact APDL Name											
Target APDL Name											

Suppressed					No Display	0					
Normals					9	Q					
2 20					Advanced						
Formulation					Program Controlled	Controlled					
Sliding					Program Controlled	Controlled					
Detection Method					Program Controlled	Sontrolled					
Penetration Tolerance					Program Controlled	Sontrolled					
Elastic Slip Tolerance					Program Controlled	Sontrolled					
Normal Stiffness					Program C	Program Controlled					
Update Stiffness					Program Controlled	Controlled					
Pinball					Program Controlled	Controlled					
				-S	Geometric Modification	ation					
Contact Geometry Correction					None	ne					
Target Geometry Correction					None	пе					
Object Name	e Contact Region 46	Contact Region	Contact Regio	del (A4) > Conne Contact Region 49	TABLE 12 ections > Contac Contact Region 50	Model (A4) > Connections > Contacts > Contact Regions    Contact Region   Contact Region   Contact Region   So	gions Contact Region 52	Contact Region 53	Contact Region 54	Contact Region 55	Contact Region 56
State	(1)		3		1 1	Fully Defined					
Sconing Method	-				adose	Geometry Selection					
Contact	1 5 Faces	13 Faces	15 Faces	5 Faces		1 Face		13 Faces	7 Faces	5 Faces	4 Faces
Target		10 Faces	13 Faces	4 Faces	3 Faces		1 Face	12 Faces		2 Faces	
Contact Bodies	Contact Bodies Simetreda33RailAbajolzq		boton			Carcasa		33Rail	33RailArribalzq	33RailAbajolzq	Cllindro
Target Bodies	s BaseSuperior	Carcasa	33RailArribalzq	33RailA	33RailAbajoIzq		BaseSuperior	33RailAbajolzq		BaseSuperior	
Protected	70				Definition	No No					
Type	0)					Bonded					
Scope Mode	d)					Automatic					
Behavior	_				Proc	Program Controlled					
Trim Contact	t				Proc	Program Controlled					
Trim Tolerance	d)					2,7423 mm					
Contact APDL Name	93										
Suppressed						No.					
					Display						
Element Normals	(5)					No					
					Advanced						
Formulation					P. P. C.	Program Controlled					
Small Sliding	-				Ď.	Program Controlled					

										Contact Region 67				1 Face		BaseGiro	RailArribalzquierda																					
										Contact Region 66				7 Faces	3 Faces	thrust ball bearing 68 isowds ISO 104 - 744090 - B.14.SI,NC.14 68	BaseGiro																					
										Contact Region 65				16 Faces	9 Faces	Pasador t																						
										Contact Region 64				2 Faces	3 Faces																							
Program Controlled	Program Controlled	Program Controlled	Program Controlled	Program Controlled	Program Controlled	Geometric Modification	None	None	TABLE 13 (A4) > Connections > Contact Regions	Contact Region 63	Fully Defined	Scope	Geometry Selection	7 Faces	13 Faces	BaseSuperior	thrust ball bearing_68_isowds_ISO 104 - 744090 - B 14 SI NC 14_68	No	Definition	Bonded	Automatic	Program Controlled	Program Controlled	2,7423 mm			No	play	No	Advanced	Program Controlled	Program Controlled	Program Controlled	Program Controlled	Program Controlled	Program Controlled	Program Controlled	
						Geometric			TABI	Contact Region 62		Scc	O	3 Faces	5 Faces		Pasador t		Defir				ш.					Display		Adva		_	L.	ш			L	
									Model (A4) > Co	Contact Region 61				1 Face	1 Face		BaseSuperior																					
									ν	Contact Region 59 Contact Region 60	***			3 Faces	3 Faces	Palanca	Mecanismolzquierda MecanismoDerecha																					
										Contact Region 58				2 Faces	2 Faces	dro	BaseGiro																					
/lethod	erance	erance	iffness	iffness	Region		Gorrection	Geometry		Contact Region 57	- I			1 Face	6 Faces	Cllindro	Pasador																					
Detection Method	Penetration Tolerance	Elastic Slip Tolerance	Normal Stiffness	Update Stiffness	Pinball Region		Contact Geometry	Target Geometry Correction		Object Name	State		Scoping	Contact	Target	Contact Bodies	Target Bodies	Protected		Type	Scope Mode	Behavior	Trim Contact	Trim Tolerance	Contact APDL Name	Target APDL Name	Suppressed		Element		Formulation	Small Sliding	Detection Method	Penetration Tolerance	Elastic Slip Tolerance	Normal	Update Stiffness	

Pinball Region   Program Controlled	Geometric Modification		Geometry	Correction	Target	Geometry None	
-------------------------------------	------------------------	--	----------	------------	--------	---------------	--

TABLE 14
Model (A4) > Connections > Contacts > Contact Regions

			Model (A4) >	Model (A4) > Connections > Contacts > Contact Regions	ntacts > Contact Reg	ions			
Object Name	Object Name   Contact Region 68	Contact Region 69	Contact Region 70	Contact Region 71	Contact Region 72	Contact Region 73	Contact Region 70   Contact Region 71   Contact Region 72   Contact Region 73   Contact Region 74	Contact Region 75	Contact Region 76
State					Fully Defined				
				Scope					
Scoping Method					Geometry Selection				
Contact		1 Face		16 Faces	5 Faces	15 Faces	5 Faces	4 Faces	5 Faces
Target	3 Faces	2 Faces	ses	12 Faces	5 Faces	12 Faces	5 Faces	6 Faces	7 Faces
Contact Bodies		BaseGiro		RailArrib	RailArribalzquierda	RailArrib	RailArribaDerecha	RailAbajolzquierda	RailAbajoDerecha
Target Bodies	RailArribaDerecha	Target Bodies   RailArribaDerecha   Mecanismolzquierda   Mecanisn		RailAbajolzquierda	Mecanismolzquierda	RailAbajoDerecha	MecanismoDerecha	ıoDerecha RailAbajolzquierda Mecanismolzquierda RailAbajoDerecha MecanismoDerecha Mecanismolzquierda MecanismoDerecha	MecanismoDerecha
Protected					No				
				Definition	E				
Type					Bonded				
Scope Mode					Automatic				
Behavior					Program Controlled				
Trim Contact					Program Controlled				
Trim Tolerance					2,7423 mm				
Contact APDL Name									
Target APDL Name									
Suppressed					No				
				Display					
Element Normals					No				
				Advanced	P				
Formulation					Program Controlled				
Small Sliding					Program Controlled				
Detection Method					Program Controlled	*********			
Penetration Tolerance					Program Controlled				
Elastic Slip Tolerance					Program Controlled				
Normal Stiffness					Program Controlled				
Update Stiffness					Program Controlled				
Pinball Region					Program Controlled	***********			
				Geometric Modification	ification				
Contact Geometry Correction					None				
Target Geometry Correction					None				

Mesh

Model (A4) > Mesh
Object Name Mesh
State Solved
Display
Display Style Use Geometry Setting
Defaults

Element Order Program Controlled

Default

Element Size

Mechanical

Physics Preference

Project\*

Yes Default (2)

Use Adaptive Sizing

Sizing

Resolution

Default

Mesh Defeaturing Defeature Size Transition Span Angle Center Initial Size Seed

Fast

07/06/2025

Inflation Element Type	Wedges
View Advanced Options	No
Advanced	
Number of CPUs for Parallel Part Meshing	Program Controlled
Straight Sided Elements	No
Rigid Body Behavior	Rigid Body Behavior Dimensionally Reduced
Triangle Surface Mesher	Program Controlled
Topology Checking	Yes
Pinch Tolerance	Please Define
Generate Pinch on Refresh	No
Statistics	
Nodes	100570
Elements	48796
Show Detailed Statistics	No

Mesh Quality Yes, Errors
Error Limits Aggressive Mechanical
ment Quality Default (5,e-002)

Check Mesh Quality

Quality

Medium

Target Element Quality
Smoothing

None

Mesh Metric

Smooth Transition 0,272

Maximum Layers
Growth Rate
Inflation Algorithm

None

Use Automatic Inflation

Inflation

Inflation Option Transition Ratio

1735,7 mm² 3,5355e-002 mm

Bounding Box Diagonal Average Surface Area Minimum Edge Length

Coarse Assembly 1096,9 mm

Model (A4) > Analysis Object Name | Static Structural (A5) Analysis Type Static Structural Solver Target Mechanical APDL Structural Solved Definition **TABLE 16** State Physics Type

Static Structural (A5)

invironment Temperature 22, °C	Generate Input Only No
--------------------------------	------------------------

TABLE 17
Model (A4) > Static Structural (A5) > Analysis Settings

٩	ŧ	
7	۳	
٠,	_	۰
	Ċ	۵
	٥	
۰	-	
	C	0
ı	٤	4
٢	1	-

None		No	Program Controlled	Yes	No	Active System	mmn
Future Analysis	Scratch Solver Files Directory	Save MAPDL db	Contact Summary	Delete Unneeded Files	Nonlinear Solution	Solver Units	Solver Unit System

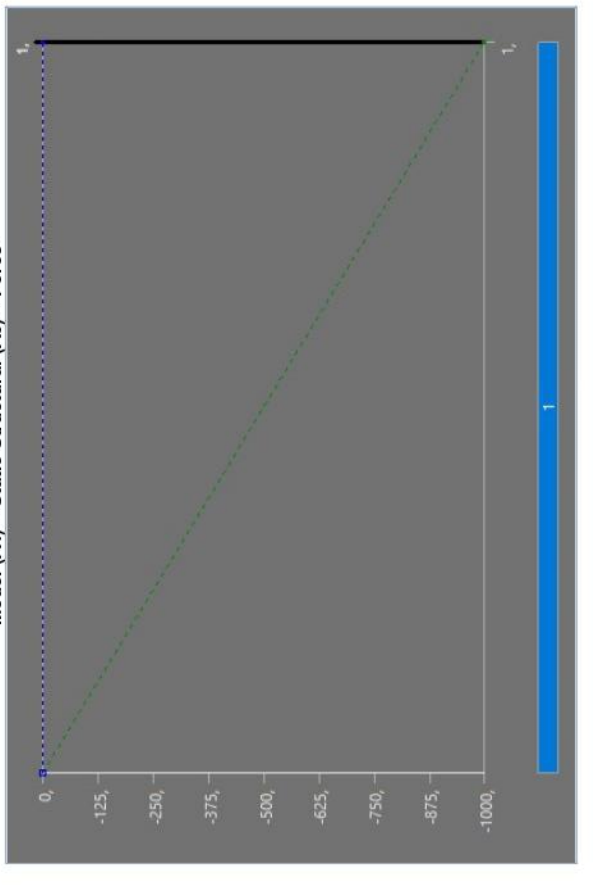
TABLE 18

Model (A4) > Static Structural (A5) > Loads

Object Name | Fixed Support | Force

Scope Geor Z Faces Definition Fixed Support	State		Fully Defined
George States  Definition Fixed Support		Scope	
2 Faces  Definition Fixed Support	Scoping Method	Geo	metry Selection
Definition Fixed Support	Geometry	2 Faces	1 Face
Fixed Support		Definition	
	Type	Fixed Support	Force
	Suppressed		No
	Define By		Components
	Applied By		Surface Effect
	oordinate System		Global Coordinate System
	X Component		0, N (ramped)
	Y Component		-1000, N (ramped)
	Z Component		0, N (ramped)

FIGURE 1 Model (A4) > Static Structural (A5) > Force



Project\*

TABLE 19
Model (A4) > Static Structural (A5) > Solution
Object Name | Solution (A6)

Object Name   Solution (Ab)	Solution (Ab)
State	Solved
Adaptive Mesh Refinement	nement
Max Refinement Loops	<b>1</b>
Refinement Depth	2,
Information	
Status	Done
MAPDL Elapsed Time	18, s
MAPDL Memory Used	2,1797 GB
MAPDL Result File Size	38, MB
Post Processing	Bu
Beam Section Results	No
On Demand Stress/Strain	9

TABLE 20
Model (A4) > Static Structural (A5) > Solution (A6) > Solution Information
Object Namel Solution Information

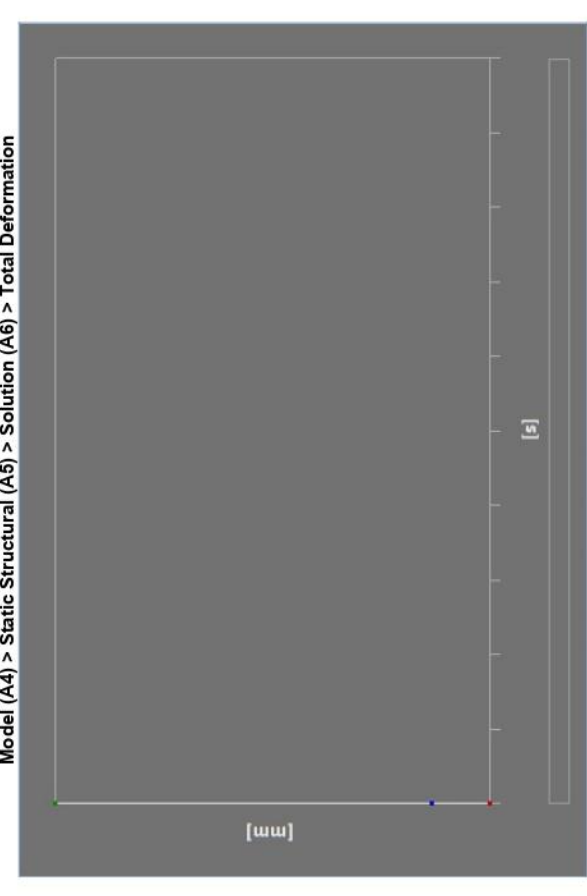
Object Name   Solution Information	Solved	mation	t Solver Output	0	0 8	1 2,5 s	S All	Visibility	/ Yes	y All FE Connectors	o All Nodes	r   Connection Type	s No	Single	lines
Object Name	State	Solution Information	Solution Output	Newton-Raphson Residuals	Identify Element Violations	Update Interval	Display Points	FE Connection Visibility	Activate Visibility	Display	Draw Connections Attached To	Line Color	Visible on Results	Line Thickness	Pisplay Type

TABLE 21 Model (A4) > Static Structural (A5) > Solution (A6) > Results

Object Name   Total Deformation   Equivalent Stress	Solve	Scope	Geometry Selection	All Bodies	Definition	Total Deformation   Equivalent (von-Mises) Stress	Time	Last	No	Yes		No	Results	
Object Name   Total Deformation	State		Scoping Method	Geometry		Type	By	Display Time	Separate Data by Entity	Calculate Time History	Identifier	Suppressed		

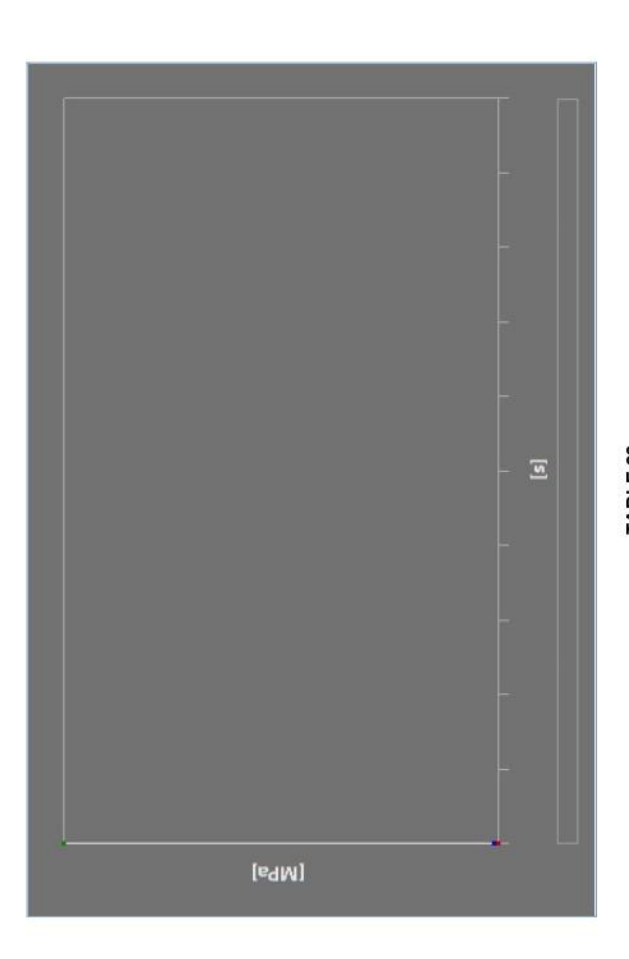
a				w_								
6,1502e-010 MPa	150,86 MPa	1,6862 MPa	Cllindro	33RailArribalzq		1,s	1	-	1	lts	Averaged	No No
0, mm	0,19763 mm	2,619e-002 mm	RailAbajolzquierda	Pieza1^AjusteLONG	Information					Integration Point Results	8	
Minimum	Maximum	Average	Minimum Occurs On RailAbajolzquierda	Maximum Occurs On Pieza1^AjusteLONG		Time	Load Step	Substep	Iteration Number		Display Option	Average Across Bodies

FIGURE 2 Model (A4) > Static Structural (A5) > Solution (A6) > Total Deformation



| Model (A4) > Static Structural (A5) > Solution (A6) > Total Deformation | Time [s] | Minimum [mm] | Maximum [mm] | Average [mm] | 1, 0, 0,19763 | 2,619e-002

FIGURE 3 Model (A4) > Static Structural (A5) > Solution (A6) > Equivalent Stress



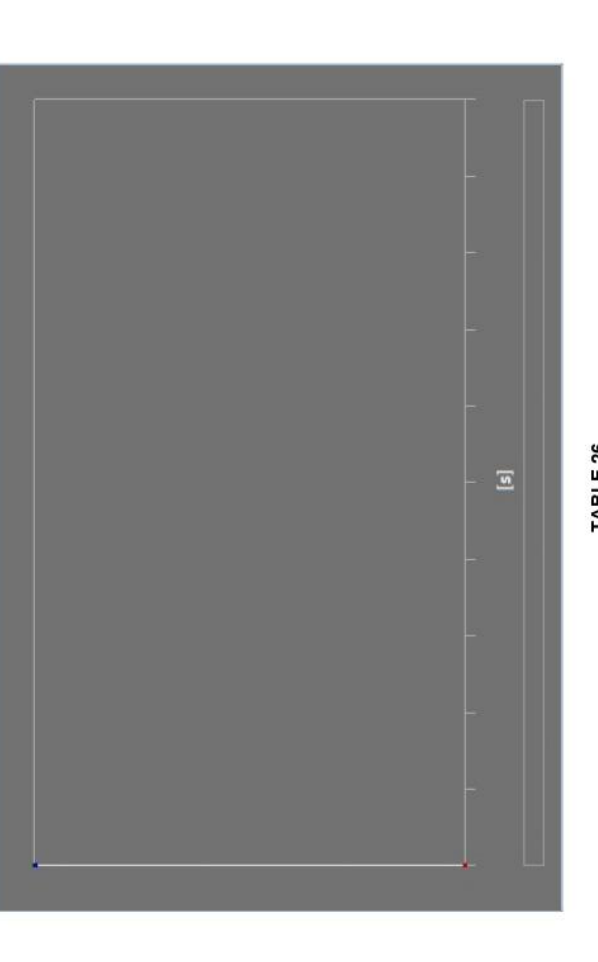
| Model (A4) > Static Structural (A5) > Solution (A6) > Equivalent Stress | Time [s] | Minimum [MPa] | Maximum [MPa] | Average [MPa] | 1,61502e-010 | 150,86 | 1,6862

Theory Max Equivalent Stress
Stress Limit Type Tensile Yield Per Material Definition

Model (A4) > Static Structural (A5) > Solution (A6) > Stress Tool > Results
Object Name Safety Factor
State Solved Scoping Method Geometry Selection Safety Factor Time All Bodies Last No Yes 2 Integration Point Results Geometry Definition Scope Type By Separate Data by Entity
Calculate Time History
Identifier Display Time Suppressed

Averaged	No		2,0549	33RailArribalzq	on	1, s	-	-	-
Display Option	Average Across Bodies	Results	Minimum	Minimum Occurs On	Information	Time	Load Step	Substep	Iteration Number

FIGURE 4 Model (A4) > Static Structural (A5) > Solution (A6) > Stress Tool > Safety Factor



 Model (A4) > Static Structural (A5) > Solution (A6) > Stress Tool > Safety Factor

 Time [s]
 Minimum
 Maximum
 Average

 1,
 2,0549
 15,
 14,956

# **Material Data**

Aluminio 6061

TABLE 27
Aluminio 6061 > Constants
Density | 2,7e-006 kg mm^-3

TABLE 28 Aluminio 6061 > Isotropic Elasticity

on's Katio Bu	ons katio bulk Mod
0,33	.33 67647

Aluminio 6061 > Tensile Yield Strength
Tensile Yield Strength MPa TABLE 29

258,

Aluminio 6061 > Tensile Ultimate Strength
Tensile Ultimate Strength MPa

300

Aluminio 6061 > Color Red Green Blue 76, 186, 255,

Acero1045

TABLE 32
Acero1045 > Constants
Density | 7,85e-006 kg mm^-3

Acero1045 > Color
Red Green Blue 255, 95, 56, Acero1045 > TABLE 34
Acero1045 > Tensile Ultimate Strength
Tensile Ultimate Strength MPa

TABLE 35 Acero1045 > Tensile Yield Strength Tensile Yield Strength MPa 310,

TABLE 36
Acero1045 > Isotropic Elasticity
Young's Modulus MPa | Poisson's Ratio | Bulk Modulus MPa | Shear Modulus MPa | Temperature C 1,75e+005 0,3 2,1e+005

Acero 6150

**Acero 6150 > Constants**Density | 7,8e-006 kg mm^-3 **TABLE 37** 

TABLE 38

Acero 6150 > Isotropic Elasticity
Young's Modulus MPa | Poisson's Ratio | Bulk Modulus MPa | Shear Modulus MPa | Temperature C

Structural Steel > Constants	Constants
Density	7,85e-006 kg mm^-3
Coefficient of Thermal Expansion	1,2e-005 C^-1
Specific Heat	Specific Heat 4,34e+005 mJ kg^-1 C^-1
Thermal Conductivity	Thermal Conductivity 6,05e-002 W mm^-1 C^-1
Resistivity	1,7e-004 ohm mm

78846 Acero 6150 > Tensile Yield Strength

Tensile Yield Strength MPa 1,7083e+005 1000, 0,3

2,05e+005

Project\*

Acero 6150 > Table 40
Acero 6150 > Tensile Ultimate Strength
Tensile Ultimate Strength MPa 1145,

Acero 6150 > Color Red Green Blue 251, 43, 255,

TABLE 42 ABS > Constants

ABS

Density | 1,05e-006 kg mm^-3

TABLE 43
ABS > Isotropic Elasticity
Young's Modulus MPa | Poisson's Ratio | Bulk Modulus MPa | Shear Modulus MPa | Temperature C 766,42 2692,3 0,37

TABLE 44
ABS > Tensile Yield Strength
Tensile Yield Strength MPa 32, ABS > Tensile Ultimate Strength
Tensile Ultimate Strength MPa

 TABLE 46

 ABS > Color

 Red Green Blue

 184, 255, 86,

Structural Steel

Strength Coefficient MPa | Strength Exponent | Ductility Coefficient | Ductility Exponent | Cyclic Strength Coefficient MPa | Cyclic Strain Hardening Exponent | Cyclic Strength Cyclic Strain Hardening Exponent | Cyclic Strain Alternating Stress MPa | Cycles | Mean Stress MPa TABLE 55 Structural Steel > Strain-Life Parameters TABLE 54 Structural Steel > S-N Curve 1,e+005 2,e+005 1,e+006 200, 2000, 10000 20000 5 5 5 3999, 1896, 1413, 1069, 262, 214, 1138, 114, 86,2 2827

Structural Steel > Isotropic Secant Coefficient of Thermal Expansion | Zero-Thermal-Strain Reference Temperature C

Structural Steel > Tensile Ultimate Strength

**TABLE 52** 

Tensile Ultimate Strength MPa

TABLE 56
Structural Steel > Isotropic Elasticity
Young's Modulus MPa | Poisson's Ratio | Bulk Modulus MPa | Shear Modulus MPa | Temperature C 1,6667e+005 0,3 2,e+005 07/06/2025

Structural Steel > Compressive Ultimate Strength

**TABLE 49** 

Structural Steel > Color Red Green Blue 132, 139, 179, Compressive Ultimate Strength MPa

Structural Steel > Compressive Yield Strength
| Compressive Yield Strength MPa

250,

Structural Steel > Tensile Yield Strength
Tensile Yield Strength MPa

250,

Structural Steel > Isotropic Relative Permeability
Relative Permeability
10000

Soluciones Innovadoras para la Movilidad: Asiento de Copiloto Adaptado para Personas con Movilidad Reducida Alonso Parra Fernández

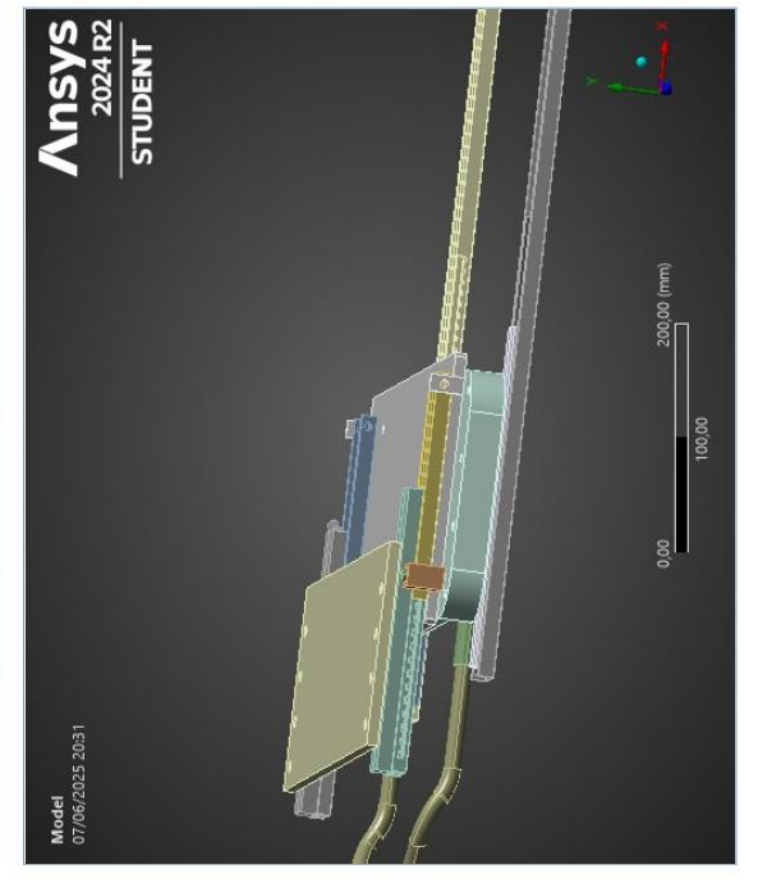


ANEXO 4. Simulación ANSYS – Carga axial en asiento extendido | Ensayo 4.9.2



### **Project**

Last Saved Product Version	Last Saved Monday, May 19, 2025 uct Version 2024 R2
Save Project Before Solution	No
Save Project After Solution	No



### Contents

Project

• Units

Model (A4)

 Geometry Import (A3) Geometry Imports

o Geometry

Parts

Materials
 Coordinate Systems
 Connections

Contacts

Contact Regions

o Mesh

Static Structural (A5)

Analysis Settings

Solution (A6)
 Solution Information
 Results

Stress Tool
 Safety Factor

Material Data

Aluminio 6061
 Acero1045
 Acero 6150
 ABS

Units

TABLE 1

Juit System   Metric (mm, kg, N, s, mV, mA) Degrees rad/s Celsius	Angle Degrees	tational Velocity rad/s	emperature Celsius
Uni		Rotational	Tem

### Model (A4)

Model (A4) > Geometry Imports
Object Name Geometry Imports
State Solved

TABLE 3
Model (A4) > Geometry Import (A3)
Geometry Import (A3)

	Geometry Import (A3)	Solved	Definition	
-	Object Name	State		

Source   C:\Users\alonp\OneDrive\Escritorio\4º ing\TFG\ansys\AsExtendido_files\dp0\SYS\DM\SYS.agdb	DesignModeler	Basic Geometry Options	Independent		Advanced Geometry Options	No	3-D
Source	Type	1 4	Parameters	Parameter Key		Compare Parts On Update	Analysis Type

Geometry

TABLE 4	A4) > Geometry
4	eome
ZE,	٥
ĭ	(A4)
	Model

A Promise	- marine
Object Name	Geometry
State	Fully Defined
	Definition
Source	Source   C:\Users\alonp\OneDrive\Escritorio\4º ing\TFG\ansys\AsExtendido_files\dp0\SYS\DM\SYS.agdb
Type	DesignModeler
Length Unit	Meters
Element Control	Program Controlled
Display Style	Body Color
	Bounding Box
Length X	920,16 mm
Length Y	146,79 mm
Length Z	578,74 mm
	Properties
Volume	4,1136e+006 mm³
Mass	13,33 kg
Scale Factor Value	1,
	Statistics
Bodies	22
Active Bodies	21
Nodes	100114
Elements	48598
Mesh Metric	None
	Update Options
Assign Default Material	No
100	Basic Geometry Options
Parameters	Independent
Parameter Key	
Attributes	Yes
Attribute Key	
Named Selections	Yes
Named Selection Key	
Material Properties	Yes
the contract of the contract	Advanced Geometry Options
Use Associativity	Yes
Coordinate Systems	Yes
Coordinate System Key	
Reader Mode Saves Updated File	No
Use Instances	Yes
Smart CAD Undata	Voc

Mec
Mecanismolzquierda
RailAbajoDerecha   N
RailAbajoIzquierda
RailArribaDerecha
Rail Arribalz quierda   F
BaseGiro
thrust ball bearing_68_isowds_ISO 104 -
Pasador
BaseSuperior
Object Name

file:///C:/Users/alonp/AppData/Roaming/Ansys/v242/Mechanical Report4/Mechanical Report.htm

Source No None Yes Yes 9 GE Compare Parts On Update Import Facet Quality
Clean Bodies On Import
Stitch Surfaces On Import Analysis Type Decompose Disjoint Geometry Enclosure and Symmetry Processing

Model (AA) > Canada

Object Name	UnionMecanismos	Pieza1"AiusteLONG	Object Name   UnionMecanismos   Pieza1^AiusteLONG   Simetreda33RailArribalzg   Simetreda33RailAbaiolzg	Simetredassicaliabaloizo	DOTO	29/2929	335 all A 110 a 120 a 335 a 1 A Dal O Z O	33KallAD4l0/20		במומונים	
State											
				Graphics Properties	roperties						
Visible					Yes						
Transparency					1						
				Definition	tion						
Suppressed					%						
Stiffness Behavior					Flexible						
Coordinate System				Def	Default Coordinate System	System					
Reference					By Environment	ţ					
Treatment					None						
				Material							
Assignment	Alumi	Aluminio 6061	Acerc	Acero1045	Acero 6150	ABS	Acero1045	1045	ABS	Alumin	Aluminio 6061
Nonlinear Effects					Yes						
Thermal Strain Effects					Yes						
				Bounding Box	ng Box						
Length X	32,997 mm	180, mm	250, mm	200, mm	15, mm	20,005 mm	250, mm	200, mm	19,068 mm	312,65 mm	240, mm
Length Y	24,066 mm	11,311 mm	28,107 mm	14,138 mm	18,036 mm	32,059 mm	28,107 mm	14,138 mm	45,109 mm	36,294 mm	40,718 mm
Length Z	382,01 mm	460,03 mm	38,031 mm	40,037 mm	49,503 mm	20,089 mm	38,034 mm	40,037 mm	40,063 mm	373,02 mm	487,08 mm
				Properties	rties						
Volume	5846,8 mm³	8,2172e+005 mm³	1,0183e+005 mm³	14266 mm³	1228,7 mm³	5896,5 mm³	1,0183e+005 mm³	14266 mm³	5712,9 mm <sup>3</sup>	1,5621e+005 mm³	1,2207e+006 mm³
Mass	1,5786e-002 kg	2,2186 kg	0,79933 kg	0,11198 kg	9,5841e-003 kg	6,1913e-003 kg	0,79933 kg	0,11198 kg	5,9985e-003 kg	0,42177 kg	3,296 kg
Centroid X	-278,5 mm	-382,02 mm	-363,56 mm	-239,39 mm	-321,0	-321,08 mm	-363,56 mm	-239,39 mm	-236,87 mm	-488,48 mm	-238,95 mm
Centroid Y	-17,553 mm	66,132 mm	49,309 mm	36,763 mm	46,639 mm	38,253 mm	48,136 mm	35,597 mm	36,588 mm	-4,448 mm	26,153 mm
Centroid Z	294,74 mm	294,97 mm	85,056 mm	86,323 mm	530,12 mm	537,01 mm	504,79 mm	503,46 mm	41,823 mm	294,73 mm	294,46 mm
Moment of Inertia	192,26 kg·mm²	38695 kg·mm²	116,96 kg·mm²	28,442 kg·mm²	1,9291 kg·mm²	0,90359 kg·mm²	116,97 kg·mm²	28,442 kg·mm²	1,8285 kg·mm²	9541,5 kg·mm²	54118 kg·mm²
Moment of Inertia lp2	197,07 kg·mm²	44677 kg·mm²	4439,6 kg·mm²	395,49 kg·mm²	1,7116 kg·mm²	0,62282 kg·mm²	4439,6 kg·mm²	395,49 kg·mm²	0,38801 kg·mm²	13709 kg·mm²	69429 kg·mm²
Moment of Inertia	4,8238 kg·mm²	6019, kg·mm²	4431,5 kg·mm²	372,05 kg·mm²	0,36937 kg·mm²	0,9095 kg·mm²	4431,6 kg·mm²	372,05 kg·mm²	1,5146 kg·mm²	4194,2 kg·mm²	15419 kg·mm²
	200			Statistics	tics		EO )	in 2			
Nodes	3847	1154	10606	6746	935	828	10446	7423	1472	1978	5125
Elements	1789	135	5044	3462	367	399	4972	3817	807	908	2372
Mesh Metric					Nono						

TABLE 6 Model (A4) > Geometry > Parts

BASE ecanismoDerecha

24 -24 -24 72,7 2930	nm         38,167 mm         17,462 mm           nm         485,03 mm         38,031 mm           r         Properties           mm³         1,2842e+006         49410 mm³           kg         3,4674 kg         0,38787 kg           nm         -239,08 mm         -238,85 mm           nm         5,5143 mm         -24,383 mm         504,75 mm           nm         292,35 mm         84,69 mm         504,75 mm           mm²         kg·mm²         72,71 kg·mm²         2977,4 kg·mm²           mm²         13793         2930,1 kg·mm²         2930,2 kg·mm²           mm²         kg·mm²         2930,1 kg·mm²         2930,2 kg·mm²	23,246 mm
2930,1 kg·m 72,71 kg·m 2930,1 kg·m 7683 3964	8 mm    8 485,03 mm    1,2842e+006	23,246 mm
	mm³ mm³ s mm l mm l mm l mm l mm g-mm² g-mm² lg-mm²	23,246 mm 90,058 mm 89069 mm³ 0,24049 kg -239,07 mm 17,653 mm 294,84 mm 154,06 kg·mm² 281,65 kg·mm² 154,06 kg·mm² 154,06 kg·mm²
1,0643 mm mm  22,003 mm 240,47 mm³  440, mm³ e6676  -321,07 mm mm  21,968 mm mm  535,85 mm mm  4,8015e-002 337,16  kg·mm² kg·mm²  8,7516e-002 337,16  kg·mm² kg·mm²  8,7516e-002 359,25  kg·mm² kg·mm²  3,9699e-002 22,657  kg·mm²  3,9699e-002 22,657  kg·mm²  3,9699e-002 22,657  kg·mm²  3,9699e-002 339,25  36 3372	1,0643 mm 22,003 mm 440, mm³ 1,188e-003 kg -321,07 mm 21,968 mm 535,85 mm 4,8015e-002 kg·mm² kg·mm² 3,9699e-002 kg·mm² 3,9699e-002 315 36	

TABLE 7
Model (A4) > Materials
Object Name | Materials
State | Fully Defined
Statistics | Material Assignments | 0

# Coordinate Systems

Project

TABLE 8
Model (A4) > Coordinate System

Object Name (	Object Name   Global Coordinate System
State	Fully Defined
Defi	Definition
Type	Cartesian
Coordinate System ID	0,
ō	Origin
Origin X	0, mm
V Origin Y	0, mm
Origin Z	0, mm
Direction	Directional Vectors
X Axis Data	[1,0,0,]
Y Axis Data	[0,1,0,]
Z Axis Data	[0,0,1,]
Transfer	Transfer Properties
Source	
Read Only	No

### Connections

TABLE 9 Model (A4) > Connections		
Object Name   Connections	Connections	
State	State Fully Defined	
Auto Detection		
Generate Automatic Connection On Refresh	Yes	
Transparency		
Enabled	Yes	
Statistics		
Contacts	48	
Active Contacts	42	
Joints	0	
Active Joints	0	
Beams	0	
Active Beams	0	
Bearings	0	
Active Bearings	0	
Springs	0	
Active Springs	0	
Body Interactions	0	
Active Body Interactions	0	

TABLE 10
Model (A4) > Connections > Contacts

me Contacts	State Fully Defined	ition	ype Contact	Scope	Scoping Method   Geometry Selection
Object Name	St	Definition	Connection Type	Sco	Scoping Meth

	ć	5	
	0	٥	
•	7	5	
	ì	_	
,	٦		

All Bodies	Į.	Slider	0,	2,7422 mm	No	Yes	75, °	#5	Include	No	No	Include All	Bodies	Bodies		48	42
Geometry	Auto Detection	Tolerance Type	Tolerance Slider	Tolerance Value	Use Range	Face/Face	Face-Face Angle Tolerance	Face Overlap Tolerance	Cylindrical Faces	Face/Edge	Edge/Edge	Priority	Group By	Search Across	Statistics	Connections	Active Connections

Model (A4) > Connections > Contacts > Contact Regions

					Model (44) V Con		COLITACT REGIONS				
Object Name	Object Contact Name Region	Contact Region 2	Contact Region 3	Contact Region 4	Contact	Contact Region 6	Contact Region 7	Contact Region 8	Contact Region 9	Contact Region 10	Contact Region 11
State						Fully Defined	ned				
						Scope					
Scoping Method					2	Geometry Selection	election				
Contact	4 Faces		1 F.	1 Face		3 Faces	ces	1 Face		12 Faces	5 Faces
Target	8 Faces		1 F.	1 Face			3 Faces	ses		11 Faces	1 Face
Contact Bodies				UnionMecanismos	ismos			Pieza1^AjusteLONG	ONG	Simetreda33RailArribalzq	Arribalzq
Target Bodies	BaseGiro	RailArribalzquierda	RailArribaDerecha	RailAbajolzquierda	RailAbajoDerecha	Mecanismolzquierda	MecanismoDerecha	BaseGiro RailArribalzquierda RailArribaDerecha RailAbajolzquierda RailAbajolzquierda RailAbajolzquierda Mecanismolzquierda Mecanismolerecha Simetreda33RailArribalzq Simetreda33RailArribalzq Simetreda33RailAbajolzq BaseSuperior	33RailArribalzq	Simetreda33RailAbajolzq	BaseSuperior
Protected						9					
						Definition					
Type						Bonded	7				
Scope	4					Automatic	tic				
Behavior						Program Controlled	ntrolled				
Trim Contact						Program Controlled	ntrolled				
Trim						2,7422 mm	mu				
Contact APDL Name											
Target APDL Name											
Suppressed						2					
						Display					
Element Normals						9					
						Advanced					
Tr.											

on Program Controlled		on Program Controlled od	Program Controlled	Nogram Controlled Ice	Program Controlled ess	Program Controlled ess	Program Controlled ion	Geometric Modification	None None	None None
Formulation	Small	Detection Method	Penetration Tolerance	Elastic Slip Tolerance	Normal Stiffness	Update Stiffness	Pinball Region		Contact Geometry Correction	Target Geometry Correction

TABLE 12 Model (A4) > Connections > Contact Regions

Object Name	Contact Region 12	Contact Region	Contact Region Contact Region 14	Contact Region 15	Contact Region 16	Contact Region 17	Contact Region 18	Contact Region   Cont	Contact Region 20	Contact Region 21	Contact Region 22
State					<u> </u>	Fully Defined					
100000					Scope						
Scoping Method	8				Geor	Geometry Selection					
Contact	5 Faces	13 Faces	15 Faces	5 Faces		1 Face		12 Faces	9 E	5 Faces	4 Faces
Target	2 Faces	10 Faces	13 Faces	4 Faces	3 Faces	1 Face	ace	11 Faces	1 Face	2 Faces	ses
Contact Bodies 5	Contact Bodies Simetreda33RailAbajolzq		poton			Carcasa		33RailArribalzq	ribalzq	33RailAbajolzq	Cllindro
Target Bodies	BaseSuperior	Carcasa	33RailArribalzq	33RailAbajolzq	bajolzq	BaseSuperior	perior	33RailAbajolzq		BaseSuperior	
Protected	- 50				88	No				1700	
					Definition						
Type						Bonded					
Scope Mode						Automatic					
Behavior					Prog	Program Controlled					
Trim Contact					Prog	Program Controlled					
Trim Tolerance						2,7422 mm					
Contact APDL Name											
Target APDL Name											
Suppressed						No					
					Display						
Element Normals					Č	No					
					Advanced						
Formulation					Prog	Program Controlled					
Small Sliding					Prog	Program Controlled					
Detection Method					Prog	Program Controlled					
Penetration Tolerance					Prog	Program Controlled					
Elastic Slip Tolerance					Prog	Program Controlled					
Normal Stiffness					Prog	Program Controlled					
Update Stiffness					Prod	Program Controlled					

Brogram Controlled  Geometric Modification		None None	TABLE 13   Model (A4) > Connections > Contact Region 25   Contact Region 26   Contact Region 30   Contact Region 31   Contact Region 32   Contac	Fully Defined	Geometry Selection	2 Faces         3 Faces         1 Face         3 Faces         7 Faces         16 Faces         7 Faces	5 Faces 13 Faces 9 Faces	Cllindro Palanca BaseSuperior BaseSuperior Ary 104 - 744090 - B,14,SI,NC,14_68 BaseGiro	Pasador BaseGiro Mecanismolzquierda MecanismoDerecha BaseSuperior Pasador 104 - 744090 - B,14,51,NC,14 68 BaseGiro BaseGiro RailArribalzquierda	No	Definition	Bonded	Auchitation Control Co	Program Controlled Program Controlled	2,7422 mm			No	Display	No	Advanced	Program Controlled	Program Controlled	Program Controlled	Program Controlled	Program Controlled	Program Controlled Program Controlled	Program Controlled Program Controlled Program Controlled	Program Controlled Program Controlled Program Controlled Program Controlled Program Controlled	Program Controlled Program Controlled Program Controlled Program Controlled Program Controlled Geometric Modification	Program Controlled Program Controlled Program Controlled Program Controlled Program Controlled Ageometric Modification None		Adva Adva Adva Adva Adva Adva Adva Adva	No No No anced Program Controlled Program Controlled Program Controlled			
	etry	etry	Contact Bosin 24			$\vdash$		Cllindro	BaseGiro																									Adv	2,7422 mm  No  Display  No  Advanced  Program Controlled  Program Controlled  Program Controlled  Program Controlled	2,7422 mm  No  Display  No  Advanced  Program Controlled  Program Controlled  Program Controlled  Program Controlled  Program Controlled	Program Controlled 2,7422 mm  No  Display  No  Advanced Program Controlled Program Controlled Program Controlled Program Controlled Program Controlled Program Controlled
Pinball Region	Contact Geometry	Target Geometry Correction	Object Name Cor	State	Scoping		Target 6 Fa	Contact Bodies	Target Bodies Pas	Protected	-	Scope Mode	Scope Mode	Trim Contact	Trim Tolerance	Contact APDL Name	Target APDL Name	Suppressed	ÿ iş	Element		Formulation	Small Sliding	Detection Method	Penetration Tolerance	Elastic Slip Tolerance	Elastic Slip Tolerance Normal Stiffness	Elastic Slip Tolerance Normal Stiffness Update Stiffness	Elastic Slip Tolerance Normal Stiffness Update Stiffness Pinball Region	Elastic Slip Tolerance Normal Stiffness Update Stiffness Pinball Region	Elastic Slip Tolerance Normal Stiffness Update Stiffness Pinball Region Contact Geometry	Penetration		Adv	2,7422 mm  No  Display  No  Advanced  Program Controlled  Program Controlled  Program Controlled  Program Controlled  Program Controlled	2,7422 mm  No  Display  No  Advanced  Program Controlled  Program Controlled  Program Controlled  Program Controlled  Program Controlled  Program Controlled	Program Controlled  2,7422 mm  No  Display  No  Advanced  Program Controlled  Program Controlled  Program Controlled  Program Controlled  Program Controlled

None	
ry	
Geometry Correction	

TABLE 14 del (A4) > Connections > Contact Regio

Model (A4) > Connections > Contact Regions	Contact Region 35 Contact Region 36 Con	1 Fully Defined Suppressed Fully Defined			5 Faces 6 Faces	2 Faces	RailArribaDerecha RailAbajolzquiero	rda BASE RailAbajoDerecha MecanismoDerecha BASE Mecanis	No	Definition	Bonded	Automatic	Program Controlled	Program Controlled	2,7422 mm			No	Display	No	Advanced	Program Controlled	Program Controlled	Program Controlled	Program Controlled	Program Controlled	Program Controlled	Program Controlled	Program Controlled	Geometric Modification	None	None
	Contact Region 35				1 Face	2 Fa	BaseGiro	a Mecanismolzquierda																								
	Contact Region 34		88		-	3 Faces		RailArribaDerecha															0:		(2 2)							
	Object Name	State		Scoping Method	Contact	Target	Contact Bodies	Target Bodies	Protected		Type	Scope Mode	Behavior	Trim Contact	Trim Tolerance	Contact APDL Name	Target APDL Name	Suppressed		Element Normals		Formulation	Small Sliding	Detection Method	Penetration Tolerance	Elastic Slip Tolerance	Normal Stiffness	Update Stiffness	Pinball Region		Contact Geometry Correction	Target Geometry

Model (A4) > Connections > Contacts > Contact Regions me | Contact Region 45 | Contact Region 46 | Contact Region 45 | Contact Region 46 | Contact Region 45 | Contact Region 45 | Contact Region 46 | Contact Region 45 | Contact Region 46 | Contact

3	Object Name   Contact Region 45   Contact Region 46   Contact Region 47   Contact Region 48	Suppressed	Scope	
(	Contact Region 45	Fully Defined		
	Object Name	State		

5	
ō	
5	
ĭ	

Geometry Selection	3 Faces	No Selection	erecha Mecanismolzquierda MecanismoDerecha	BASE	No	Definition	Bonded	Automatic	Program Controlled	Program Controlled	2,7422 mm			No	Display	No	Advanced	Program Controlled	Program Controlled	Program Controlled	Program Controlled	Program Controlled	Program Controlled	Program Controlled	Program Controlled	Geometric Modification	None	None
	5 Faces	7 Faces	RailAbajoDerecha	Target Bodies   MecanismoDerecha																						Geome		
Scoping Method	Contact	Target	Contact Bodies	Target Bodies	Protected		Type	Scope Mode	Behavior	Trim Contact	Trim Tolerance	Contact APDL Name	Target APDL Name	Suppressed		Element Normals		Formulation	Small Sliding	Detection Method	Penetration Tolerance	Elastic Slip Tolerance	Normal Stiffness	Update Stiffness	Pinball Region		Contact Geometry Correction	Target Geometry Correction

TABLE 16 Model (A4) > Mesh

Name Mesh	State Solved		Display Style   Use Geometry Setting	s	rence Mechanical	Order Program Controlled	t Size Default		Sizing Yes	Resolution Default (2)	turing Yes	Size Default	Transition Fast	coarse Coarse	Seed Assembly	gonal 1096,9 mm	: Area 1735,7 mm²
Object Name		Display	Display	Defaults	Physics Preference	Element Order	Element Size	Sizing	Use Adaptive Sizing	Reso	Mesh Defeaturing	Defeature Size	Tran	Span Angle Center	Initial Size Seed	Bounding Box Diagonal	Average Surface Area

Check Mesh Quality Error Limits Aggressive Mechanical Target Element Quality Smoothing Medium Mesh Metric None Inflation Use Automatic Inflation Transition Ratio Growth Rate Inflation Element Type Inflation Element Type View Advanced Options View Advanced Options Straight Sided Elements Straight Sided Elements Friangle Surface Mesher Triangle Surface Mesher Friangle Surface Mesher Generate Pinch on Refresh Generate Pinch on Refresh Statistics Statistics Show Detailed Statistics No No Statistics No No Statistics No No No Statistics No No No No No No Statistics No	Minimum Edge Length	3,5355e-002 mm
Check Mesh Quality Error Limits Aggressive Mechanical Target Element Quality Smoothing Medium Mesh Metric None Inflation Use Automatic Inflation Inflation Option Smooth Transition Transition Ratio 0,272 Maximum Layers 5 Growth Rate 1,2 Inflation Algorithm Pre Inflation Element Type Wedges View Advanced Options View Advanced Options Straight Sided Elements Rigid Body Behavior Dimensionally Reduced Triangle Surface Mesher Program Controlled Topology Checking Pinch Tolerance Please Define Generate Pinch on Refresh No Statistics Nodes No Hodes Reg98 Show Detailed Statistics No	Quality	
Error Limits Aggressive Mechanical Target Element Quality	Check Mesh Quality	Yes, Errors
Target Element Quality  Smoothing  Mesh Metinc  Inflation  Use Automatic Inflation  Transition Ratio  Maximum Layers  Growth Rate  Inflation Element Type  View Advanced  Inflation Element Type  View Advanced Options  View Advanced  Transight Sided Elements  Straight Sided Elements  Program Controlled  Triangle Surface Mesher  Program Controlled  Topology Checking  No  Statistics  Statistics	Error Limits	Aggressive Mechanical
Mesh Metric   None   Inflation   None   Inflation   None   Inflation   None   Inflation   None   Inflation   Note   None   Inflation   Note	Target Element Quality	Default (5,e-002)
Inflation	Smoothing	Medium
Inflation	Mesh Metric	None
Use Automatic Inflation   None   Inflation Option   Smooth Transition   Transition Ratio   0,272   Maximum Layers   5   Growth Rate   1,2   Inflation Element Type   Wedges   View Advanced Options   No   Advanced Options   No   Advanced Options   No   Rigid Body Behavior   Dimensionally Reduced   Triangle Surface Mesher   Program Controlled   Topology Checking   Yes   Topology Checking   Yes   Topology Checking   No   Statistics   Statistics   No   Statistics	Inflation	
Inflation Option Smooth Transition Transition Ratio Growth Rate Growth Rate Inflation Element Type View Advanced Inflation Element Type View Advanced Options Advanced Iumber of CPUs for Parallel Part Meshing Straight Sided Elements Rigid Body Behavior Triangle Surface Mesher Program Controlled Triangle Surface Mesher Program Controlled Triangle Surface Mesher Footbacking Triangle Surface Mesher Footbacking Finch on Refresh Statistics Statistics No Statistics No Statistics No No Statistics No No Statistics No No No Statistics No	Use Automatic Inflation	None
Transition Ratio   0,272     Maximum Layers   5     Growth Rate   1,2     Inflation Algorithm   Pre     Inflation Element Type   Wedges     View Advanced Options   No     Advanced   Advanced   No     Advanced   Straight Sided Elements   No     Rigid Body Behavior   Dimensionally Reduced     Triangle Surface Mesher   Program Controlled     Triangle Surface Mesher   Program Con	Inflation Option	Smooth Transition
Maximum Layers 5  Growth Rate 1,2  Inflation Algorithm Pre Inflation Element Type Wedges View Advanced Options No  Advanced Advanced Straight Sided Elements No  Rigid Body Behavior Dimensionally Reduced Triangle Surface Mesher Program Controlled Triangle Surface Mesher No	Transition Ratio	0,272
Inflation Algorithm   Pre     Inflation Element Type   Wedges     View Advanced Options   No     Advanced Options   No     Advanced Options   No	Maximum Layers	5
Inflation Algorithm Pre Inflation Element Type Wedges View Advanced Options No Advanced Finangle Part Meshing Rigid Body Behavior Dimensionally Reduced Triangle Surface Mesher Program Controlled Topology Checking Pinch Tolerance Please Define Generate Pinch on Refresh Anodes Statistics Advanced Refresh No Statistics Advanced Refresh No Statistics No Statistics No Please Define Advanced Refresh No Statistics No Please Define Advanced Refresh No Statistics No No Statistics No No No No No Refresh No	Growth Rate	1,2
View Advanced Options No  Advanced  No  Rigid Body Behavior Dimensionally Reduced  Triangle Surface Mesher Program Controlled  Topology Checking  Pinch on Refresh  Cenerate Pinch on Refresh  Rigid Body Behavior Dimensionally Reduced  Triangle Surface Mesher Program Controlled  Topology Checking  Pinch on Refresh  No  Statistics  Ads598  Show Detailed Statistics  No	Inflation Algorithm	Pre
View Advanced Options     No       Advanced     Advanced       Jumber of CPUs for Parallel Part Meshing     Program Controlled       Straight Sided Elements     No       Rigid Body Behavior     Dimensionally Reduced       Triangle Surface Mesher     Program Controlled       Topology Checking     Yes       Pinch Tolerance     Please Define       Generate Pinch on Refresh     No       Statistics     100114       Show Detailed Statistics     No	Inflation Element Type	Wedges
Iumber of CPUs for Parallel Part Meshing Straight Sided Elements Rigid Body Behavior Dimensionally Reduced Triangle Surface Mesher Program Controlled Topology Checking Pinch Tolerance Please Define Generate Pinch on Refresh Statistics Statistics Statistics In00114 Nodes Show Detailed Statistics No	View Advanced Options	No
Lumber of CPUs for Parallel Part Meshing       Program Controlled         Straight Sided Elements       No         Rigid Body Behavior       Dimensionally Reduced         Triangle Surface Mesher       Program Controlled         Topology Checking       Yes         Pinch Tolerance       Please Define         Generate Pinch on Refresh       No         Statistics       100114         Show Detailed Statistics       No	Advanced	
Straight Sided Elements No Rigid Body Behavior Dimensionally Reduced Triangle Surface Mesher Program Controlled Topology Checking Yes Pinch Tolerance Please Define Generate Pinch on Refresh No Statistics Statistics Nodes Show Detailed Statistics No	lumber of CPUs for Parallel Part Meshing	Program Controlled
Rigid Body Behavior   Dimensionally Reduced Triangle Surface Mesher   Program Controlled Topology Checking   Yes Pinch Tolerance   Please Define Generate Pinch on Refresh   No Statistics   Show Detailed Statistics   No	Straight Sided Elements	No
	Rigid Body Behavior	Dimensionally Reduced
	Triangle Surface Mesher	Program Controlled
	Topology Checking	Yes
	Pinch Tolerance	Please Define
	Generate Pinch on Refresh	No
	Statistics	
	Nodes	100114
	Elements	48598
	Show Detailed Statistics	No

Static Structural (A5)

| Model (A4) > Analysis
Object Name	Static Structural (A5)	
State	Solved	
Definition	Physics Type	Static Structural
Analysis Type	Static Structural	
Solver Target	Mechanical APDL	
Options	Options	
Generate Input Only	No	

**TABLE 17** 

TABLE 18
Model (A4) > Static Structural (A5) > Analysis Settings
Object Name

Analysis Settings	Fully Defined	Step Controls		ť	1, s	Program Controlled	
CDJCCLIVALIC	State	(a)	Number Of Steps	Current Step Number	Step End Time	Auto Time Stepping	

Model (A4)	Model (A4) > Static Structural (A5) > Loads	ral (A5) > Loads
Object Name	bject Name Fixed Support	Force
State		-ully Defined

Weak Springs Solver Pivot Checking	Program Controlled  Off Off
Inertia Relief  Quasi-Static Solution	Off
Coriolis Effect	Rotordynamics Controls Off
	Restart Controls
Generate Restart Points	Program Controlled
Retain Files After Full Solve	No 
Combine Restart Files	Program Controlled
Newton-Raphson Option	Program Controlled
Force Convergence	Program Controlled
Moment Convergence	Program Controlled
Displacement Convergence	Program Controlled
Rotation Convergence	Program Controlled
Line Search	Program Controlled
Stabilization	Program Controlled
	Advanced
Inverse Option	No
Contact Split (DMP)	Program Controlled
600	Output Controls
Output Selection	None
Stress	Yes
Back Stress	No
Strain	Yes
Contact Data	Yes
Nonlinear Data	No
Nodal Forces	No
Volume and Energy	Yes
Euler Angles	Yes
General Miscellaneous	No
Contact Miscellaneous	No
Store Results At	All Time Points
Result File Compression	Program Controlled
CONTRACTOR	Analysis Data Management
Solver Files Directory C:\Use	Solver Files Directory C:\Users\alpha\OneDrive\Escritorio\4º ing\TFG\ansys\AsExtendido files\dp0\SYS\MECH\
Future Analysis	None
Scratch Solver Files Directory	
Save MAPDL db	No
Contact Summary	Program Controlled
Delete Unneeded Files	Yes
Nonlinear Solution	No
Solver Units	Active System

Mothod	2000	moter, Coloction
Scoping Method	OEO	deditietty selection
Geometry	2 Faces	1 Face
	Definition	_
Type	Fixed Support	Force
Suppressed	12 3	No
Define By		Components
Applied By		Surface Effect
Coordinate System		Global Coordinate System
X Component		0, N (ramped)
Y Component		-1000, N (ramped)
Z Component		0, N (ramped)

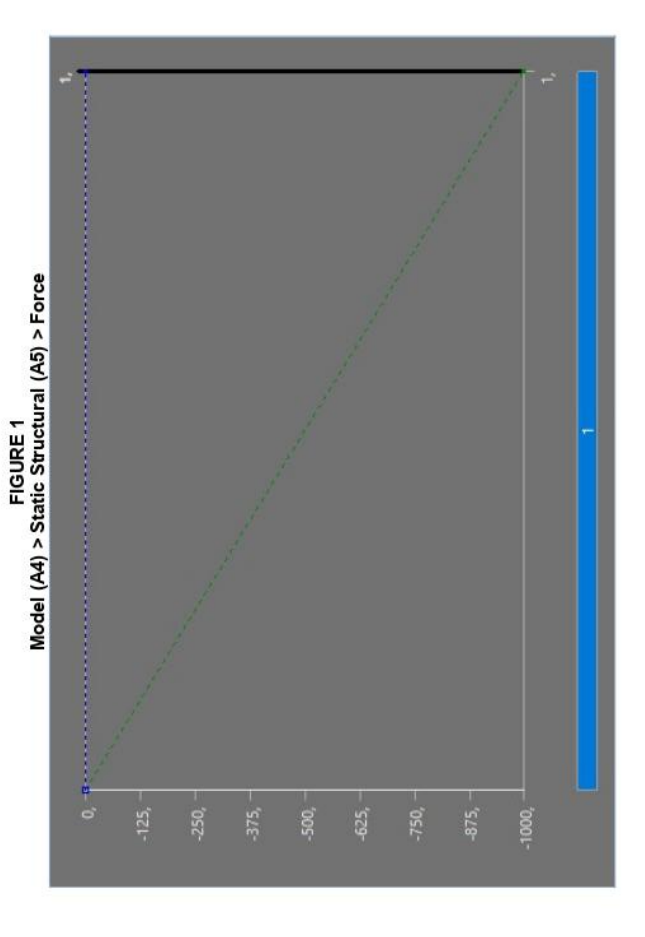


TABLE 20
Model (A4) > Static Structural (A5) > Solution
Object Name | Solution (A6)

500	,eq					Je	s	7 GB
Condition	Solved	nemen	1	2		Done	22, s	2,0527 GB
Open Maine Column (Ac)	State	Adaptive Mesh Refinement	Max Refinement Loops	Refinement Depth	Information	Status	MAPDL Elapsed Time	MAPDL Memory Used

	_	
	c	)
	d	)
٠	7	5
	5	1
1	۲	3

MAPDL Result File Size Post Processin	36,938 MB
Beam Section Results	9 2
On Demand Stress/Strain	No

TABLE 21 Model (A4) > Static Structural (A5) > Solution (A6) > Solution Information

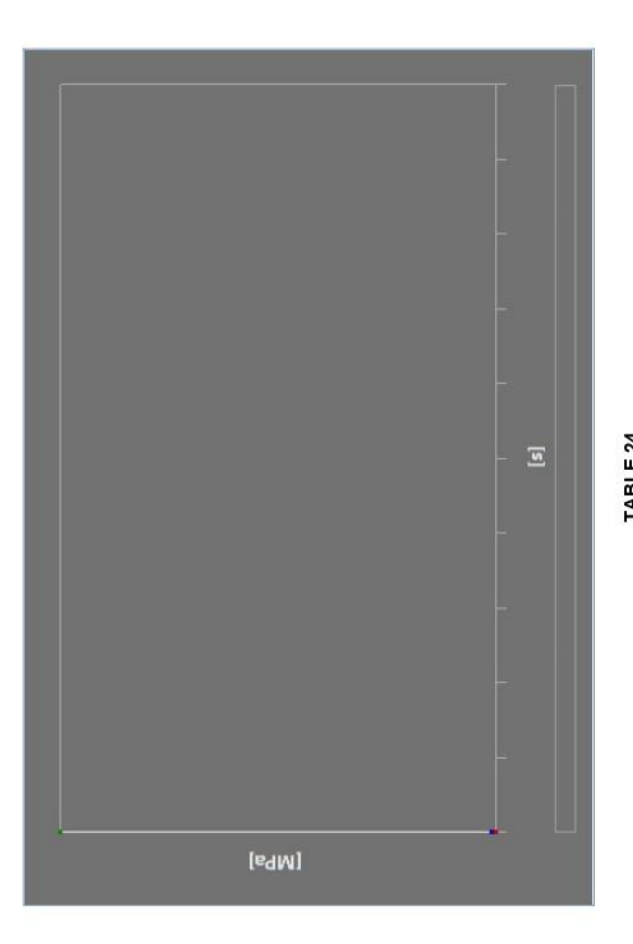
Object Name   Solution Information	Solved	ation	Solver Output	0	0	2,5 s	AI	sibility	Yes	All FE Connectors	All Nodes	Connection Type	No	Single	Lines
Object Name	State	Solution Information	Solution Output	Newton-Raphson Residuals	Identify Element Violations	Update Interval	Display Points	FE Connection Visibility	Activate Visibility	Display	Draw Connections Attached To	Line Color	Visible on Results	Line Thickness	Display Type

# Model (A4) > Static Structural (A5) > Solution (A6) > Results

Equivalent Stress	Solved		Geometry Selection	All Bodies		Equivalent (von-Mises) Stress	Time	Last	No	Yes		No		7,5949e-010 MPa	477,29 MPa	4,434 MPa	RailAbajolzquierda	Simetreda33RailArribalzq		1, s	1	1	_	ults	Averaged	No
Total Deformation		Scope	Geome	A	Definition	Total Deformation							Results	0, mm	0,73892 mm	7,7763e-002 mm	RailAt	Pieza1^AjusteLONG	Information					Integration Point Results		
Object Name	State		Scoping Method	Geometry		Type	By	Display Time	Separate Data by Entity	Calculate Time History	Identifier	Suppressed		Minimum	Maximum	Average	Minimum Occurs On	Maximum Occurs On Pieza1^AjusteLONG		Time	Load Step	Substep	Iteration Number		Display Option	Average Across Bodies

| TABLE 23 | Model (A4) > Static Structural (A5) > Solution (A6) > Total Deformation | Time [s] | Minimum [mm] | Maximum [mm] | Average [mm] | 1, 0, 0,73892 | 7,7763e-002

FIGURE 3 Model (A4) > Static Structural (A5) > Solution (A6) > Equivalent Stress



| Model (A4) > Static Structural (A5) > Solution (A6) > Equivalent Stress | Time [s] | Minimum [MPa] | Maximum [MPa] | Average [MPa] | 1, | 7,5949e-010 | 477,29 | 4,434

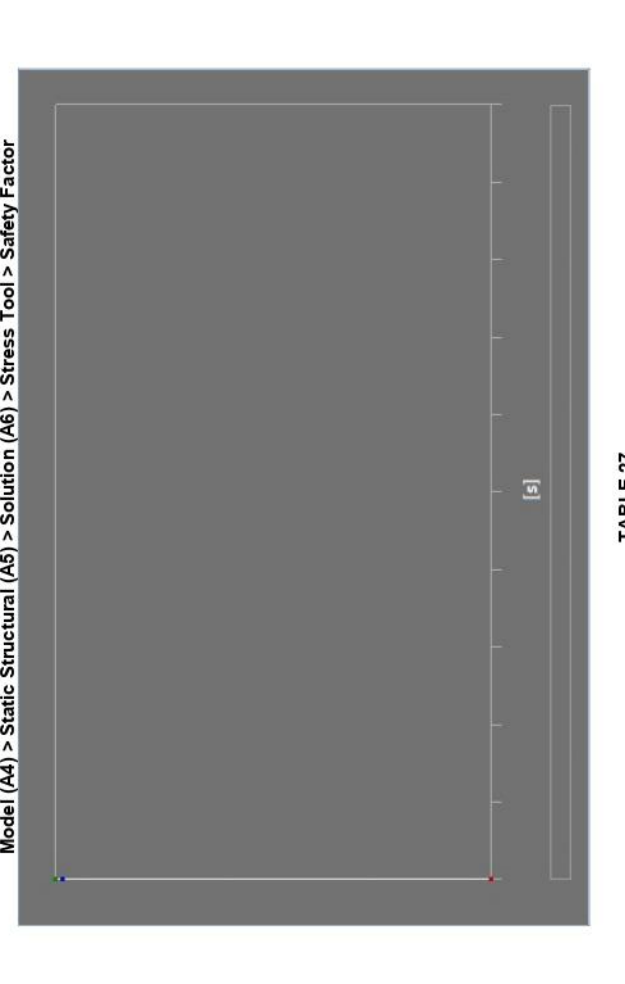
| Model (A4) > Static Structural (A5) > Solution (A6) > Stress Safety Tools
| Object Name | Stress Tool |
| State | Solved | Theory Max Equivalent Stress
Stress Limit Type Tensile Yield Per Material Definition

Object Name   Safety Factor	State Solved	Scope	Scoping Method   Geometry Selection	Geometry All Bodies	Definition	Type Safety Factor	By Time	Display Time Last	by Entity No	ne History Yes	Identifier	Suppressed No
Opic			Scopin					Dist	Separate Data by Entity	Calculate Time History		Su

ΨI	2	0,6495	3RailArr		1, s	1	1	1
ption Averaged	Results	Minimum 0,	Minimum Occurs On Simetreda33Rail Arribalzq	Information	Time	oad Step	Substep	mber
Display Option	Average Across bodies	Mini	Minimum Occur			Load	InS	Iteration Number

FIGURE 4

Model (A4) > Static Structural (A5) > Solution (A6) > Stress Tool > Safety Factor



| TABLE 27 | Model (A4) > Static Structural (A5) > Solution (A6) > Stress | Tool > Safety Factor | Time [s] | Minimum | Maximum | Average | 1, | 0,6495 | 15, | 14,788 |

# **Material Data**

Aluminio 6061

TABLE 28
Aluminio 6061 > Constants
Density | 2,7e-006 kg mm^-3

TABLE 29 Aluminio 6061 > Isotropic Elasticity

file:///C:/Users/alonp/AppData/Roaming/Ansys/v242/Mechanical Report4/Mechanical Report.htm

Young's Modulus MPa | Poisson's Ratio | Bulk Modulus MPa | Shear Modulus MPa | Temperature C

TABLE 30 Aluminio 6061 > Tensile Yield Strength Tensile Yield Strength MPa

258,

TABLE 31
Aluminio 6061 > Tensile Ultimate Strength
Tensile Ultimate Strength MPa 300

Aluminio 6061 > Color Red Green Blue 76, 186, 255,

TABLE 33
Acero1045 > Constants
Density | 7,85e-006 kg mm^-3

Acero1045

TABLE 34 Acero1045 > Color

TABLE 35 Acero1045 > Tensile Ultimate Strength

Red Green Blue 255, 95, 56,

Tensile Ultimate Strength MPa 565,

TABLE 36 Acero1045 > Tensile Yield Strength Tensile Yield Strength MPa 310,

TABLE 37

Acero1045 > Isotropic Elasticity

Young's Modulus MPa | Poisson's Ratio | Bulk Modulus MPa | Temperature C 1,75e+005 0,3 2,1e+005

Acero 6150

Acero 6150 > Constants
Density | 7,8e-006 kg mm^-3 TABLE 38

TABLE 39
Acero 6150 > Isotropic Elasticity
Young's Modulus MPa | Poisson's Ratio | Bulk Modulus MPa | Shear Modulus MPa | Temperature C

78846	gth		
1,7083e+005	TABLE 40 Acero 6150 > Tensile Yield Strengt	ensile Yield Strength MPa	1000.
0,3	Acero 6	Te	
_			

2,05e+005

Acero 6150 > Table 41
Acero 6150 > Tensile Ultimate Strength
Tensile Ultimate Strength MPa 1145,

Acero 6150 > Color Red Green Blue 251, 43, 255,

TABLE 43
ABS > Constants
Density | 1,05e-006 kg mm^-3

TABLE 45
ABS > Tensile Yield Strength
Tensile Yield Strength MPa
32,

TABLE 46
ABS > Tensile Ultimate Strength
Tensile Ultimate Strength MPa

 TABLE 47

 ABS > Color

 Red Green Blue

 184, 255, 86,

Soluciones Innovadoras para la Movilidad: Asiento de Copiloto Adaptado para Personas con Movilidad Reducida Alonso Parra Fernández

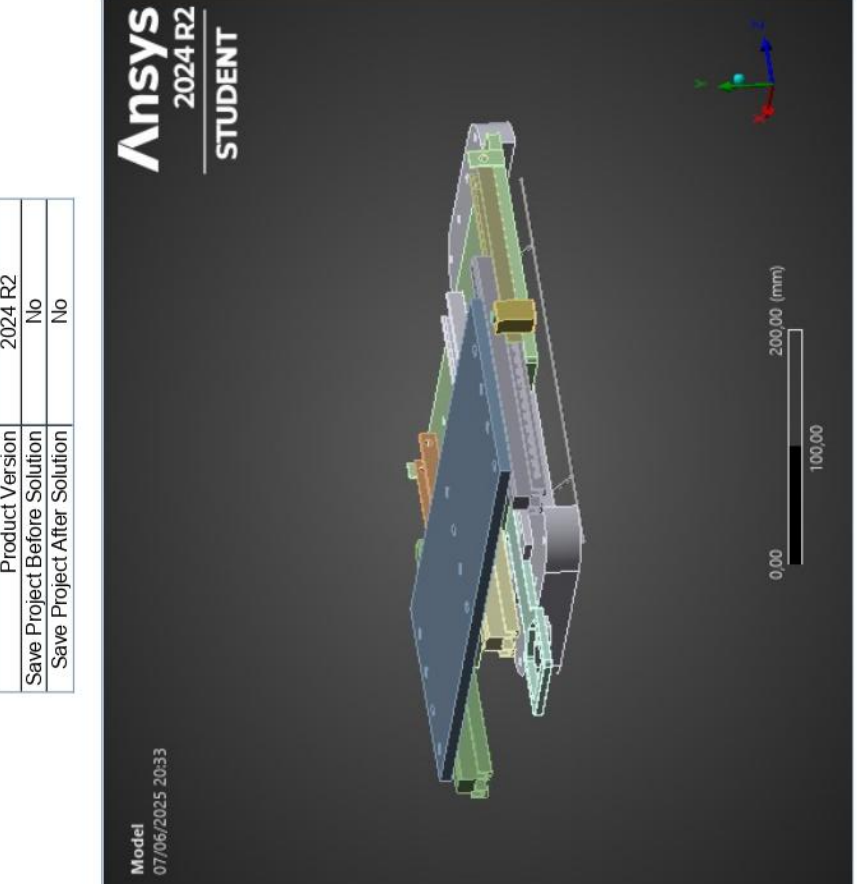


ANEXO 5. Simulación ANSYS – Carga axial en asiento girado | Ensayo 4.9.2.4



### **Project**

First Saved	First Saved   Thursday, May 15, 2025
Last Saved	Monday, May 19, 2025
Product Version	2024 R2
Save Project Before Solution	No.
Save Project After Solution	No.



### Contents

• Units

Model (A4)

o Geometry Imports

Geometry Import (A3)

o Geometry

Parts

o Materials

o Connections

Contacts

Contact Regions

o <u>Mesh</u>

Static Structural (A5)

Analysis Settings

LoadsSolution (A6)

Solution Information

Results
 Stress Tool
 Safety Factor

Material Data

o Aluminio 6061
o Acero 1045
o Acero 6150
o ABS

#### Units

Unit System | Metric (mm, kg, N, s, mV, mA) Degrees rad/s Celsius Degrees rad/s Celsius Rotational Velocity Temperature Angle

TABLE 1

### Model (A4)

1, Model (A4) >	Seometry Imports
Object Name	Geometry Imports
State	Solved

TABLE 3 Model (A4) > Geometry Imports > Geometry Import (A3)

Geometry Import (A3)	Solved	Definition	Source   C:\Users\alonp\OneDrive\Escritorio\4º ing\TFG\ansys\GiradoSalido_files\dp0\SYS\DM\SYS.agdb	DesignModeler	Basic Geometry Options	Independent		Advanced Geometry Options	No	3-D
Object Name	State	1	Source	Type		Parameters	Parameter Key		Compare Parts On Update	Analysis Type

TABLE 4 Model (A4) > Geometry

Geometry

(namon) / (tru) innom	Geometry	Fully Defined	Definition	Source C:\Users\alonp\OneDrive\Escritorio\4º ing\TFG\ansys\GiradoSalido_files\dp0\SYS\DM\SYS.agdb	DesignModeler	Meters	Program Controlled	Body Color	Bounding Box	920,16 mm	146,84 mm	578,74 mm	Properties	3,8196e+006 mm³	11,338 kg		Statistics	24	16	85842	41918	None	Update Options	No	Basic Geometry Options	Independent		Yes		Yes		Yes	Advanced Geometry Options	
	Object Name	State		Source	Type	Length Unit	Element Control	Display Style	5 .0	Length X	Length Y	Length Z	8.8	Volume	Mass	Scale Factor Value	V. 0	Bodies	Active Bodies	Nodes	Elements	Mesh Metric		Assign Default Material	8 2.2	Parameters	Parameter Key	Attributes	Attribute Key	Named Selections	Named Selection Key	Material Properties		

Yes		No	Yes	Yes	No	3-D	Source	No	None	Yes	Yes
Coordinate Systems	Coordinate System Key	Reader Mode Saves Updated File	Use Instances	Smart CAD Update	Compare Parts On Update	Analysis Type	Import Facet Quality	Clean Bodies On Import	Stitch Surfaces On Import	Decompose Disjoint Geometry	Enclosure and Symmetry Processing

TABLE 5 Model (A4) > Geometry > Parts

				TOTAL STATE OF THE	Model (A4) / Geoilleti y raits		L	(		1 . 141. 000	
Object Name	33KallAbajoMedio	KallArribaMedio	Object Name   33KailAbajoMedio   KailArribaMedio   UnionMecanismos   Preza1"Ajus	Pieza1"AjusteLONG	teLONG   Simetreda33KailAmbalzq   Simetreda33KailAbajolzq	Simetreda33KailAbajolzq	poton	Carcasa	Carcasa   33RailAmbaizq   33RailAbajoizq	33KallAbajolzq	Cilindro
State				20. St.	Meshed	250	2		1000		
					<b>Graphics Properties</b>						
Visible					Yes						
Transparency					~						
					Definition						
Suppressed					No						
Stiffness Behavior					Flexible						
Coordinate System					Default Coordinate System	ystem					
Reference					By Environment	<u>_</u>					
Treatment					None						
					Material						
Assignment		Alun	Aluminio 6061		Acero1045	1045	Acero 6150	ABS	Acero1045	1045	ABS
Nonlinear Effects					Yes						
Thermal Strain Effects					Yes						
					Bounding Box						
Length X	40,002 mm	38,002 mm	32,997 mm	460, mm	38,002 mm	40,002 mm	49,5 mm	20,005 mm	38,002 mm	40,002 mm	19,068 mm
Length Y	14,564 mm	28,562 mm	24,066 mm	10,568 mm	28,702 mm	14,564 mm	18,036 mm	32,059 mm	28,702 mm	14,564 mm	45,109 mm
Length Z	200,04 mm	200,08 mm	382,01 mm	180,03 mm	250,08 mm	200,04 mm	15,003 mm	20,089 mm	250,08 mm	200,04 mm	40,063 mm
					Properties						
Volume	15573 mm³	82676 mm³	5846,8 mm³	8,1858e+005 mm³	97208 mm³	14266 mm³	1228,7 mm³	5896,5 mm³	97208 mm³	14266 mm³	5712,9 mm³
Mass	4,2046e-002 kg	0,22323 kg	1,5786e-002 kg	2,2102 kg	0,76308 kg	0,11198 kg	9,5841e- 003 kg	6,1913e- 003 kg	0,76308 kg	0,11198 kg	5,9985e- 003 kg
Centroid X	-239,08 mm	-238,99 mm	-278,5 mm	-239,08 mm	-29,215 mm	-30,509 mm	-474,28 mm	-481,19 mm	-448,94 mm	-447,64 mm	8,1342 mm
Centroid Y	36,897 mm	48,869 mm	-17,553 mm	66,551 mm	49,581 mm	36,21 mm	47,129 mm	39,136 mm	49,522 mm	36,151 mm	35,938 mm

							_
286,82 mm	1,8285 kg·mm²	0,38801 kg·mm²	1,5146 kg·mm²		1199	629	
294,58 mm	4066,3 kg·mm² 372,05 kg·mm²	4077,9 kg·mm² 395,49 kg·mm²	11,79 kg·mm² 28,442 kg·mm²		6318	3226	
166,01 mm	4066,3 kg·mm²	4077,9 kg·mm²	111,79 kg·mm²	la d	12440	6009	
212,9 mm	0,9095 kg·mm²	0,62282 kg·mm²	0,90359 kg·mm²		496	223	
212,92 mm	0,36938 kg·mm²	1,7116 kg·mm²	1,9291 kg·mm²	7	773	297	
294,58 mm	372,05 kg·mm²	395,49 kg·mm²	28,442 kg·mm²		6316	3154	
166,01 mm	4066,4 kg·mm²	4077,9 kg·mm²	111,79 kg·mm²	Statistics	12444	5951	None
152,22 mm	6001,2 kg·mm²	44659 kg·mm²	38695 kg·mm²		2364	296	
294,74 mm	192,26 kg·mm²	197,07 kg·mm²	35,03 kg·mm² 4,8238 kg·mm²		4390	2013	
142,06 mm	141,29 kg·mm² 776,72 kg·mm² 192,26 kg·mm²	150,12 kg·mm² 781,28 kg·mm² 197,07 kg·mm²	35,03 kg·mm²		7623	3969	
294,89 mm	141,29 kg·mm²		11,11 kg·mm²	3	9029	4630	
Centroid Z	Moment of Inertia lp1	Moment of Inertia lp2	Moment of Inertia lp3	9	Nodes	Elements	Mesh Metric

TABLE 6 Model (A4) > Geometry > Parts

ecanismolzquierda												Acero 6150				100, mm	28,485 mm	25,321 mm		15412 mm³	0,12021 kg	-334,38 mm	-14,91 mm
RailArribalzquierda RailArribaDerecha RailAbajoIzquierda RailAbajoDerecha MecanismoIzquierda											2					mu	mm	шш		mm³	1 kg	3 mm	-30,974 mm
RailAbajoIzquierda	Suppressed		No			Yes						1045				700, mm	14,208 mm	40,037 mm		47021 mm³	0,36911 kg	40,503 mm	-29,785 mm
RailArribaDerecha												Acero1045				300, mm	17,462 mm	38,031 mm		49410 mm³	0,38787 kg	-238,85 mm	-25,557 mm
RailArribalzquierda		erties		-	3000		Flexible	Default Coordinate System	By Environment	None			Yes	Yes	XC	300	17,46	38,03		49410	0,387	-238,8	-24,383 mm
BaseGiro		<b>Graphics Properties</b>			Definition		Н	Default Coo	By En		Material		2000		Bounding Box	220, mm	38,167 mm	485,03 mm	Properties	1,2842e+006 mm³	3,4674 kg	-239,08 mm	5,5143 mm
thrust ball bearing_68_isowds_ISO 104 - 744090 - B,14,SI,NC,14_68	Meshed	9	Yes			No						Aluminio 6061				90,003 mm	23,246 mm	90,058 mm		89069 mm³	0,24049 kg	-239,07 mm	17,653 mm
Pasador	Mes		Y			_						ABS				80,001 mm	7,6783 mm	240,47 mm		66676 mm³	7,001e- 002 kg		18,153
BaseSuperior Pasador																22, mm	1,059 mm	20,003 mm		440, mm³	1,188e-003 kg	-480,07 mm	22,848 mm
BaseSuperior												Aluminio 6061				487, mm	39,857 mm	240,03 mm		1,5621e+005 1,2207e+006 mm³	3,296 kg	-238,67 mm	26,152 mm
Palanca	Suppressed		9			Yes										312,65 mm	36,294 mm	373,02 mm		1,5621e+005 mm³	0,42177 kg	488,48 mm	4,448 mm
Object Name	State		Visible	Transparency		Suppressed	Stiffness Behavior	Coordinate System	Reference Temperature	Treatment		Assignment	Nonlinear Effects	Thermal Strain Effects		Length X	Length Y	Length Z		Volume	Mass	Centroid X	Centroid Y

1									
		114,96 mm	11,045 kg·mm²	114,15 kg·mm²	116,48 kg·mm²				
		507,35 mm	kg·mm²	15052 kg·mm²	14978 kg·mm²				
		82,053 mm	89,369 kg·mm²	15051 kg·mm²	14976 kg·mm²		0	0	
		504,75 mm	72,713 kg·mm²	2977,4 kg·mm²	2930,2 kg·mm²				
		84,69 mm	72,71 kg·mm²	2977,3 kg·mm²	2930,1 kg·mm²				None
		292,35 mm	85286 kg·mm²	98677 kg·mm²	13793 kg·mm²	Statistics	6935	3683	
		294,84 mm	154,06 kg·mm²	281,65 kg·mm²	154,06 kg·mm²		3663	1893	
	mm	116,13 mm	337,16 kg·mm²	359,25 kg·mm²	22,657 kg·mm²		6463	3433	
	3 3	212,85 mm	3,9699e-002 kg·mm²	8,7516e-002 kg·mm²	4,8015e-002 kg·mm²		32	2	
		294,98 mm	15419 kg·mm²	69429 kg·mm²	54118 kg·mm²		5357	2480	
,		294,73 mm	9541,5 kg·mm²	13709 kg·mm²	4194,2 kg·mm²		0	0	
2		Centroid Z	Moment of Inertia lp1	Moment of Inertia lp2	Moment of Inertia lp3		Nodes	Elements	Mesh Metric
						_	_	_	_

TABLE 7

Model (A4) > Geometry > Parts

Object Name | MecanismoDerecha |

State	Supr	Suppressed
9	<b>Graphics Properties</b>	
Visible		No
Transparency		1
	Definition	
Suppressed		Yes
Stiffness Behavior	H	Flexible
Coordinate System	Default Cool	Default Coordinate System
Reference Temperature	By Env	By Environment
Treatment	2	None
	Material	
Assignment	Acero 6150	Aluminio 6061
Nonlinear Effects		Yes
Thermal Strain Effects		Yes
	Bounding Box	
Length X	100, mm	850,01 mm
Length Y	28,544 mm	41,657 mm
Z   Tength Z	25,293 mm	550,11 mm
	Properties	
Volume	15412 mm³	1,8664e+007 mm³
Mass	0,12021 kg	50,392 kg
Centroid X	-334,38 mm	-109,18 mm
Centroid Y	-15,917 mm	-54,177 mm
Centroid Z	474,54 mm	294,64 mm
Moment of Inertia lp1	11,043 kg·mm²	1,2752e+006 kg·mm²
Moment of Inertia Ip2	114,12 kg·mm²	4,2978e+006 kg·mm²
Moment of Inertia lp3	116,45 kg·mm²	3,036e+006 kg·mm²
	Statistics	
Nodes		0
Elements		0
Mesh Metric	Z	None
Annual control of the		The state of the s

TABLE 8 Model (A4) > Materials

Materials	State Fully Defined		5	0
Object Name	State	Statistics	Materials	Material Assignments

## Coordinate Systems

Project

TABLE 9
Model (A4) > Coordinate Systems > Coordinate System
Object Name | Global Coordinate System

adjace trains along an area of activities	Fully Defined	u	Cartesian	0,		0, mm	0, mm	0, mm	ectors	[1, 0, 0, ]	[0,1,0,]	[0,0,1,]	erties		No
Cajore Maino Ciona	State	Definition	Type	Coordinate System ID	Origin	Origin X	Origin Y	Origin Z	Directional Vectors	X Axis Data	Y Axis Data	Z Axis Data	Transfer Properties	Source	Read Only

# TABLE 10 Model (A4) > Connections Object Name | Connections

0 Active Body Interactions

TABLE 11 Model (A4) > Connections > Contacts

Contacts	Fully Defined		Contact		Scoping Method Geometry Selection	All Bodies	ion	Slider	0,	2,7423 mm	No	Yes	75, °	JJO	Include	No	No	Include All	Bodies	Bodies		26	26
Object Name	State	Definition	Connection Type	Scope	Scoping Method	Geometry	Auto Detection	Tolerance Type	Tolerance Slider	Tolerance Value	Use Range	Face/Face	Face-Face Angle Tolerance	Face Overlap Tolerance	Cylindrical Faces	Face/Edge	Edge/Edge	Priority	Group By	Search Across	Statistics	Connections	Active Connections

		, tie		Mo	Model (A4) > Connecti	A4) > Connections > Contacts > Contact Regions	t Regions	25.0			
Object Name	Object Contact Region Name	Contact Region 32	Contact Region 33	Contact Region 34	Contact Region 36	Contact Region 37	Contact Region 41	Contact Region 52	Contact Region 59	Contact Region 60	Contact Region 61
State						Fully Defined					
						Scope					
Scoping Method						Geometry Selection					
Contact	15 Faces	20.000	3 Faces	6 Faces	4 Faces	1 Face		13 Faces	6 Faces	5 Faces	13 Faces
Target	16 Faces		1 Face		8 Faces	3 Faces		11 Faces	1 Face	2 Faces	10 Faces
Contact Bodies	33Rail Abajo Medio	joMedio	RailArribaMedio	ledio	UnionMecanismos	Pieza1^AjusteLONG	ONG	Simetreda33RailArribalzq	palzd	Simetreda33RailAbajolzq	poton
Target Bodies	RailArribaMedio	BaseSuperior	RailArribaMedio BaseSuperior Pieza1^AjusteLONG BaseSuperior	BaseSuperior	BaseGiro	Simetreda33RailArribalzq 33RailArribalzq Simetreda33RailAbajolzq	33RailArribalzq	Simetreda33RailAbajolzq		BaseSuperior	Carcasa
Protected				20		No			ev.		
						Definition					
Type						Bonded					
Scope Mode						Automatic					

Program Controlled	Program Controlled	2,7423 mm			No	Display	No	Advanced	Program Controlled	Program Controlled	Program Controlled	Program Controlled	Program Controlled	Program Controlled	Program Controlled	Program Controlled	Geometric Modification	None	None
Behavior	Trim	Trim Tolerance	Contact APDL Name	Target APDL Name	Suppressed		Element Normals		Formulation	Small Sliding	Detection Method	Penetration Tolerance	Elastic Slip Tolerance	Normal Stiffness	Update Stiffness	Pinball Region		Contact Geometry Correction	Target Geometry Correction

TABLE 13 odel (A4) > Connections > Contact Regi

Object Name Contact Region Contact Region Contact I Contact Region Contact 65 65 65	State		Scoping Method	Contact 15 Faces 5 Faces	Target 13 Faces 4 Faces	Contact Bodies boton	Target Bodies   33RailArribalzq   33	Protected		Type	
egion Cont				Se			33RailAbajolzq				
tact Region   0 64				2	3 Faces	6 8	bz	0			
Contact Region 65				1 Face	1 Face	Carcasa	BaseSuperior				
Contact Region 66		Scope			ace		perior		Definition		
Region Contact Region 71 71 72	Fully Defined	•	Geometry Selection	14 Faces	12 Faces	33RailArribalzq	33Rail Abajolzq	No	ou	Bonded	., , , ,
Contact Region 68				6 Faces	1 Face	rribalzq					
Contact Region 69				5 Faces	2 F8	33RailAbajolzq	BaseSuperior				
Contact Region 70				4 Faces	2 Faces	Cllindro	uperior				
Contact Region 71				1 Face	1 Face	BaseS					
Contact Regio				3 Faces	3 Faces	BaseSuperior	Pasador				

Program Controlled	Program Controlled	2,7423 mm			No	Display	No	Advanced	Program Controlled	Program Controlled	Program Controlled	Program Controlled	Program Controlled	Program Controlled	Program Controlled	Program Controlled	Geometric Modification	None	None
Behavior	Trim Contact	Trim Tolerance	Contact APDL Name	Target APDL Name	Suppressed		Element Normals		Formulation	Small Sliding	Detection Method	Penetration Tolerance	Elastic Slip Tolerance	Normal Stiffness	Update Stiffness	Pinball Region		Contact Geometry Correction	Target Geometry Correction

Model (A4) > Connections > Contacts > Contact Regions

Contact Region 76				7 Faces	3 Faces	thrust ball bearing_68_isowds_ISO 104 - 744090 - B,14,SI,NC,14_68	BaseGiro																	
Contact Region 74   Contact Region 75	Fully Defined		Geometry Selection	16 Faces	9 Faces	Pasador		No		Bonded	Automatic	Program Controlled	Program Controlled	2,7423 mm			No		No		Program Controlled	Program Controlled	Program Controlled	Program Controlled
Contact Region 7-	Fully	Scope	Geomet	2 Faces	3 Faces		89		Definition	Bí	Auf	Progran	Progran	2,7				Display		Advanced	Progran	Progran	Progran	Progran
Contact Region 73				7 Faces	13 Faces	BaseSuperior	Target Bodies   thrust ball bearing_68_isowds_ISO 104 - 744090 - B,14,SI,NC,14_68																	
Object Name	State	g II	Scoping Method	Contact	Target	Contact Bodies	Target Bodies   thr	Protected		Type	Scope Mode	Behavior	Trim Contact	Trim Tolerance	Contact APDL Name	Target APDL Name	Suppressed		Element Normals		Formulation	Small Sliding	Detection Method	Penetration Tolerance

_		-			_	_
			Program Controlled	Geometric Modification	None	Mone
Elastic Slip Tolerance	Normal Stiffness	Update Stiffness	Pinball Region	Y	Contact Geometry Correction	Target Geometry Correction

Mesh

Ohiort Name	Moch
ODJect Name	Mesti
State	Solved
Display	
Display Style	Use Geometry Setting
Defaults	
Physics Preference	Mechanical
Element Order	Program Controlled
Element Size	20, mm
Sizing	
Use Adaptive Sizing	Yes
Resolution	2
Mesh Defeaturing	Yes
Defeature Size	Default
Transition	Fast
Span Angle Center	Coarse
Initial Size Seed	Part
Bounding Box Diagonal	1096,9 mm
Average Surface Area	1676,6 mm²
Minimum Edge Length	3,5355e-002 mm
Quality	
Check Mesh Quality	Yes, Errors
-	Aggressive Mechanical
Target Element Quality	Default (5,e-002)
Smoothing	Medium
Mesh Metric	None
Inflation	2.0
Use Automatic Inflation	None
Inflation Option	Smooth Transition
Transition Ratio	0,272
Maximum Layers	5
Growth Rate	1,2
Inflation Algorithm	Pre
Inflation Element Type	Wedges
View Advanced Options	No
Advanced	
Number of CPUs for Parallel Part Meshing	Program Controlled
Straight Sided Elements	No

07/06/2025

22.0					_		_
Program Controlled	Yes	Please Define	No		85842	41918	No
Triangle Surface Mesher	Topology Checking	Pinch Tolerance	Generate Pinch on Refresh	Statistics	Nodes	Elements	Show Detailed Statistics

## Static Structural (A5)

TABLE 16 Model (A4) > Analysis

Object Name	Object Name   Static Structural (A5)
State	Solved
Definition	u
Physics Type	Structural
Analysis Type	Static Structural
Solver Target	Mechanical APDL
Options	s
Environment Temperature	22, °C
Generate Input Only	No

TABLE 17
Model (A4) > Static Structural (A5) > Analysis Settings
Object Name

Analysis Settings	Fully Defined	Step Controls		1,	1,s	Program Controlled	Solver Controls	Program Controlled	JJO	Program Controlled	JJO	JJO	JJO	Rotordynamics Controls	JJO	Restart Controls	Program Controlled	No	Program Controlled	Nonlinear Controls	Program Controlled	Program Controlled	Program Controlled
Object Name	State		Number Of Steps	Current Step Number	Step End Time	Auto Time Stepping		Solver Type	Weak Springs	Solver Pivot Checking	Large Deflection	Inertia Relief	Quasi-Static Solution		Coriolis Effect		Generate Restart Points	Retain Files After Full Solve	Combine Restart Files		Newton-Raphson Option	Force Convergence	Moment Convergence

ce Program Controlled	Se Program Controlled	ch Program Controlled	n Program Controlled	Advanced	No No	Controlled	Output Controls	None	ss Yes	SS No	in	ta Yes	ta No	No No	y Yes	yes Yes	Sr No	Sr No	At All Time Points	n Program Controlled	Analysis Data Management	Solver Files Directory   C:\Users\alonp\OneDrive\Escritorio\4º ing\TFG\ansys\GiradoSalido_files\dp0\SYS\MECH\	None	λ	No OI	ry Program Controlled	yes Yes	No No	ts Active System	
Displacement Convergence	Rotation Convergence	Line Search	Stabilization		Inverse Option	Contact Split (DMP)		Output Selection	Stress	Back Stress	Strain	Contact Data	Nonlinear Data	Nodal Forces	Volume and Energy	Euler Angles	General Miscellaneous	Contact Miscellaneous	Store Results At	Result File Compression		Solver Files Director	Future Analysis	Scratch Solver Files Directory	Save MAPDL db	Contact Summary	Delete Unneeded Files	Nonlinear Solution	Solver Units	

Model (A4) > Static Structural (A5) > Loads
Object Name | Fixed Support | Force

Fully Defined		Geometry Selection	1 Face		Force	No	Components	Surface Effect	Global Coordinate System	0, N (ramped)	-1000, N (ramped)	0, N (ramped)
<b>T</b>	Scope	Geol	2 Faces	Definition	Type Fixed Support							
State		Scoping Method	Geometry		Type	Suppressed	Define By	Applied By	Coordinate System	X Component	Y Component	Z Component

### FIGURE 1

TABLE 19
Model (A4) > Static Structural (A5) > Solution
Object Name | Solution (A6)

č	
State	Solved
Adaptive Mesh Refinement	efinement
Max Refinement Loops	1,
Refinement Depth	h 2,
Information	u.
Status	s Done
MAPDL Elapsed Time	e 12, s
MAPDL Memory Used	d 1,6191 GB
MAPDL Result File Size	e 31,063 MB
Post Processing	sing
Beam Section Results	IS No
On Demand Stress/Strain	No

Model (A4) > Static Structural (A5) > Solution (A6) > Solution Information Object Name Solution Information

0 2,5 s 0

Newton-Raphson Residuals

07/06/2025

																	Г		SS																	
O	0	2,5 s	All	ibility	Yes	All FE Connectors	All Nodes	Connection Type	No	Single	Lines	TABLE 21 Model (A4) > Static Structural (A5) > Solution (A6) > Results	Equivalent Stress	Solved		Geometry Selection	All Bodies		Equivalent (von-Mises) Stress	Time	Last	No	Yes		No		1,5561e-010 MPa	89,815 MPa	1,5814 MPa	Cllindro	Simetreda33RailArribalzq		1, s	1	1	
Newton-Raphson Residuals	Identify Element Violations	Update Interval	Display Points	FE Connection Visibility	Activate Visibility	Display	Draw Connections Attached To	Line Color	Visible on Results	Line Thickness	Display Type	TABLE 21 Structural (A5) >	Total Deformation		Scope	Geo		Definition	Total Deformation							Results	0, mm	0,26501 mm	6,2836e-002 mm	BaseGiro	Simetre	Information				
Newton-Ka	Identify E	2 11					Draw Connect					Model (A4) > Static	Object Name	State		Scoping Method	Geometry		Type	By	Display Time	Separate Data by Entity	Calculate Time History	Identifier	Suppressed		Minimum	Maximum	Average	Minimum Occurs On	Maximum Occurs On		Time	Load Step	Substep	Itanation Missachan

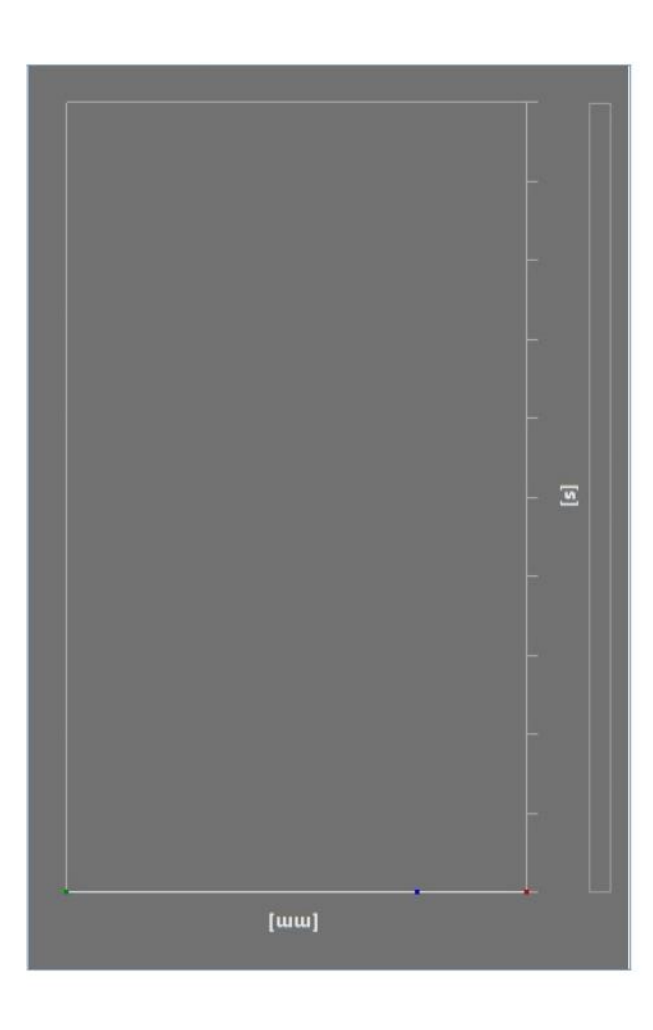
FIGURE 2 Model (A4) > Static Structural (A5) > Solution (A6) > Total Deformation

Averaged 2

Integration Point Results

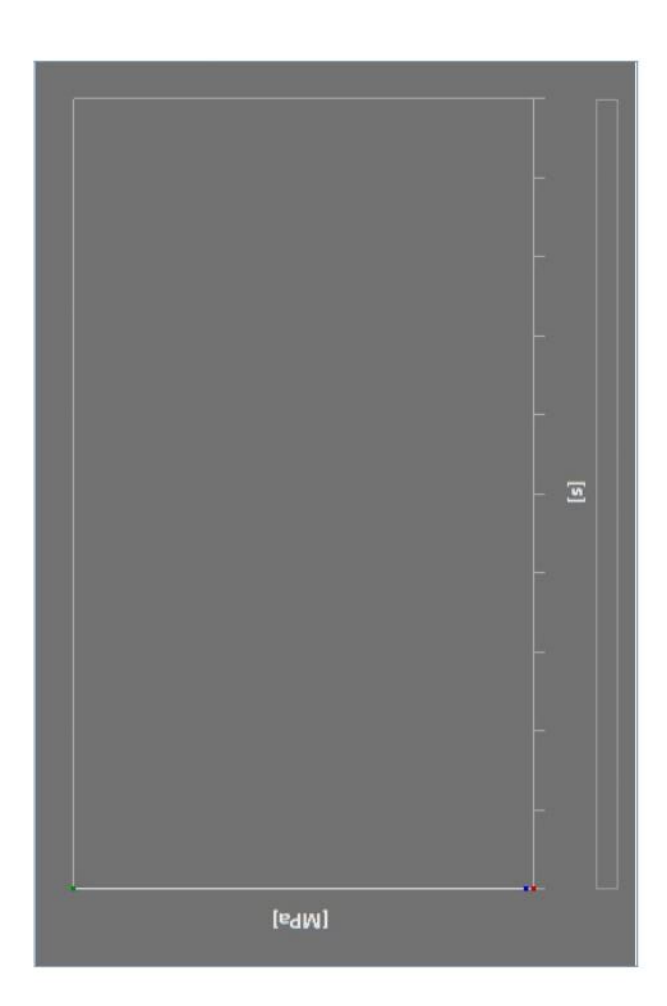
Iteration Number

Display Option Average Across Bodies



| Model (A4) > Static Structural (A5) > Solution (A6) > Total Deformation | Time [s] | Minimum [mm] | Maximum [mm] | Average [mm] | 1, 0, 0, 26501 | 6,2836e-002

FIGURE 3 Model (A4) > Static Structural (A5) > Solution (A6) > Equivalent Stress



| TABLE 23 | Model (A4) > Static Structural (A5) > Solution (A6) > Equivalent Stress | Time [5] Minimum [MPa] | Maximum [MPa] | Average [MPa] | 1,5561e-010 | 89,815 | 1,5814

Model (A4) > Static Structural (A5) > Solution (A6) > Stress Safety Tools

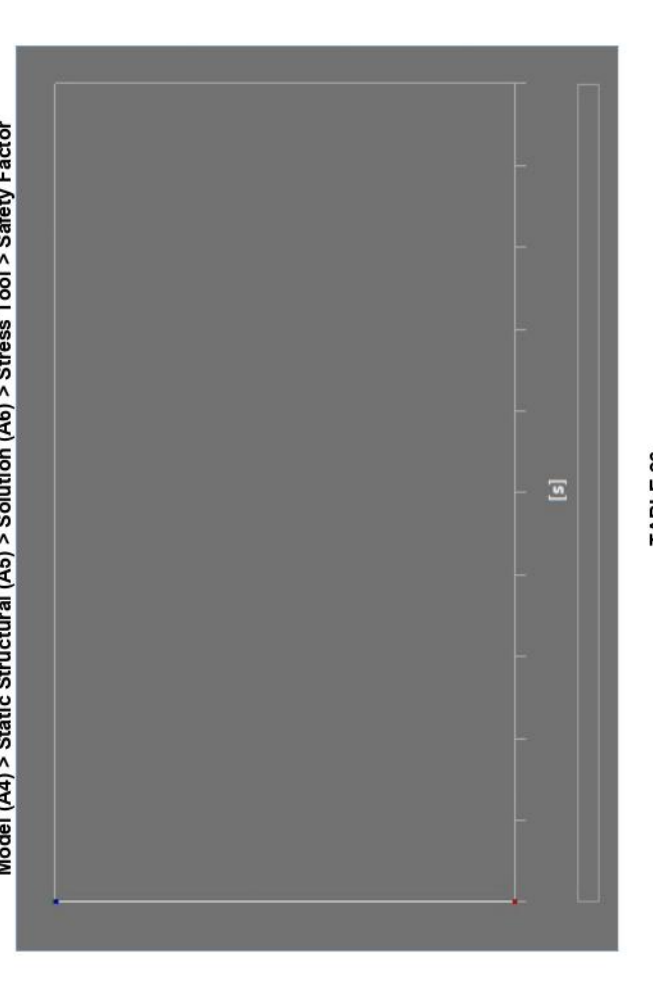
Object Name | Stress Tool Theory Max Equivalent Stress
Stress Limit Type Tensile Yield Per Material Solved Definition State

Safety Factor Solved Solved Geometry Selection All Bodies Ition Safety Factor Time Last No	State Scope Scope Scoping Method Geometry Definition Type By Display Time Separate Data by Entity
Last	Display Time
Time	By
Safety Factor	Type
ition	Defin
All Bodies	Geometry
Geometry Selection	Scoping Method
be	Sco
Solved	State
Safety Factor	Object Name

	No	Integration Point Results	Averaged	No	ults	3,4515	Minimum Occurs On Simetreda33RailArribalzq	nation	1, s	1	-	_
Identifier	Suppressed	Integration F	Display Option	Average Across Bodies	Results	Minimum	Minimum Occurs On	Information	Time	Load Step	Substep	Iteration Number

FIGURE 4

Model (A4) > Static Structural (A5) > Solution (A6) > Stress Tool > Safety Factor



Model (A4) > Static Structural (A5) > Solution (A6) > Stress Tool > Safety Factor

Time [s] Minimum Maximum Average

1, 3,4515 15, 14,973

### **Material Data**

Aluminio 6061

TABLE 27 Aluminio 6061 > Constants Density 2,7e-006 kg mm^-3 TABLE 28 Aluminio 6061 > Isotropic Elasticity

Young's Modulus MPa | Poisson's Ratio | Bulk Modulus MPa | Shear Modulus MPa | Temperature C 25940 67647 0,33 00069

TABLE 29

Aluminio 6061 > Tensile Yield Strength Tensile Yield Strength MPa TABLE 30 Aluminio 6061 > Tensile Ultimate Strength

Tensile Ultimate Strength MPa

TABLE 31 Aluminio 6061 > Color Red Green Blue 76, 186, 255, TABLE 32 Acero1045 > Constants

Acero1045

Density 7,85e-006 kg mm^-3 Acero1045 > Color Red Green Blue TABLE 33

Acero 1045 > Tensile Ultimate Strength
Tensile Ultimate Strength MPa TABLE 34

255, 95, 56,

565,

TABLE 35 Acero1045 > Tensile Yield Strength Tensile Yield Strength MPa

TABLE 36

 Acero1045 > Isotropic Elasticity

 Young's Modulus MPa | Poisson's Ratio | Bulk Modulus MPa | Shear Modulus MPa | Temperature C

 2,1e+005
 0,3
 1,75e+005
 80769
 22,

Acero 6150

Acero 6150 > Constants
Density | 7,8e-006 kg mm^-3

TABLE 38 Acero 6150 > Isotropic Elasticity

Young's Modulus MPa Poisson's Ratio Bulk Modulus MPa Shear Modulus MPa Temperature C 2,05e+005 0,3 1,7083e+005 78846

Acero 6150 > Tensile Yield Strength
Tensile Yield Strength MPa

1000,

TABLE 40 Acero 6150 > Tensile Ultimate Strength Tensile Ultimate Strength MPa

1145,

Acero 6150 > Color Red Green Blue 251, 43, 255,

TABLE 42 ABS > Constants

Density | 1,05e-006 kg mm^-3

TABLE 43
ABS > Isotropic Elasticity
Young's Modulus MPa | Poisson's Ratio | Bulk Modulus MPa | Shear Modulus MPa | Temperature C

766,42 TABLE 44 2692,3 0.37

ABS > Tensile Yield Strength Tensile Yield Strength MPa

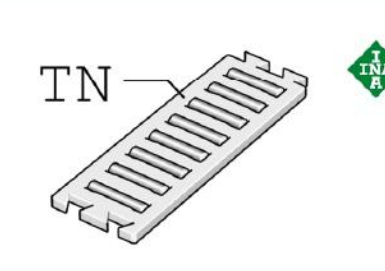
32,

TABLE 45 ABS > Tensile Ultimate Strength Tensile Ultimate Strength MPa

Red Green Blue 184, 255, 86, TABLE 46 ABS > Color



ANEXO 6. Datasheet Jaula plana de rodillos FF2010-0-2

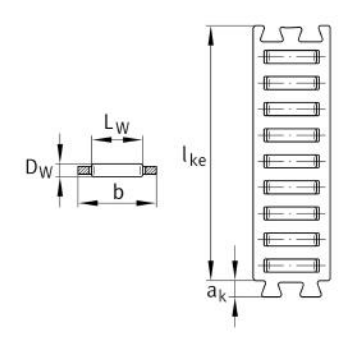


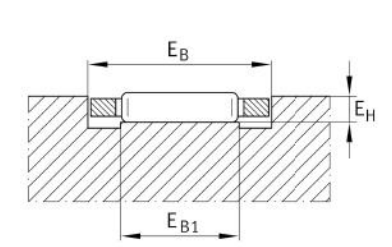
### FF2010 ☑

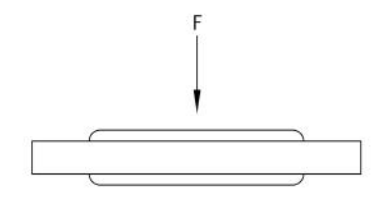
Jaula plana de agujas

flat cage, single row

### Información técnica







### Variante de su producto actual

Size code	2010
Rolling element sort	0-2

### Medidas principales y datos de rendimiento

l ke	32 mm	Length
DW	2 mm	Rolling element diameter
b	10 mm	
С	21.300 N	Load capacity dyn.
C <sub>0</sub>	61.900 N	Load capacity stat.
≈m	2 g	Peso

### Medidas de montaje

EB	10,3 mm	
Tol E B	+ 0,2 mm	Tolerance
E <sub>B1</sub>	7 mm	Min.
E <sub>H</sub>	1,7 mm	

### Medidas

LW	6,8 mm	Length rolling element	
a <sub>k</sub>	2 mm		

### Información adicional

Z<sub>e</sub> 7 Number of rolling elements per row



### **BIBLIOGRAFÍA**

ASPAYM. (s.f.). La movilidad reducida, primera causa de discapacidad en España. Comunicación ASPAYM. https://www.aspaym.org/la-movilidad-reducida-primera-causa-de-discapacidad-en-espana/

Agencia Estatal de Seguridad Aérea. (s.f.). ¿Qué se entiende por persona con movilidad reducida (PMR)? https://www.seguridadaerea.gob.es/es/ambitos/derechos-de-los-pasajeros/personas-con-movilidad-reducida-pmr/que-se-entiende-por-persona-con-movilidad-reducida-pmr

Solidaridad Intergeneracional. (s.f.). En España existen 2,63 millones de personas mayores con discapacidad. https://solidaridadintergeneracional.es/wp/en-espana-existen-263-millones-depersonas-mayores-con-discapacidad/

Instituto Nacional de Estadística (INE). (s.f.). Discapacidad según grupo de edad y sexo. https://www.ine.es/jaxiT3/Datos.htm?t=1488#\_tabs-tabla

Europer. (2021). Información técnica SAE 1045. https://europer.cl/wp-content/uploads/2021/10/INFORMACION-TECNICA-SAE-1045.pdf

Acero MAFE. (s.f.). Acero 1045: características y usos. https://www.aceromafe.com/acero-1045-caracteristicas-usos/#Caracteristicas del acero 1045

Abrams Industries. (s.f.). Acero 1045. https://mx.abrams-industries.com/aceros/acero-grado-herramienta/1045

Acavisa Industrial. (2020). Acero AISI 1045 – V2. https://acavisaindustrial.com/wp-content/uploads/2020/08/Acero-AISI-1045-V2.pdf



Alloys International. (s.f.). AISI 6150 Steel, normalized, 13 mm (0.5 in.) round. https://alloysintl.com/es/inventory/alloys-steels-supplier/alloy-steel-6150/

Alloys International. (s.f.). Aluminio 6061. https://alloysintl.com/es/inventory/aluminum-alloys-supplier/aluminum-6061/

Coppermetal. (s.f.). Aluminio 6061: propiedades y aplicaciones. https://www.coppermetal.com.br/es/blog/aluminio-6061/

Plastico.com. (s.f.). Guía completa del plástico ABS: propiedades y aplicaciones. https://www.plastico.com/es/noticias/guia-completa-del-plastico-abs-propiedades-y-aplicaciones

Grupo Billingham. (s.f.). ¿Qué es el acrilonitrilo butadieno estireno? https://www.grupobillingham.com/blog/que-es-el-acrilonitrilo-butadieno-estireno/

Linseis. (s.f.). Acrilonitrilo butadieno estireno (ABS): una mirada en profundidad. https://www.linseis.com/es/wiki-es/acrilonitrilo-butadieno-estireno-abs-una-mirada-en-profundidad/

Alveo3D. (s.f.). ¿Es tóxico el plástico ABS? https://www.alveo3d.com/es/plastico-abs-toxico/

Proto&Go. (s.f.). Materiales – ABS. https://protoandgo.com/materiales/abs/

Ensinger. (s.f.). TECARAN ABS Grey – Ensinger. https://www.ensingerplastics.com/es-es/semielaborados/plastico/tecaran-absgrey



Steelsino. (s.f.). Acero AISI – DIN CR 322. https://www.steelsino.com/es/aisi-steel--din-cr-322.html

Tu Teórica. (s.f.). La física de las colisiones y los accidentes de tránsito: Cómo minimizar el impacto. https://tuteorica.com/blog/los-siniestros-viales-y-la-fisica#:~:text=Para%20evitar%20sufrir%20graves%20lesiones%20en%20caso%20de,de%20seguridad%20pasiva:%20estructuras%20deformables,%20cintur%C3%B3n,%20airbag,%20etc.

Tu Teórica. (s.f.). El asiento del vehículo – Diccionario vial. https://tuteorica.com/blog/el-asiento-del-vehículo-diccionario-vial/

Naciones Unidas - CEPE. (2023). Reglamento Nº 17: Prescripciones uniformes sobre la homologación de vehículos en lo que concierne a los asientos, a sus anclajes y a los apoyacabezas [PDF]. Diario Oficial de la Unión Europea, L 62, https://unece.org/status-1958-agreement-and-annexed-regulations:contentReference[oaicite:0]{index=0}

Instituto Nacional de Estadística (INE). (2021). Encuesta de Discapacidad, Autonomía personal y Situaciones de Dependencia (EDAD). Principales resultados. Año 2020 [Informe PDF]. https://www.ine.es/prensa/edad\_2020\_p.pdf

Instituto Nacional de Estadística (INE). (2023). Base de datos de personas con discapacidad [Informe PDF]. https://www.ine.es/prensa/bdepcd\_2023.pdf

Instituto Nacional de Estadística (INE). (2022). Base de datos de personas con discapacidad [Informe PDF]. https://www.ine.es/prensa/bdepcd 2022.pdf

Instituto Nacional de Estadística (INE). (2021). Base de datos de personas con discapacidad [Informe PDF]. https://www.ine.es/prensa/bdepcd\_2021.pdf



Instituto Nacional de Estadística (INE), Ministerio de Sanidad y Política Social, Fundación ONCE, CERMI y FEAPS. (2008). Encuesta de Discapacidad, Autonomía personal y situaciones de Dependencia (EDAD-2008) [Informe PDF]. https://www.ine.es/prensa/edad 2008.pdf

Boletín Oficial del Estado. (1986). Real Decreto 2028/1986, de 6 de junio, por el que se dictan normas para la aplicación de determinadas Directivas de la CEE, relativas a la homologación de tipos de vehículos automóviles, remolques y semirremolques, así como de partes y piezas de dichos vehículos. BOE-A-1986-26182-consolidado [Archivo PDF]. https://www.boe.es/buscar/pdf/1986/BOE-A-1986-26182-consolidado.pdf2

Boletín Oficial del Estado. (2009). Real Decreto 818/2009, de 8 de mayo, por el que se aprueba el Reglamento General de Conductores. BOE-A-2009-9481 [Archivo PDF]. https://www.boe.es/buscar/pdf/2009/BOE-A-2009-9481-consolidado.pdf3

Unión Europea. (2009). Reglamento (CE) n.º 661/2009 del Parlamento Europeo y del Consejo, de 13 de julio de 2009, sobre los requisitos de homologación para la seguridad general de los vehículos de motor. CELEX\_32009R0661\_ES\_TXT [Archivo PDF]. https://eur-lex.europa.eu/legal-content/ES/TXT/PDF/?uri=CELEX:32009R06614

Unión Europea. (s.f.). eur-lex.europa.eu [Archivo PDF]. https://eur-lex.europa.eu/

Comisión Europea. (2025). Reglamento de Ejecución (UE) 2025/393 de la Comisión, de 27 de febrero de 2025, relativo a la investigación antidumping sobre las importaciones de resinas epoxídicas. L00001-00065 [Archivo PDF]. https://www.boe.es/doue/2025/393/L00001-00065.pdf

Ministerio de Industria, Comercio y Turismo. (2022). Manual de Reformas de Vehículos. Revisión 7ª [Archivo PDF]. https://industria.gob.es/Calidad-Industrial/vehiculos/Documents/Manual%20de%20Reformas%20de%20Veh%C 3%ADculos%20Revisi%C3%B3n%207.pdf



Comisión Económica para Europa de las Naciones Unidas. (2019). Reglamento n.º 17 de la CEPE: Prescripciones uniformes sobre la homologación de vehículos en lo que concierne a los asientos, a sus anclajes y a los apoyacabezas (Reglamento de Ejecución (UE) 2019/1723 de la Comisión). https://eur-lex.europa.eu/legal-content/ES/TXT/PDF/?uri=CELEX:32019R1723

Comisión Económica para Europa de las Naciones Unidas (CEPE). (2023). Reglamento n.o 17 de las Naciones Unidas – Prescripciones uniformes sobre la homologación de vehículos en lo que concierne a los asientos, a sus anclajes y los apoyacabezas [2023/406]. а 27/02/2023. Diario Oficial de Europea, 53, la Unión L https://www.boe.es/buscar/doc.php?id=DOUE-L-2023-80289